UNIVERSIDAD NACIONAL DE CAJAMARCA FACULTAD DE INGENIERÍA ESCUELA PROFESIONAL DE INGENIERÍA GEOLÓGICA



TESIS ANÁLISIS ESTRUCTURAL EN EL CENTRO POBLADO DE HUAMBOCANCHA BAJA, CAJAMARCA.

Para optar el título profesional de: INGENIERO GEÓLOGO

Presentado por:

Bach. Chilón Calua Héctor Eduardo

Asesor:

Dr. Quispe Mamani Crispín Zenón

Cajamarca - Perú 2024



1. Investigador

CONSTANCIA DE INFORME DE ORIGINALIDAD

- FACULTAD DE INGENIERÍA -

: Héctor Eduardo Chilón Calua

2.	DNI	: 72707392			
3.	Escuela Profesional	: Ingeniería Ge	eológica		
4.	Asesor	: Crispín Zenór	n Quispe Mamar	ni	
	Facultad	: Ingeniería			
5.	Grado académico o título prof	esional			
	□Bachiller T ítulo pro	fesional .	□Segunda esp	ecialidad	
	□Maestro □Doctor				
6.	Tipo de Investigación:				
	■ Tesis □ Trabajo de i	nvestigación	☐ Trabajo de s	suficiencia profesional	
	☐ Trabajo académico				
1.	Título de Trabajo de Investiga	ción: ANÁLISIS I	ESTRUCTURAL EI	N EL CENTRO POBLADO DE	
2.	HUAMBOCANCHA BAJA, CAJA	MARCA.			
3.	Fecha de evaluación	: 03 de	noviembre 2024	4	
4.	Software antiplagio:	TURNITIN	□ URK	(UND (OURIGINAL) (*)	
5.	Porcentaje de Informe de Sim	ilitud : 5%			
6.	Código Documento	: Oid: 3	3117:401361152	Ĺ	
7.	Resultado de la Evaluación de	Similitud:			
	APROBADO □ PARA LEVA	NTAMIENTO DE	OBSERVACIONE	ES O DESAPROBADO	
	Fecha	E <mark>misión</mark> : 04 de	noviembre 2024	4	
					_
				Firmado digitalmente por: BAZAN DIAZ Laura Sofia	
				FAU 20148258601 soft	
			FIRMA	Motivo: En señal de	
	Q Sill	/	DIGITAL DIGITAL	conformidad	
	(20111/1)			Fecha: 04/11/2024 01:28:40-0500	
	FIDAME DEL ACECCO			D DE INVESTIGACIÓN EL	
Nombre	FIRMÁ DEL ASESOR es y Apellidos: Crispín Zenón Quis	ne Mamani	UNIDAL	D DE INVESTIGACIÓN FI	
		pe irialilalii			

: 29243825

DNI

^{*} En caso se realizó la evaluación hasta setiembre de 2023

AGRADECIMIENTO

A mi Alma Mater la Universidad Nacional de Cajamarca, Facultad Ingeniería en especial a mis apreciados maestros de la Escuela Profesional de Ingeniería Geológica, que me compartieron sus conocimientos, aportando a mi formación y desarrollo profesional.

A mis entrañables amigos de universidad con los que nos formamos como profesionales.

A mi asesor, el Dr. Crispín Zenón Quispe Mamani, por su apoyo inconmensurable y sabiduría. Y al distinguido jurado por su invaluable aporte de esta tesis profesional.

DEDICATORIA

A mi querida madre Rosa, mi hermana Damaris y también a toda mi familia que me apoyaron de manera contantes e incondicional en la realización de esta investigación.

ÍNDICE

	INDICE	
		Pág.
AGRAI	DECIMIENTO	i
_	ATORIA	
	VIATURAS	
	IEN	
	CT	
1120111		/2/21 v
	CAPÍTULO I	
	INTRODUCCIÓN	
	CAPÍTULO II MARCO TEÓRICO	
2.1	Antecedentes Teóricos	Δ
2.1.1	Antecedentes reoricos Antecedentes internacionales	
2.1.2	Antecedentes nacionales	
2.1.3	Antecedentes locales	
2.2	Bases Teóricas	
2.2.1	Fuerza	
2.2.2	Esfuerzo	
2.2.3	Deformación	
2.2.4	Fracturas	
2.2.5	Pliegues	
2.2.6	Falla	
2.2.7	Análisis cinemático	
2.3	Definición de Términos Básicos	
	CAPÍTULO III	
	MATERIALES Y MÉTODOS	
3.1	Ubicación del Área y Zona de Investigación	33
3.1.1	Geográfica	
3.1.2	Política	
3.1.3	Accesibilidad	
3.1.4	Clima y vegetación	35
3.2	Procedimientos	
3.2.1	Metodología	
3.2.2	Población de estudio	
3.2.3	Muestra	37
3.2.4	Unidad de análisis	
3.2.5	Identificación de variables	37
3.2.6	Técnicas	38
3.2.7	Instrumentos de recolección de datos	
3.3	Contexto Geológico	
3.3.1	Geología local	
3.3.2	Geomorfológica	
3.3.3	Geología estructural	
34	Tratamiento y Análisis de Datos y Presentación de Resultado	

	Pá	g.
3.4.1	Pliegues 5	51
3.4.2	Fallas	
3.4.3	Fracturas	18
	CAPÍTULO IV	
	ANALISIS Y DISCUSION DE RESULTADOS	
4.1	Análisis Cinemático	22
4.1.1	Análisis de pliegues	22
4.1.2	Análisis de fallas	
4.1.3	Análisis de fracturas	23
4.2	Evolución de Deformación	24
4.2.1	Primer evento: Esfuerzo de compresión NE-SW	24
4.2.2	Segundo evento: Esfuerzo de compresión NE-SW	
4.2.3	Tercer evento: Esfuerzo de transtensión NE-SW	28
4.2.4	Cuarto evento: Esfuerzo de distensivo N-S	30
4.2.6	Evolución de régimen	34
4.3	Contrastación de la Hipótesis	35
	CAPÍTULO V	
	CONCLUSIONES Y RECOMENDACIONES	
5.1	Conclusiones 13	36
5.2	Recomendaciones	37
DEFEDE	AGENT PARTY TO GET (FIG. 19	30
	NCIAS BIBLIOGRÁFICAS13	
ANEXOS		13

ÍNDICE DE FIGURAS

		Pag
Figura 1.	Vectores de esfuerzo que actúan sobre un plano inclinado, σ es el	
	componente vertical de la tensión resuelta en componentes normales	
	(σn) y de cizallamiento (τ).	7
Figura 2.	Tensor de esfuerzos	8
Figura 3.	Elipse de esfuerzo y sus partes principales.	8
Figura 4.	Elipsoide de esfuerzo y sus planos principales	9
Figura 5.	Block diagrama ilustrando los tres modelos de fracturas, (a) Modelo I, (b) Modelo II, (c) Modelo III. Modelo I formado por fractura extensión, Modelo II y Modelo III son fracturas por cizallamiento	10
Figura 6.	 a) Parámetros geométricos de pliegues cilíndricos y no cilíndricos, b) La relación entre plano de clivaje, superficie axial y superficie envolvente en pliegues con clivaje transecto y pliegue transecto 	
Figura 7.	Clasificación de pliegues en función de las líneas de charnela,	12
Figura 8.	Clasificación de pliegues geométricos basada en el ángulo entre limbo.	13
Figura 9.	Estereogramas para la clasificación de los pliegues basada en la inmersión y en el buzamiento de la superficie axial	14
Figura 10.	Orientación de la superficie axial y restricciones en la orientación del eje de pliegue en cero (a), intermedio (b y c) y caída pronunciada (d). PAS: polo a superficie axial indicada por una x en todos los diagramas de tejido. AS: superficie axial. FA: eje de plegado. TA: tendencia del eje. SAS: golpe de superficie axial.	15
Figura 11.	a) Capa plegada cilíndrica. b) Red de Schmidt para un pliegue cilíndrico. c) Diagrama polar tangente de capa en pliegues cilíndricos hundidos y no hundidos. d) Capa plegada cónica. e) Red de Schmidt de una superficie plegada cónica. c) Diagrama polar tangente de capa en pliegues cónicos Tipo-I y Tipo-II	15
Figura 12.	Esquema que muestra una generalización de los principales tipos de fracturas relacionadas con el plegamiento.	16

fallas. En oscuro compresión, en claro extensión......27

	Pág.
Figura 25.	Posiciones de la placa de Nazca (Farallón), a través del tiempo
	geológico, interpretando mediante anomalías magnéticas30
Figura 26.	A. Tramo 1, Plaza de armas de Cajamarca hacia Huambocancha
	Baja- El Callejón. B. Tramo 2, Plaza de armas de Cajamarca hacia
	caserío Llagamarca34
Figura 27.	Columna estratigráfica
Figura 28.	(a) Pliegue cilíndrico, con concentración los polos (diagrama de
	contornos) abarcados en el circulo π , esfuerzo mayor $\sigma 1$ graficado
	por flechas rojas (b) Planos de los flancos (líneas negras), inmersión
	de pliegue dado por el polo π 54
Figura 29.	Estereograma (a) Eje de chanela (Plano axial, color rojo), Plano π
	(línea azul). (b) Ángulo interflancos (línea roja)55
Figura 30.	Buzamiento de plano axial vs ángulo de inmersión56
Figura 31.	(a) Pliegue cilíndrico, con concentración los polos (diagrama de
	contornos) abarcados en el circulo π , esfuerzo mayor $\sigma 1$ graficado
	por flechas rojas (b) Planos de los flancos (líneas negras), inmersión
	de pliegue dado por el polo π
Figura 32.	Estereograma (a) Eje de chanela (Plano axial, color rojo), Plano π
	(línea azul). (b) Ángulo interflancos (línea roja)58
Figura 33.	Buzamiento de plano axial vs ángulo de inmersión
Figura 34.	(a) Pliegue cilíndrico, con concentración los polos (diagrama de
	contornos) abarcados en el circulo π , esfuerzo mayor $\sigma 1$ graficado
	por flechas rojas (b) Planos de los flancos (líneas negras), inmersión
	de pliegue dado por el polo π 61
Figura 35.	Estereograma (a) Eje de chanela (Plano axial, color rojo), Plano π
	(línea azul). (b) Ángulo interflancos (línea roja)62
Figura 36.	Buzamiento de plano axial vs ángulo de inmersión

		Pág.
Figura 37.	a) Proyección estereográfica de la estación F-01, b) simbología de la falla F-01. c) Clasificación de la falla F-01	.65
Figura 38.	a) Proyección estereográfica de la estación F-02, b) Simbología de la falla F-02. c) Clasificación de falla.	.67
Figura 39.	a) Proyección estereográfica de la estación F-03, b) Simbología de la falla F-03. c) Clasificación de fallas.	.69
Figura 40.	a) Proyección estereográfica de la estación F-04, b) Simbología de la falla F-04. c) Clasificación de falla.	.71
Figura 41.	a) Proyección estereográfica de la estación F-05, b) Simbología de la falla F-05. c) Clasificación de fallas.	.73
Figura 42.	a) Proyección estereográfica de la estación F-06 b) Simbología de la falla F-06. c) Clasificación de falla.	.75
Figura 43.	a) Proyección estereográfica de la estación F-07 b) Simbología de la falla F-07. c) Clasificación de falla	.77
Figura 44.	a Proyección estereográfica de la estación F-08. b) simbología de la falla F-08, c) Clasificación de falla.	.79
Figura 45.	a) Proyección estereográfica de la estación F-04, b) simbología de la falla F-04. c) Clasificación de fallas.	.80
Figura 46.	a) Proyección estereográfica de la estación F-10, b) Simbología de la falla F-10. c) Clasificación de fallas	.82
Figura 47.	a Proyección estereográfica de la estación F-11, b) Simbología de la falla F-11. c) Clasificación de fallas	.84
Figura 48.	a) Proyección estereográfica de la estación F-12, b) Simbología de la falla F-12. c) Clasificación de fallas.	.85
Figura 49.	a) Proyección estereográfica de la estación F-13, b) Simbología de la falla F-13. c) Clasificación de fallas.	.87
Figura 50.	a) Proyección estereográfica de la estación F-14, b) Simbología de la falla F-14. c) Clasificación de fallas.	.90

		Pág
Figura 51.	a) Proyección estereográfica de la estación F-15, b) Simbología de	02
	la falla F-15. c) Clasificación de fallas	.92
Figura 52.	a) Proyección estereográfica de la estación F-16, b) Simbología de la falla F-10. c) Clasificación de fallas.	94
Figura 53.	a) Proyección estereográfica de la estación F-17, b) Simbología de la falla F-17. c) Clasificación de fallas.	95
Figura 54.	a) Proyección estereográfica de la estación F-18, b) Simbología de la falla F-18. c) Clasificación de fallas.	97
Figura 55.	a) Proyección estereográfica de la estación F-19 b) Simbología de la falla F-19. c) Clasificación de fallas.	98
Figura 56.	a) Proyección estereográfica de la estación F-12-B, b) Simbología de la falla F-12-B. c) Clasificación de fallas	100
Figura 57.	a) Proyección estereográfica de la estación F-21, b) Simbología de F-21. c) Clasificación de fallas.	.102
Figura 58.	a) Ploteo de estrías de la falla, dirección de los esfuerzos de F-22 b) Simbología de la falla F-22. c) Clasificación de fallas	103
Figura 59.	a) Proyección estereográfica de la estación F-23, b) Simbología de F-23. c) Clasificación de fallas.	105
Figura 60.	a) Proyección estereográfica de la estación F-24, b) Simbología de la falla F-24. c) Clasificación de fallas.	107
Figura 61.	a) Proyección estereográfica de la estación F-25, b) Simbología de la falla F-25. c) Clasificación de fallas.	109
Figura 62.	a) Proyección estereográfica de la estación F-26, b) Simbología de la falla F-26. c) Clasificación de fallas.	110
Figura 63.	a) Proyección estereográfica de la estación F-27, b) Simbología de la falla F-27, c) Clasificación de fallas.	112
Figura 64.	a) Proyección estereográfica de la estación F-28, b) Simbología de la falla F-28. c) Clasificación de fallas.	113

	Pág
Figura 65.	a) Proyección estereográfica de la estación F-29, b) Simbología de
	la falla F-29. c) Clasificación de fallas
Figura 66.	a) Proyección estereográfica de la estación F-30, b) Simbología de
	la falla F-30. c) Clasificación de fallas
Figura 67.	Planos de fracturas en proyección estereográfico118
Figura 68.	Polos de fractura
Figura 69.	Concentración de Fisher de las fracturas.
Figura 70.	Diagrama de la concentración de Fisher con las principales familias
	de diaclasas
Figura 71.	Diagrama de roseta
Figura 72.	Principales fracturas de cizalla conjugada formados el flanco del NE
	de anticlinal de Huambocancha N: 9212687, E: 774222, Cota: 3070
	m.s.n.m
Figura 73.	Fracturas en la Formación Farrat. N: 9213087, E: 773793, Cota:
	3063 m.s.n.m
Figura 74.	Fracturas de extensión en la Formación Carhuaz con relleno mineral
	N: 9212687, E: 774222, Cota: 3070 m.s.n.m
Figura 75.	Fracturas en la rocas volcánicas, N: 9212590, E: 772406, Cota: 2918
	m.s.n.m
Figura 76.	a). Asociación de estaciones P-01, P-02, P-03, D3y D4 acompañada
	de dirección máxima de compresión (σ1). b) Diagrama de rosetas,
	con orientación predominante NW- SE (máximo 37%) y otra
	tendencia NE- SW
Figura 77.	a). Diagrama de rosetas, con orientación predominante (máximo
	50%) b) Diedros del segundo evento acompañada de dirección
T: 50	máxima de compresión (σ1). c) Diagrama de círculo de Mohr127
Figura 78.	Modelo de Riedel para el segundo evento

	Pág.
Figura 79.	a). Diagrama de rosetas, con orientación predominante (máximo
	40%) b) Diedros del tercer evento acompañada de dirección máxima
	de compresión (σ1). c) Diagrama de círculo de Mohr129
Figura 80.	Modelo de Riedel para el segundo evento
Figura 81.	a). Diagrama de rosetas, con orientación predominante (máximo
	28.57%) b) Diedros del cuarto evento acompañada de dirección de
	extensión (σ3). c) Diagrama de círculo de Mohr131
Figura 82.	Modelo de Riedel para el cuarto evento
Figura 83.	Modelo de Riedel para el quinto evento
Figura 84.	a). Diagrama de rosetas, con orientación predominante (máximo
	50%) b) Diedros del quinto evento acompañada de dirección de
	extensión (σ3). c) Diagrama de círculo de Mohr133
Figura 85.	Clasificación de lo diferentes tipos de regímenes

ÍNDICE DE FOTOGRAFÍAS

		Pág.
Fotografía 1.	Vegetación característica. E: 773623.21, N: 9212908.55, Cota: 2912 m.s.n.m.	
Fotografía 2.	Afloramiento de la Formación Carhuaz, E: 772117, N: 9213130, Cota: 2902 m.s.n.m.	
Fotografía 3.	Vista panorámica de las rocas areniscas de la Formación Farrat (Ki-ca) suprayaciendo a la Formación Carhuaz, localizado en el Cerro Shicuana, E:762934, N:921133, Cota: 2772 m.s.n.m.	
Fotografía 4.	Contacto entre la Formación Inca y Formación Chulec, presencia de bivalvos, carretera Llagamarca. E: 774619	,
Fotografía 5.	Intercalaciones de calizas nodulares y margas de la Formación Chulec, presencia de gasterópodo, E: 774440, N: 9213044, Cota: 2969 m.s.n.m.	
Fotografía 6.	Vista panorámica de secuencias volcánicas. E: 7	7 42
Fotografía 7.	Secuencia Volcánica San José-Evento 2 (Nm-sj/2) en discordancia angular con la Formación Carhuaz Ki-ca E:775157; N:9211836; Cota: 2781 m.s.n.m.	
Fotografía 8.	Vista panorámica de hipabiales andesiticos en Huambocancha	43
Fotografía 9.	Vista panorámica de los depósitos cuaternarios, E:773646; N:9212951; Cota: 2937 m.s.n.m.	
Fotografía 10.	Deposito fluvial en el Rio Grande, N: 9213109, E: 773126, Cota: 2787 m.s.n.m.	
Fotografía 11.	Deposito aluvial la margen del Rio Porcón N: 9213038 E: 772957 cota:2784	45
Fotografía 12.	Deposito coluvial en la base del cerro Shicuana en el caserío Huambocancha Baja, N: 9212220, E: 772762 cota:2841	46
Fotografía 13.	Vista panorámica de las unidades morfométricas. N: 9213915, E: 773220, cota:2843	49

	Pág.
Fotografía 14.	Escape en la margen derecha de la Quebrada Las Vizcachas. N: 9213759, E: 773808 cota:2871
Fotografía 15.	Vista de panorámica de plegamiento del centro poblado de Huambocancha Baja
Fotografía 16.	Vista panorámica de E-W del anticlinal Huambocancha Baja, en la Formación Farrat, N: 9214604 E: 772501 cota:3020 m.s.n.m53
Fotografía 17.	Vista panorámica de W-E del anticlinal Huambocancha Baja, en la Formación Farrat, N: 9210776 E: 774511 cota:2707 m.s.n.m53
Fotografía 18.	Anticlinal Llushcapampa, en la formación Farrat, N: 9213892 E: 773176 cota:2843 m.s.n.m
Fotografía 19.	Sinclinal Llagamarca, N: 9213892 E:773176 cota:2843 m.s.n.m60
Fotografía 20.	Imagen satelital del sinclinal Llagamarca61
Fotografía 21.	Vista panorámica de la falla inversa F-01, N: 9214392 E: 773157 Cota:2918
Fotografía 22.	Falla F-01 N: 9213809, E: 773843, Cota: 2867 m.s.n.m65
Fotografía 23.	Indicadores cinemáticos de F-0165
Fotografía 24.	Vista panorámica de la falla dextral en la quebrada Las Vizcachas F-02, N: 9214392 E: 773157 Cota:2918 m.s.n.m
Fotografía 25.	Vista panorámica falla dextral en la quebrada el Tigre N: 9213444, E: 774685, Cota: 2944 m.s.n.m
Fotografía 26.	Vista panorámica de la falla normal en la quebrada Las Vizcachas F-03, N: 9214531 E: 773197 Cota:2918
Fotografía 27.	Vista panorámica falla normal en la quebrada el Tigre N: 9212875 E: 776084 Cota:2988 m.s.n.m
Fotografía 28.	Vista panorámica de la falla dextral en el Río Grande F-04, N: 9213589 E: 773712 Cota:2973 m.s.n.m70
Fotografía 29.	Panorámica de la falla dextral en la Río Grande N: 9212866 E: 772234 Cota:2902 m.s.n.m

		Pág.
Fotografía 30.	Movimiento de la falla e indicadores cinemáticos N: 9213729, E: 773552 , Cota: 2820 m.s.n.m.	.71
Fotografía 31.	Vista panorámica de la F-05 en el margen derecho de Río Grande F-05, N: 9214528 E: 773198 Cota: 2951 m.s.n.m.	.72
Fotografía 32.	Falla normal N: 9213605, E: 773512 Cota: 2844 m.s.n.m.	.73
Fotografía 33.	Vista panorámica de F-06, N: 9213911, E: 773214, Cota: 2844 m.s.n.m.	.74
Fotografía 34.	Indicadores cinemáticos de F-06 N: 9213489, E: 773350 , Cota: 2818 m.s.n.m.	.75
Fotografía 35.	Vista panorámica de la falla F-07, N: 9213884, E: 773154, Cota: 2843 m.s.n.m.	.76
Fotografía 36.	Indicadores cinemáticos de F-07, N: 9213546, E: 773465, Cota: 2830 m.s.n.m.	.77
Fotografía 37.	Vista panorámica de la F-08 N: 9211809 E: 773570 Cota: 2753 m.s.n.m.	.78
Fotografía 38.	Indicadores cinemáticos de F-08 N: 9212684, E: 773736, Cota: 2885 m.s.n.m.	.78
Fotografía 39.	Vista satelital de Google earth de F-09	.81
Fotografía 40.	Vista panorámica de F-09 N: 9212278, E: 774569, Cota:2890 m.s.n.m.	
Fotografía 41.	Indicadores cinemáticos de F-09 N: 9212255, E: 774551, Cota:2894 m.s.n.m.	.81
Fotografía 44.	Vista panorámica de falla normales N: 9211817 E: 772931 Cota: 2893 m.s.n.m.	.83
Fotografía 43.	a) Falla normal de en secuencia volcánicas de tobas, N: 9212088, E:774355 Cota: 2878 m.s.n.m.	.83
Fotografía 42.	Vista panorámica de F-10 N: 9212571 E: 774215 Cota: 3061 m.s.n.m.	.84

		Pág.
Fotografía 45.	Falla normal en tobas N: 921257 E: 774899 Cota: 2768 m.s.n.m.	84
Fotografía 46.	Falla dextral en la Formación Carhuaz, N: 9211824, E:775136	
	Cota: 2766 m.s.n.m.	86
Fotografía 47.	Vista satelital de la F-12.	86
Fotografía 48.	Brecha en F-12, N: 9211824, E:775136 Cota: 2766 m.s.n.m.	86
Fotografía 49.	Falla sinestral F-13, N: 9211439, E: 775606, Cota: 2769 m.s.n.m.	
		88
Fotografía 50.	Vista satelital de F-13	88
Fotografía 51.	Indicadores cinemáticos de F-13, N: 9211439, E: 775606, Cota:	
	2769 m.s.n.m.	88
Fotografía 52.	Vista panorámica de F-14, N: 9211885, E: 772772, Cota: 2911	
	m.s.n.m.	89
Fotografía 53.	F-14 en la canal de regadío Vizcachas	89
Fotografía 54.	Indicadores cinemáticos de F-14, N: 9212814, E: 773362, Cota:	
	2806 m.s.n.m.	89
Fotografía 55.	Vista panorámica de la F-15, N: 9213471 E: 773724 Cota:2969	
	m.s.n.m.	91
Fotografía 56.	F-15 en la Formación Carhuaz	91
Fotografía 57.	Indicadores cinemáticos F-15, N: 9213130, E: 772117, Cota:2867	
	m.s.n.m.	91
Fotografía 58.	Vista panorámica de la falla F-16, N: 9213471 E: 773724	
	Cota:2969 m.s.n.m	93
Fotografía 59.	Falla normal en la Formación Carhuaz N: 9212662, E: 772454 2,	
	Cota:2869 m.s.n.m.	93
Fotografía 60.	Indicadores cinemáticos de F-16	93
Fotografía 61.	Indicadores cinemáticos de F-17 N: 9211370, E: 773151, Cota:	
	2949 m.s.n.m.	96

		Pag
Fotografía 62.	Vista panorámica de la falla F-17, N: 9213471, E: 773724, Cota: 2969 m.s.n.m.	96
Fotografía 63.	Indicadores cinemáticos de F-18, N: 9211478, E: 773257, Cota: 2893 m.s.n.m	97
Fotografía 64.	Vista panorámica de la falla F-18, N: 9213471 E: 773724 Cota:2969 m.s.n.m.	97
Fotografía 65.	a) Vista panorámica de la F-19, N: 9211370, E: 773151, Cota:2949 m.s.n.m.	99
Fotografía 66.	Indicadores cinemáticos de F-19, N: 9211113 E: 7773350, Cota: 2782 m.s.n.m.	99
Fotografía 67.	Vista panorámica de la falla F-20 N: 9211258, E: 773228, Cota:2894 m.s.n.m.	100
Fotografía 68.	Indicadores cinemáticos de F-20, N: 9211115, E: 773364, Cota:2768 m.s.n.m.	100
Fotografía 69.	Vista panorámica de la falla F-21 N: 9212891, E: 773785, Cota: 2990 m.s.n.m.	101
Fotografía 70.	Indicadores cinemáticos F-21, N: 9211803 E: 772780 Cota: 2924 m.s.n.m.	101
Fotografía 71.	Vista panorámica de F-22, N: 9212841, E: 773744, Cota: 2955 m.s.n.m.	104
Fotografía 72.	Indicadores cinemáticos de F-22 N: 9211807, E: 772776 Cota: 2929 m.s.n.m.	
Fotografía 73. V	Vista panorámica de F-23, N: 9212841, E: 773744, Cota: 2955 m.s.n.m.	105
Fotografía 74.	Indicadores cinemáticos de F-23 N: 921184, E: 7772731, Cota: 2952 m.s.n.m.	
Fotografía 75.	Vista panorámica de la falla F-24, N: 9212378, E: 772427, Cota: 2933 m.s.n.m.	106

]	Pág.
Fotografía 76.	Falla normal en Formación Farrat N: 9212415, E: 7772345	,
	Cota: 2964 m.s.n.m.	107
Fotografía 77.	Indicadores cinemáticos de F-24	107
Fotografía 78.	Vista panorámica de la falla F-25, E:773646, N:9212951, Cota:	
	2937 m.s.n.m	108
Fotografía 79.	Indicadores cinemáticos de F-25, N: 9212350, E: 772312, Cota: 2961 m.s.n.m.	108
Fotografía 80.	Vista panorámica de la falla F-26, N: 9212224, E: 772400, Cota:3034 m.s.n.m.	110
Fotografía 81.	Indicadores cinemáticos F-26, N: 9212348, E: 772285, Cota: 2966 m.s.n.m.	110
Fotografía 82.	Falla sinestral-normal F-27, N: 9212349, E: 772301, Cota: 2964 m.s.n.m.	111
Fotografía 83.	Indicadores cinemáticos de F-27, N: 9212349, E: 772303, Cota: 2964 m.s.n.m	111
Fotografía 84.	Indicadores cinemáticos de F-28 N: 9212378, E: 772473, Cota: 2926 m.s.n.m	114
Fotografía 85.	Vista panorámica de la falla F-28, N:9212951, E:773646, Cota: 2937 m.s.n.m.	114
Fotografía 86.	Vista panorámica de la falla F-29 N: 9212232, E: 772318, Cota:3035 m.s.n.m	115
Fotografía 87.	Indicadores cinemáticos de F-19 en Formación Carhuaz N:9212344, E: 772155, Cota:3051 m.s.n.m.	116
Fotografía 88.	Proyección de F-29 en la quebrada Rosamayopata N: 9211038, E: 772623, Cota:2979 m.s.n.m	116
Fotografía 89.	Falla dextral F-30, N: 9212232, E: 772318, Cota:3035 m.s.n.m	117
Fotografía 90.	Indicadores cinemáticos F-30, N: 9212372, E: 772140, Cota:3056 m.s.n.m.	117

ÍNDICE DE TABLAS

	Pág
Tabla 1.	Clasificación establecida a partir de plunge del pliegue
Tabla 2.	Clasificación basada en el buzamiento plano axial14
Tabla 3.	Clasificación de fallas usando la inclinación del vector de deslizamiento.
Tabla 4.	Clasificación de rocas de falla
Tabla 5.	Relación entre la forma del tensor de esfuerzos (R´), y el estado de esfuerzos
Tabla 6.	Relación entre la forma del tensor de esfuerzos (R), y el estado de esfuerzos
Tabla 7.	Movimientos deformatorios que han sucedido a nivel regional en la parte Nor - Occidental del Perú. Cajamarca, San Marcos, Cajabamba, etc
Tabla 9.	Accesibilidad del Área de Investigación
Tabla 10.	Clasificación según nivel, diseño, y finalidad de investigación36
Tabla 11.	Clasificación de las Unidades morfogenéticas
Tabla 12.	Promedio de datos estructurales del anticlinal Huambocancha51
Tabla 13.	Clasificación plunge del pliegue55
Tabla 14.	Clasificación de buzamiento plano axial
Tabla 15.	Clasificación del pliegue Huambocancha Baja56
Tabla 16.	Promedio de datos estructurales del anticlinal Llushcapampa57
Tabla 17.	Clasificación plunge del pliegue59
Tabla 18.	Clasificación de buzamiento plano axial
Tabla 19.	Clasificación del pliegue Llushcapampa60
Tabla 20.	Promedio de datos estructurales del sinclinal Llagamarca61
Tabla 21.	Clasificación plunge del pliegue
Tabla 22.	Clasificación de buzamiento plano axial
Tabla 23.	Clasificación del pliegue Llushcapampa63

		Pág.
Tabla 24.	Datos estructurales de la estación F-01	64
Tabla 25.	Datos lineales de los sigmas de la estación F-01	65
Tabla 26.	Datos estructurales de la estación F-02	66
Tabla 27.	Datos lineales de los sigmas de la estación F-02	68
Tabla 28.	Datos estructurales de la estación F-03	68
Tabla 29.	Datos lineales de los sigmas de la estación F-03	69
Tabla 30.	Datos estructurales de la estación F-04	70
Tabla 31.	Datos lineales de los sigmas de la estación F-04	71
Tabla 32.	Datos estructurales de la F-05	72
Tabla 33.	Datos lineales de los sigmas de la estación F-05	74
Tabla 34.	Datos estructurales de la estación F-06	74
Tabla 35.	Datos lineales de los sigmas de la estación F-06	75
Tabla 36.	Datos estructurales de la estación F-07	76
Tabla 37.	Datos lineales de los sigmas de la estación F-07	77
Tabla 38.	Datos estructurales de la estación F-08	78
Tabla 39.	Datos lineales de los sigmas de la estación F-08	79
Tabla 40.	Datos estructurales de la estación F-09	80
Tabla 41.	Datos lineales de los sigmas de la estación F-09	81
Tabla 42.	Datos estructurales de la estación F-10	82
Tabla 43.	Datos lineales de los sigmas de la estación F-10	83
Tabla 44.	Datos estructurales de la estación F-11	83
Tabla 45.	Datos lineales de los sigmas de la estación F-11	84
Tabla 46.	Datos estructurales de la estación F-12	85
Tabla 47.	Datos lineales de los sigmas de la estación F-12	86
Tabla 48.	Datos estructurales de la estación F-13	87
Tabla 49.	Datos lineales de los sigmas de la estación F-13	88
Tabla 50.	Datos estructurales de la estación F-14.	89

		Pág
Tabla 51.	Datos lineales de los sigmas de la estación F-14	90
Tabla 52.	Datos estructurales de la estación F-15	91
Tabla 53.	Datos lineales de los sigmas de la estación F-15	92
Tabla 54.	Datos estructurales de la estación F-16	93
Tabla 55.	Datos lineales de los sigmas de la estación F-16	94
Tabla 56.	Datos estructurales de la estación F-17	95
Tabla 57.	Datos lineales de los sigmas de la estación F-17	96
Tabla 58.	Datos estructurales de la estación F-18	96
Tabla 59.	Datos lineales de los sigmas de la estación F-18	97
Tabla 60.	Datos estructurales de la estación F-19	98
Tabla 61.	Datos lineales de los sigmas de la estación F-19	99
Tabla 62.	Datos estructurales de la estación F-20	99
Tabla 63.	Datos lineales de los sigmas de la estación F-20	101
Tabla 64.	Datos estructurales de la estación F-21	101
Tabla 65.	Datos lineales de los sigmas de la estación F-21	102
Tabla 66.	Datos estructurales de la estación F-22	103
Tabla 67.	Datos lineales de los sigmas de la estación F-22	104
Tabla 68.	Datos estructurales de la estación F-23	104
Tabla 69.	Datos lineales de los sigmas de la estación F-23	106
Tabla 70.	Datos estructurales de la estación F-24	106
Tabla 71.	Datos lineales de los sigmas de la estación F-24	108
Tabla 72.	Datos estructurales de la estación F-25	108
Tabla 73.	Datos lineales de los sigmas de la estación F-25	109
Tabla 74.	Datos estructurales de la estación F-26	110
Tabla 75.	Datos lineales de los sigmas de la estación F-26	111
Tabla 76.	Datos estructurales de la estación F-27	111
Tabla 77.	Datos lineales de los sigmas de la estación F-27	112

		Pág
Tabla 78.	Datos estructurales de la estación F-28	113
Tabla 79.	Datos lineales de los sigmas de la estación F-28	114
Tabla 80.	Datos estructurales de la estación F-29	114
Tabla 81.	Datos lineales de los sigmas de la estación F-29	116
Tabla 82.	Datos estructurales de la estación F-30	116
Tabla 83.	Datos lineales de los sigmas de la estación F-30	117
Tabla 84.	Resumen de estación, esfuerzos y régimen	123
Tabla 85.	Resumen de datos estructurales del primer evento	124
Tabla 86.	Resumen de datos estructurales del segundo evento.	126
Tabla 87.	Datos de esfuerzo del segundo evento.	128
Tabla 88.	Resumen de datos estructurales del tercer evento	128
Tabla 89.	Datos de esfuerzo del tercer evento.	130
Tabla 90.	Resumen de datos estructurales del cuarto evento	130
Tabla 91.	Datos de esfuerzo del cuarto evento.	132
Tabla 92.	Resumen de datos estructurales del Quinto evento	132
Tabla 93.	Datos de esfuerzo del quinto evento.	134
	ÍNDICE DE GRÁFICOS	
Gráfico 1.	Histograma de precipitación acumulada promedio mensual (mm).	35
Gráfico 2.	Histograma de planos, orientación vs frecuencia.	120

ABREVIATURAS

Dx : Falla Dextral.Ix : Falla Inversa.

IxDx : Falla Inversa con componente dextral.IxSx : Falla Inversa con componente sinestral.

Fm: Formación.

GPS : Global Positioning System.

Gpo : Grupo.

Km : Kilómetro.

msnm: Metros sobre el nivel del mar.

Nx : Falla Normal.

NxDx : Falla Normal con componente dextral.NxSx : Falla Normal con componente sinestral.

N : Norte.NE : Nor EsteNW : Nor OestePág. : Página

S : Sur

SE : Sur Este
SW : Sur Oeste

Sx : Falla Sinestral.

UTM : Universal Transversal de Mercator

WGS-84 : World Geodetic System 1984

σ1 : Esfuerzo principal mayor

σ2 : Esfuerzo principal intermedio

σ3 : Esfuerzo principal menor

RESUMEN

El área de investigación situada en el centro poblado de Huambocancha Baja, provincia de Cajamarca, compuesta de unidades litológicas Cretácico inferior, Paleogenas, Neogenas, presentan diversas estructuras geológicas las cuales es importante conocer su génesis. Para entender ello se realizó un análisis el comportamiento estructural en el cual se identificó las estructuras tectónicas: Pliegues, Fallas del cuales determinaron los indicadores cinemáticos a través del desarrollo del cartografiado geológico – estructural, con dicha información se estableció las direcciones de los paleoesfuerzos. Identificándose 5 eventos: Primer evento compresional NE-SW, responsable del plegamiento de la secuencia cretácica, relacionada a la Fase Tectónica Inca I. Segundo evento compresional NE-SW, formador de las fallas inversas regiones y desacople cortical a nivel de las lutitas de la Formación Chicama, correlacionado con la Fase Tectónica Inca II. Tercer evento transtensional NE-SW, fallas del segundo evento se reactivaron con componente cizallante y se vincula a la Fase Tectónica Inca IV. Cuarto evento distensional N-S. se formaron fallas normales E-W, por lo que genero un Horts paralelo a la orientación de la extensión, correlaciona con Fase Tectónica Quechua I. Quinto evento distensivo NE-SW. encargado de la generación de fallas normales NW-SE que formaron graben, erosionando la charnela del pliegue de Huambocancha, dando lugar a la cuenca intramotañosa de Cajamarca (sector norte), y se asocia a la Fase Tectonica Quechua II.

Palabras Claves: Estructuras, evento, comportamiento estructural, paleoesfuerzo. indicadores cinemáticos

ABSTACT

The research area located in the town center of Huambocancha Baja, province of Cajamarca, composed of Lower Cretaceous, Paleogene, and Neogen lithological units, present various geological structures which it is important to know their genesis. To understand this, an analysis of the structural behavior was carried out in which the tectonic structures were identified: Folds, Faults of which the kinematic indicators were determined through the development of geological-structural mapping, with this information the directions of the paleostresses were developed. Identifying 5 events: First NE-SW compressional event, responsible for the folding of the Cretaceous sequence, related to the Inca Tectonic Phase I. Second NE-SW compressional event, forming the reverse fault regions and cortical decoupling at the level of the shales of the Chicama Formation, correlated with the Inca Tectonic Phase II. Third NE-SW transtensional event, faults of the second event were reactivated with a shear component and are linked to the Inca Tectonic Phase IV. Fourth N-S distension event. E-W normal faults were formed, which generated a Horts parallel to the orientation of the extension, correlating with Quechua Tectonic Phase I. Fifth NE-SW distensional event. responsible for the generation of NW-SE normal faults that formed graben, eroding the hinge of the Huambocancha fold, giving rise to the intramountain basin of Cajamarca (northern sector), and is associated with the Quechua Tectonic Phase II.

Keywords: Structures, event, structural behavior, paleostress kinematic indicators

CAPÍTULO I INTRODUCCIÓN

El desarrollo de sistemas de cizalla en la tectónica Andina, ha influenciado el norte del Perú, las cuales se relacionan con el sistema de fallas regionales de rumbo andino, que se disponen en función de la convergencia oblicua de las placas tectónicas, teniendo un factor de rumbo con relación a la transversal andina, se considera que estas son expresiones estructurales secundarias son de rumbo andino (Torres *et al.* 2020)

El área de investigación se ubica en el distrito Cajamarca, al noroeste de la ciudad de Cajamarca, compuesta por unidades litológicas del Cretácico Inferior, las que han sido sometidas a los esfuerzos tectónicos generando fallas y pliegues asociado a un evento tectónico compresivo. Las cuales no tienen registro de un estudio detallado en base al comportamiento cinemático.

Teniendo en cuenta estas características, de allí la importancia de realizar un análisis estructural en el centro poblado de Huambocancha Baja que comprende un área de 7.3 Km², haciendo usos de fichas, formatos, software, en empleando ello se determinará, la geometría, el tipo de movimiento y clasificarlos, por lo cual es necesario la recopilación de información, desarrollo de un cartografiado geológico – estructural haciendo uso de software ArcGIS v. 10.5, Faultkin v. 8.1 y Stereonet v. 11.4, Además, de una contribución informativa a los profesionales de las ciencias interesadas en realizar estudios afines.

Formulación del problema

De acuerdo a lo expuesto en el planteamiento del problema se ha formulado la siguiente incógnita. ¿Cuál es el comportamiento estructural en el centro poblado de Huambocancha Baja?

Hipótesis

El comportamiento estructural en el centro poblado de Huambocancha Baja, presentan

indicadores cinemáticos que muestran a las estructuras geológicas influenciadas por los

paleoesfuerzos que siguieron la dirección SW-NE formando diaclasas, fallas y pliegues,

generados por eventos tectónicos compresivo por la orogenia andina, la que concuerda

con la subducción de la placa de nazca debajo de la sudamericana.

Justificación

El presente trabajo tiene como finalidad, entender el comportamiento estructural rocas

sedimentarias en el centro poblado de Huambocancha Baja, lo que conlleva a realizar un

estudio detallado de las estructuras geológicas, además de que sirva como apoyo en

posteriores investigaciones científicas de carácter geológico.

Alcances o delimitación de la investigación

Con el propósito de evaluar el comportamiento estructural de las rocas en el centro

poblado de Huambocancha Baja, se ha delimitado de la siguiente manera.

Delimitación espacial: Las formaciones litológicas en el centro poblado de

Huambocancha Baja, Cajamarca, abarcando un área de 7.3 km²

Delimitación temporal: El trabajo se realizará entre los meses de junio del 2022 a

octubre del 2024.

Objetivos

General

Analizar el comportamiento estructural en el centro poblado de Huambocancha Baja.

2

Específicos

Realizar el cartografiado geológico-estructural

Identificar las estructuras geológicas.

Establecer la dirección de los paleoesfuerzos.

Determinar los indicadores cinemáticos.

Descripción de contenidos

La investigación se ha dividido en cinco capítulos; como Capítulo I tenemos la Introducción, donde se presenta el planteamiento del problema de investigación, la formulación del mismo, la hipótesis, los alcances de la investigación, las limitaciones, y los objetivos del proyecto. En el Capítulo II que corresponde al Marco Teórico, contiene los antecedentes teóricos de la investigación, las bases teóricas usadas, y la definición de los términos básicos que se han usado en la investigación. En el Capítulo III correspondiente a los materiales y métodos se describe el procedimiento utilizado en la investigación, los instrumentos de recolección de datos empleados y los resultados obtenidos. En el Capítulo IV corresponde al análisis y discusión de resultados que presenta la interpretación de los resultados obtenidos de la investigación. En el V y último capítulo se presentan las conclusiones y recomendaciones a las que se ha llegado después de la elaboración de la investigación final.

CAPÍTULO II MARCO TEÓRICO

2.1 Antecedentes Teóricos

2.1.1 Antecedentes internacionales

Garcia y Jimenéz (2015), en su investigación sobre el análisis estructural del Anticlinal de Zipaquiráun, a partir de una revisión cartográfica, datos cinemáticos, de fracturas y secciones transversales plantea la evolución cinemática del pliegue, calculando el tensor de esfuerzos, demostrando un ambiente distensivo. Además, deduce una evolución cinemática compleja, lo cual indica el inicio de la deformación pre-andina, el levantamiento de bloques separados y controlados estructuralmente.

Forero-Ortega, *et al* (2020) en su trabajo estilos estructurales y tensores de esfuerzos hacia el suroriente del Macizo de Santander (Colombia). En base al análisis de la cartografía geológica, tratamiento de datos de diaclasas y tensores de esfuerzos determinados con planos estriados de fallas, se distinguieron tres direcciones de máxima compresión horizontal, relacionados con la influencia en la zona de estructuras regionales, los cuales soportan los distintos estilos de deformación.

Frías-Saba, *et al* (2021) en su estudio análisis geométrico y cinemático del anticlinal Chos Malal, provincia del Neuquén, realizó un mapa geológico detallado y dos secciones estructurales F-O para reconocer y diferenciar los dominios de buzamiento, en base a estos parámetros, se reconstruyó la estructura completa utilizando el modelo de pliegue. Por lo que el pliegue es asimétrico, cerrado, volcado hacia el oeste. El análisis del patrón de fracturación muestra los juegos de diaclasas: N-S, E-O, NE-SO y ONO-ESE. Compatibles con un esfuerzo máximo compresivo (σ1) en dirección E-O.

2.1.2 Antecedentes nacionales

Becerra (2017), en su tesis de caracterización estructural de la cuenca mesozoica Arequipa en Pachía (36v) y Palca (36x) mediante análisis microtectónico e integración con información sísmica del subsuelo, recoge las evidencias de paleoesfuerzos en las rocas, con el fin de conocer el estilo de deformación, integrando con información sísmica del Offshore, analizadas e interpretadas en el Software FaultKin. Concluyendo que inicialmente tuvo un régimen distensivo, esto se corrobora los datos de microtectónica tomados en rocas mesozoicas en los cuadrángulos de Pachía (36-v) y Palca (36-x).

Alaya (2021), en su trabajo sobre la influencia de la tectónica cenozoica del antearco peruano en el mecanismo de deformación del Morro Solar mediante el análisis estructural, para determinar ello, llevó a cabo la revisión de la cartografía geológica junto con un análisis las poblaciones de estructuras extensionales, compresionales y de desgarre, así como estrías y marcas de arrastre tectónico, estudiadas mediante el Método de los Diedros Rectos y modelamiento estructural 2D-3D. por ende el mecanismo de deformación es propuesto como el resultado de cinemáticas oblicuas de desgarre con componente extensional dentro de un modelo de cizalla simple.

Benavente y Delgado (2012), en su investigación sobre falla Amaru: tectónica activa y paleoesfuerzos en el altiplano sur peruano. Establecer la importancia en el contexto tectónico, a su vez hace una análisis morfológico, geométrico y cinemático de los escarpes del sector central a partir del análisis poblacional de fallas, análisis de familias de estrías y cálculo de tensores de esfuerzos en el programa FaultKin. el cual sugiriere una cronología de esfuerzos para los últimos 5 Ma y un estilo de deformación compresional.

2.1.3 Antecedentes locales

Cerdan (2018), en su tesis. Para lo cual realizó el cartografiado geológico, analizó el comportamiento las rocas, interpretó secciones geológicas, y finalmente definió la configuración estructural, llegando a la conclusión de que la deformación está influenciada por las estructuras que lo generan, así como por el comportamiento geomecánico de las rocas que experimentan la deformación.

Mantilla (2022), en sus estudio llamado geología estructural y su relación con los mantos de carbón en el distrito de Pedro Galvez y alrededores, de la provincia de San Marcos, realizo el estudio geológico orientado a la determinación de las estructuras tectónicas del entorno geológico, utilizando analisis cinematico identificó la relación de estructuras principales, dominantes y secundarias, encontrando así que el principal esfuerzo está siguiendo el lineamiento del ciclo andino, con orientación NW – SE.

Requelme (2021), en su investigación denominada caracterización estructural del sinclinal de Llullapuquio y su relación en la intrusión del pórfido Colpayoc, Cajamarca, desarrolló un modelo de evolución de la deformación e intrusión, se concluyó que el sinclinal Llullapuquio tuvo dos mecanismos de deformación y los indicadores cinemáticos determinó que las fallas con desplazamiento normal presentan componente sinestral, siendo estas las que controlan la intrusión.

Sousa (2016), en su tesis denominada caracterización litológica y estructural de los Volcánicos Huambos en las localidades de Lluscapampa y Los Alisos-Cajamarca determina un sistema de fracturas de compresión y distensión relacionadas a una etapa de relajación posterior a la tectónica Incaica definiéndose un alineamiento estructural de los cuerpos intrusivos andesíticos de orientación NE- SW (orientación trasandina) denominándose corredor Lluscapampa- Los Alisos.

2.2 Bases Teóricas

2.2.1 Fuerza

Vector que produce un cambio en la velocidad o dirección de movimiento de un cuerpo que puede estar estacionario o ya en movimiento. La segunda ley del movimiento de Newton establece que:

$$F = ma$$

donde F es fuerza (un vector), m es masa (un escalar) y a es aceleración (también un vector). Las fuerzas del cuerpo actúan por igual en todas las partes de un cuerpo.

2.2.2 Esfuerzo

El esfuerzo se define como la reacción interna de un cuerpo a la aplicación de una fuerza o conjunto de fuerzas, y es una cantidad que no se puede medir directamente, ya que el parámetro físico que se mide es la fuerza (Gonzáles, 2002).

Si definimos un plano P en una masa de roca sometida a una tensión vertical σ , la tensión a través de una pequeña parte del plano se puede escribir como:

$$\sigma = \Delta F / \Delta A$$

Hatcher y Bailey (2020) indican que el esfuerzo en cualquier plano de una masa de roca, particularmente cerca de la superficie, es probable que varíe de un lugar a otro en el plano, ya sea porque la cantidad de sobrecarga varía o porque el plano está inclinado hacia la superficie.

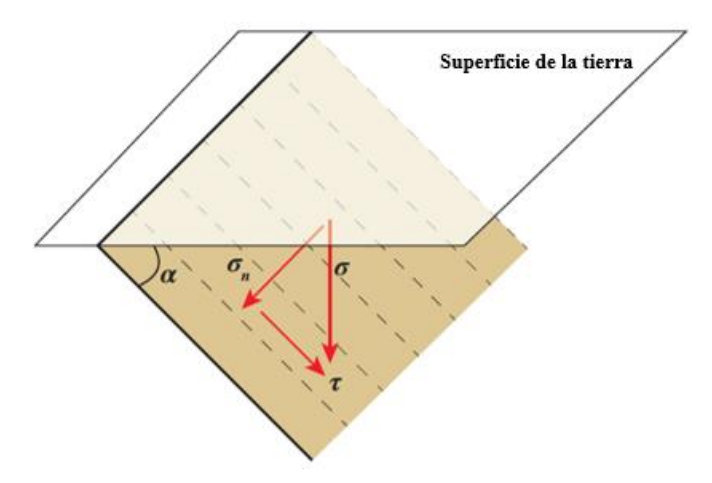


Figura 1. Vectores de esfuerzo que actúan sobre un plano inclinado, σ es el componente vertical de la tensión resuelta en componentes normales (σ_n) y de cizallamiento (τ) .

Fuente: Adaptado de Hatcher y Bailey, (2020).

Lillo y Oyarzun (2013), consideran para un volumen infinitesimal en donde el esfuerzo resultante podemos escribirlo como una matriz, conocida como tensor de esfuerzos, de manera que este tensor representaría el esfuerzo resultante en ese punto. Las componentes ortogonales a las superficies son los llamados esfuerzos normales (σ_n). Las componentes paralelas a las superficies, son los esfuerzos tangenciales o de cizalla (τ).

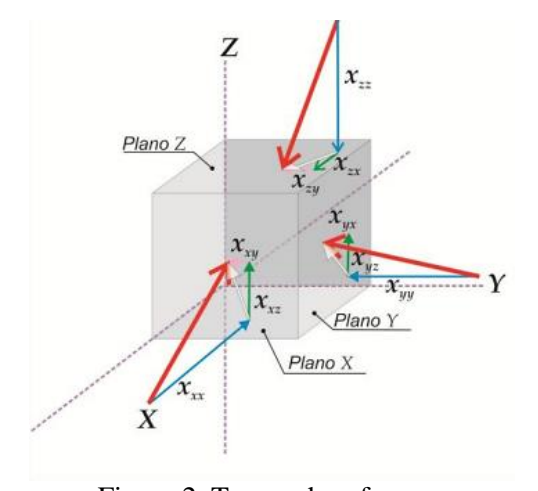


Figura 2. Tensor de esfuerzos Fuente: Tomado de Lillo y Oyarzun, (2013).

Elipse de esfuerzos

Los cuatro vectores son los esfuerzos principales, que son perpendiculares entre sí y se designan σ_1 , para el par con mayor magnitud y σ_3 , para el par con menor magnitud. Las direcciones de los esfuerzos principales se conocen como direcciones de los esfuerzos principales y los planos normales a las direcciones de los esfuerzos principales son llamados planos principales de esfuerzo (Figura 3).

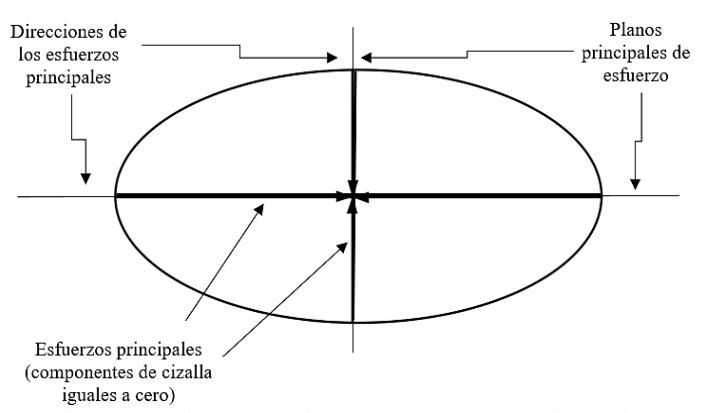


Figura 3. Elipse de esfuerzo y sus partes principales. Fuente: Adaptado de Padilla, (2021).

Los vectores de esfuerzo alrededor de un punto en tres dimensiones, definen al llamado elipsoide de esfuerzo, análogo a la elipse de esfuerzo, pero con tres ejes perpendiculares entre sí. Los tres esfuerzos principales se denominan $\vec{\sigma}_1$, $\vec{\sigma}_2$ y $\vec{\sigma}_3$ y sus magnitudes $\sigma_1 \ge \sigma_2 \ge \sigma_3 > 0$.

las tres secciones de un elipsoide de esfuerzo en donde $\sigma_1 > \sigma_2 > \sigma_3$. Este caso es el más común en la naturaleza, en la que casi siempre las magnitudes de los esfuerzos principales son diferentes entre sí y mayores que cero. (Padilla, 2021)

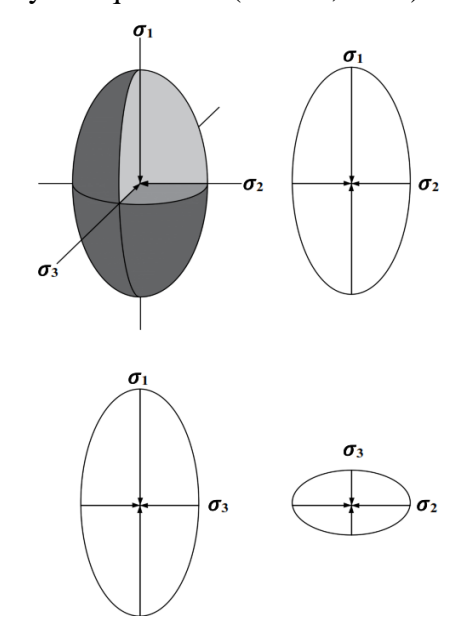


Figura 4. Elipsoide de esfuerzo y sus planos principales. Fuente: Adaptado de Padilla (2021).

2.2.3 Deformación

Según Garcia (2012), son cambios en la forma y volumen que experimentar las rocas como resultado del esfuerzo aplicado. La deformación se produce cuando la intensidad del esfuerzo es mayor que la resistencia interna de la roca. Tipos de deformación son: deformación frágil cuando las rocas se fracturan formando diaclasas y fallas; deformación dúctil cuando los materiales se deforman plegándose. Dependiendo del comportamiento de la roca.

2.2.4 Fracturas

La rotura siempre se asocia a la formación de discontinuidades, que pueden manifestarse como planos de fractura, o bien como un conjunto de numerosos planos de discontinuidad, que definen una zona de rotura o fractura. Pero no siempre el material tiene un comportamiento frágil, otras veces, presenta un comportamiento frágil-dúctil o dúctil, produciendo una zona con intensa deformación, que implica fenómenos de reorientación, disolución y recristalización mineral (Lillo y Oyarzun, 2013).

De acuerdo con Van der Pluijm y Marshak (2004), existen tres modos diferentes de desplazamiento de la superficie de las fracturas. Modo I son fracturas de tensión, se abren muy levemente en la dirección perpendicular a la superficie de la fractura, así mismo se forman paralelos al plano principal de tensión que es perpendicular a la dirección σ_3 y pueden crecer en su plano sin cambiar de orientación. Modo II (el modo deslizante), el bloque de un lado de la superficie de la fractura se mueve muy levemente en la dirección paralela a la misma y perpendicular al frente. Modo III (el modo de desgarro), el bloque de un lado de la fractura se desliza muy levemente paralela a la fractura, pero en una dirección paralela al frente.

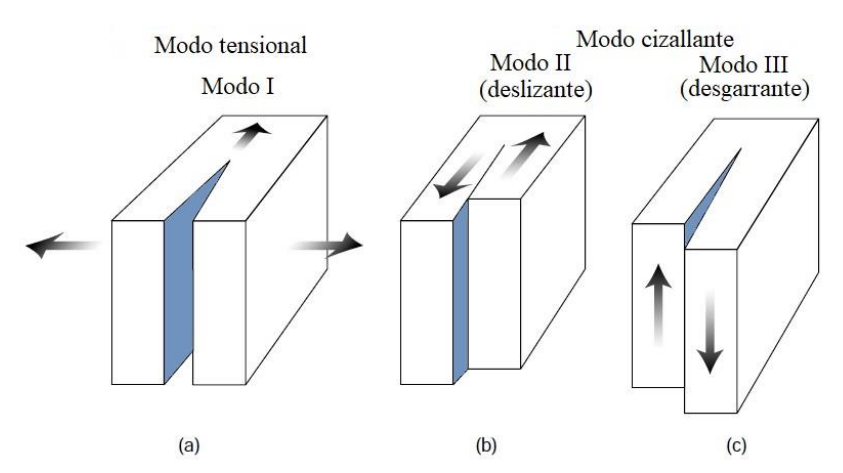


Figura 5. Block diagrama ilustrando los tres modelos de fracturas, (a) Modelo I, (b) Modelo II, (c) Modelo III. Modelo I formado por fractura extensión, Modelo II y Modelo III son fracturas por cizallamiento.

Fuente: Adaptado Van der Pluijm y Marshak, (2004).

2.2.5 Pliegues

Es una estructura secundaria resultado de deformación dúctil heterogénea, la cual se manifiesta como una o varias ondulaciones de sus elementos originales, cuando esto ocurre, las rocas experimentan una modificación en su geometría (Arellano *et al.* 2002). Según Ruiz (2017), los elementos de los pliegues son los siguientes:

- 1. Flancos o limbo: Partes de la superficie plegada comprendidas entre dos zonas de charnelas sucesivas.
- 2. Línea de charnela: Línea de máxima curvatura de la superficie plegada.

- 3. Eje de pliegue. Línea imaginaria, que moviéndose paralelamente a sí misma en el espacio, genera la superficie plegada. Tiene orientación, pero no localización. En pliegues cilíndricos coincide con la línea de charnela.
- 4. Superficie axial o Plano axial: Superficie que contiene a las sucesivas líneas de charnela de todos los estratos plegados.
- 5. Ángulo interlimbo o interflanco: Ángulo que forman entre sí los dos flancos del pliegue, medido en un plano perpendicular a ellos., es el que contiene al plano axial del pliegue. Si no se conoce la orientación del plano axial, se asimila al plano bisector de este ángulo en una de sus dos posibilidades: mayor o menor de 90°.

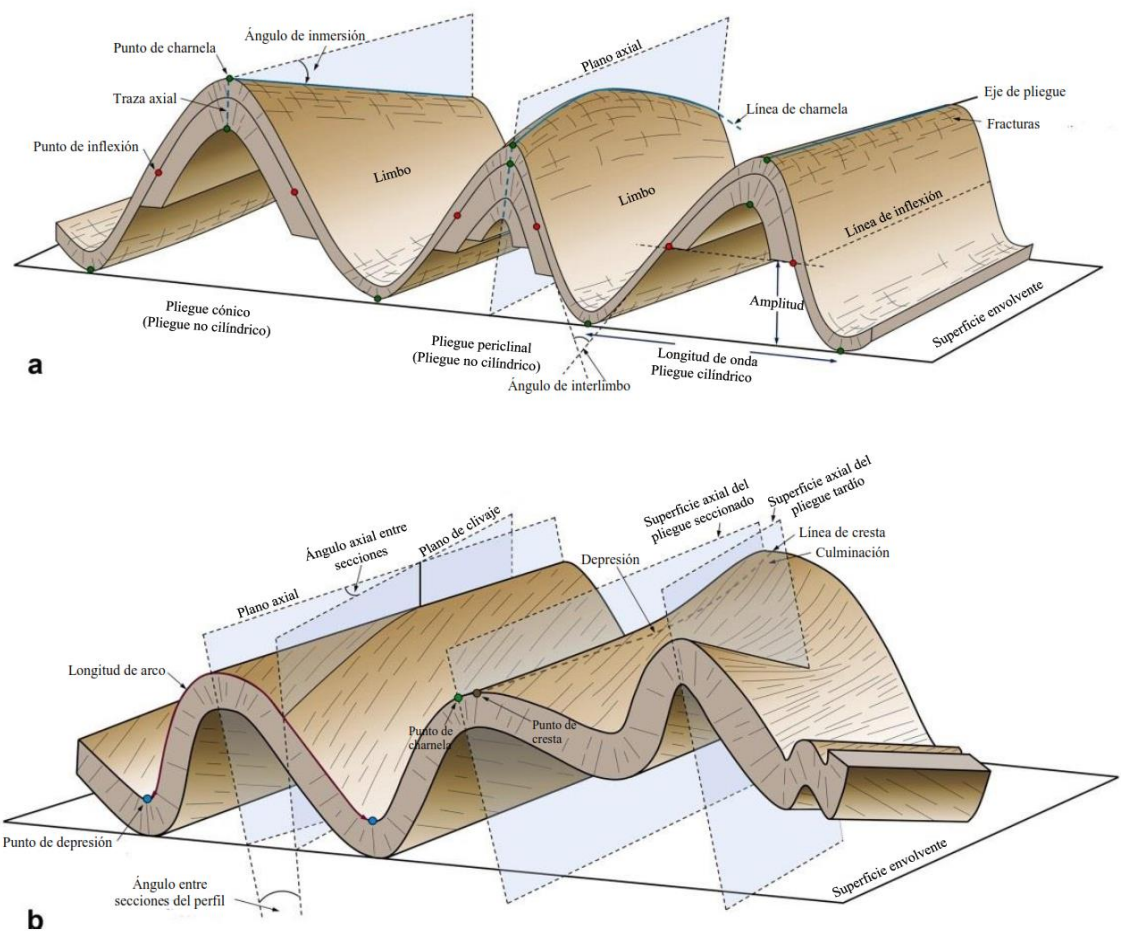


Figura 6. a) Parámetros geométricos de pliegues cilíndricos y no cilíndricos, b) La relación entre plano de clivaje, superficie axial y superficie envolvente en pliegues con clivaje transecto y pliegue transecto.

Fuente: Adaptado de Nabavi y Fossen, (2021).

Clasificación geométrica de pliegues

Los pliegues pueden analizarse geométricamente como un conjunto de capas con espesor variable definido por algún atributo geométrico, o la forma de un conjunto de superficies descritas como una función geométrica. Las descripciones geométricas de pliegues van más allá de las descripciones básicas del buzamiento de flancos, de línea de charnela, etc., pero tales descripciones generalmente forman la base de una descripción estructural que es independiente de cualquier concepto geodinámico.

Líneas de charnela

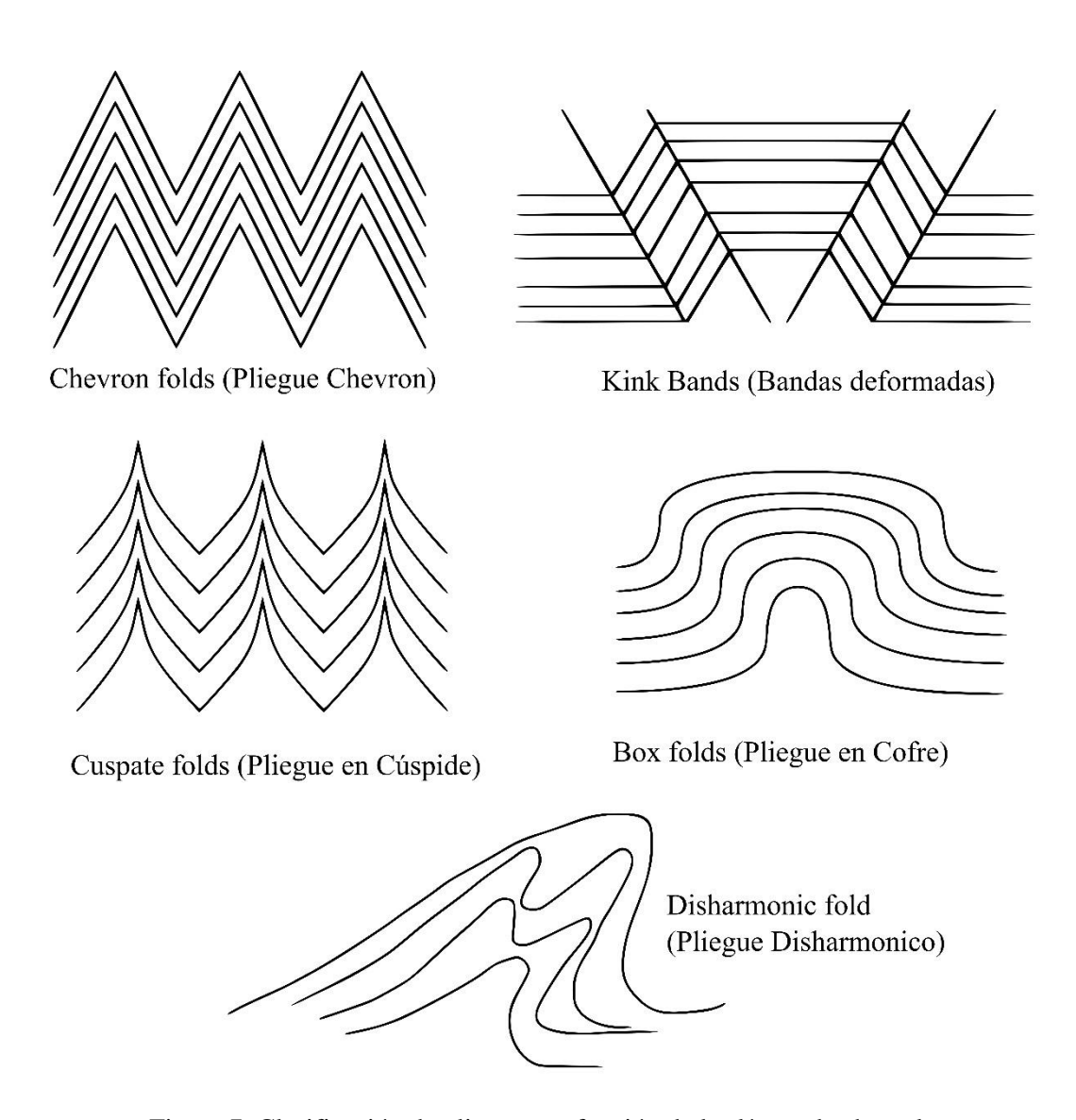


Figura 7. Clasificación de pliegues en función de las líneas de charnela, Fuente: Adaptado de (Allmendinger, 1999)

Ángulo interlimbo

Como señala Tremlett (1976), es el ángulo mínimo entre los flancos medido en el perfil perpendicular al eje del pliegue. Por medio del ángulo entre los flancos se puede describir y diferenciar entre los siguientes tipos de pliegues: suave (180°> θ >120°), abierto (120°> θ >70°), cerrado (70°> θ >30°), apretado (30°> θ >0°), isoclinal (θ ≈0°) (Fleuty 1964) y elasticas o hongo (θ <0°0 menos de θ >0°).

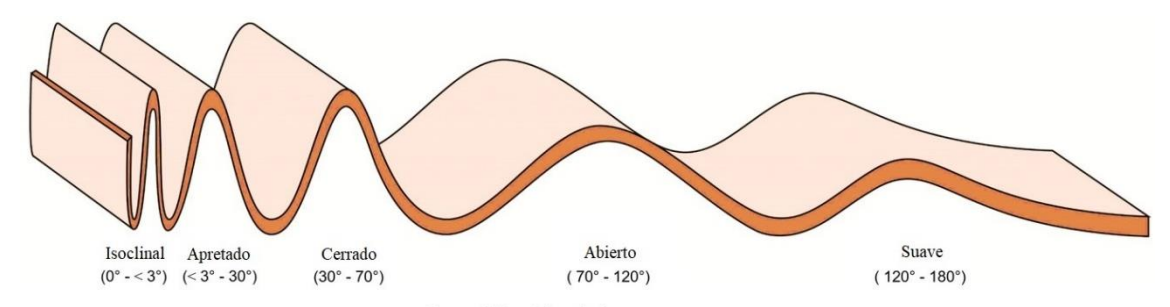


Figura 8. Clasificación de pliegues geométricos basada en el ángulo entre limbo. Fuente: Adaptado de Nabavi y Fossen, (2021).

Orientación de pliegues

Los pliegues se clasifican sobre la base del buzamiento de la superficie axial y la inmersión del eje de plegado. Estos atributos son independientes de la curvatura y el ángulo entre los flancos.

Los estereogramas en la figura 8, representan ejemplos de diferentes clases de pliegues. La orientación de la superficie axial se representa mediante un gran círculo a lo largo del cual se traza la línea de la charnela del pliegue (Lisle y Leyshon, 2004).

Tabla 1. Clasificación establecida a partir de plunge del pliegue.

Inmersión (Plunge)	Clase	Estereogramas
0 – 10 °	No buzante	1,2,3 y 4
10° - 30 °	Buzando suavemente	5, 6 y 7
30 ° - 60 °	Buzando moderadamente	
60 ° - 80 °	Buzando fuertemente	8 y 9
80° - 90 °	Pliegue vertical	10

Fuente: Tomado de Lisle y Leyshon, (2004).

Tabla 2. Clasificación basada en el buzamiento plano axial.

Buzamiento	Clase	Estereogramas
0 – 10 °	Tumbado	4
10° - 30 °	Suavemente inclinado	3 y 7
30 ° - 60 °	Ligeramente inclinado	
60 ° - 80 °	Fuertemente inclinado	2,6 y 9
80° - 90 °	Pliegue recto (vertical)	1,5,8 y 10

Fuente: Tomado de Lisle y Leyshon, (2004).

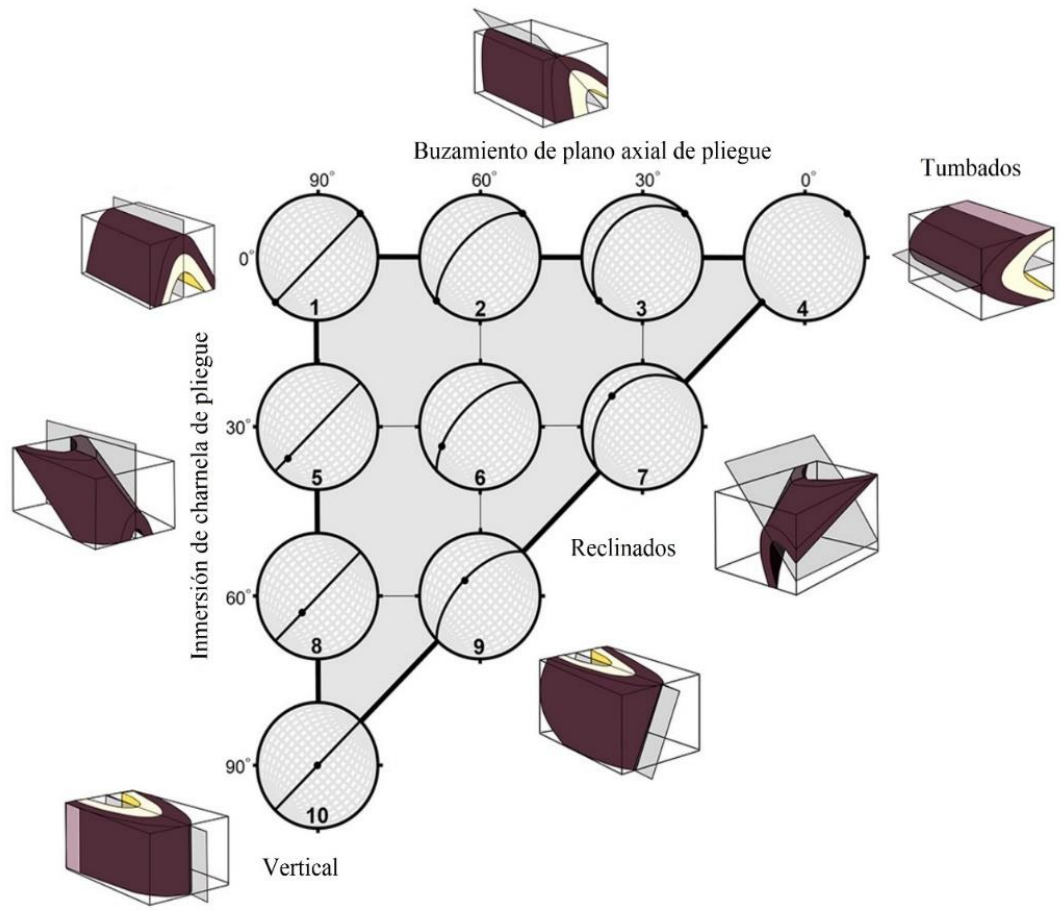


Figura 9. Estereogramas para la clasificación de los pliegues basada en la inmersión y en el buzamiento de la superficie axial.

Fuente: Adaptado de Nabavi y Fossen, (2021).

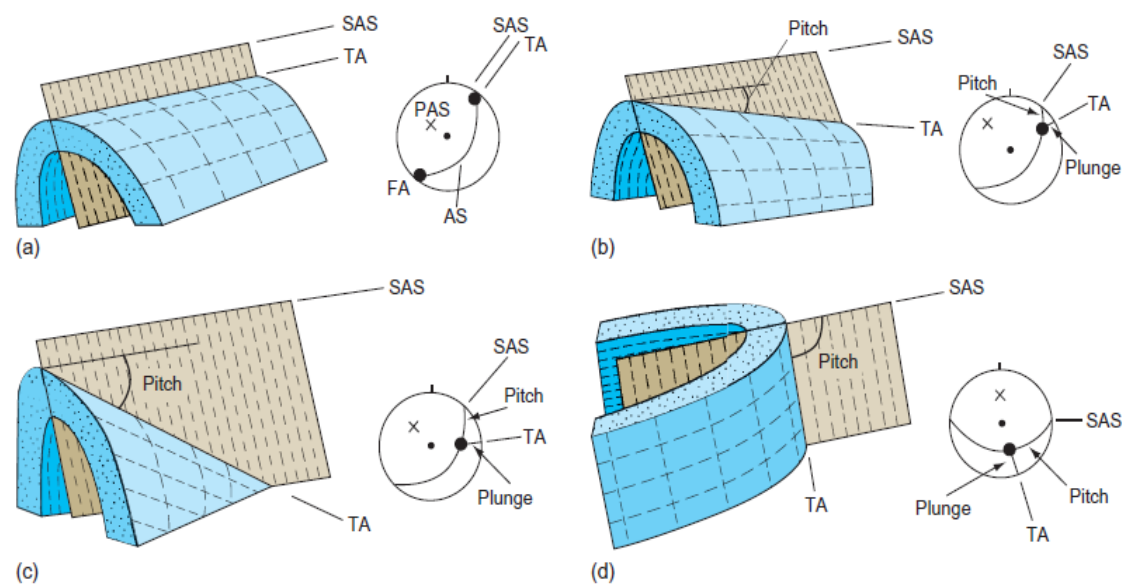


Figura 10. Orientación de la superficie axial y restricciones en la orientación del eje de pliegue en cero (a), intermedio (b y c) y caída pronunciada (d). PAS: polo a superficie axial indicada por una x en todos los diagramas de tejido. AS: superficie axial. FA: eje de plegado. TA: tendencia del eje. SAS: golpe de superficie axial.

Fuente: Tomado de Hatcher y Bailey, (2020).

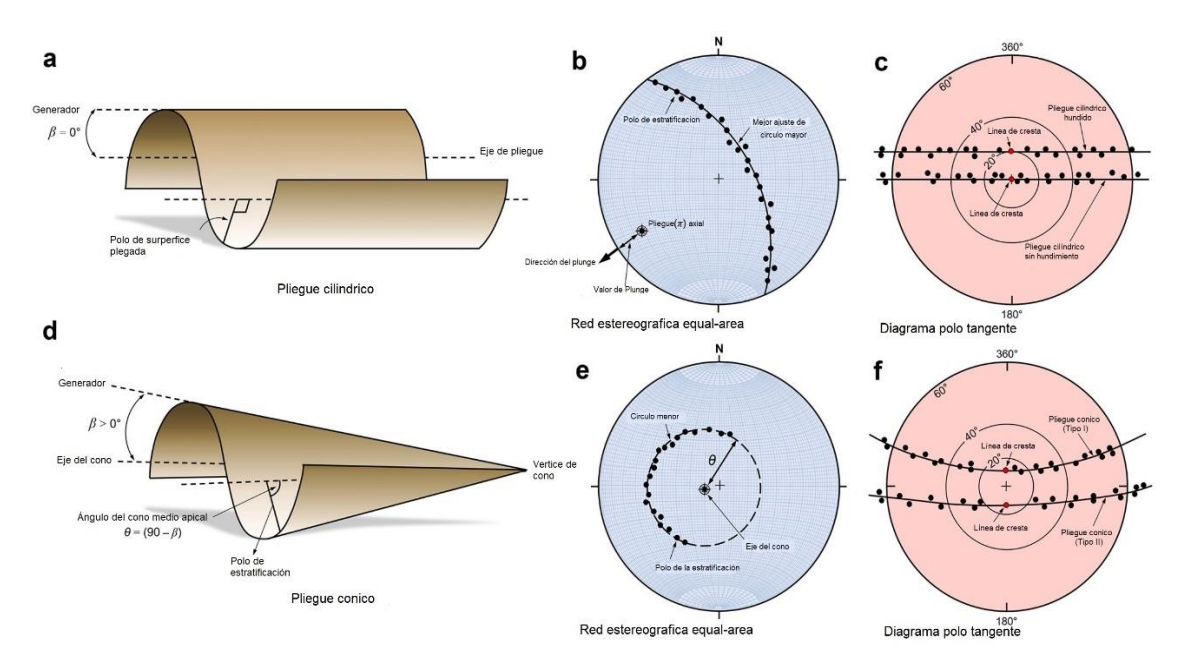


Figura 11. a) Capa plegada cilíndrica. b) Red de Schmidt para un pliegue cilíndrico. c)
Diagrama polar tangente de capa en pliegues cilíndricos hundidos y no hundidos. d) Capa
plegada cónica. e) Red de Schmidt de una superficie plegada cónica. c) Diagrama polar tangente
de capa en pliegues cónicos Tipo-I y Tipo-II
Fuente: Adaptado de Nabavi y Fossen, (2021).

Según Twis y Moores (2007), manifiesta que teniendo en cuenta el rumbo y buzamiento de una capa plegada que contiene fracturas a partir de las cuales se pueden determinar los tres ejes a, b y c, ortogonales entre sí, que forman la base de la clasificación de fracturas tensiones y en cizalla. El eje (a) es paralelo al echado en la estratificación, el eje (b) es paralelo al rumbo de la capa y al eje del pliegue y el eje (c) es en todas partes perpendicular a la capa. El plano de fractura que contiene al eje a y c es llamada fractura ac; la fractura b y c es llamada fractura bc y la fractura a y b es llamada ab (ésta última paralela a la estratificación).

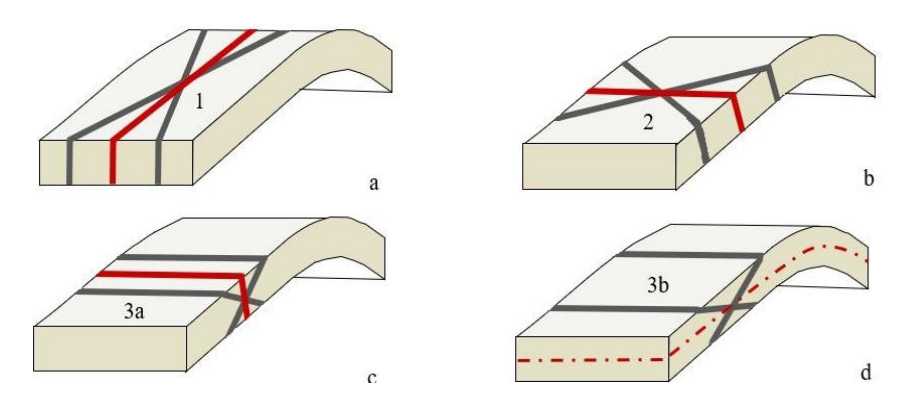


Figura 12. Esquema que muestra una generalización de los principales tipos de fracturas relacionadas con el plegamiento.

Fuente: Tomado de Stearms, (1968).

Estos tipos de fracturas son catalogadas como fracturas de tensión. Del mismo modo, las fracturas de cizalla se forman en planos conjugados con un ángulo de 60° entre sí. Se denotan por h, k, l que en un sistema de coordenadas ortogonal serian a, b y c respectivamente. Se asigna un 0 al eje paralelo a la línea definida por la intersección de los planos de fractura y posteriormente, se indica el eje contenido en el ángulo agudo (zona de máximo esfuerzo de compresión (σ_1)) que definen el par conjugado de fracturas. Las fracturas de cizalla se generan 6 diferentes tipos de fracturas: hk0 con ángulo agudo al eje a, hk0 con ángulo agudo al eje b, h0l con ángulo agudo al eje a, h0l con ángulo agudo al eje c (Ruiz, 2017).

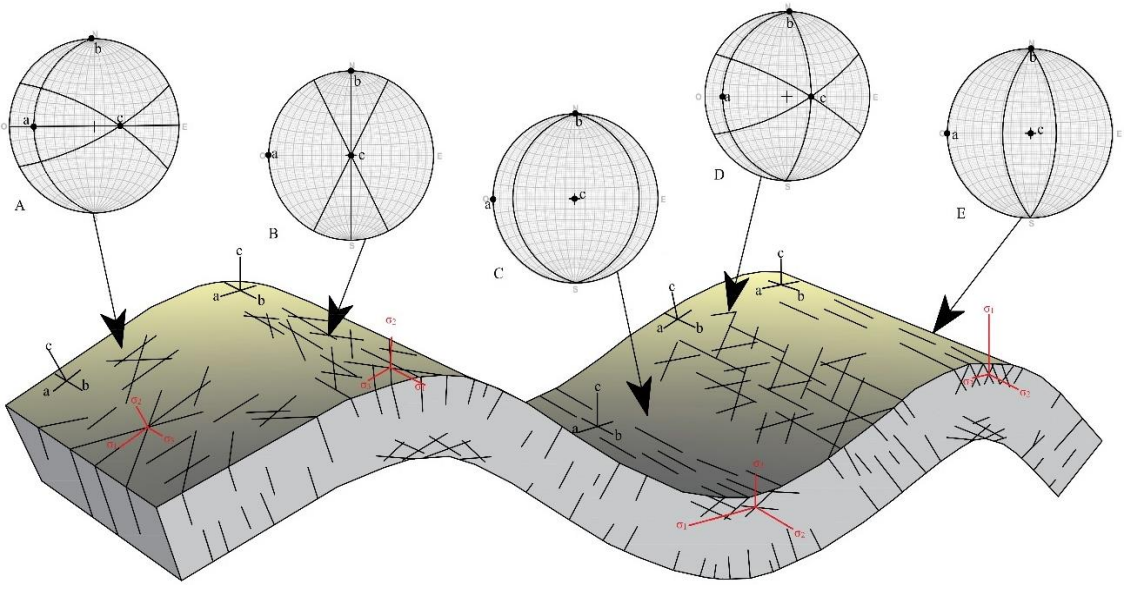


Figura 13. Esquema que muestra fracturas asociadas a un pliegue. Se muestra también la posición de las fracturas en una proyección estereográfica.

Fuente: Adaptado de Twis y Moores, (2007).

2.2.6 Falla

Es una fractura discreta entre bloques de roca desplazados entre sí, en una dirección paralela al plano de fractura. La zona de falla es una región que contiene varias bifurcación y reconexión entre fallas. Los mapas geológicos generalmente muestran solo fallas que afectan el patrón de afloramiento (Burg, 2020).

Es una superficie de discontinuidades planares a lo largo de las cuales ha ocurrido un desplazamiento significativo. Generalmente se forman en los 10-15 km superiores de la corteza (McClay, 1987).

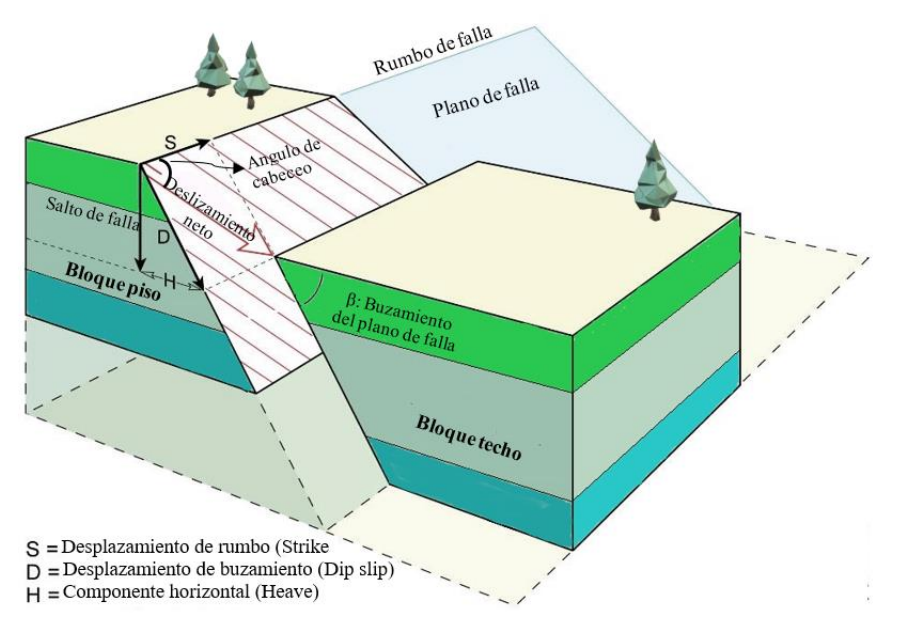


Figura 14. Geometría de falla con componentes relativos de movimiento. Fuente: Adaptado de Burg, (2020).

Clasificación geométrica

La clasificación de fallas y zonas de cizalla se basa en dos parámetros: ángulo de inclinación del vector de deslizamiento y sentido de deslizamiento (o cizalla). Van der Pluijm y Marshak (2004) describen el sentido de corte en las fallas vertical con referencia a una línea horizontal da lugar a, las fallas normales con movimiento de hacia abajo del bloque pared techo, y las fallas inversas con desplazamiento hacia arriba del bloque pared piso. Para definir el sentido de deslizamiento en una falla de rumbo, se debe de tener en cuenta si la pared opuesta de la falla se mueve hacia la derecha, la falla es lateral derecha o dextral, y si la pared opuesta de la falla se mueve hacia la izquierda, la falla es lateral izquierda o sinistral; Las fallas de deslizamiento oblicuo son: de inmersión deslizamiento vertical, y si el componente de deslizamiento de rumbo dextral o sinestral.

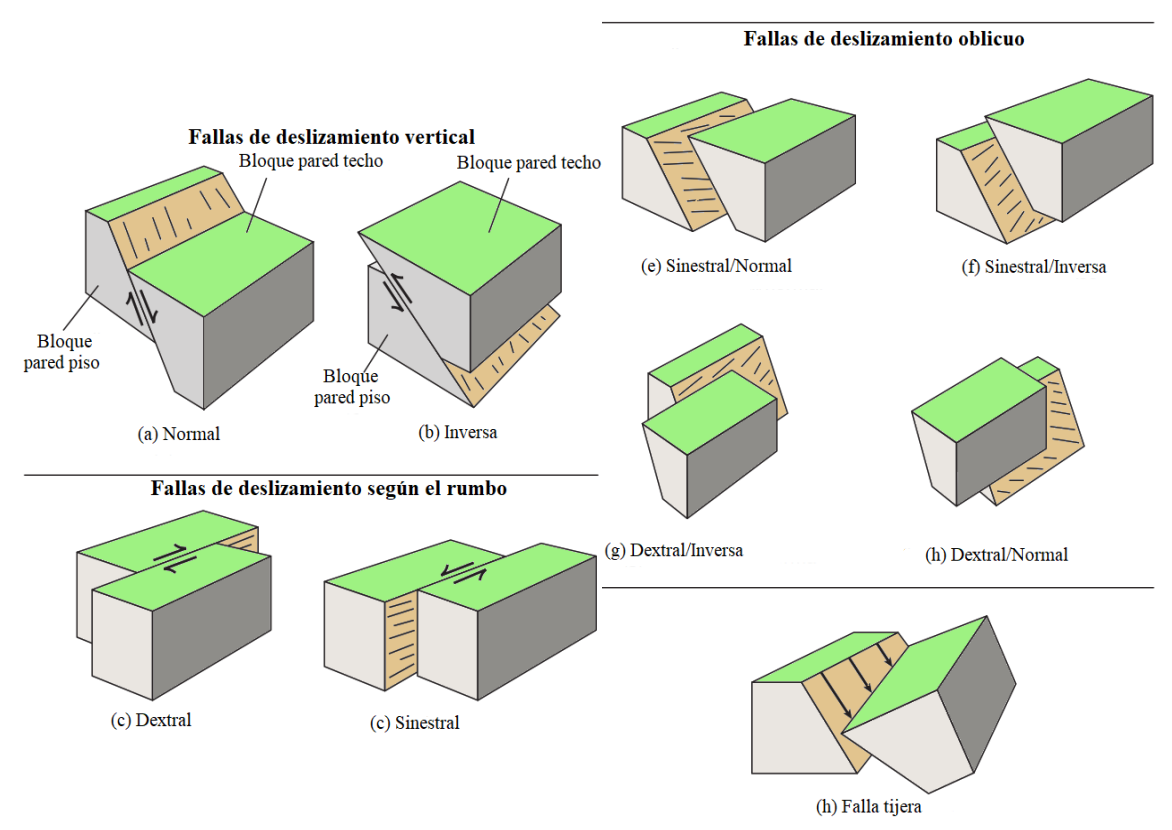


Figura 15. Block diagrama de los diferentes tipos de fallas. Fuente: Adaptado de Van der Pluijm y Marshak; (2004).

Así mismo Nelson (2011), muestra un sistema de clasificación de fallas usando la regla de la mano derecha de inclinación del vector de deslizamiento. La terminología de falla de deslizamiento oblicuo (oblique slip) combinada con un descriptor de cada componente. Ejemplo: falla sinistral-normal.

Tabla 3. Clasificación de fallas usando la inclinación del vector de deslizamiento.

Inclinación del vector de deslizamiento	Tipo de falla
0-20°	Deslizamiento de rumbo (strike
	slip)
20-70°	Deslizamiento oblicuo (oblique
	slip)
70-90°	Deslizamiento vertical (dip slip)

Fuente: Tomada de Nelson, (2011).

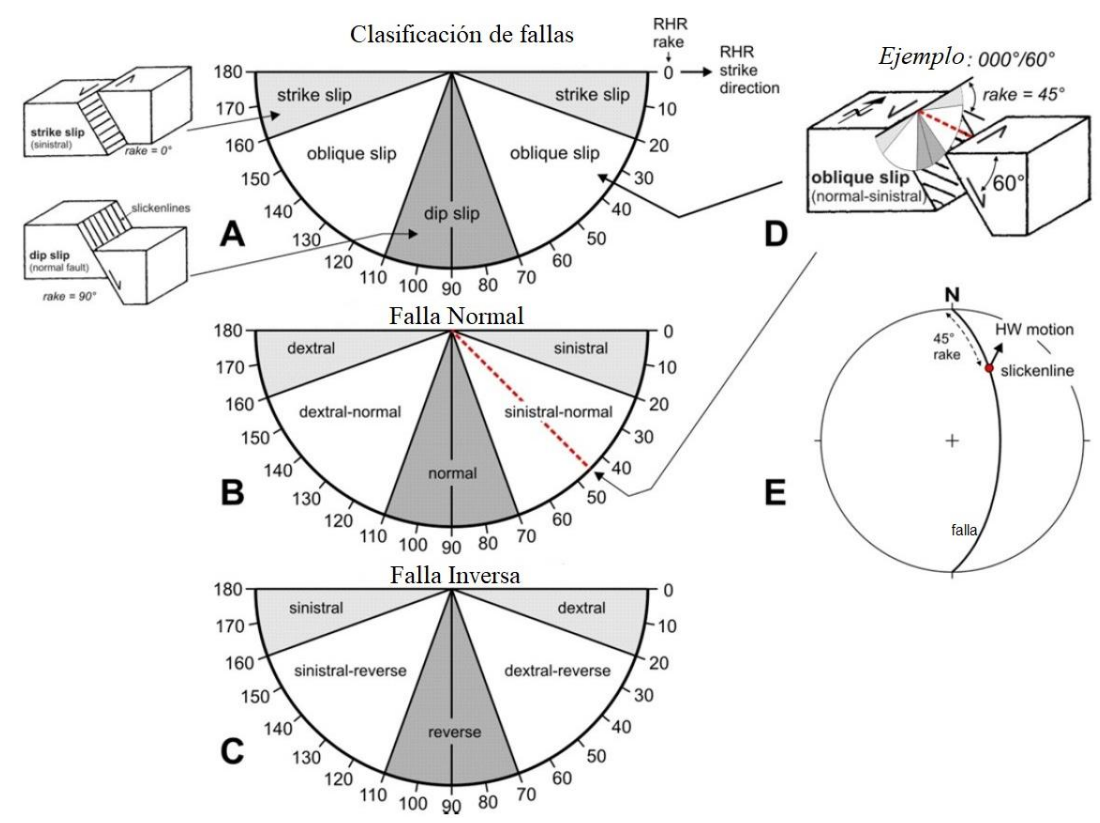


Figura 16. A. Clasificación general de fallas en base al ángulo de rake. B. Componente de deslizamiento normal. C. Componente de deslizamiento inverso. D. Diagrama de bloques mostrando un ejemplo de falla oblicua-slip. E. Estereograma que muestra un ejemplo de falla y línea de corte.

Fuente: Tomada de Nelson, (2011).

Zona de falla

La brecha de falla es un producto común a lo largo de las zonas de falla de la corteza superior, particularmente en los primeros kilómetros de la corteza, donde el potencial de tensión dilatacional aumenta el rango de procesos de formación de brecha. Además, al menos el 30 % de su volumen son clastos de más de 2 mm de diámetro, puede ser cohesiva o no cohesiva, foliada o no, y puede contener pequeños clastos, una matriz de grano fino o un cemento cristalino en cualquier proporción relativa. Las rocas de falla de grano fino, con menos del 30 % de clastos o porfiroclastos mayores de 2 mm, comprenden principalmente las series milonita y cataclasita. Sin embargo, el término gogoe de falla se conserva para el material de grano fino que no es cohesivo en el afloramiento actual (Woodcock y Mort, 2008).

Tabla 4. Clasificación de rocas de falla.

			No foliado	Foliado	
stos 2mm	75-100% clastos grandes (>2mm)		falla	Brecha Crac	kle
>30% clastos grandes >2mm	$\frac{3}{5}$ $\frac{5}{5}$ $\frac{60-75\% \text{ clastos grandes}}{(>2mm)}$		Brecha de falla	Brecha de mos	saico
30-60% clastos grandes (>2mm)		Brec	Brecha caót	ica	
No cohesivo			Fault gouge		
um		Vidrio o vidrio desvitrificado		Pseudotaquilita	
os >2n	0,	0-50% matriz (<0,1mm)		Protocataclasita	Protomilonita
<30% clastos >2mm	Cohesivo	50-90% matriz (<0,1mm)		(Meso) Cataclastico	(Meso) Milonita
<30%	C	90-100% matriz (<0,1mm)		Ultracataclastico	Ultramilonita
		Crecimiento de grano pronunciado			Blastomilonita

Fuente: Tomado de Woodcock y Mort, (2008).

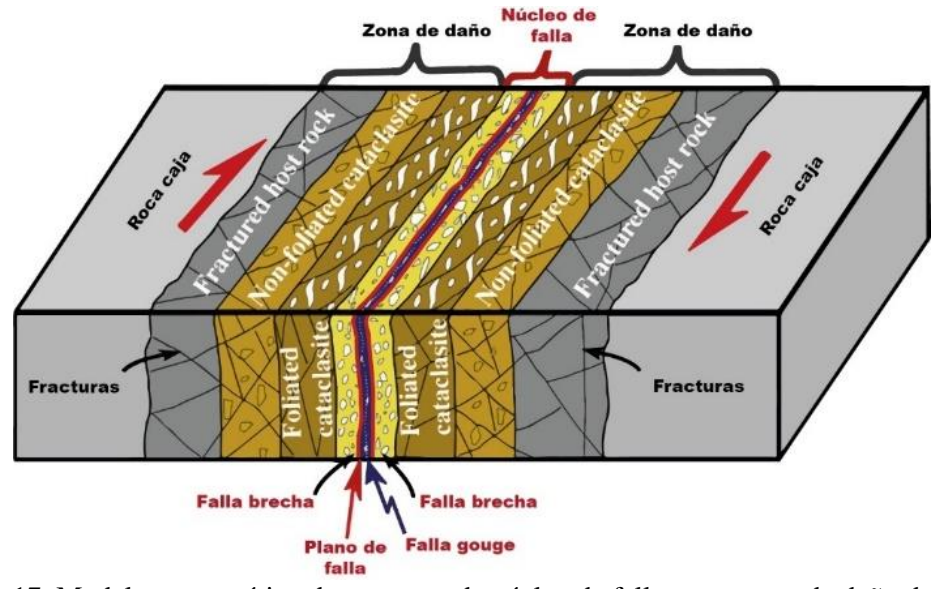


Figura 17. Modelo esquemático de una zona de núcleo de falla y una zona de daño dentro de una zona de falla de rumbo.

Fuente: Tomado de Lin y Yamashita, (2013).

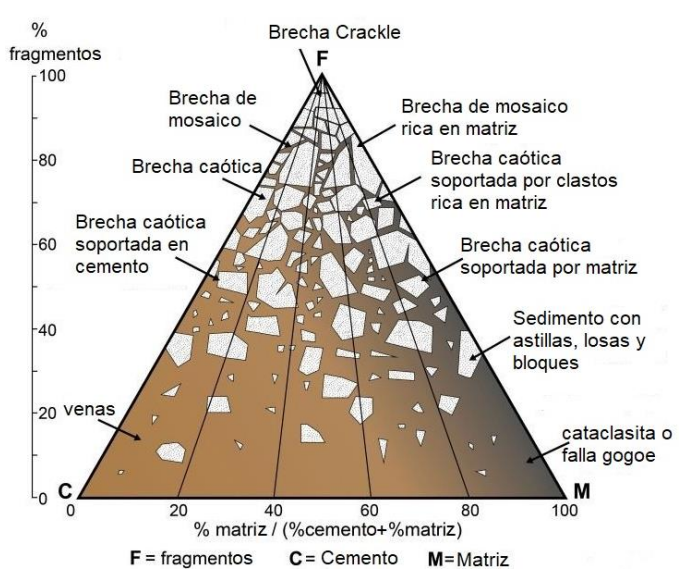


Figura 18. Clasificación de brechas por fragmentos, cemento y matriz Fuente: Tomado de Woodcock *et al.* (2006).

2.2.7 Análisis cinemático

Desde el punto de vista de Fossen (2016), distingue un análisis geométrico que incluye la forma, la orientación geográfica, el tamaño y la relación geométrica, entre la estructura principal y las estructuras relacionadas de menor escala. Las mismas que necesitan varios métodos para medir, describir estructuras y asociaciones estructurales. Además, resalta que el análisis estructural hace uso de muchos métodos y enfoques, pero sirven para comprender el desarrollo estructural o tectónico de una región o para predecir el patrón estructural en un área. En la mayoría de los casos, la geología estructural se basa en datos y observaciones que deben analizarse e interpretarse. El análisis estructural es, por lo tanto, una parte importante del campo de la geología estructural.

Slickensides y Lineaciones de deslizamiento

En la superficie de movimiento. Los lados de deslizamiento pueden desarrollarse en las superficies de fallas, lechos e incluso foliaciones. Implican un movimiento relativo paralelo a la superficie. Como resultado, la superficie puede estar ranurada y pulida o puede estar cubierta con fibras lisas, cristales fibrosos de calcita, cuarzo, clorita, óxidos de hierro u otros minerales con sus ejes longitudinales paralelos a la dirección de deslizamiento que crecieron durante el movimiento. En la escala milimétrica, las

superficies del lado liso suelen estar escalonadas, y los lados inferiores de los escalones indican la dirección del movimiento. (Hatcher y Bailey 2020).

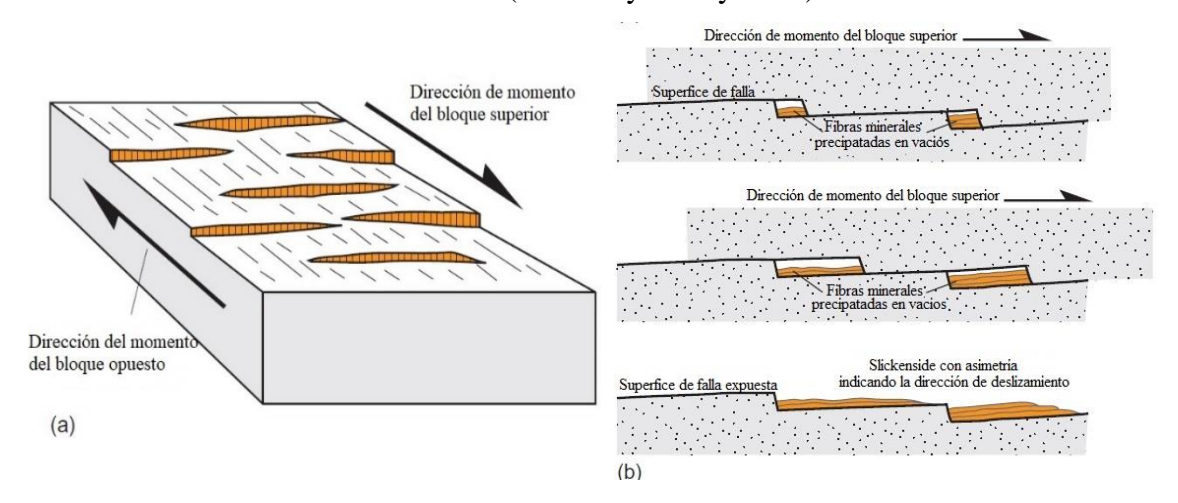


Figura 19. (a) Los escalones y lineamiento de deslizamiento. (b) Sección transversal paralela a la dirección de deslizamiento que muestra asimetría de escalones y fibras. Fuente: Adaptado de Hatcher y Bailey, (2020).

Teoría fallamiento de Anderson

Anderson, citado por Ruiz, (2017) menciona que, las fallas aparecen según dos familias conjugadas que se cortan formando un diedro agudo y otro obtuso. Las estrías situadas sobre ellas son perpendiculares a la línea de intersección de los planos. En la bisectriz de los diedros agudo y obtuso se sitúan los ejes de compresión máxima (σ_1) y mínima (σ_3), respectivamente; en la línea de intersección de las dos familias de planos se ubica el eje intermedio (σ_2).

Fossen, citado por Vega (2018), clasifica tres regímenes de esfuerzos. Si σ_1 es el vertical será un régimen de fallamiento normal, si σ_2 es el vertical será un régimen de fallamiento transforme, y si σ_3 es el vertical será un régimen de fallamiento inverso. A estas desviaciones naturales del estado de referencia de los esfuerzos principales se les conoce como esfuerzos tectónicos, a gran escala está relacionado con el movimiento de placas tectónicas. De manera local, los esfuerzos tectónicos pueden influir en el plegamiento de capas, en la propagación e interacción lateral de fallas y otros efectos locales.

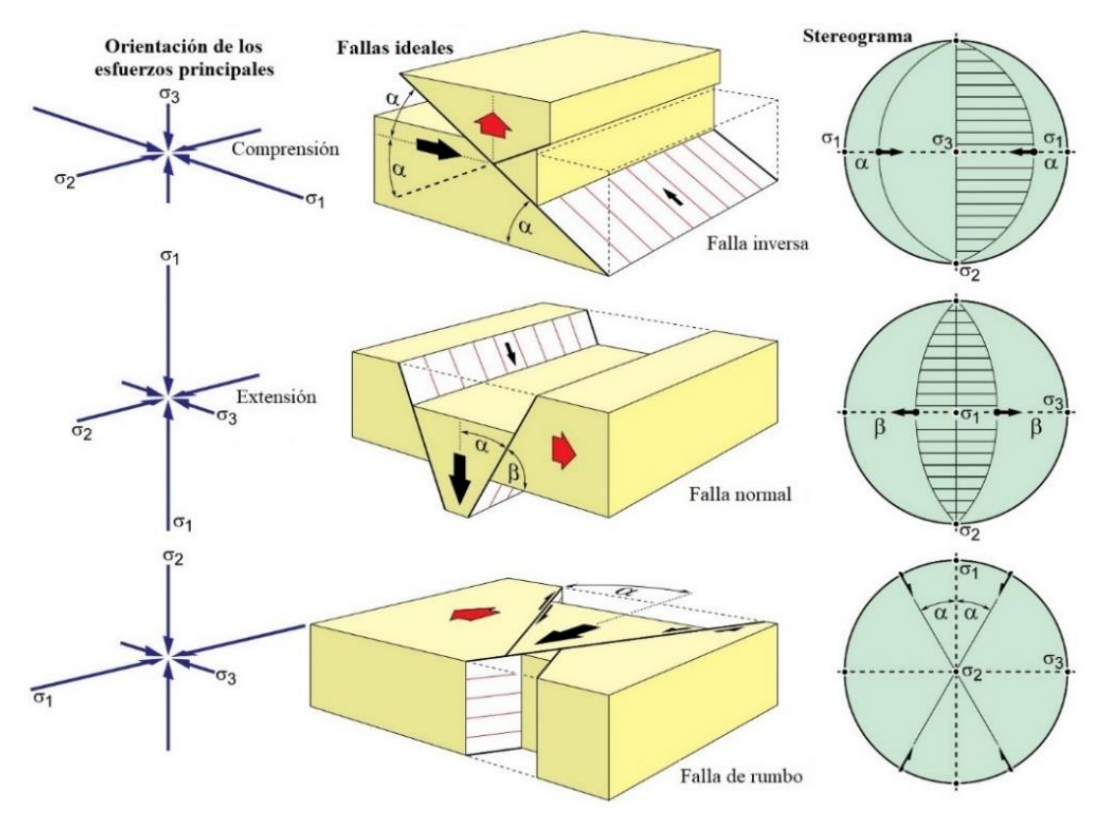


Figura 20. Relación del modelo de Anderson entre tensiones y fallas ideales **Fuente:** Tomado de Burg, (2020).

Modelo de Riedel o compatibilidad geométrica

El criterio de Riedel, da lugar a las fracturas R que son sintéticas con el movimiento principal, formando un ángulo de unos 15° con la falla principal o media M. Las fracturas R' son conjugadas respecto de las fracturas R, con movimiento antitético respecto de la falla principal, con la cual forma un ángulo de unos 75°. Son bisectadas por fracturas de tipo T o tensionales. Las fracturas P obedecen al nombre de "pressure", debido a que se originan por presión local entre fracturas Riedel. Presentan un ángulo de 15°, pero en sentido contrario a las fracturas R. (Niemeyer, 1999)

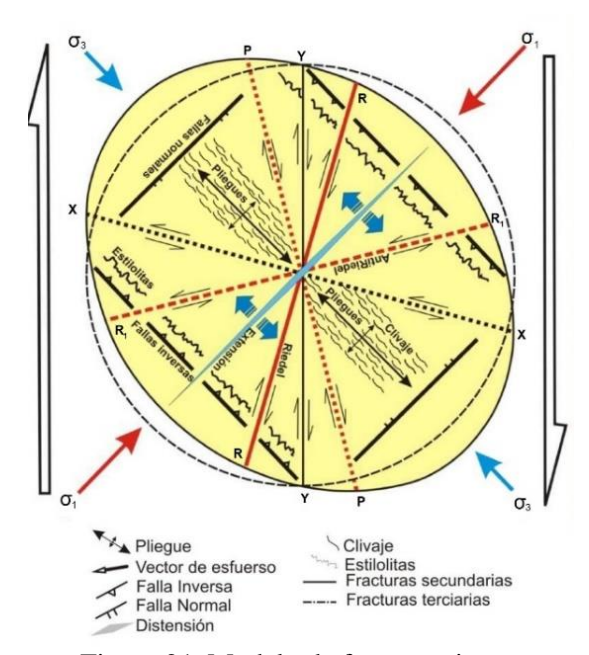


Figura 21. Modelo de fracturamiento. Fuente: Adaptado de Echeverry *et al.* (2009).

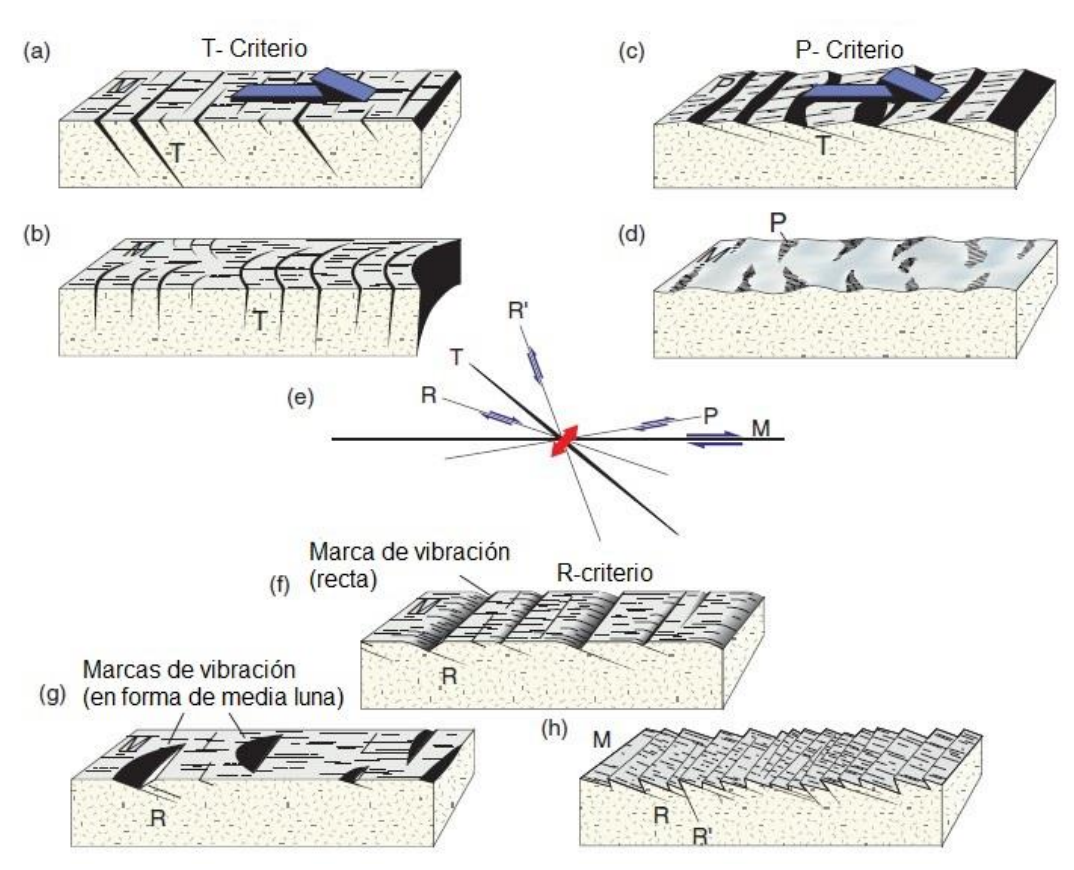


Figura 22. Criterios cinemáticos a lo largo de una falla con fracturas. Se utiliza la nomenclatura general para las fracturas en un sistema de cortante (fracturas R, R0, P, T y M). R, conjugada Riedel; P, fracturas por cizallamiento; T, fracturas por extensión; M, superficie de deslizamiento promedio (falla).

Fuente: Tomado de Fossen, (2016).

Según Casas *et al.* (1990), el método postulado por (Pegoraro, 1972; Angelier y Mechler, 1977) el que consiste en trazar un plano auxiliar perpendicular a la estría de deslizamiento, la región en torno a una falla queda dividida en cuatro diedros rectos. El esfuerzo principal mayor σ_1 queda contenido en los diedros de compresión, y el menor σ_3 en los de extensión. Además, propone dos condiciones adicionales para determinar los ejes principales de esfuerzos: Ambos ejes deben ser perpendiculares, y deben estar contenidos en parejas opuestas de diedros que, para cada falla, quedan definidas por su plano y por el plano de movimiento M.

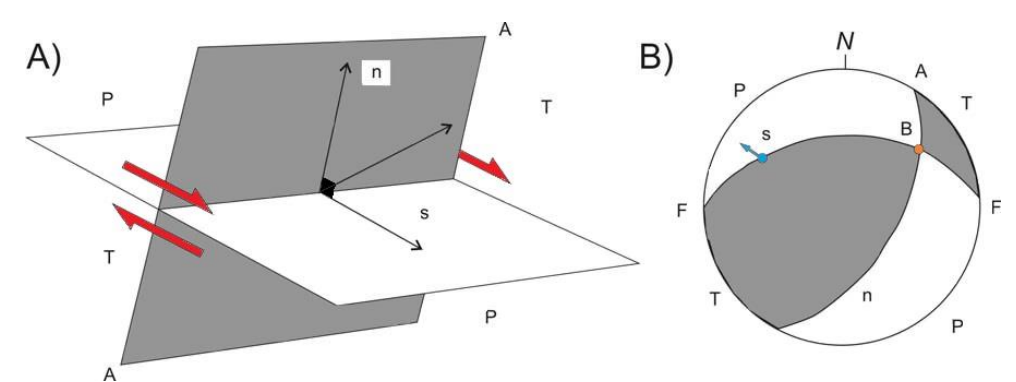


Figura 23. Diedros rectos y mecanismo focal de una falla. A) en perspectiva y B) en proyección estereográfica. F, plano de falla; A, plano auxiliar; n, vector unitario normal al plano de falla; s, vector unitario de deslizamiento; B, intersección de los planos F y A; P, diedro compresivo y T, diedro extensivo.

Fuente: Tomado de Muñoz y De Vicente, (2006).

Según Lisle y Leyshon (2004), los de datos de varias fallas desarrolladas bajo los mismos esfuerzos, las direcciones de los esfuerzos se pueden estimar mediante el siguiente método estereográfico.

- A) Para cada falla, trace los círculos mayores que representan el plano de falla y el plano auxiliar. Utilizando el sentido del movimiento observado en la falla, decida cuáles son los pares de cuadrantes σ_1 y σ_3 . Sombreados los cuadrantes σ_1
- B) Coloque los estereogramas producidos para las dos fallas uno sobre el otro. La orientación factible del eje de tensión σ1 se encuentra en la parte sombreada del

estereograma común a todas las superposiciones. El eje σ_3 se encuentra dentro de las regiones comunes sin sombrear.

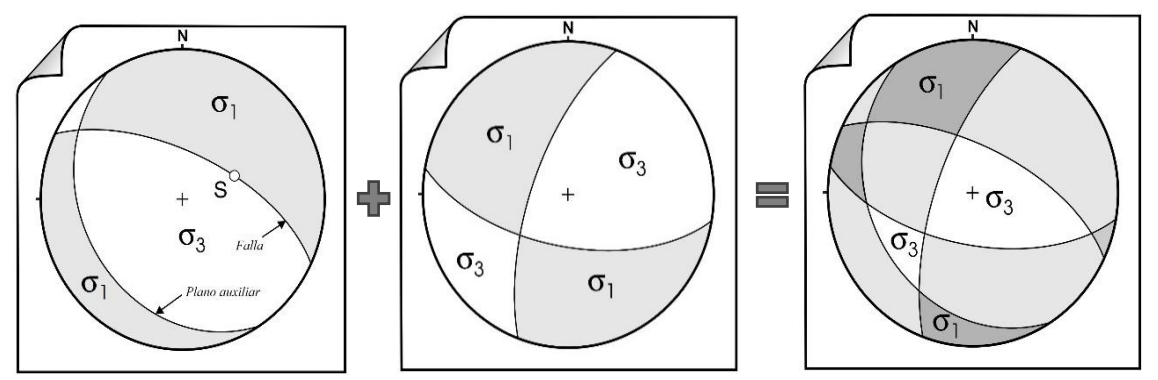


Figura 24. Procedimiento gráfico del método de los diedros rectos para dos fallas. En oscuro compresión, en claro extensión.

Fuente: Tomado de Lisle y Leyshon, (2004).

Métodos dinámicos basados en la ecuación de Bott

Casas *et al*. (1990) indica que la relación entre la orientación y la forma del elipsoide de esfuerzos que actúa sobre un plano previo, con la orientación de la máxima componente de cizalla (τ) sobre dicho plano. Es base de numerosos métodos posteriores de inversión de esfuerzos:

Tan
$$(\theta) = \frac{n}{lm} - (m^2 - (1 - n^2) R')$$

Para:

$$R' = \frac{\sigma_z - \sigma_x}{\sigma_y - \sigma_x}$$

Siendo:

R' = Razón de esfuerzos que proporciona la forma del elipsoide de esfuerzos

 θ = cabeceo de la estría sobre el plano de falla.

1, m, n = cosenos directores del plano de falla en el sistema de referencia de los ejes principales de esfuerzo.

 σ_z =esfuerzo principal vertical.

σ_y=esfuerzo principal horizontal máximo.

 σ_x =esfuerzo principal horizontal mínimo.

Suponiendo que la estría de falla refleja la dirección de esa componente de cizalla, la ecuación de Bott proporciona bases para explicar en términos dinámicos los movimientos

de plano de falla, y sirve de fundamento teórico a la mayor parte de los métodos analíticos y gráficos de análisis de paleoesfuerzos.

Angelier, citado por De Vicente y Muñoz (2010), manifiesta que según sea el valor de R', los elipsoides de esfuerzos se clasifican en siete tipos utiliza directamente el parámetro R (razón de esfuerzos o stress ratio):

$$R = \frac{(\sigma_2 - \sigma_3)}{(\sigma_1 - \sigma_3)}$$

Que mide la forma del elipsoide de esfuerzos, independientemente de la orientación relativa de los esfuerzos principales. Así, el valor de R está comprendido entre 0 (elipsoide prolato) y 1 (elipsoide oblato). En este caso, para caracterizar el tensor de esfuerzos habrá que obtener el valor de R y la orientación de los ejes principales, es decir cuál está en la vertical. La correspondencia entre R y R´es inmediata:

- σ_1 vertical R'=1/R R'>1
- σ_2 vertical R'=R 0 < R' < 1
- σ_3 vertical R'=1(R-1) R'<1

Las relaciones que se establecen en la ecuación anterior indican que, en fallas reactivadas (planos de discontinuidad previos a los esfuerzos aplicados) la orientación de la estría que se producirá (ángulo de cabeceo) depende, no sólo de la orientación del plano de falla respecto a los esfuerzos, sino también del tipo de tensor aplicado (factor de forma R)

Tabla 5. Relación entre la forma del tensor de esfuerzos (R´), y el estado de esfuerzos.

R´	TIPOS DE EJES	RÉGIMEN DE ESFUERZOS
$R'x \rightarrow -\infty$	$\sigma y = \sigma x = \sigma z$	COMPRESIÓN RADIAL
R'<0	$\sigma y > \sigma x > \sigma z$	COMPRESIÓN TRIAXIAL
R'=0	$\sigma y > \sigma x = \sigma z$	COMPRESIÓN UNIAXIAL
0 < R' < 1	$\sigma y = \sigma x > \sigma z$	DESGARRE
R'=1	$\sigma z = \sigma y > \sigma x$	EXTENSIÓN UNIAXIAL
R'>1	$\sigma z > \sigma y > \sigma x$	EXTENSIÓN TRIAXIAL
$R' \rightarrow +\infty$	$\sigma z > \sigma y = \sigma x$	EXTENSIÓN RADIAL

Fuente: Tomado de De Vicente y Muñoz, (2010).

Tabla 6. Relación entre la forma del tensor de esfuerzos (R), y el estado de esfuerzos

R	TIPOS DE EJES	RÉGIMEN DE ESFUERZOS	
R = 1	$\sigma 1 = \sigma 2 > \sigma 3$	COMPRESIÓN RADIAL	σ3 vertical
1>R>0	$\sigma 1 > \sigma 2 > \sigma 3$	COMPRESIÓN TRIAXIAL	σ3 vertical
R = 0	$\sigma 1 > \sigma 2 = \sigma 3$	COMPRESIÓN UNIAXIAL	σ3 vertical
1>R>0	$\sigma 1 > \sigma 2 > \sigma 3$	DESGARRE	σ2 vertical
R = 1	$\sigma 1 = \sigma 2 > \sigma 3$	EXTENSIÓN UNIAXIAL	σ1 vertical
1>R>0	$\sigma 1 > \sigma 2 > \sigma 3$	EXTENSIÓN RADIAL	σ1 vertical
$\mathbf{R} = 0$	$\sigma 1 > \sigma 2 = \sigma 3$	EXTENSIÓN RADIAL	σ1 vertical

Fuente: Tomado de De Vicente y Muñoz, (2010).

2.2.8 Eventos tectónicos regionales en Cajamarca

En Cajamarca y las zonas aledañas, existen evidencias de cuatros deformación que iniciaron en el cretácico y continuando durante paleógeno-neógeno. (Lagos, Caracterización litológica y estructural de la secuencia cretácea en la zona de Urubamba. Cajamarca- Perú, 2012)

Primer movimiento: Culminando la sedimentación marina durante el Senoniano cuando el mar aún cubría la zona andina, en el Santoniano grandes extensiones de la cuenca fueron afecta por movimientos epirogenéticos provocando el levantamiento de la misma.

Segundo movimiento (principal): Se origina durante el Paleógeno y se distinguió por de carácter compresivo ocasionado por esfuerzos con provenientes del suroeste (Placa de Nazca), que empujaron al prisma sedimentario hacia el noreste plegándose intensamente y produciéndose cabalgamientos e imbricaciones en el lado oriental (sector noreste del cuadrángulo de San Marcos).

Tercer movimiento: De naturaleza compresiva que empezó hacia el término del Paleógeno, posterior a la depositación de secuencias volcánica post tectónica del grupo Calipuy que originaron estructuras con similar dirección que el segundo movimiento.

Cuarto movimiento: Denominado "tardío" se caracterizó por ser de carácter epirogénetica siendo la que estableció la altura actual de la región andina. Este movimiento comenzó en el Mío- Plioceno y persiste hasta la actualidad (Reyes, 1980).

Tabla 7. Movimientos deformatorios que han sucedido a nivel regional en la parte Nor-Occidental del Perú. Cajamarca, San Marcos, Cajabamba, etc.

MOVIMIENTOS DEFORMATORIOS	EDAD RELATIVA
Primer movimiento (Epirogénesis)	Santoniano
Segundo movimiento Compresivo (principal) empuje SW- NE	Paleógeno
Tercer movimiento (Compresivo menos importante) empuje	Fines del Paleógeno
SW- NE)	_
Cuarto movimiento "tardío" (Epirogénesis)	Mio- Plioceno- actual

Fuente: Modificado por Lagos, (2012).

Pardo-Casas & Molnar (1987) en su investigación expone que entre las anomalías 30-31(68.5 Ma) y 21 (49.5 Ma) la placa de Nazca (Farallón) parece haber rotado sobre un polo al sur de Sudamérica tanto que convergía con Sudamérica en el norte, pero no en el sur. Esta convergencia no fue tan vertiginosa, y en la parte central de los Andes puede hallarse una gran componente de desplazamiento transcurrente (cizallante) dextral, por lo que se estima una convergencia oblicua (N65°E- N85°E). Después de la anomalía 21 los cambios en la dirección concerniente de convergencia eran pequeños hasta la anomalía 13 (35.58 Ma) donde se ocasiono un giro horario hasta la anomalía 6, produciendo una convergencia oblicua (S75°E- S80°E) provocando en los Andes Centrales una componente cizallante sinestral. Luego se da un giro antihorario a partir del cual la dirección de convergencia (N75°E) se mantiene uniforme hasta la fecha

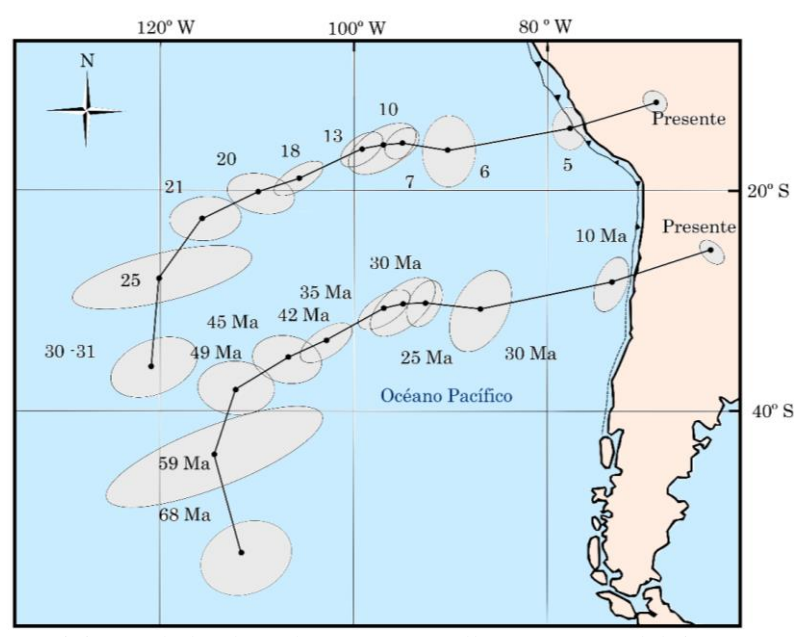


Figura 25. Posiciones de la placa de Nazca (Farallón), a través del tiempo geológico, interpretando mediante anomalías magnéticas.

Fuente: Tomado de Pardo-Casas y Molnar, (1987)

2.3 Definición de Términos Básicos

Anticlinal: Pliegue en el que las rocas más viejas se localizan hacia la zona cóncava del arqueamiento o núcleo del pliegue. (Arellano *et al.* 2002).

Cizallamiento: Proceso de fracturamiento de las rocas debido a los esfuerzos tectónicos. Se produce mayormente en las rocas clásticas en las zonas de fallamiento, en las crestas de los anticlinales (Dávila 2011).

Compresión: Esfuerzo al que son sometidas las rocas, por fuerzas dirigidas unas contra otras a lo largo de una misma, causando acortamiento en la dirección del esfuerzo mediante la formación de pliegues o fallas según que su comportamiento sea dúctil o frágil (Garcia 2012).

Diaclasa: Planos de discontinuidad más frecuentes en los macizos rocosos, y corresponden a superficies de fracturación o rotura de la roca a favor de las cuales no ha habido desplazamiento o ha sido muy pequeño (Gonzáles 2002).

Litología: Estudio y descripción de las rocas, especialmente en muestras de mano y en afloramientos con base en características tales como color, estructuras, mineralogía y tamaño de partículas (Hoyos 2012).

Sinclinal: Deformación de rocas en las que los estratos más jóvenes se presentan en el lado cóncavo o núcleo de la flexión (Arellano *et al.* 2002).

Paleoesfuerzo: Tension esencial para estudios de la evolución tectónica de la corteza. Además, explicar la reactivación de fallas, y en cierto casos la dinámica de movimiento de estas estructuras en un tiempo definitivo (van Gent *et al.* 2008).

Tectónica: Ciencia, estudia los procesos que ocurren en toda la litosfera, usando en muchos casos, los métodos propios de otras Ciencias de la Tierra además de los de la Geología Estructural (Martínez 2003).

Zona de Cizalla: Volumen de roca, de geometría aproximadamente tabular, en cuyo interior se localiza la deformación. Aunque los dos límites o bordes de las zonas de cizalla son planos y paralelos, lo habitual es que su geometría sea irregular, siendo también común las disposiciones ramificadas, anastomosadas o convergentes. (Fernández *et al.* 2013).

CAPÍTULO III MATERIALES Y MÉTODOS

3.1 Ubicación del Área y Zona de Investigación

3.1.1 Geográfica

El área de investigación se encuentra ubicada en la cordillera occidental de los Andes. En el cuadrángulo de Cajamarca (15f). Con coordenada del sistema UTM: DATUM WGS-84, ZONA 17S. Plano P-1.

3.1.2 Política

Políticamente la zona de investigación se encuentra localizada en los Centros poblados Huambocancha Baja, abarcado en el distrito de Cajamarca distritos parte de la provincia, región de Cajamarca, al norte del Perú.

3.1.3 Accesibilidad

Se cuenta con dos rutas de acceso al área de investigación, la primera es por la carretera asfaltada Cajamarca-Hualgayoc hasta lugar denominado Callejón en el Centro poblado Huambocancha Baja. El segundo es por la misma carretera Cajamarca-Hualgayoc hasta el sector El Molino (3M) y tomar un desvió hacia la derecha hasta el caserío Llagamarca.

Tabla 8. Accesibilidad del Área de Investigación

Ruta	Desde	Насіа	Tipo de vía	Distancia(km)	Tiempo (min)
1	Plaza de armas de Cajamarca	Huambocancha Baja- El Callejón	Asfaltada	4.5	18
	Plaza de armas de Cajamarca	Huambocancha Baja- El Molino 3M	Asfaltada	3.1	
2	Huambocancha Baja- El Molino 3M	Caserío Llagamarca	Afirmada	4.0	38



Figura 26. A. Tramo 1, Plaza de armas de Cajamarca hacia Huambocancha Baja- El Callejón. B. Tramo 2, Plaza de armas de Cajamarca hacia caserío Llagamarca.

Fuente: Tomado de Google Maps 2023.

3.1.4 Clima y vegetación

Para Cajamarca, el mes con temperatura más alta es setiembre (22.2°C); la temperatura más baja se da en el mes de julio (4.9°C); y llueve con mayor intensidad en el mes de marzo (118.78 mm/mes) (SENAMHI, 2023)

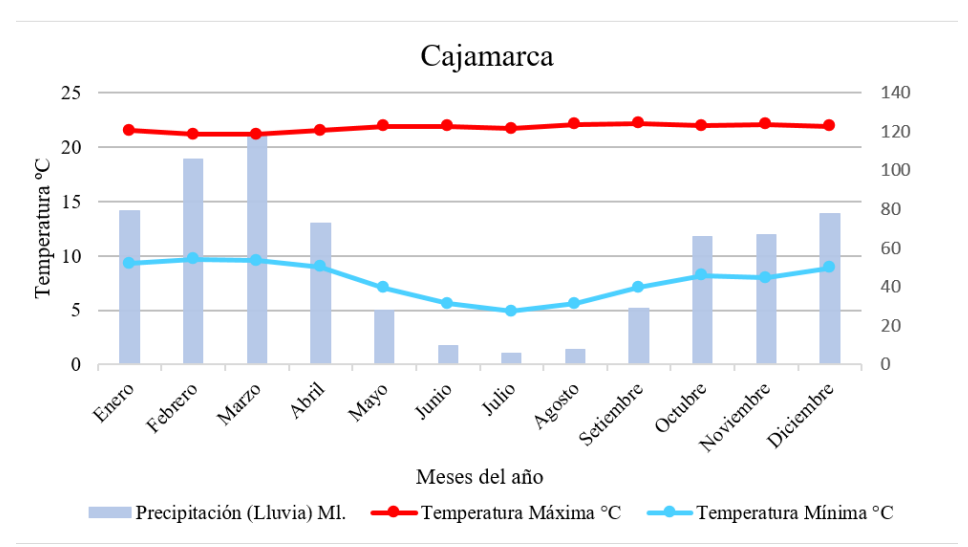


Gráfico 1. Histograma de precipitación acumulada promedio mensual (mm). Fuente: Tomado de SENAMHI, (2023).

La vegetación presente en la zona de investigación está compuesta por, Eucalipto (Eucaliptus glóbulos), Pino (Pinus), Aliso (Alnus glutinosa), Sauce (Salix), Ichu (Stipa Ichu), raigrás (Lolium), entre otras especies. Además, se efectúa agricultura bajo regadío y estacional.



Fotografía 1. Vegetación característica. E: 773623.21, N: 9212908.55, Cota: 2912 m.s.n.m.

3.2 Procedimientos

Etapa preliminar: En esta etapa se inicia la investigación con buscar toda la información relacionada con el tema como antecedentes y bases teóricas, además obtener el mapa geológico del cuadrángulo Cajamarca (15-f I). Asimismo, Se elaboró un plano de ubicación con imagen satelital y un plano topográfico para realizar un correcto cartografiado, de las estructuras geología. De la misma manera, se consideró la accesibilidad más adecuada de la zona de estudio.

Etapa de Campo: Se planificó y realizó las salidas de campo en el centro poblado de Huambocancha baja, en donde se cartografió y describió las unidades litológicas, además se identificó las estructuras geológicas aflorantes, y recolecto los datos de los indicadores cinemáticos, mediciones de rumbo, buzamiento, rake, asimismo la toma de coordenadas con el GPS fue en UTM Datum WGS-84.

Etapa Final de Gabinete: consiste en el procesamiento, análisis de datos estructurales obtenidos en campo mediante los softwares Faultkin v. 8.1 y Stereonet v. 11.4, para la interpretación estereográfica y determinación la dirección de los paleoesfuerzos, luego se usó el software ArcGis v. 10.5 para la elaboración de planos a escalas 1: 20000. y perfiles. Finalmente se hizo la discusión de resultados obtenidos.

3.2.1 Metodología

La metodología empleada en el presente estudio se especifica a continuación.

Tabla 9. Clasificación según nivel, diseño, y finalidad de investigación.

Clasificación	Tipo de investigación	
	Es cualitativa ya que se describe las características de la litología y	
Sogún tino	estructuras geológicas que afloren en centro poblado de Huambocancha	
Según tipo	Baja. Y cuantitativa puesto que se midieron y procesaron los datos de campo	
	para el análisis en los softwares Faultkin v.8.1 y Stereonet v. 11.4.	
	Descriptivo, debido que se describió litología, estructuras geológicas,	
Según nivel	indiciadores cinemáticos. Correlacional, debido a que correlaciona a la	
	dirección de paleoesfuerzos con los eventos tectónicos regionales.	
	Explicativo, debido a que se explica el comportamiento estructural centro	
	poblado de Huambocancha Baja.	

0 / 1' ~	No experimental, debido a que no se manipula ninguna variable	
	independiente para ver sus efectos, solo se observa los fenómenos tal como	
Según diseño	se dan en la naturaleza, en este caso los indicadores cinemáticos, para luego	
	ser analizados.	
	Analítico ya que la zona de investigo basándose en las distintas estructuras	
Carrie mátada da	geológicas, que forman parte de ella y de las interrelaciones que sostienen	
Según método de investigación	entre sí. Y deductivo, pues se observó, estudio y caracterizo a los indicadores	
	cinemáticos y paleoesfuerzos por ende se concluyó con el comportamiento	
	estructural que rige la demarcación de estudio.	

Fuente: Adaptado de Supo 2014.

3.2.2 Población de estudio

Afloramientos rocosos en el centro poblado de Huambocancha Baja, que abarca \pm 7.3km² de área.

3.2.3 Muestra

Diaclasa, Fallas, Pliegues, indicadores cinemáticos.

3.2.4 Unidad de análisis

Está compuesta por las mediciones de azimut, buzamiento, rake (cabeceo) de los indicadores cinemáticos.

3.2.5 Identificación de variables

Para la investigación se han planteado variables independientes y dependientes los cuales se describen a continuación:

Tabla 7. Definición de Variables		
Variables Independientes	Variable dependiente	
Estructuras geológicas	Comportamiento	
Indicadores cinemáticos	estructural	
Paleoesfuerzos.		

3.2.6 Técnicas

Las técnicas que se emplearán para el desarrollo del trabajo de investigación se basarán en la observación, descripción, caracterización, análisis las estructuras geológicas, los indicadores cinemáticos y paleoesfuerzos de la zona para interpretarlos posteriormente en los softwares ArcGIS v. 10.5, Faultkin v. 8.1 y Stereonet v. 11.4.

3.2.7 Instrumentos de recolección de datos

Los materiales a usar para la recolección de datos son:

Brújula Brunton: Utilizado para la toma de datos de direcciones de discontinuidades y planos de estratificación.

GPS Navegador Garmin: Se uso para la obtención de coordenadas para la ubicación de puntos y estaciones estructurales.

Picota: Utilizado para obtener muestras para analizar la roca.

Lupa 20x: Empleado para tener una mejor observación macroscópica.

Rayador: Utilizado para determinar la dureza de las rocas y minerales.

Protáctor: Manejado para medir distancia a escala.

Cámara fotográfica: Utilizado para el registro fotográfico de los afloramientos.

Laptop: Máquina usada para el procesamiento de datos y redacción de la tesis.

Tablas de registro: Usado como guía para la documentación de datos de estructurales.

Libretas de campo, lapiceros y lápices: utilizados para anotaciones de las estaciones estructurales y cartografiado de la zona.

3.3 Contexto Geológico

3.3.1 Geología local

En el área de estudio afloran, formaciones silicoclasticas de edades del cretácico inferior, pertenecientes al Grupo Goyllarisquizga, como son; Formación Carhuaz (Ki-ca) y Formación Farrat (Ki-fa), asimismo la secuencia transgresiva perteneciente a la Formación Inca (Ki-in), conjuntamente a la secuencia calcárea del Grupo Crisnejas que

consta de la Formación Chulec (Ki-Chu). También afloran rocas volcánicas de la edad Neógeno Mioceno propias de la Formación Huambos además de cuerpos subvolcanicos.

Grupo Goyllarisquizga

Formación Carhuaz (Ki-ca)

En la zona de estudio aflora en la parte inferior del Cerro Shicuana en el Caserío Huambocancha baja y en la parte inferior de Cerro Songoles en el caserío Nuevo Perú. Está conformada por intercalación de areniscas de grano fino de coloración amarillentas, violáceos, limolitas grises amarillentas y arcillitas abigarradas, además que parte de la misma su muestra cubierta por depósitos cuaternarios y aflora en el núcleo del anticlinal de Huambocancha.



Fotografía 2. Afloramiento de la Formación Carhuaz, E: 772117, N: 9213130, Cota: 2902 m.s.n.m.

Formación Farrat (Ki-fa)

En el área de estudio afloran areniscas de color blanquecino de grano fino a grueso intercalado con arcillitas, en la que se observa estratificación segada y marcas de oleaje, presentes en la parte superior de los flancos del anticlinal de Huambocancha, así como en la continuación del plegamiento en Llushcapampa baja.



Fotografía 3. Vista panorámica de las rocas areniscas de la Formación Farrat (Ki-ca) suprayaciendo a la Formación Carhuaz, localizado en el Cerro Shicuana, E:762934, N:921133, Cota: 2772 m.s.n.m.

Formación Inca (Ki-in)

En zona de estudio aflora al noreste, en el caserío de Llagamarca centro poblado de Santa Barbara. Por lo que Pisconte (2014), menciona que en Llagamarca se presentan bancos de areniscas de espesor que varían 0.30 m a 5.0 m., se observó areniscas ferruginosas intercalada con arcillitas, y hacia el techo se muestran calizas en contacto con la Formación Chulec.



Fotografía 4. Contacto entre la Formación Inca y Formación Chulec, presencia de bivalvos, carretera Llagamarca. E: 774619, N:9212896, Cota: 2939 m.s.n.m.

Grupo Crisnejas

Formación Chulec (Ki-chu)

En el área de estudio aflora en noreste en el núcleo del sinclinal del caserío Llagamarca, aflorando arcillitas, margas y calizas nodulares con coloración gris amarillento con abundante disposición de fósiles.



Fotografía 5. Intercalaciones de calizas nodulares y margas de la Formación Chulec, presencia de gasterópodo, E: 774440, N: 9213044, Cota: 2969 m.s.n.m.

Volcánico Porculla

En la zona de estudio se encontró una secuencia de rocas volcánicas, estas unidades litoestratigráficas se superpone discordantemente angular al basamento del Cretácico. Aflorando al norte de la zona de estudio. Estas unidad es denominada: Neógeno Mioceno Secuencia Volcánica Tual – Puruay (Nm-tp)

Secuencia Volcánica Tual – Puruay. Etapa Uno (Nm-tp/1). En el área afloran secuencias volcanoclásticas intercaladas de coloración gris violáceas, flujos de lava de composición porfiritica, flujos de bloques y cenizas de color gris blanquecinos porfiríticos monomícticos. Conforman un espesor de 145 m. (Narravo, 2007)

Secuencia Volcánica Tual – Puruay. Etapa dos (Nm-tp/2). Espaza y Maryorga (2022), describen flujos piroclásticos de pómez y cenizas de tonalidades gris blanquecinas a rosáceas, con amplia presencia de cristales de composición riolítica, fragmentos líticos andesíticos. Acompañada de depósitos de coladas piroclásticas - ignimbritas con matriz de fragmentos líticos andesíticos y ceniza, a su vez presenta disyunción columnar. Datación realizada por Longo (2005), dio como resultado 19.53 ± 0.13 Ma.

Secuencia Volcánica Tual – Puruay. Etapa tres (Nm-tp/3). Datada por Longo (2005) en 15.41 ± 0.36 Ma. Espaza y Maryorga (2022), señala que afloran bloques y ceniza de color gris blanquecinos y verdosos, fragmentos líticos andesíticos – dacíticos polimícticos. Además, de secuencias de tobas con tonalidad blanquecinas acompañada con trazas de magnetita y marcas de oleadas piroclásticas de ceniza y pómez en una seudo estratificación.



Fotografía 6. Vista panorámica de secuencias volcánicas. E: 77 2228, N:92128814, Cota: 2920 m.s.n.m.

Volcánico Huambos

Secuencia Volcánica San José-Evento 2 (Nm-sj/2). Formado por de flujos piroclásticos de pómez y cenizas, gris blanquecinas, ricos en cristales, de composición riolítica. tienen un espesor aproximado de 350 m. los que se han depositado en discordancia angular sobre el ubstrato cretácico inferior. Se encuentran en el caserío tres molinos, alcanzando el sur

del Caserío Nuevo Perú, y al sureste del Caserío Llagamarca. Navarro, (2012) reporta una edad Ar-Ar de 11.45 ± 0.12 Ma.



Fotografía 7. Secuencia Volcánica San José-Evento 2 (Nm-sj/2) en discordancia angular con la Formación Carhuaz Ki-ca E:775157; N:9211836; Cota: 2781 m.s.n.m.

Subvolcanico Andesitico

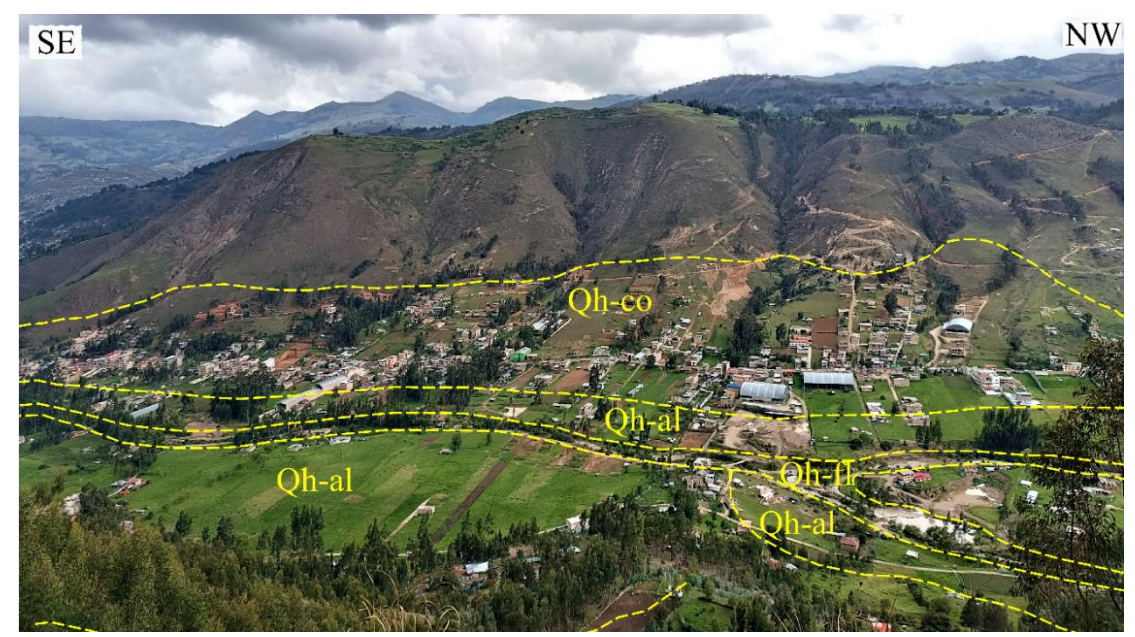
Afloran cuerpos subvolcanicos andesíticos en flanco SW, del anticlinal de Huambocancha. Esta roca es de tonalidad grisáceas, en las cuales se observan fenocristales de hornablendas, plagioclasas, cantidades reducidas de cuarzo, presencias de pirita y epidota. Como rocas caja se encuentras areniscas ya arcillitas de las Formación Farra y Formación Carhuaz.



Fotografía 8. Vista panorámica de subvolcanicos andesiticos en Huambocancha.

Depósitos Cuaternario Holoceno

Son depósitos de cobertura, producto del acopio de numerosos materiales geológicos, a raíz de los procesos de geodinámica externa. Por lo regular los sedimentos están dispuestos de forma no consolidados. Los que se distribuyen de forma irregular cubriendo parte de las Formaciones Carhuaz, Farrat, Inca, Chulec, además de las secuencias del Volcánico Huambos, Volcánico Porculla



Fotografía 9. Vista panorámica de los depósitos cuaternarios, E:773646; N:9212951; Cota: 2937 m.s.n.m.

Depósito fluvial

Se presentan a largo de los cauces de los ríos: Grande, Porcón, Mashcón, Sambar. Delimitados por sus respectivas fajas marginales, los depositados están constituido por gravas, arenas y limos inconsolidadas, así mismo las texturas de los clastos va de subredondeados a redondeado debido al transporte de las corrientes de agua.



Fotografía 10. Deposito fluvial en el Rio Grande, N: 9213109, E: 773126, Cota: 2787 m.s.n.m.

Deposito aluviales

Conformados por bloques, cantos rodados y gravas redondeadas, en una matriz arenosa a limo-arenosa, los cuales se presenta semi confinados en el valle de Huambocancha baja, los cuales tienen como basamento las rocas sedimentarias cretáceas e intrusivas neógenas.



Fotografía 11. Deposito aluvial la margen del Rio Porcón N: 9213038 E: 772957 cota:2784

Deposito coluviales

Se localizan en laderas y piedemonte de los Cerros Yacupacha, Shicuana, Songoles, los depósitos están compuestas de bloques angulosos de roca areniscas, con diámetro promedio: 0.05 m. a 0.40 m. con gravas angulosas dispersos de manera desordenada, con matriz envolvente de Arena y limo, de coloraciones: Rojizas, anaranjadas y amarillentas.



Fotografía 12. Deposito coluvial en la base del cerro Shicuana en el caserío Huambocancha Baja, N: 9212220, E: 772762 cota:2841

UNIDAD CRONO- ESTRATIGRÁFICA UNIDAD GEO-	ERATEMA		SERIE	ES	UNIE TRATIC	OAD GRÁFICA	ESPESOR (m)	LITOLOGÍA	DESCRIPCIÓN
CRONOLÓGICAS	ERA	Cuaternario	Holoceno	Denósitos	coluviales, aluviales	Fluviales	ES		Gravas, arenas, limo y arcillas
	zoico		eno	Volcánico	Huambos	Nm-sj/2	150 m		Discordancia Flujos piroclásticos de pómez y cenizas, gris blanquecinas, ricos en cristales, de composición riolítica
	Cenozoico	Neogeno	Mioceno	;	Porculla	Nm-tp/2	120 m		Flujos piroclásticos de pómez y cenizas de tonalidades gris blanquecinas a rosáceas, con amplia presencia de cristales de composición riolítica, fragmentos líticos
					Volcánico Porculla	Nm-tp/1	90 m		Flujos de lava de composición porfiritica, flujos de bloques y cenizas de color gris blanquecinos Discordancia
					Formación Chulec		120 m		angular Calizas nodularess, arcillitas, margas y con coloración gris amarillentas
					Formación Inca		110 m		Areniscas ferruginosas intercalada con arcillitas y calizas arenosa
	Mesozoico	Cretacico	Inferior	Grupo Goyllarisquizga	Formación Farrat		500 m		Areniscas de color blanquecino de grano fino a grueso intercalado con arcillitas
					Formación	Callinaz	250 m		Areniscas de grano fino de coloración amarillentas, violáceos, limolitas grises amarillentas y arcillitas abigarradas
					Formación	Santa			Arcillitas oscuras, areniscas gris oscuras.

Figura 27. Columna estratigráfica. Fuente: Adaptado de INGEMMET, (2008).

3.3.2 Geomorfológica

El área de investigación presenta una geomorfología muy variada, con diverso pendiente producto de procesos endógenos y exógenos, como la erosión y la meteorización que sucede hasta la actualidad. Teniendo como base la clasificación realizada por Rodríguez (2016), anexo Plano N°03. Geomorfológico

Tabla 10. Clasificación de las Unidades morfogenéticas

Unidad Morfogenética	Rango pendiente	Áreas (km)	Porcentaje (%)
Planicies	0° - 8°	1.90	25.98
Lomadas	8° - 20°	2.64	36.03
Laderas	20° - 50°	2.72	37.12
Escarpes	> 50°	0.06	0.87
Total		7.32	100

Fuente: Adaptado de Rodríguez (2016)

Planicie

Son zonas las cuales no presentan fuertes desniveles, con pendientes comprendidas entre los 0° y 8°, Se encuentra principalmente en los valles de Huambocancha Baja y Llushcapampa Baja, en menor cantidad en sectores de caserío Llagamarca.

Lomadas

Superficies con pendientes suaves homogénea establecidas entre los 8° y 20°. En el área de estudio se muestra en mayor cantidad se encuentra en la base del cerro la Shicuana, en ambos flancos del anticlinal de Huambocancha Baja, en el caserío de Llagamarca entre los cerros Rosariorco y Songoles y también partes el caserío tres molinos.



Fotografía 13. Vista panorámica de las unidades morfométricas. N: 9213915, E: 773220, cota:2843

Laderas

Pendientes situadas entre los intervalos 20° a 50°. La mayor parte se encuentra en las en secuencias cretácicas y volcánicas localizados en el Cerro Shicuana, Songoles, Yacupacha.

Escarpas

Zonas con inclinación superior a 50°. Esta unidad se encuentra dispuestas a la margen derecha de la quebrada las Vizcachas, y en sectores de flan SW de anticlinal de Huambocancha, dicha se geoforma se muestra reducido en área de estudio. Litológicamente se encuentra en las areniscas de la Formación Farrat.



Fotografía 14. Escape en la margen derecha de la Quebrada Las Vizcachas. N: 9213759, E: 773808 cota:2871

3.3.3 Geología estructural

El área de estudio contiene evidencia de los procesos tectónicos: la fase tectónica inca. en donde los sedimentos del Cretácicos fueron plegadas y fallados, de gran intensidad revelando su carácter compresivo. Las direcciones que se muestran las estructuras son de NW- SE, relacionados al movimiento de las placas tectónicas continental y de marina de orientación NE-SW. Por otro lado, los estratos volcánicos depositados tras la tectónica inca presentan fisuras que indican deformaciones menores.

3.4 Tratamiento y Análisis de Datos y Presentación de Resultados

3.4.1 Pliegues

En el área de investigación se engloba a diversos pliegues entre los cuales se identificarón: anticlinal Huambocancha, sinclinal Llagamarca, anticlinal Llushcapampa. Orientación de NW-SE. Los mismo que han deformado las rocas de cretácico inferior.

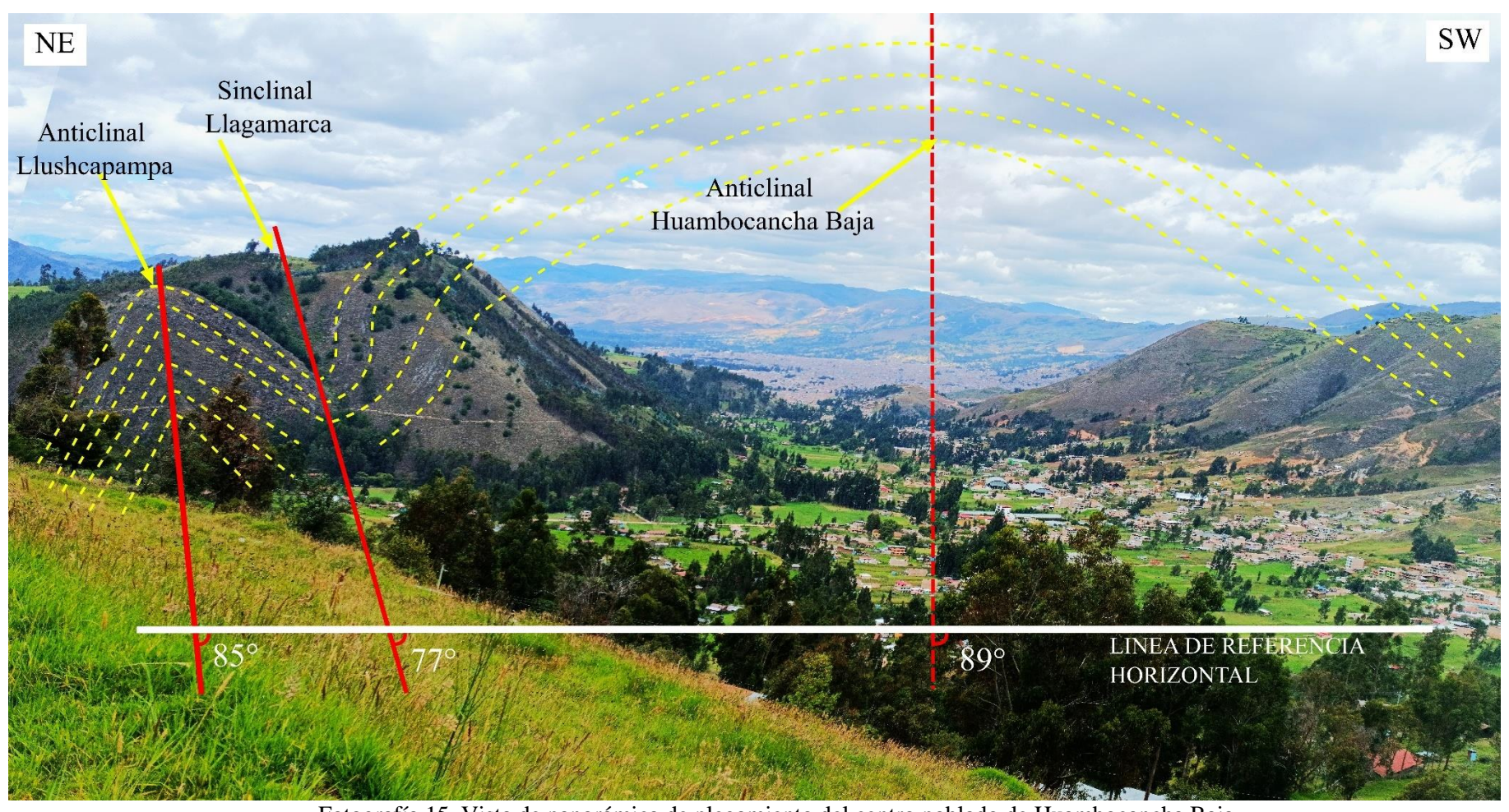
Anticlinal Huambocancha Baja (P-01)

Situado a lo largo del centro poblado de Huambocancha Baja, es la continuidad del pliegue de Shaullo, el cual deforma a la Formación Carhuaz y Formación Farrat. La estructura fue intensamente deformada por los diversos de eventos tectónicos y posteriormente erosionada. Por, tan solo quedan los flancos como evidencia de ello y dando lugar a un valle maduro. Además, su extensión oscila entre los 2 km de amplitud aproximadamente.

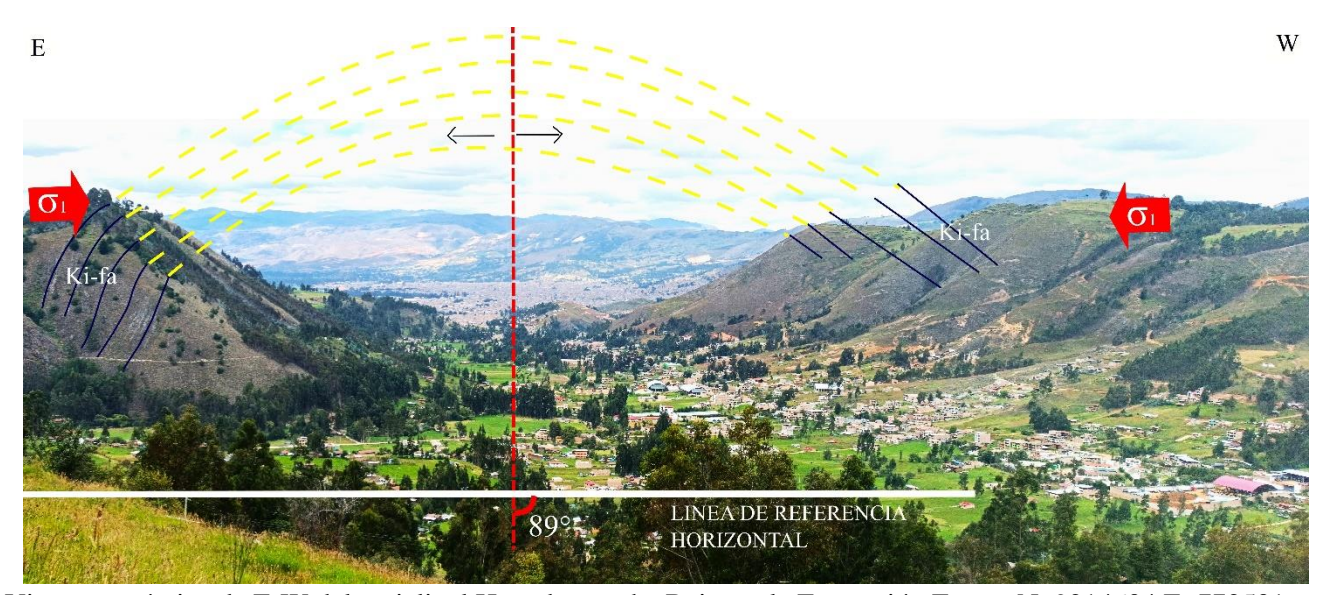
La orientación del azimut de los estratos del flanco NE, es un promedio de N324°, con un buzamiento que fluctúa entre 42°NE; el flanco SW tiene un azimut promedio de N129°, con buzamiento que oscila entre 41°SW.

Tabla 11. Promedio de datos estructurales del anticlinal Huambocancha

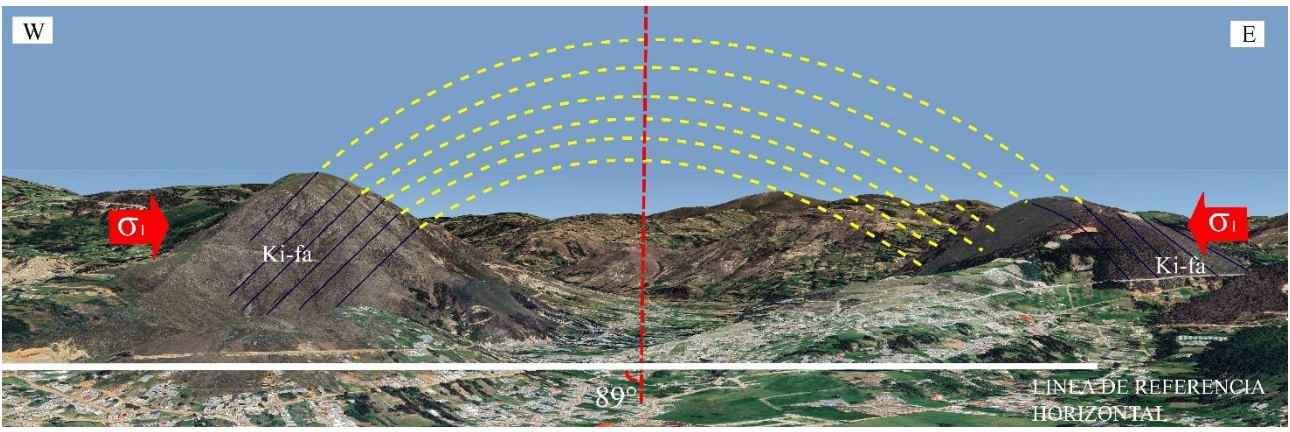
Flanco		s UTM. Datum Zona 17 S	Datos Es	tructurales	
	Norte	Este	Cota	Azimut	Buzamiento
Noreste	9212203	774501	2888	N 324°	42°NE
Suroeste	9211254	773106	2933	N 129°	41°SW



Fotografía 15. Vista de panorámica de plegamiento del centro poblado de Huambocancha Baja



Fotografía 16. Vista panorámica de E-W del anticlinal Huambocancha Baja, en la Formación Farrat, N: 9214604 E: 772501 cota:3020 m.s.n.m.



Fotografía 17. Vista panorámica de W-E del anticlinal Huambocancha Baja, en la Formación Farrat, N: 9210776 E: 774511 cota:2707 m.s.n.m.

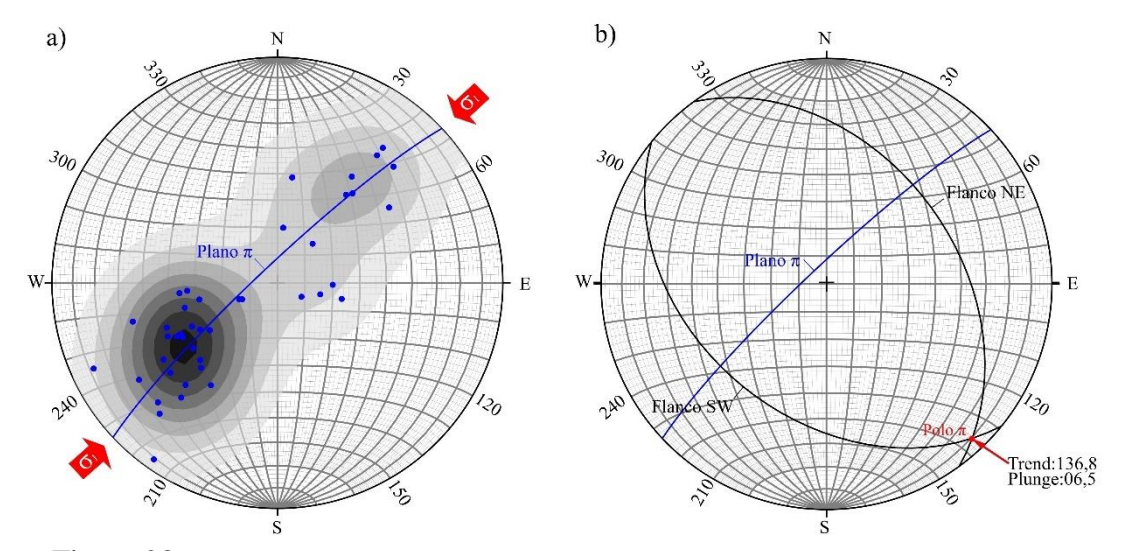


Figura 28. (a) Pliegue cilíndrico, con concentración los polos (diagrama de contornos) abarcados en el circulo π , esfuerzo mayor σ_1 graficado por flechas rojas (b) Planos de los flancos (líneas negras), inmersión de pliegue dado por el polo π .

En base al ploteo polos de los planos de estratificación de ambos flancos, y su disposición en el estereograma y al generar el Plano π , se muestra una geometría de pliegue cilíndrica, el diagrama de contornos nos da información de la forma, la cual es una zona de charnela bien definida. La dirección de los esfuerzos de compresión que dieron lugar la estructura del anticlinal de Huambocancha Baja tiende a ser paralelo al círculo π (Plano π), con una alineación de SW-NE. El plano π presenta un inclinación hacia NW, producto de ello el plegamiento muestra la línea de charnela (intersección de planos de flancos) con una inmersión hacia el SE dado por el valor de polo π : Trend 136.8°, Plunge 06,5°; producto de ello flanco NE presenta un cabeceo de 16,9° S y el flanco SW un cabeceo de 18,4°.

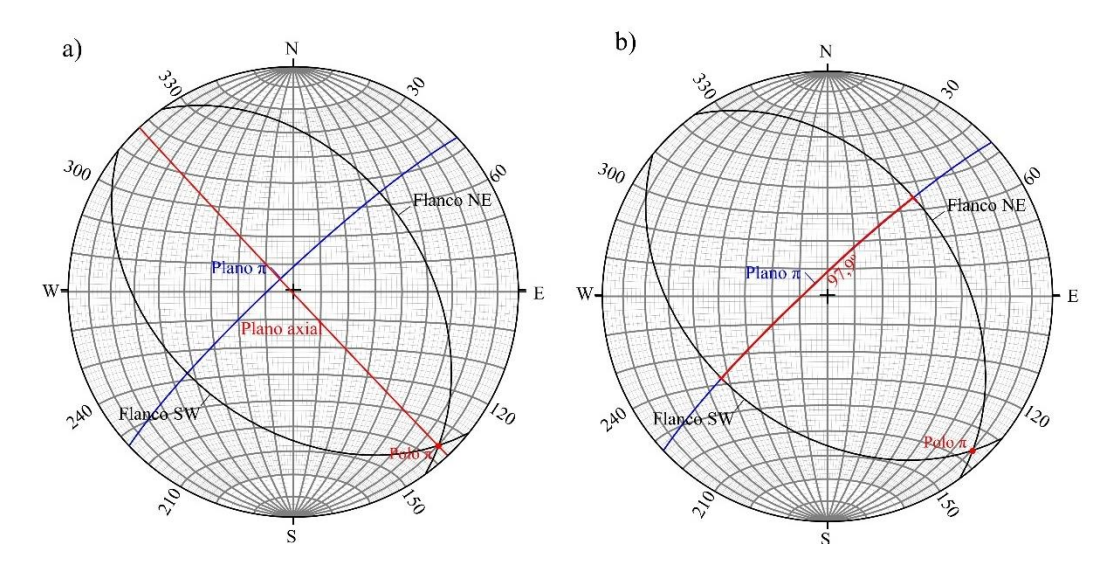


Figura 29. Estereograma (a) Eje de chanela (Plano axial, color rojo), Plano π (línea azul). (b) Ángulo interflancos (línea roja)

Las dirección de plano axial es del pliegue del anticlinal es N136,8° con un buzamiento de 89,5° tomado partir las perpendicular de plano π , por su buzamiento de plano axial se clasifica como como pliegue recto vertical (80°-90°); el ángulo de inmersión (plunge) de la línea de chanela es de 06,9° por lo que el anticlinal se clasifica como pliegue no buzando (0°-10°). Por último, el ángulo interflanco es de 97,9° y se ubica de dentro de la denominación de pliegue cerrado (30-70°)

Tabla 12. Clasificación plunge del pliegue.

		0
Inmersión (Plunge)	Clase	Estereogramas
0 – 10 °	No buzante	1,2,3 y 4
10° - 30 °	Buzando suavemente	5, 6 y 7
30 ° - 60 °	Buzando moderadamente	
60 ° - 80 °	Buzando fuertemente	8 y 9
80° - 90 °	Pliegue vertical	10

Tabla 13. Clasificación de buzamiento plano axial.

Buzamiento	Clase	Estereogramas
0 – 10 °	Tumbado	4
10° - 30 °	Suavemente inclinado	3 y 7
30 ° - 60 °	Ligeramente inclinado	
60 ° - 80 °	Fuertemente inclinado	2,6 y 9
80° - 90 °	Pliegue recto (vertical)	1,5,8 y 10

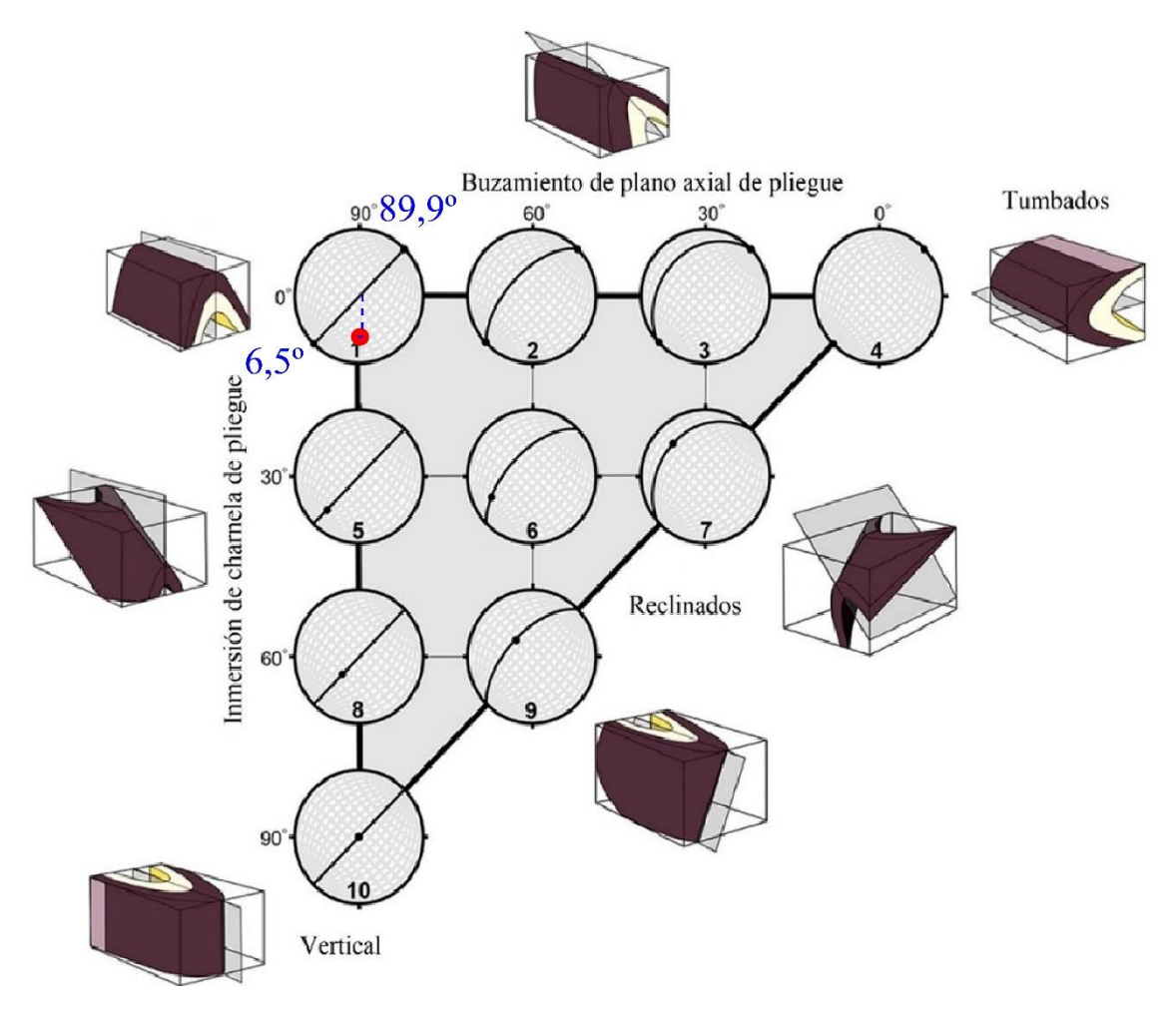


Figura 30. Buzamiento de plano axial vs ángulo de inmersión.

Tabla 14. Clasificación del pliegue Huambocancha Baja

Clasificación de pliegues según					
Su forma	Su forma Buzamiento del plano Inmersión línea de chanela Ángulo				
	axial del pliegue interflanco				
Pliegue anticlinal Pliegue recto vertical Pliegue no buzante Pliegue abierto					

Anticlinal Llushcapampa (P-02)

En el sector Llushcapampa, ubicado al norte de la zona de estudio, posee una estructura aflorante, en el cual las rocas areniscas de la Formación Farrat, por consiguiente en la clasifica en base su forma es un pliegue anticlinal, La orientación del azimut de los estratos del flanco NE, es un promedio de N309°, con un buzamiento que fluctúa entre 40° y 85° al NE; el otro flanco (flanco SW) tiene un azimut promedio de N114°, con buzamiento que oscila entre 45° y 70° al NW.

Los polos de los planos de estratificación de ambos flancos, muestra una geometría de pliegue cilíndrica, a su vez la concentración de polos muestra una forma de pliegue en Chevron (charnela angular y flancos rectos). En base a lo mencionado se generan Plano π . La dirección de los esfuerzos de compresión que dieron lugar la estructura del anticlinal de Llushcapampa tiende a ser paralelo al círculo π (Plano π), con una alineación de SW-NE. El plano π presenta un buzamiento hacia NW, producto de ello el plegamiento muestra la línea de charnela (intersección de planos de flancos) con una inmersión hacia el SE dado por el valor de polo π : Trend 123.3°, Plunge 15,9°; producto de ello flanco NE presenta un cabeceo de 16,9° S y el flanco SW un cabeceo de 18,4°.



Fotografía 18. Anticlinal Llushcapampa, en la formación Farrat, N: 9213892 E: 773176 cota:2843 m.s.n.m.

Tabla 15. Promedio de datos estructurales del anticlinal Llushcapampa.

Flanco		s UTM. Datum Zona 17 S	Datos Es	tructurales	
	Norte	Este	Cota	Azimut	Buzamiento
Noreste	9213675	773645	2913	N 309°	72°NE
Suroeste	9213515	773605	2920	N 114°	62°SW

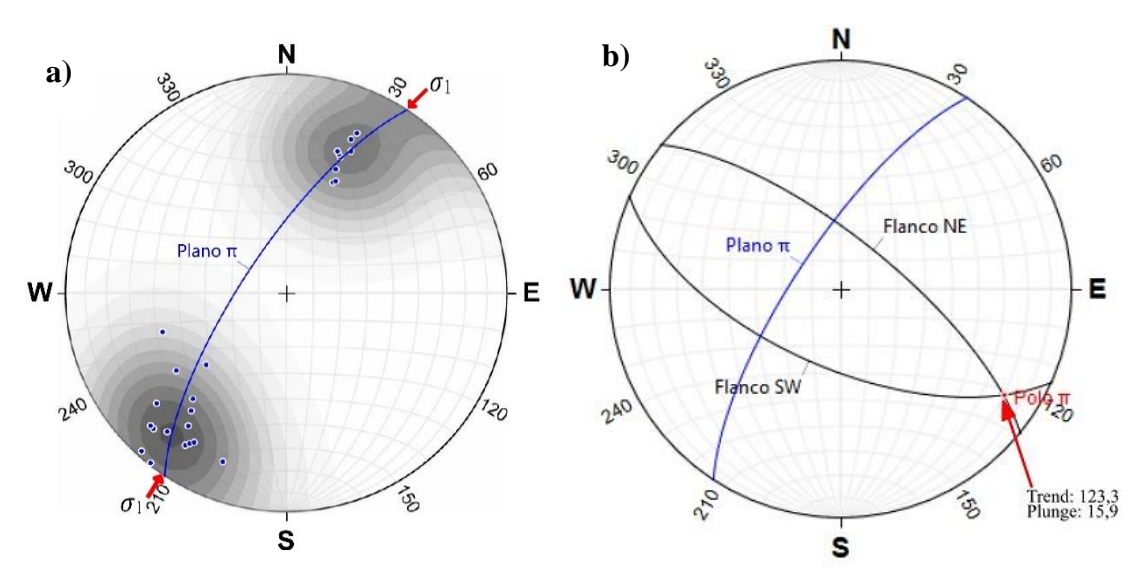


Figura 31. (a) Pliegue cilíndrico, con concentración los polos (diagrama de contornos) abarcados en el circulo π , esfuerzo mayor σ_1 graficado por flechas rojas (b) Planos de los flancos (líneas negras), inmersión de pliegue dado por el polo π .

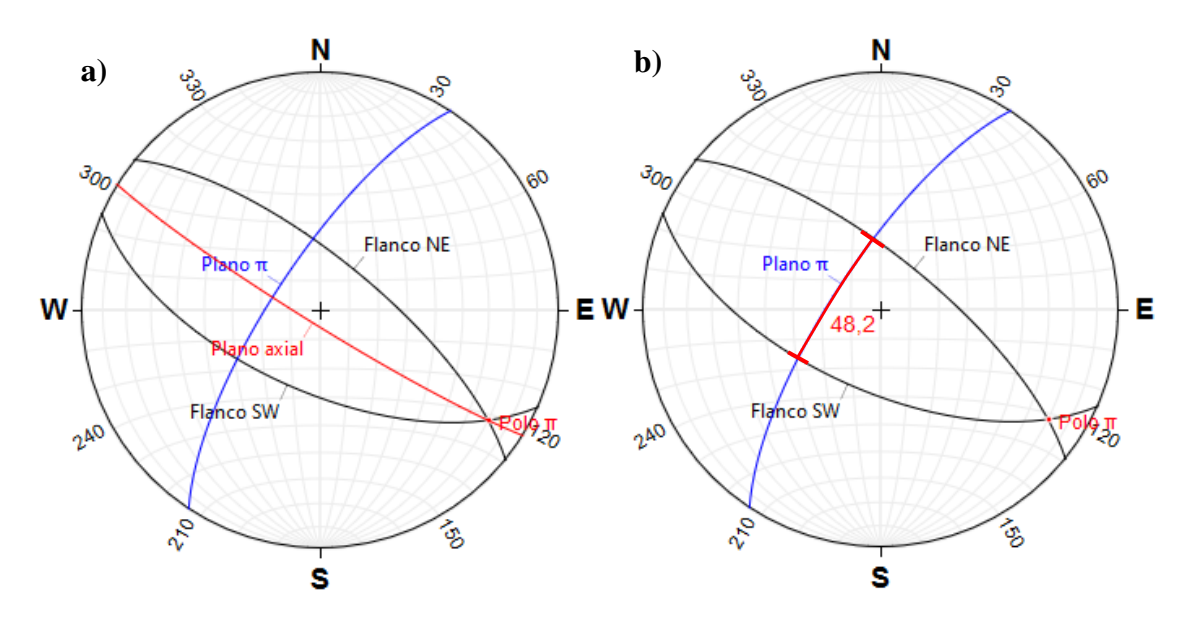


Figura 32. Estereograma (a) Eje de chanela (Plano axial, color rojo), Plano π (línea azul). (b) Ángulo interflancos (línea roja)

Las dirección de plano axial es del pliegue del anticlinal es N121,8° con un buzamiento de 85°SW tomado partir las perpendicular de plano π , por su buzamiento de plano axial se clasifica como como pliegue recto vertical (80°-90°); el ángulo de inmersión (plunge) de la línea de chanela es de 15,9° por lo que el anticlinal se clasifica como pliegue buzando suavemente (10°-30°). Por último, el ángulo interflanco es de 48,2° y se ubica de dentro de la denominación de pliegue cerrado (30-70°)

Tabla 16. Clasificación plunge del pliegue.

Inmersión (Plunge)	Clase	Estereogramas
0 – 10 °	No buzante	1,2,3 y 4
10° - 30 °	Buzando suavemente	5, 6 y 7
30 ° - 60 °	Buzando moderadamente	
60 ° - 80 °	Buzando fuertemente	8 y 9
80° - 90 °	Pliegue vertical	10

Tabla 17. Clasificación de buzamiento plano axial.

Buzamiento	Clase	Estereogramas
0 – 10 °	Tumbado	4
10° - 30 °	Suavemente inclinado	3 y 7
30 ° - 60 °	Ligeramente inclinado	
60 ° - 80 °	Fuertemente inclinado	2,6 y 9
80° - 90 °	Pliegue recto (vertical)	1,5,8 y 10

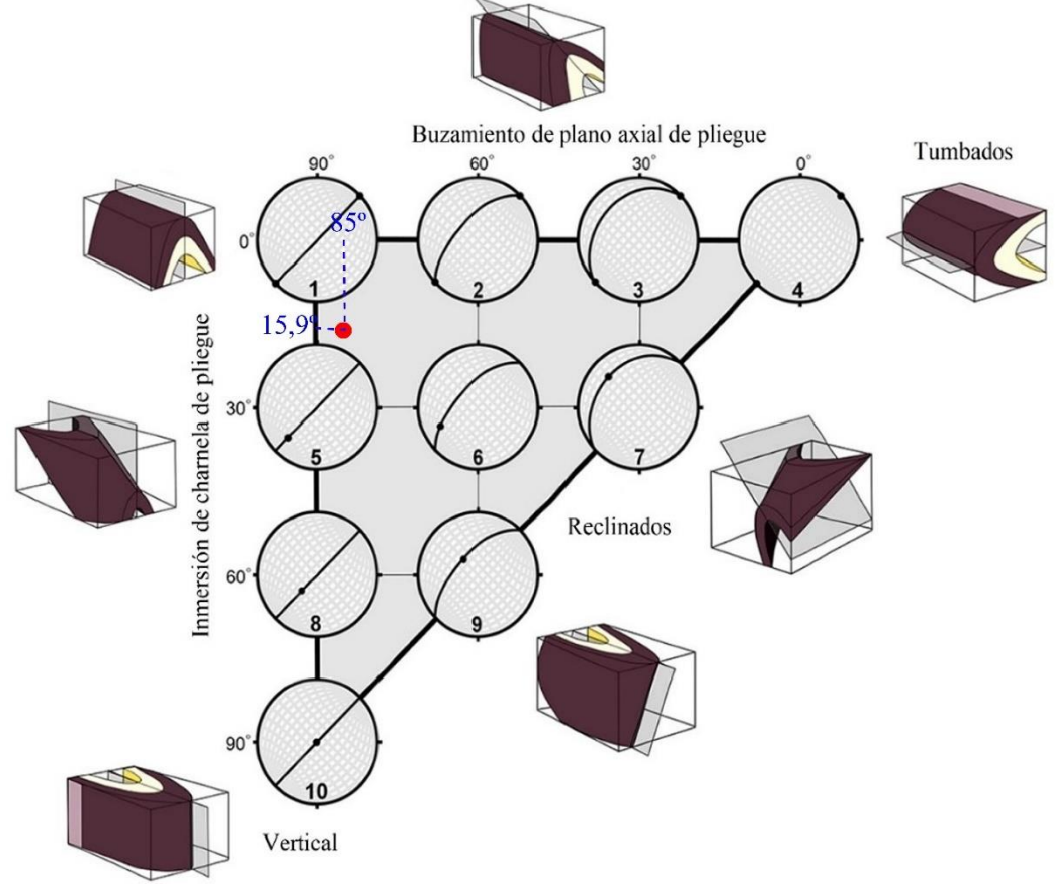


Figura 33. Buzamiento de plano axial vs ángulo de inmersión.

Tabla 18. Clasificación del pliegue Llushcapampa

Clasificación de pliegues según					
Su forma	Buzamiento del plano	Inmersión línea de chanela	Ángulo		
	axial del pliegue interflanc				
Pliegue anticlinal	Pliegue recto vertical	Pliegue buzando	Pliegue cerrado		
		suavemente			

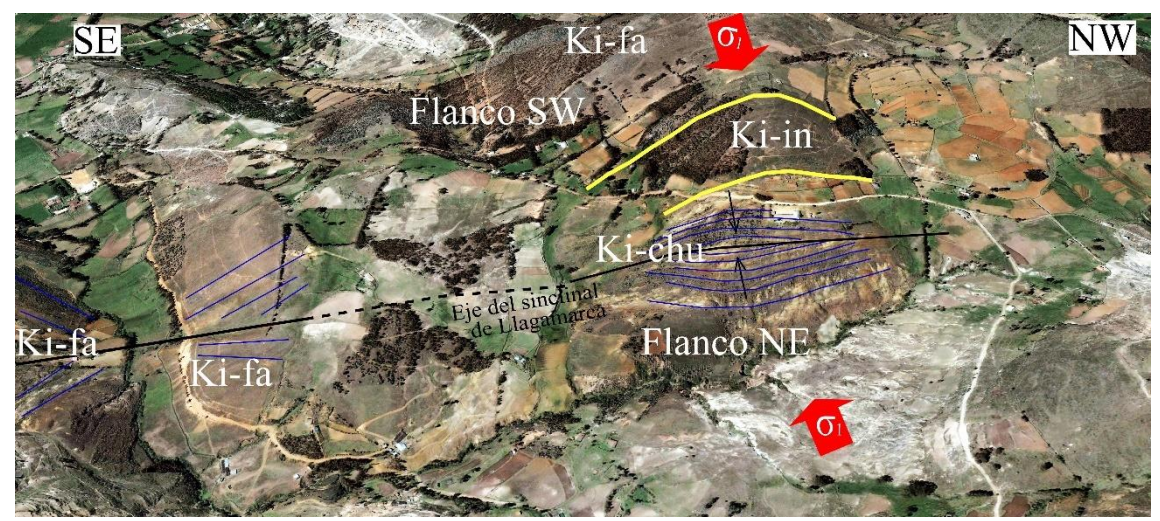
Sinclinal Llagamarca (P-03)

Ubicado en el caserío de Llagamarca, donde aflorar rocas de las Formaciones: Farrat, Inca y Chulec, teniendo como núcleo a la Formación Chulec (más reciente) y hacia los flancos Formación Inca. Por consiguiente, la clasificación en base su forma es un pliegue sinclinal, además de que en el sector este se encuentra cubierto por tobas de la Secuencia Volcánica San Jose (Volcánico Huambos).

El azimut y buzamiento de la estratificación de ambos flancos son los siguientes: La orientación del azimut de los estratos del flanco NE, es un promedio de N118°, con un buzamiento promedio de entre 42°SW; el otro flanco (flanco SW) tiene un azimut promedio de N316°, con buzamiento 67°NE.



Fotografía 19. Sinclinal Llagamarca, N: 9213892 E: 773176 cota:2843 m.s.n.m.



Fotografía 20. Imagen satelital del sinclinal Llagamarca.

Tabla 19. Promedio de datos estructurales del sinclinal Llagamarca.

Flanco		s UTM. Datum Zona 17 S	Datos Es	tructurales	
	Norte	Este	Cota	Azimut	Buzamiento
Noreste	9213023	774735	2897	N 118°	42°SW
Suroeste	9213044	774440	2969	N 316°	67°NE

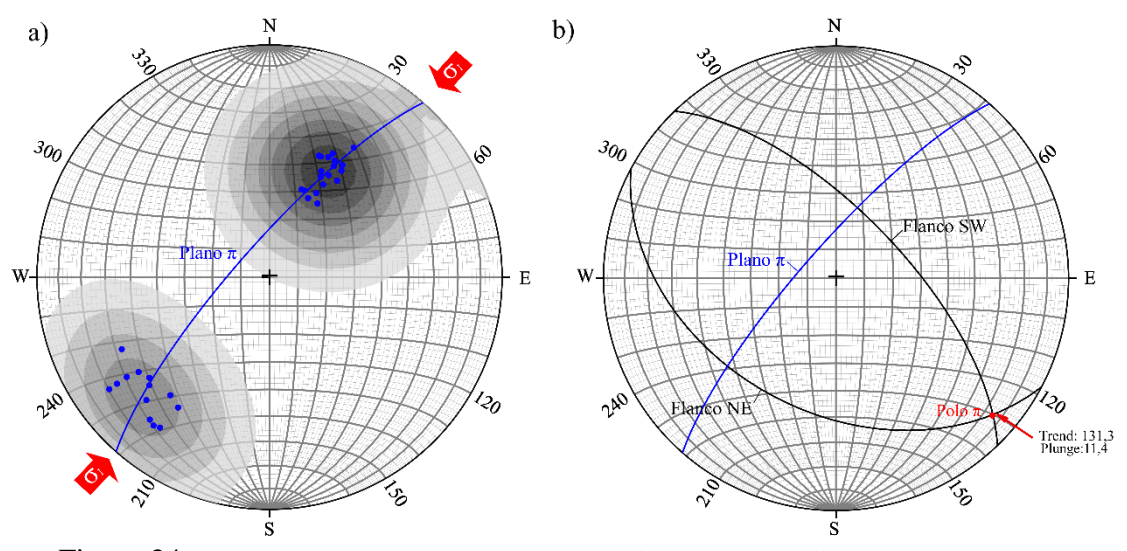


Figura 34. (a) Pliegue cilíndrico, con concentración los polos (diagrama de contornos) abarcados en el circulo π , esfuerzo mayor σ_1 graficado por flechas rojas (b) Planos de los flancos (líneas negras), inmersión de pliegue dado por el polo π .

Los polos de los planos de estratificación de ambos flancos y generación de plano π . Muestra una geometría de pliegue cilíndrica, el diagrama de contornos muestra nos muestras datos geométricos de la forma, la cual es una zona de charnela angular y flancos rectos. La dirección de los esfuerzos de compresión que dieron lugar la estructura del

sinclinal Llagamarca tiende a ser paralelo al círculo π (Plano π), con una alineación de SW-NE. El Plano π presenta un buzamiento hacia NW, producto de ello el plegamiento muestra la línea de charnela (intersección de planos de flancos) con una inmersión hacia el SW dado por el valor de polo π : Trend 131.3°, Plunge 11,4°; producto de ello flanco NE presenta un cabeceo de 17,3° E y el flanco SW un cabeceo de 12,5 S°.

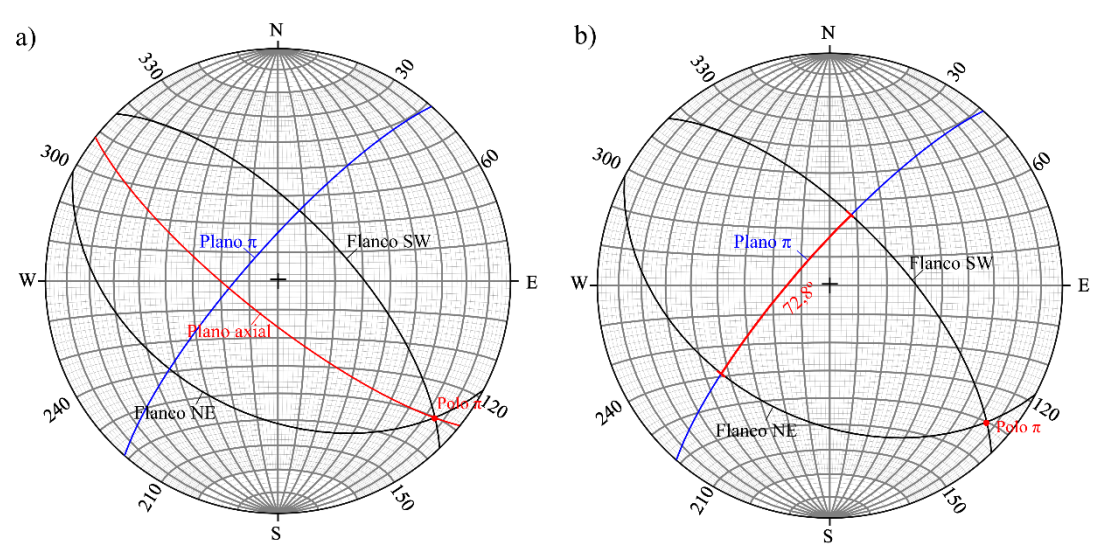


Figura 35. Estereograma (a) Eje de chanela (Plano axial, color rojo), Plano π (línea azul). (b) Ángulo interflancos (línea roja)

Las dirección de plano axial es del pliegue del sinclinal es N128,4° con un buzamiento de 77,4°SW tomado partir las perpendicular de plano π , por su buzamiento de plano axial se clasifica como como pliegue fuertemente inclinado (60°-80°); el ángulo de inmersión (plunge) de la línea de chanela es de 11,4° por lo que el anticlinal se clasifica como pliegue buzando suavemente (10°-30°). Por último, el ángulo interflanco es de 72,8° y se ubica de dentro de la denominación de pliegue abierto (120° \geq 0>70°)

Tabla 20. Clasificación plunge del pliegue.

Tuesta 201 estabilitation prompt del propositi					
Inmersión (Plunge)	Clase	Estereogramas			
0 – 10 °	No buzante	1,2,3 y 4			
10° - 30 °	Buzando suavemente	5, 6 y 7			
30 ° - 60 °	Buzando moderadamente				
60 ° - 80 °	Buzando fuertemente	8 y 9			
80° - 90 °	Pliegue vertical	10			

Tabla 21. Clasificación de buzamiento plano axial.

Buzamiento	Clase	Estereogramas
0 – 10 °	Tumbado	4
10° - 30 °	Suavemente inclinado	3 y 7
30 ° - 60 °	Ligeramente inclinado	
60 ° - 80 °	Fuertemente inclinado	2,6 y 9
80° - 90 °	Pliegue recto (vertical)	1,5,8 y 10

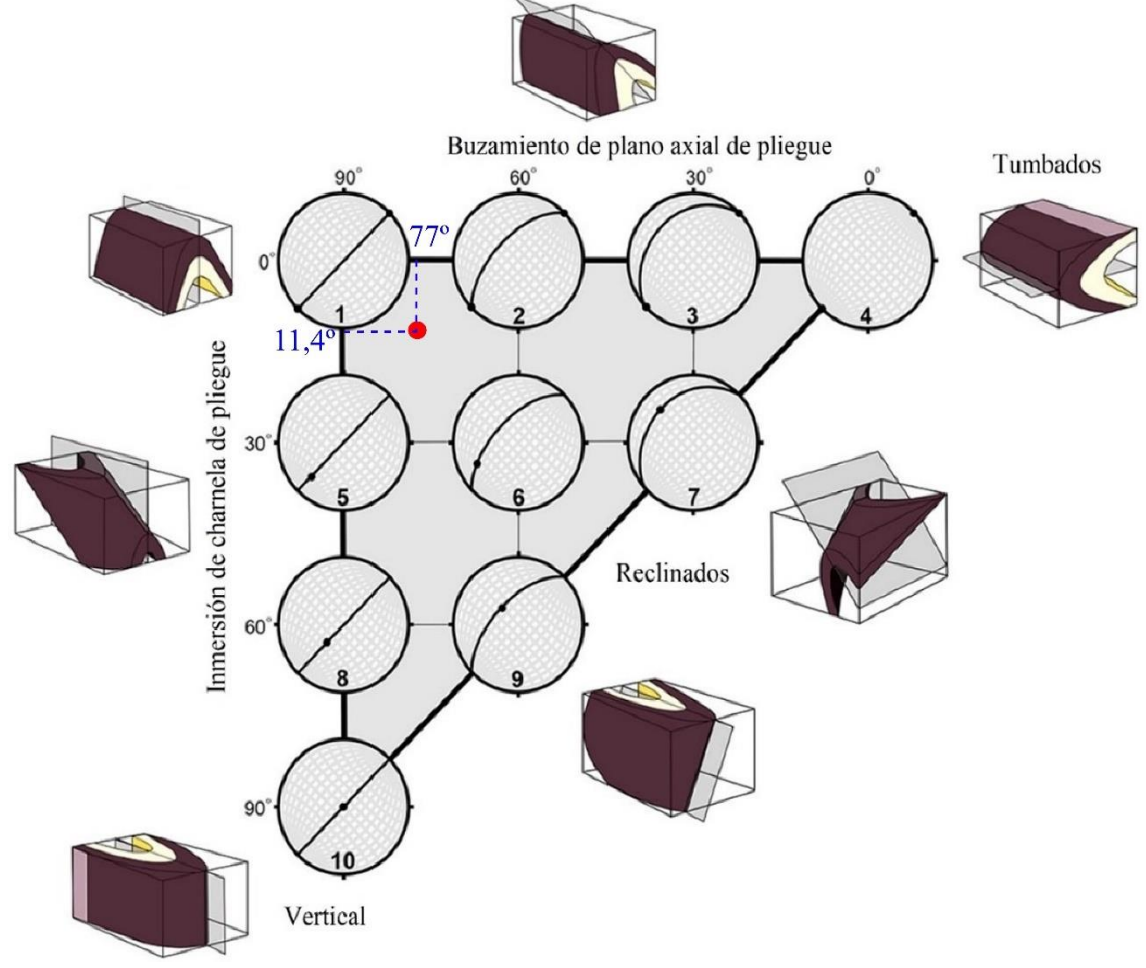


Figura 36. Buzamiento de plano axial vs ángulo de inmersión.

Tabla 22. Clasificación del pliegue Llushcapampa

Clasificación de pliegues según								
Su forma	Su forma Buzamiento del plano Inmersión línea de chanela Ángulo							
	axial del pliegue interflanco							
Pliegue sinclinal	Pliegue fuertemente	Pliegue buzando	Pliegue abierto					
	inclinado	suavemente						

3.4.2 Fallas

Estación F-01.

Ubicada en quebrada Vizcachas, se identificó una falla con azimut de N304°, buzamiento 82° NE, rake 95°. Se clasifico como falla deslizamiento vertical (dip slip). según su nomenclatura es falla inversa. afectando a rocas del cretácico inferior. la posición estratigráfica coloca en contacto a rocas areniscas de la Formación Farrat, y Pelitas carbonosas de la Formación Santa. Con esfuerzo mayor σ1, trend N40° y plunge 34°, esfuerzo intermedio σ2, trend N306° plunge 05°, esfuerzo menor σ3, trend N208° y plunge 56°, producto de un esfuerzo de compresión en la dirección NE-SW, actuando un régimen compresivo.

Tabla 23. Datos estructurales de la estación F-01

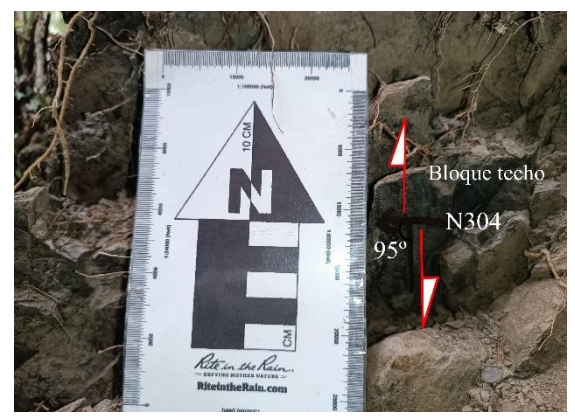
Estación	Coordenadas UTM. Datum WGS84 Zona 17 S			Datos Estructurales			
	Norte	Este	Cota	Azimut	Buzamiento	Rake	Cinematica
F-01	9213809	773843	2867	N 304°	82°NE	95°	Ix



Fotografía 21. Vista panorámica de la falla inversa F-01, N: 9214392 E: 773157 Cota:2918.



Fotografía 22. Falla F-01 N: 9213809, E: 773843, Cota: 2867 m.s.n.m.



Fotografía 23. Indicadores cinemáticos de F-01

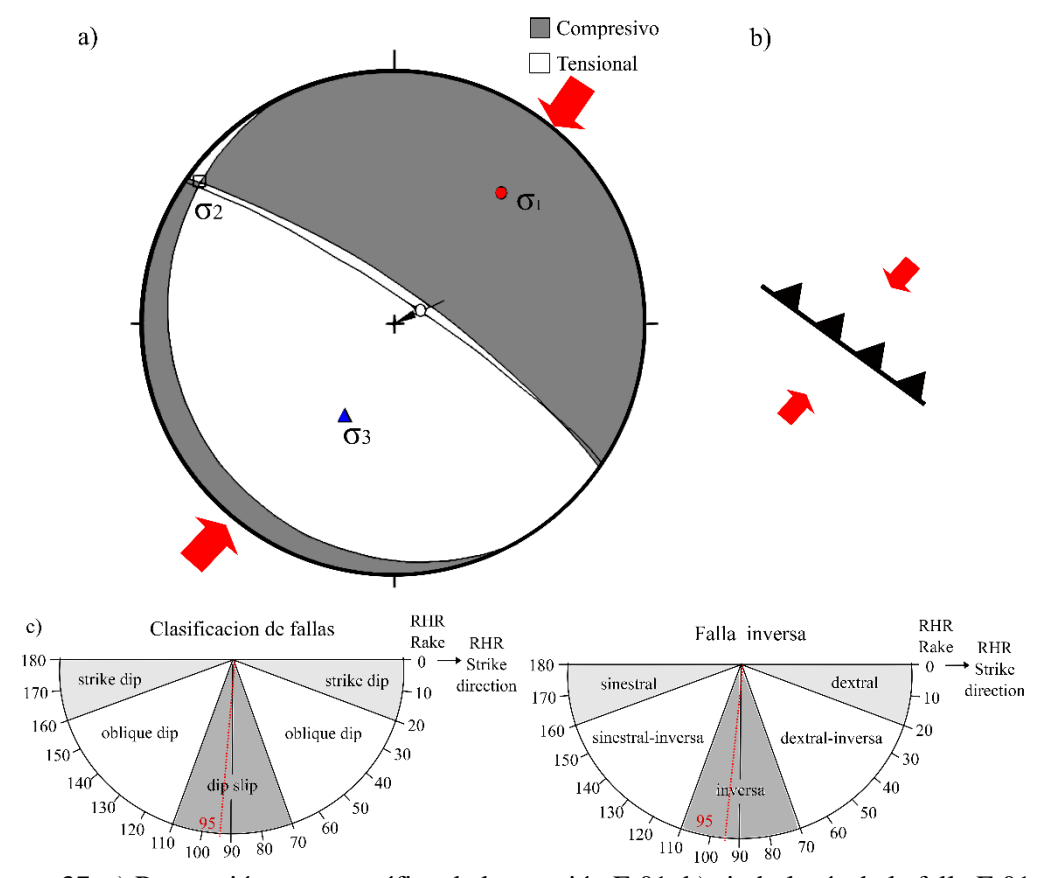


Figura 37. a) Proyección estereográfica de la estación F-01, b) simbología de la falla F-01. c) Clasificación de la falla F-01

Tabla 24. Datos lineales de los sigmas de la estación F-01

EJE	<i>P. R</i>	TREND	PLUNGE	P. ANDERSON	REGIMEN
σ_1	0.53	40°	34°	Horizontal	
σ_2	0.34	306°	05°	Horizontal	Compresivo
σ_3	0.13	208°	56°	Vertical	_

Ubicada en la quebrada Las Vizcachas proyectándose hasta quebrada Tigre ambas en el caserío Llagamarca, Se reconoció una falla con azimut de N304°, buzamiento 82° NE, rake 42°. Clasificada como falla deslizamiento obliquio (oblique dip) y según su nomenclatura es falla dextral-inversa. Esfuerzo mayor σ1, trend N001° y plunge 22°, esfuerzo intermedio σ2, trend N112° y plunge 42°, esfuerzo menor σ3, trend N 251° y plunge 40°, producto de un esfuerzo compresión con dirección N-S y extensión en dirección NE-SW, actuando un régimen transformante.

Tabla 25. Datos estructurales de la estación F-02

Estación		nadas UT SS84 Zon	M. Datum a 17 S	Datos Estructurales			
	Norte	Este	Cota	Azimut	Buzamiento	Rake	Cinematica
F-02	9213785	773875	2873	N 304°	82° NE	42°	DxIx



Fotografía 24. Vista panorámica de la falla dextral en la quebrada Las Vizcachas F-02, N: 9214392 E: 773157 Cota:2918 m.s.n.m.



Fotografía 25. Vista panorámica falla dextral en la quebrada el Tigre N: 9213444, E: 774685, Cota: 2944 m.s.n.m.

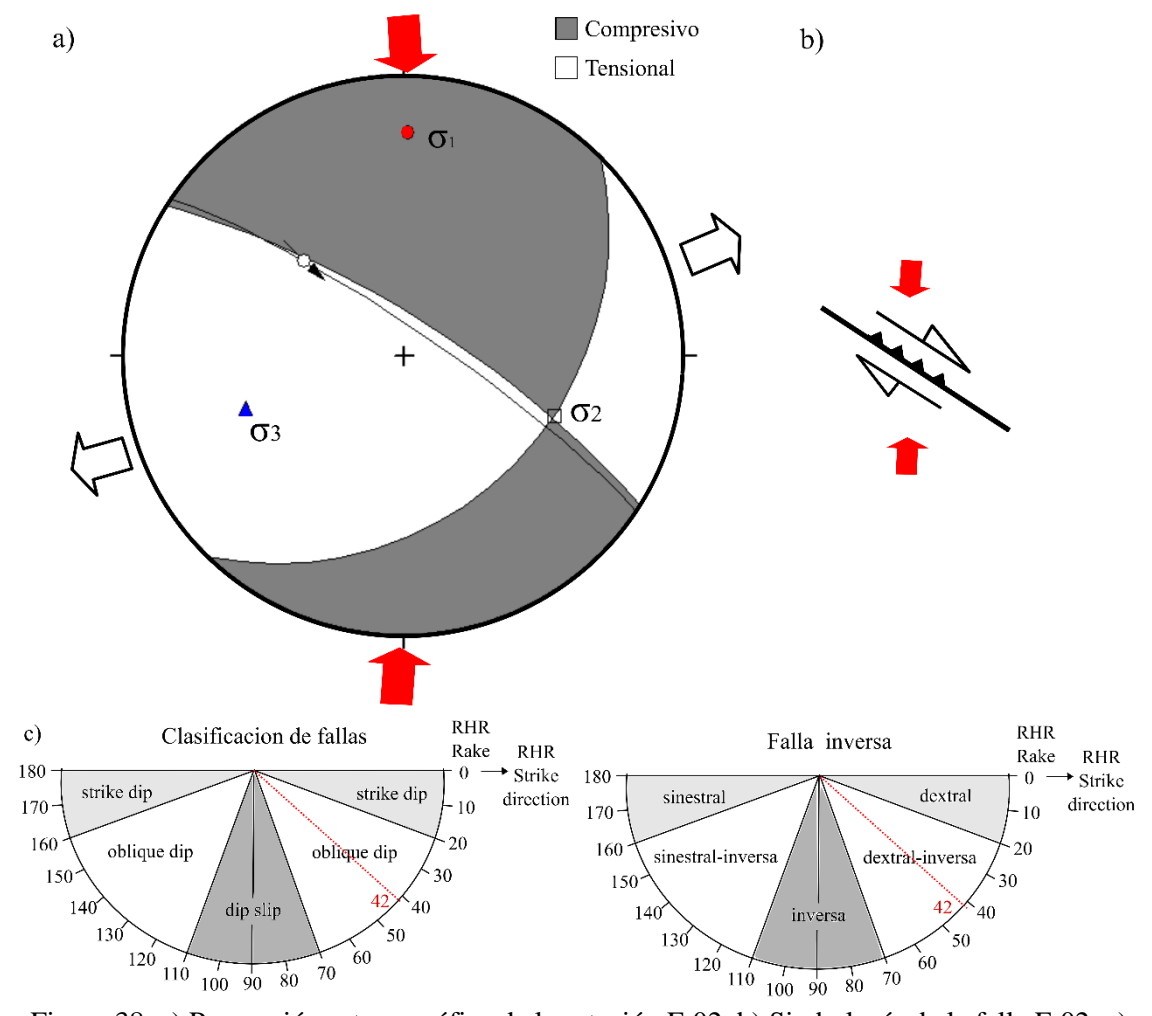


Figura 38. a) Proyección estereográfica de la estación F-02, b) Simbología de la falla F-02. c) Clasificación de falla.

Tabla 26. Datos lineales de los sigmas de la estación F-02

EJE	<i>P. R</i>	TREND	PLUNGE	P. ANDERSON	REGIMEN
σ_1	0.55	001°	22°	Horizontal	
σ_2	0.33	112°	42°	Vertical	Transformante
σ_3	0.12	251°	40°	Horizontal	

La estación F-03, se ubica en la quebrada la Vizcachas proyectándose hasta la quebrada El Tigre ambas en el caserío Llagamarca. Se identificó una falla con azimut de N304°, buzamiento 82° NE, rake 102°. La falla Las Vizcachas muestra estrías, dejando huella de movimiento normal por encima de la inversa inicial. Se clasifica como falla deslizamiento vertical (dip slip) y según su nomenclatura es falla normal. Con esfuerzo mayor σ1, trend N197° y plunge 50, esfuerzo intermedio σ2, trend N306° y plunge 15°, esfuerzo menor σ3, trend N047° y plunge 36°, por lo que genera es un esfuerzo de distensión en la dirección NE-SW actuando como régimen transformante.

Tabla 27. Datos estructurales de la estación F-03

Estación	Coordenadas UTM. Datum WGS84 Zona 17 S			Datos Estructurales			
	Norte	Este	Cota	Azimut	Buzamiento	Rake	Cinematica
F-03	9213754	773927	2885	N 304°	82 ° NE	102°	Nx



Fotografía 26. Vista panorámica de la falla normal en la quebrada Las Vizcachas F-03, N: 9214531 E: 773197 Cota:2918.



Fotografía 27. Vista panorámica falla normal en la quebrada el Tigre N: 9212875 E: 776084 Cota:2988 m.s.n.m.

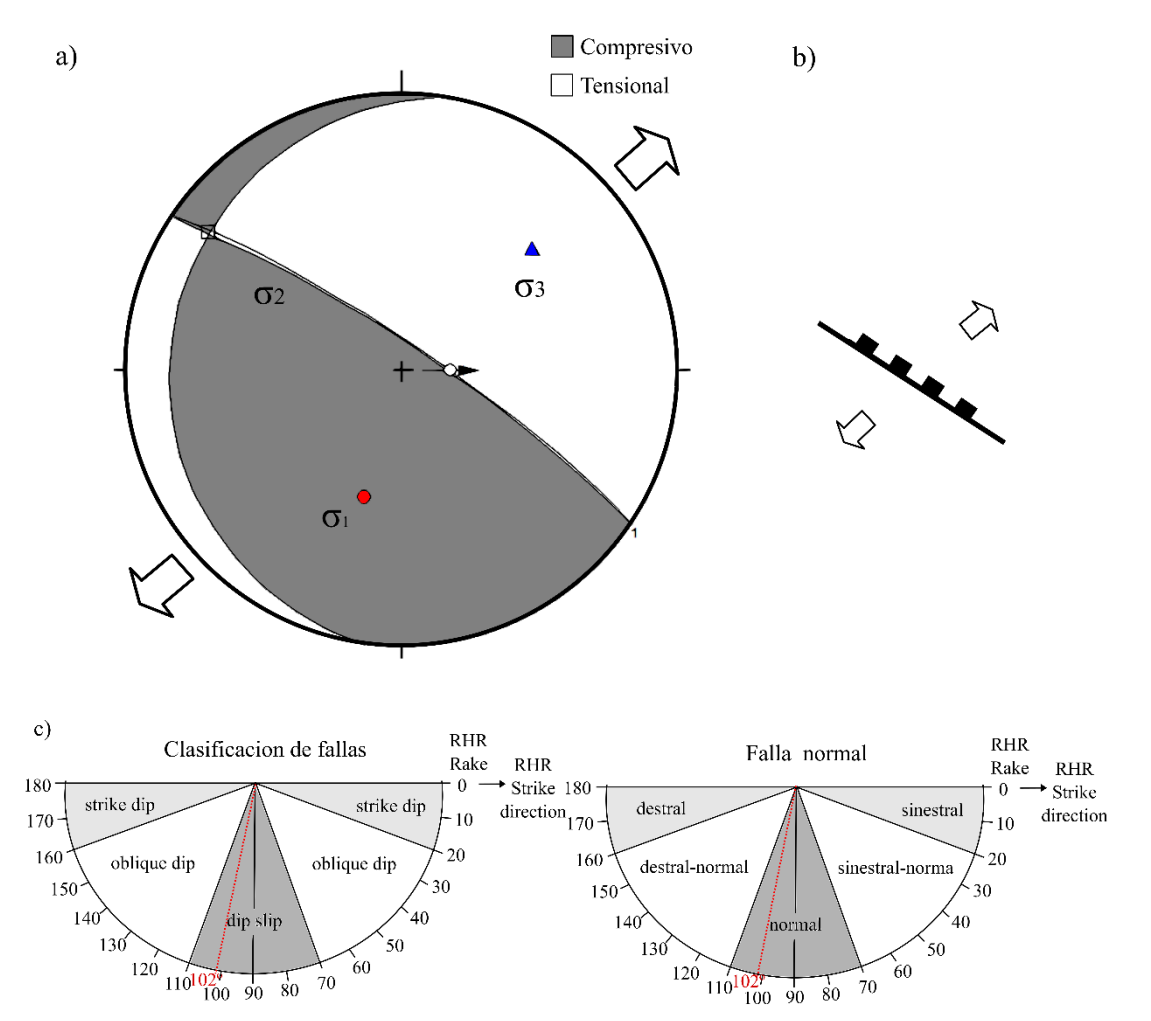


Figura 39. a) Proyección estereográfica de la estación F-03, b) Simbología de la falla F-03. c) Clasificación de fallas.

Tabla 28. Datos lineales de los sigmas de la estación F-03

EJE	<i>P. R</i>	TREND	PLUNGE	P. ANDERSON	REGIMEN
σ_1	0.53	197°	50°	Horizontal	
σ_2	0.34	306°	15°	Vertical	Distensivo
σ_3	0.12	047°	36°	Horizontal	

ubicada en margen derecha agua arriba en el Rio Grande, cortando perpendicular del anticlinal Llushcapampa, en rocas Formación Farrat. Se reconocio una falla con azimut de N 220°, buzamiento 64° NW, rake 05°, se clasifica como falla de deslizamiento de rumbo (strike dip) y según su nomenclatura es falla dextral. Con esfuerzo mayor σ1, trend N84° y plunge 12°, esfuerzo intermedio σ2, trend N325° y plunge 66°, esfuerzo menor σ3, trend N179° y plunge 21°, por lo que genera es un esfuerzo de compresión en la dirección W-E y una distención de dirección N-S, actuando como régimen transformante.

Tabla 29. Datos estructurales de la estación F-04

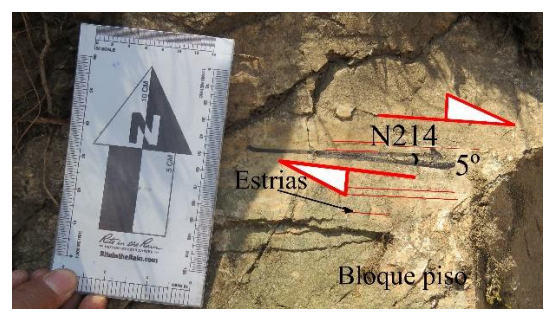
Estación		adas UTN S84 Zona		Datos Estructurales			
	Norte	Este	Cota	Azimut	Buzamiento	Rake	Cinematica
F-04	9213729			N 220°	64° NW	5°	Dx



Fotografía 28. Vista panorámica de la falla dextral en el Río Grande F-04, N: 9213589 E: 773712 Cota:2973 m.s.n.m.



Fotografía 29. Panorámica de la falla dextral en la Río Grande N: 9212866 E: 772234 Cota:2902 m.s.n.m



Fotografía 30. Movimiento de la falla e indicadores cinemáticos N: 9213729, E: 773552, Cota: 2820 m.s.n.m.

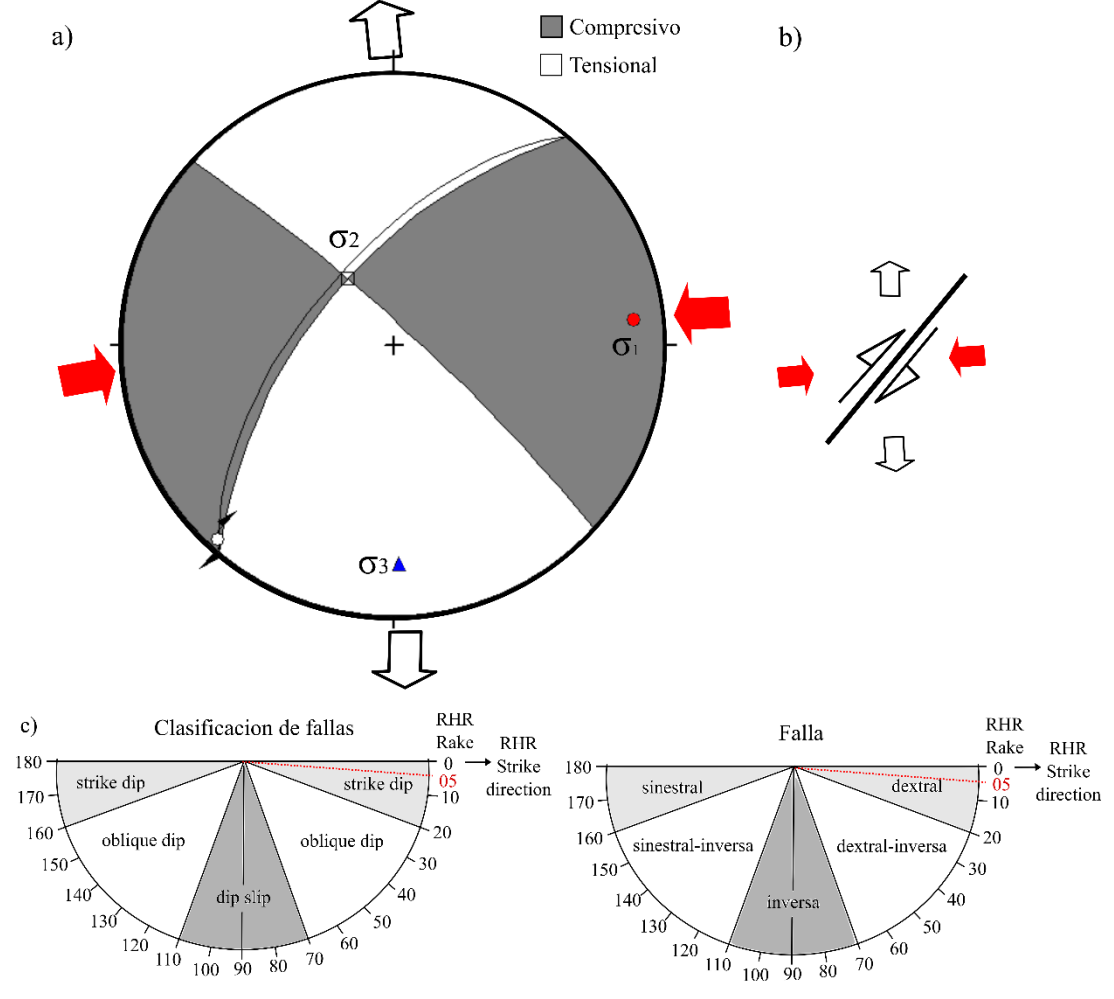


Figura 40. a) Proyección estereográfica de la estación F-04, b) Simbología de la falla F-04. c) Clasificación de falla.

Tabla 30. Datos lineales de los sigmas de la estación F-04

EJE	<i>P. R</i>	TREND	<i>PLUNGE</i>	P. ANDERSON	REGIMEN
σ_1	0.56	084°	12°	Horizontal	
σ_2	0.32	325°	66°	Vertical	Transformante
σ_3	0.13	179°	21°	Horizontal	

Ubicada en el caserío Llushcapampa, afectando a rocas areniscas de la Formacion Farrat. Se identificó una falla con azimut de N243, buzamiento 74°, rake 93°. La falla F-02-B tiene un rake de 93°, se clasifica como falla de deslizamiento vertical (dip slip) y según su nomenclatura es normal. Con esfuerzo mayor σ1, dirección trend N149° y plunge 61°, esfuerzo intermedio σ2, trend N244° y plunge 03°, esfuerzo menor σ3, trend N336° y plunge 29°, generado por un esfuerzo de distención de dirección NNW-SSE, actuando como un régimen distensivo.

Tabla 31. Datos estructurales de la F-05

Estación	Coordena WGS	idas UTM 84 Zona .			Datos Estru	cturales	
Lstacion	Norte	Este	Cota	Azimut	Buzamiento	Rake	Cinematica
F-05	9213605	773512	2844	N 243°	74°	93°	Nx



Fotografía 31. Vista panorámica de la F-05 en el margen derecho de Río Grande F-05, N: 9214528 E: 773198 Cota: 2951 m.s.n.m.



Fotografía 32. Falla normal N: 9213605 E: 773512 Cota: 2844 m.s.n.m.

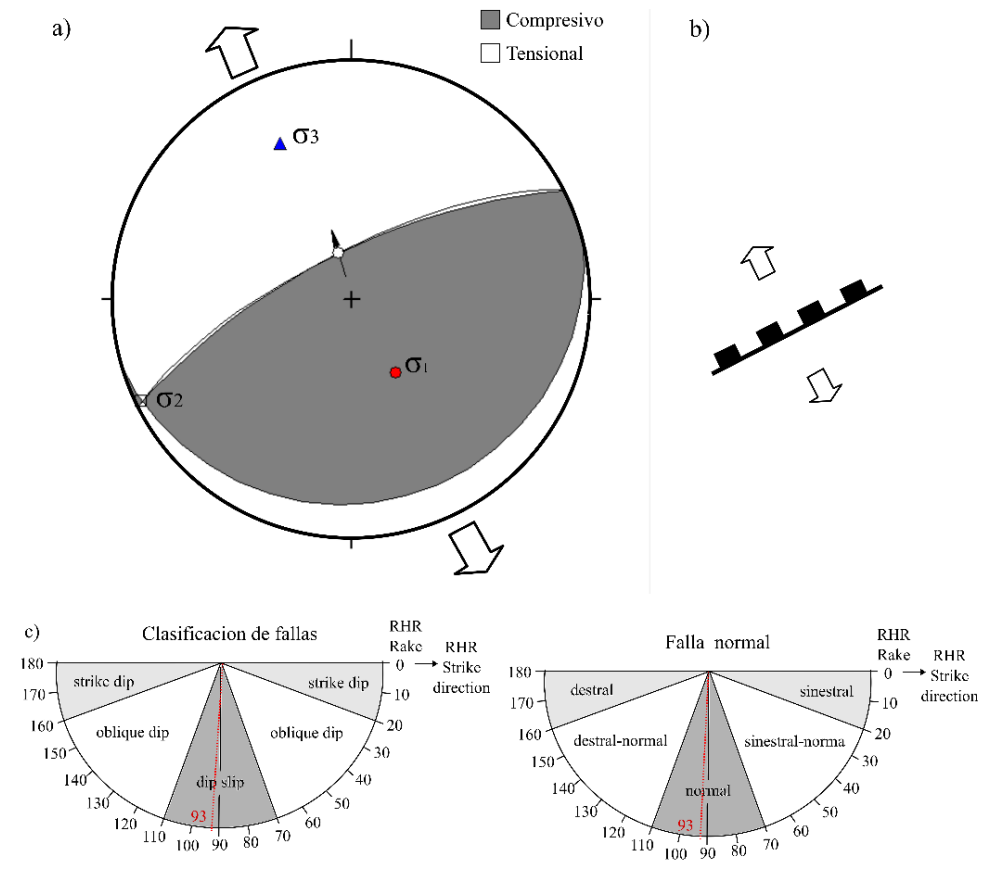


Figura 41. a) Proyección estereográfica de la estación F-05, b) Simbología de la falla F-05. c) Clasificación de fallas.

Tabla 32. Datos lineales de los sigmas de la estación F-05

EJE	<i>P. R</i>	TREND	PLUNGE	P. ANDERSON	REGIMEN
σ_1	0.55	149°	61°	Vertical	
σ_2	0.33	244°	03°	Horizontal	Distensivo
σ_3	0.12	336°	29°	Horizontal	

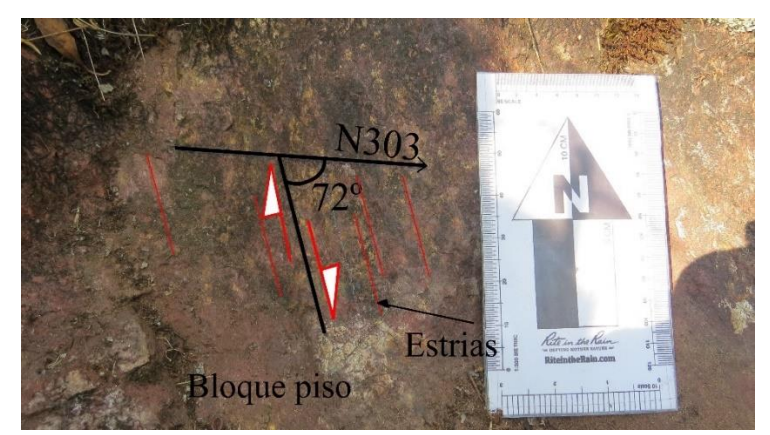
Se identificó una falla Azimut de N 303°, buzamiento 43° NE, rake 72°. se clasifica como falla de deslizamiento vertical (dip slip) y según su nomenclatura es falla normal. Con esfuerzo mayor σ1, trend N305° y plunge 77°, esfuerzo intermedio σ2, trend N109° y plunge 13°, esfuerzo menor σ3, trend N200° y plunge 04°, producto de un esfuerzo de distención de dirección NNE-SSW, actuando un régimen distensivo.

Tabla 33. Datos estructurales de la estación F-06

Estación	Coordena WGS	adas UTN 884 Zona		Datos Estructurales				
	Norte	Este	Cota	Azimut	Buzamiento	Rake	Cinemática	
F-06	9213489	773350	2818	N 303°	43° NE	72°	Nx	



Fotografía 33. Vista panorámica de F-06, N: 9213911, E: 773214, Cota: 2844 m.s.n.m.



Fotografía 34. Indicadores cinemáticos de F-06 N: 9213489, E: 773350, Cota: 2818 m.s.n.m.

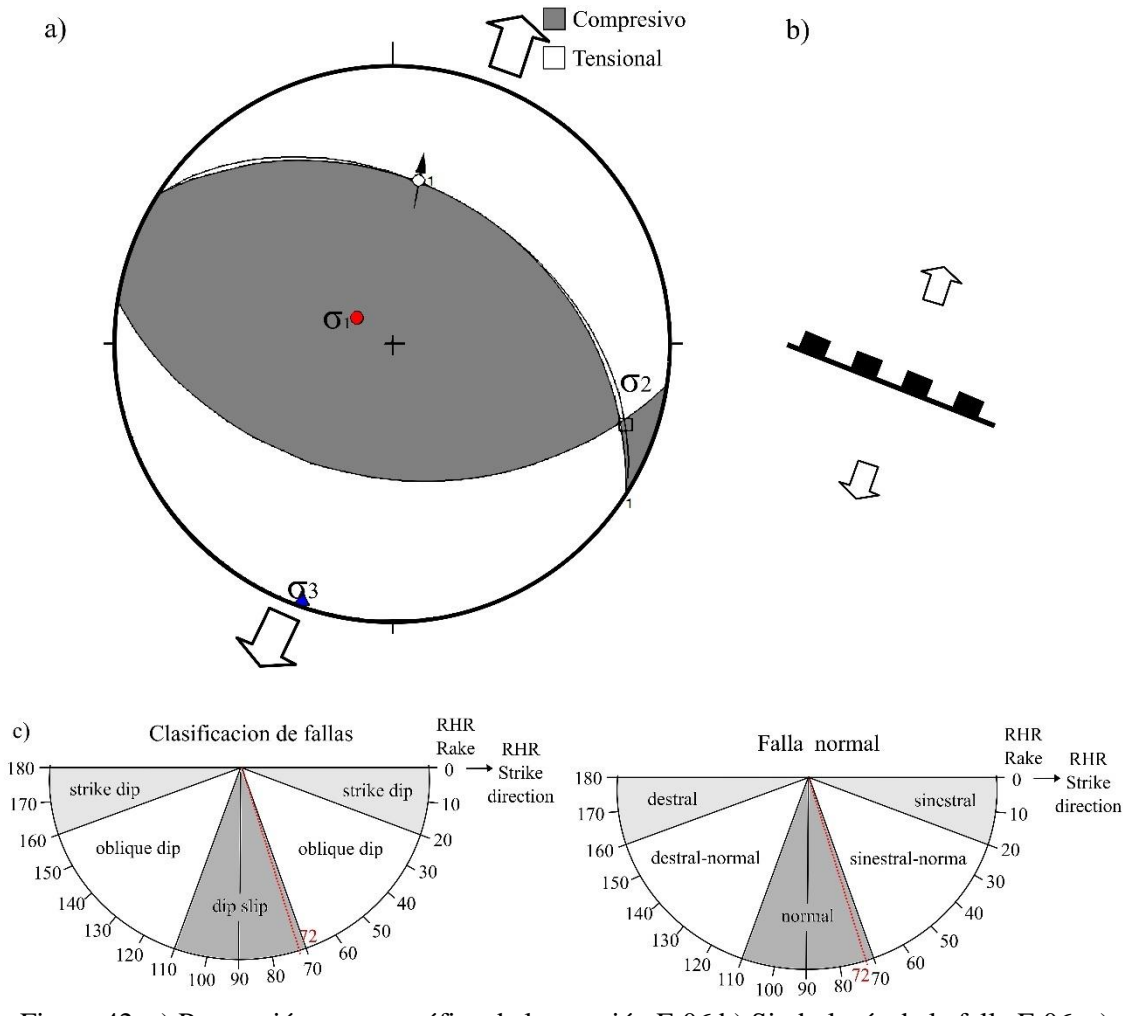


Figura 42. a) Proyección estereográfica de la estación F-06 b) Simbología de la falla F-06. c) Clasificación de falla.

Tabla 34. Datos lineales de los sigmas de la estación F-06

EJE	<i>P. R</i>	TREND	<i>PLUNGE</i>	P. ANDERSON	REGIMEN				
σ_1	0.55	305°	77°	Vertical					
σ_2	0.34	109°	13°	Horizontal	Distensivo				
σ_3	0.12	200°	04°	Horizontal					

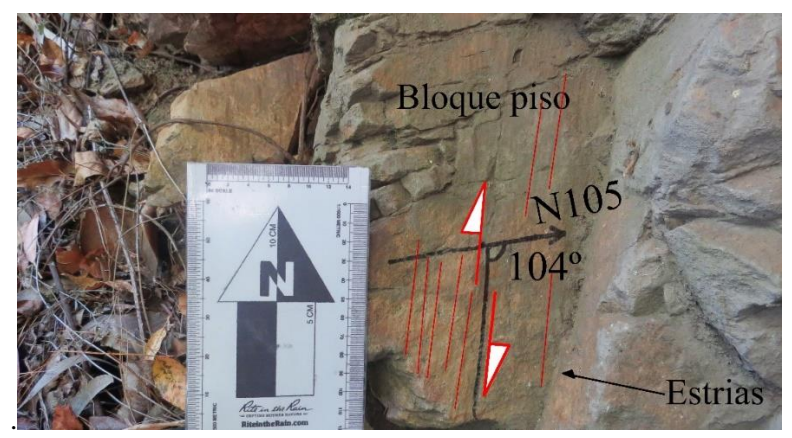
Ubicada en el caserío Llushcapampa, Se identificó una falla con azimut de N 105° , buzamiento 43° SW, rake 104° , se clasifica como falla de deslizamiento vertical (dip slip) y según su nomenclatura es falla normal. esfuerzo mayor $\sigma 1$, trend N287° y plunge 80° , esfuerzo intermedio $\sigma 2$, trend N115° y plunge 10° , esfuerzo menor $\sigma 3$, trend N025° y plunge 03° , producto de un esfuerzo de distención de dirección NNE-SSW, actuando un régimen distensivo.

Tabla 35. Datos estructurales de la estación F-07

Estación	Coord Datum W	lenadas U GS84 Zo		Datos Estructurales				
	Norte	Este	Cota	Azimut	Buzamiento	Rake	Cinemática	
F-07	9213546	773465	2830	N 105°	43° SW	104°	Nx	



Fotografía 35. Vista panorámica de la falla F-07, N: 9213884, E: 773154, Cota: 2843 m.s.n.m.



Fotografía 36. Indicadores cinemáticos de F-07, N: 9213546, E: 773465, Cota: 2830 m.s.n.m.

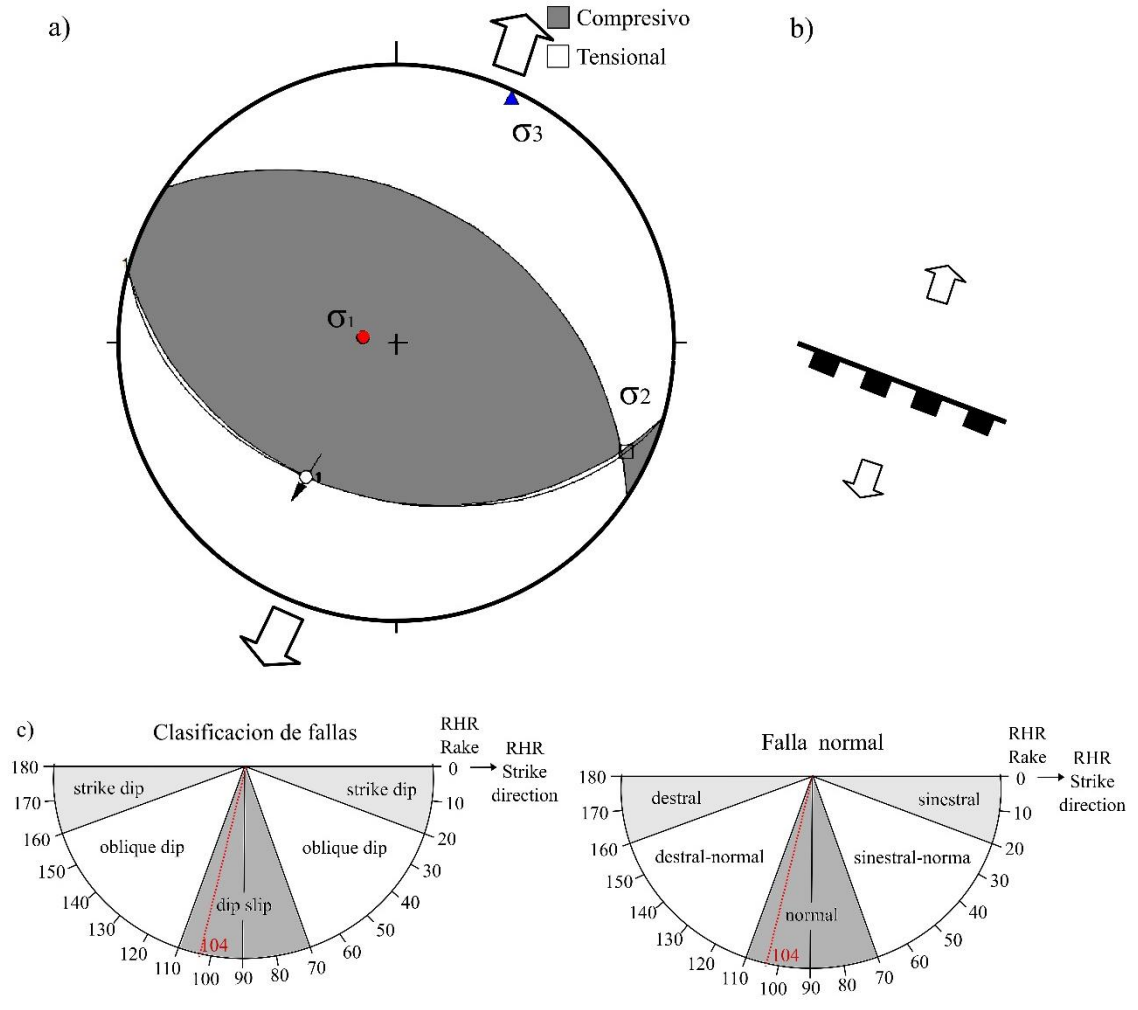


Figura 43. a) Proyección estereográfica de la estación F-07 b) Simbología de la falla F-07. c) Clasificación de falla.

Tabla 36. Datos lineales de los sigmas de la estación F-07

EJE	<i>P. R</i>	TREND	<i>PLUNGE</i>	P. ANDERSON	REGIMEN
σ_1	0.55	287°	80°	Vertical	
σ_2	0.33	115°	10°	Horizontal	Distensivo
σ_3	0.12	025°	03°	Horizontal	

Ubicada en la quebrada Chucchapuquio, en flanco NE del anticlinal de Huambocancha Baja, en rocas areniscas Formación Farrat. Se identificó una falla con los siguientes datos: primero con azimut de N205°, buzamiento 77°NW, rake 2°, el segundo con azimut N207°, buzamiento 85°NW, rake 2°, el tercero con Azimut N206°, buzamiento 86°NW, rake 3°, por último, con azimut N199°, buzamiento 75°NW, rake 2°. Se clasifica como falla deslizamiento de rumbo (strike slip) y según su nomenclatura es falla siniestral. Esfuerzo mayor σ 1, trend N160° y plunge 06°, esfuerzo intermedio σ 2, trend N303° y plunge 82°, esfuerzo menor σ 3, trend N69° y plunge 05°, generado por un esfuerzo de compresión en la dirección NNW-SSE y una distención de dirección ENE-WSW, actuando un régimen transformante.

Tabla 37. Datos estructurales de la estación F-08

Estación	Coordenadas UTM. Datum WGS84 Zona 17 S			Datos Estructurales			
	Norte	Este	Cota	Azimut	Buzamiento	Rake	Cinemática
	9212684	773736	2885	N 205°	77° NW	2°	Sx
F-08				N 207°	85° NW	2°	Sx
Γ-0δ				N 206°	86° NW	3°	Sx
				N 199°	75° NW	2°	Sx



Fotografía 37. Vista panorámica de la F-08 N: 9211809 E: 773570 Cota: 2753 m.s.n.m.



Fotografía 38. Indicadores cinemáticos de F-08 N: 9212684, E: 773736, Cota: 2885 m.s.n.m.

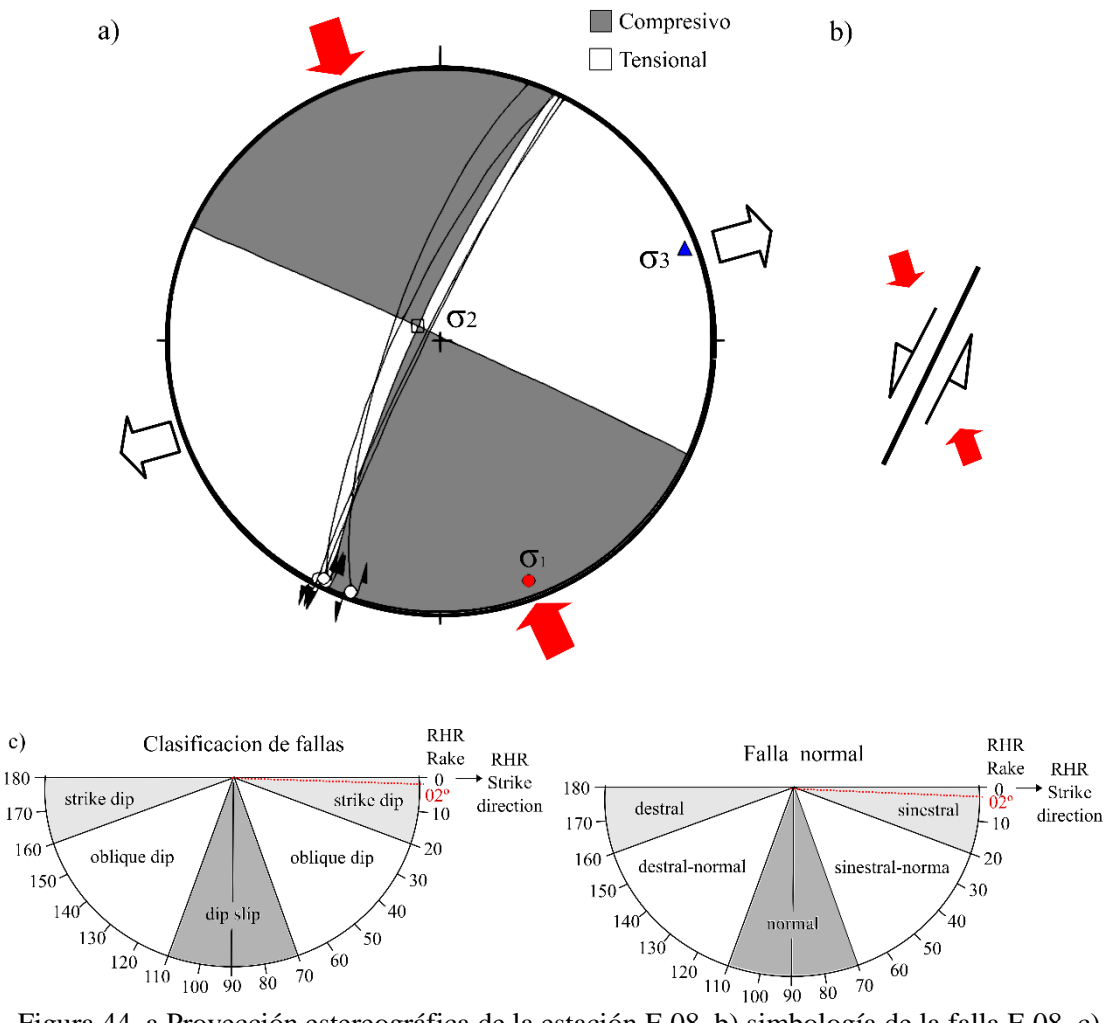


Figura 44. a Proyección estereográfica de la estación F-08. b) simbología de la falla F-08, c) Clasificación de falla.

Tabla 38. Datos lineales de los sigmas de la estación F-08

EJE	<i>P. R</i>	TREND	<i>PLUNGE</i>	P. ANDERSON	REGIMEN
σ_{l}	0.56	160°	06°	Horizontal	
σ_2	0.32	303°	82°	Vertical	Transformante
σ_3	0.13	69°	05°	Horizontal	

Localizada en la quebrada Illica, en rocas areniscas de la Formación Farrat. Se identificó una falla con azimut de N190°, buzamiento 60°NW, rake 157°. se clasifica como falla deslizamiento obliquio (oblique dip) y por lo que la nomenclatura es falla siniestral-inversa. con esfuerzo mayor σ 1, trend N140° y plunge 05°, esfuerzo intermedio σ 2, trend N237° y plunge 52°, esfuerzo menor σ 3, trend N46° y plunge 37°, producto de un esfuerzo

de compresión en la dirección NW-SE y una distención de dirección NE-SW, actuando un régimen transformante.

Tabla 39. Datos estructurales de la estación F-09

Estación	Coordenadas UTM. Datum WGS84 Zona 17 S			Datos Estructurales			
	Norte	Este	Cota	Azimut	Buzamiento	Rake	Cinemática
F-09	9212255	774551	2894	N 190°	60°NW	157°	SxIx

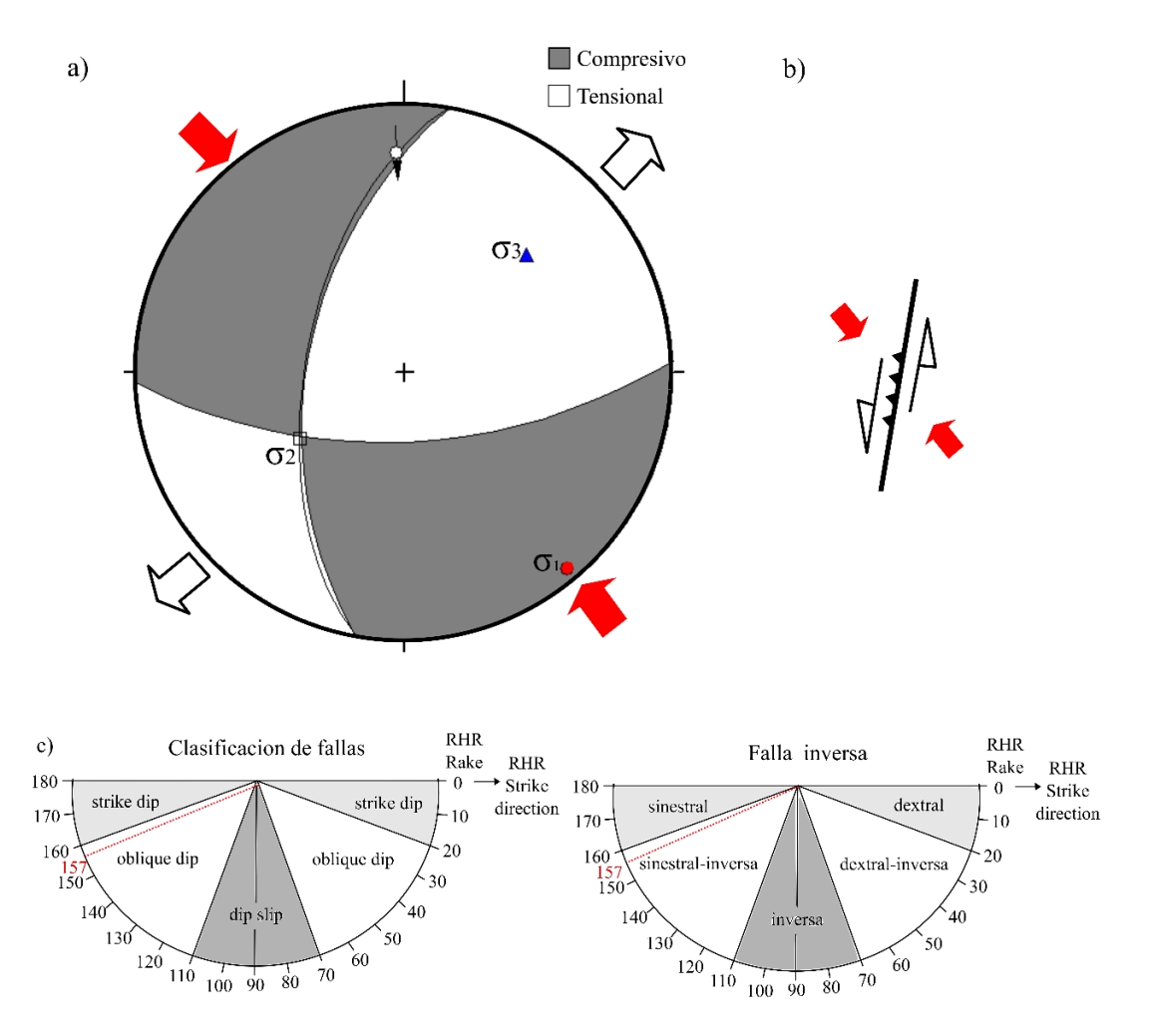
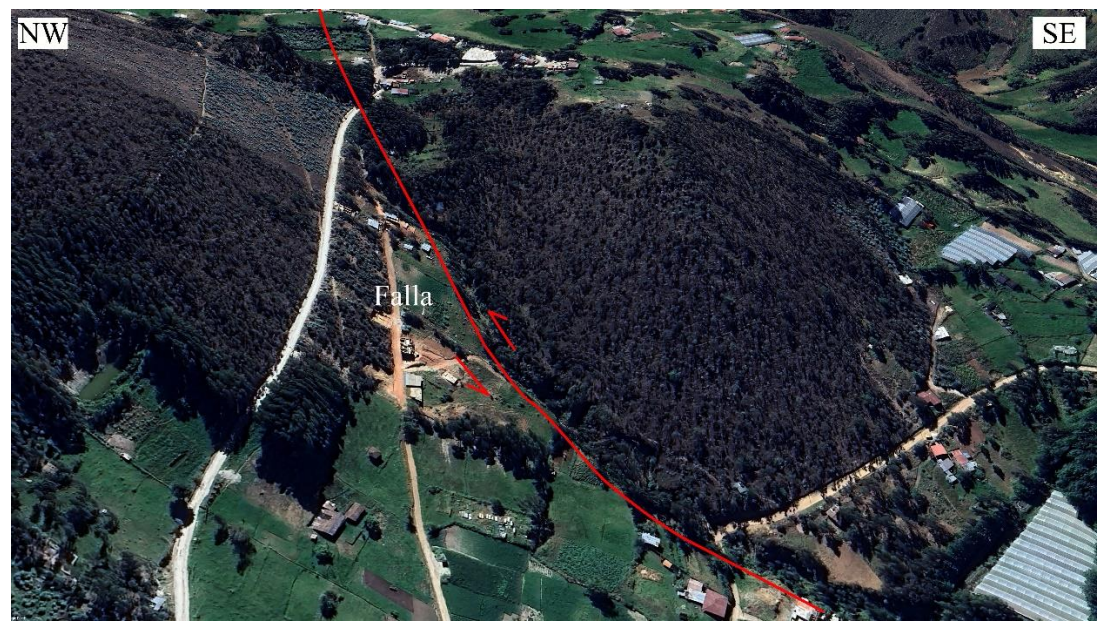


Figura 45. a) Proyección estereográfica de la estación F-09, b) simbología de la falla F-09. c) Clasificación de fallas.



Fotografía 39. Vista satelital de Google earth de F-09



Fotografía 40. Vista panorámica de F-09 N: 9212278, E: 774569, Cota:2890 m.s.n.m.



Fotografía 41. Indicadores cinemáticos de F-09 N: 9212255, E: 774551, Cota:2894 m.s.n.m.

Tabla 40. Datos lineales de los sigmas de la estación F-09

EJE	<i>P. R</i>	TREND	PLUNGE	P. ANDERSON	REGIMEN
σ_1	0.56	140°	05°	Horizontal	
σ_2	0.31	237°	52°	Vertical	Transformante
σ_3	0.12	46°	37°	Horizontal	

Situada en el caserío Nuevo Perú, en una secuencia de tobas volcánicas. Se reconoció una la falla con azimut de N137°, buzamiento 86°SW, rake 92°. Se clasifica como falla de deslizamiento vertical (dip slip) y según su nomenclatura es normal. Con un esfuerzo mayor σ1, trend N46° y plunge 49°, esfuerzo intermedio σ2, trend N137° y plunge 01°,

esfuerzo menor σ 3, trend N228° y plunge 41°, generado por un esfuerzo de una extensión de dirección NE-SW, actuando un régimen distensivo.

Tabla 41. Datos estructurales de la estación F-10

Estación	Coordenadas UTM. Datum WGS84 Zona 17 S			Datos Estructurales				
	Norte	Este	Cota	Azimut	Buzamiento	Rake	Cinemática	
F-10	9212088	774355	2878	N 137°	86°SW	92°	Nx	

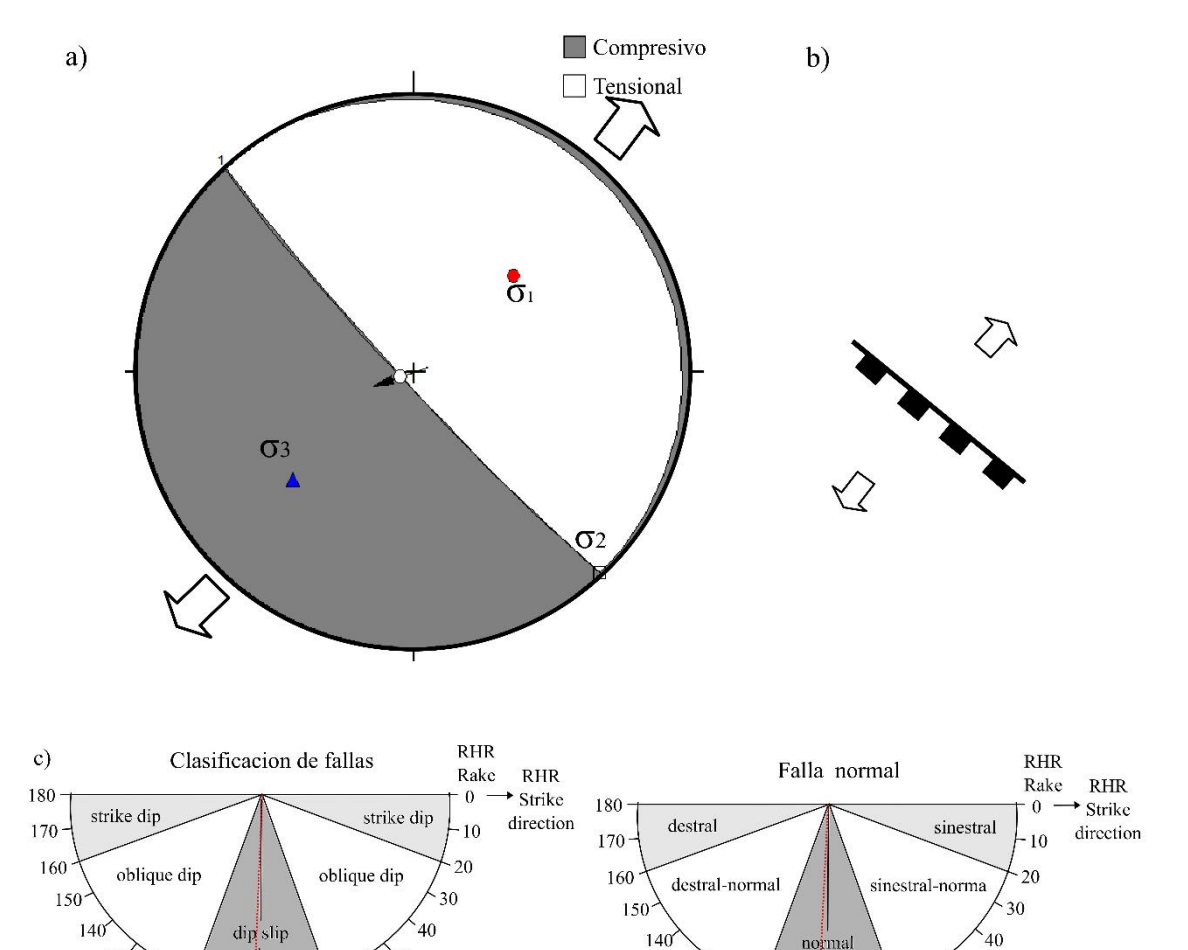


Figura 46. a) Proyección estereográfica de la estación F-10, b) Simbología de la falla F-10. c) Clasificación de fallas

130

120 110 100 90 80 70

50

60



Fotografía 42. Vista panorámica de falla normales N: 9211817 E: 772931 Cota: 2893 m.s.n.m.



Fotografía 43. a) Falla normal de en secuencia volcánicas de tobas, N: 9212088, E:774355 Cota: 2878 m.s.n.m.

Tabla 42. Datos lineales de los sigmas de la estación F-10

EJE	<i>P. R</i>	TREND	PLUNGE	P. ANDERSON	REGIMEN
σ_1	0.54	046°	49°	Vertical	
σ_2	0.34	137°	01°	Horizontal	Distensivo
σ_3	0.12	228°	41°	Horizontal	

Situada en el caserío Chincimachay, en una secuencia de tobas del Volcánico Huambos. Se identificó una falla con azimut N315°, buzamiento 87°NE, rake 88°. Se clasifica como falla de deslizamiento vertical (dip slip) y según su nomenclatura es normal. Esfuerzo mayor σ1, trend N133° y plunge 71°, esfuerzo intermedio σ2, trend N311° y plunge 19°, esfuerzo menor σ3, trend N041° y plunge 01°, por lo que genera es un esfuerzo de una extensión de dirección NE-SW, actuando como régimen distensivo.

Tabla 43. Datos estructurales de la estación F-11

Estación		adas UTM 84 Zona 1		Datos Estructurales			
	Norte	Este	Cota	Azimut	Buzamiento	Rake	Cinemática
F-11	9211577	773899	2768	N 315°	87°NE	88°	Nx

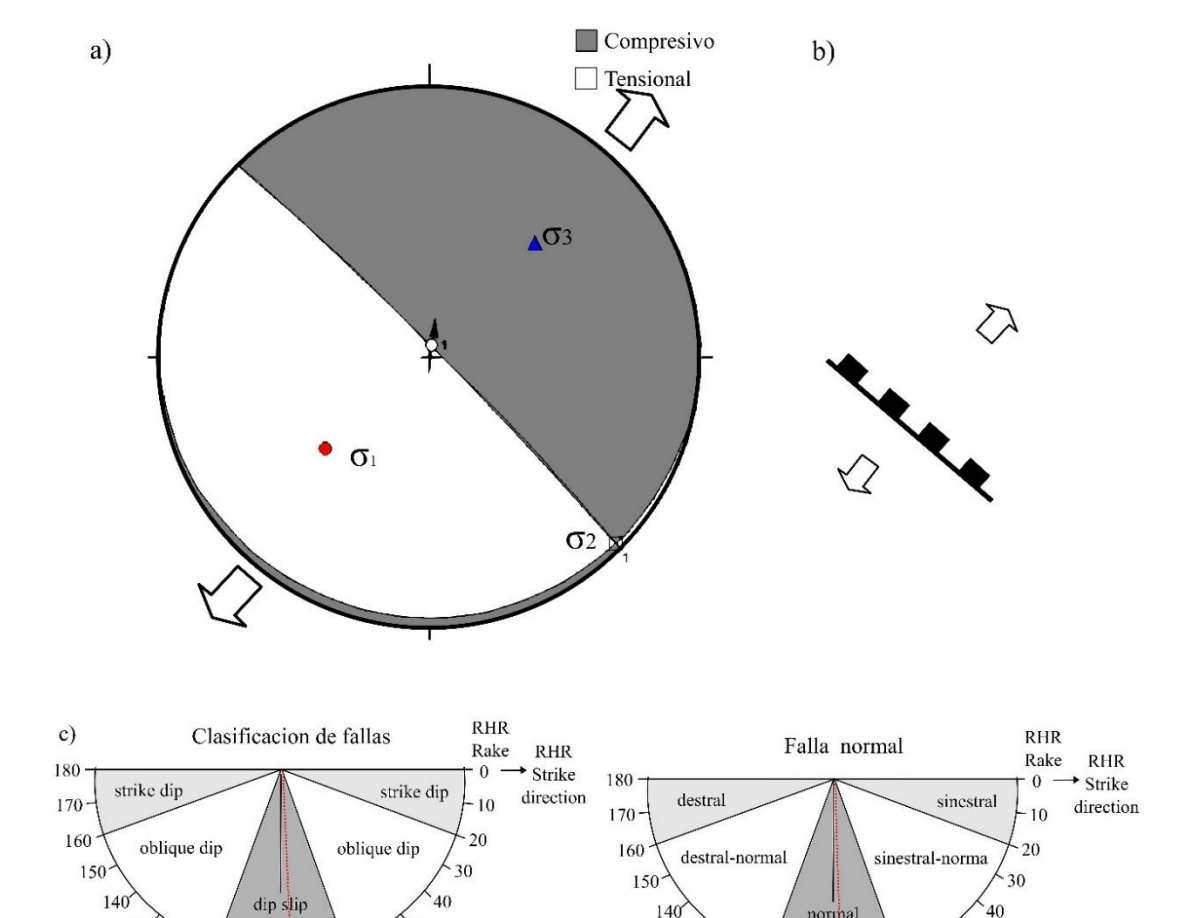


Figura 47. a Proyección estereográfica de la estación F-11, b) Simbología de la falla F-11. c)

Clasificación de fallas



Fotografía 44. Vista panorámica de F-10 N: 9212571 E: 774215 Cota: 3061 m.s.n.m.



Fotografía 45. Falla normal en tobas N: 921257 E: 774899 Cota: 2768 m.s.n.m.

Tabla 44. Datos lineales de los sigmas de la estación F-11

	uoru i i	. Datos III	cares ac 105	orginas ac la estac	1011 1 1 1
EJE	<i>P. R</i>	TREND	<i>PLUNGE</i>	P. ANDERSON	REGIMEN
σ_1	0.35	229°	48°	Vertical	
σ_2	0.35	135°	03°	Horizontal	Distensivo
σ_3	0.12	042°	42°	Vertical	

Ubicada en la margen izquierda del rio Sanmbar, aflorando rocas detríticas de la Formación Carhuaz, Se identificó una falla con azimut de N344°, buzamiento 64° NE, rake 5°. Se clasifico como falla de deslizamiento de rumbo (strike slip) y según su nomenclatura es dextral. Con esfuerzo mayor σ1, trend N208° y plunge 12°, esfuerzo intermedio σ2, trend N90° y plunge 66°, esfuerzo menor σ3, trend 303° y plunge 21°, generando por un esfuerzo de compresión en la dirección NNE-SSW y una distención de dirección NNW-SSE, actuando un régimen transformante.

Tabla 45. Datos estructurales de la estación F-12

Estación	Coordenaa WGS8	las UTM. 4 Zona 17		Datos Estructurales			
	Norte	Este	Cota	Azimut	Buzamiento	Rake	Cinemática
F-12	9211838	775143	2765	N344°	64°NE	5°	Dx

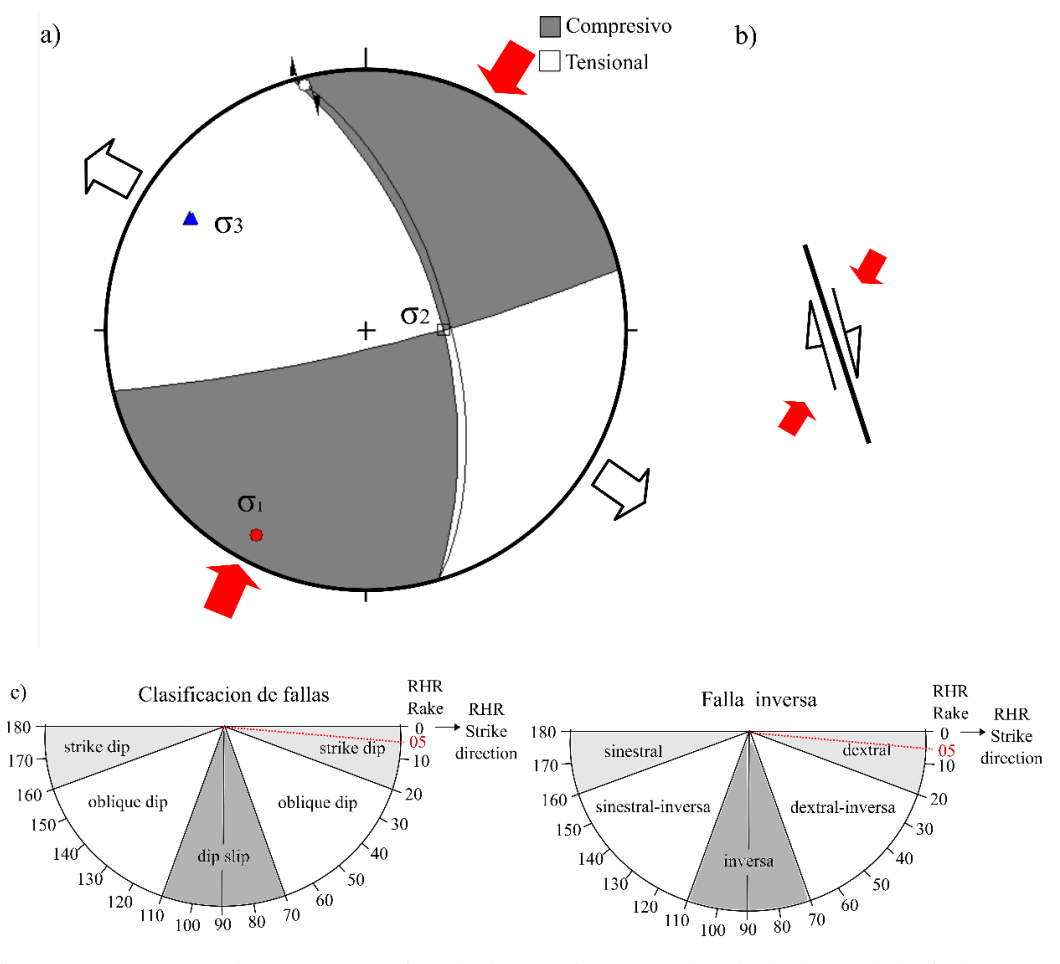
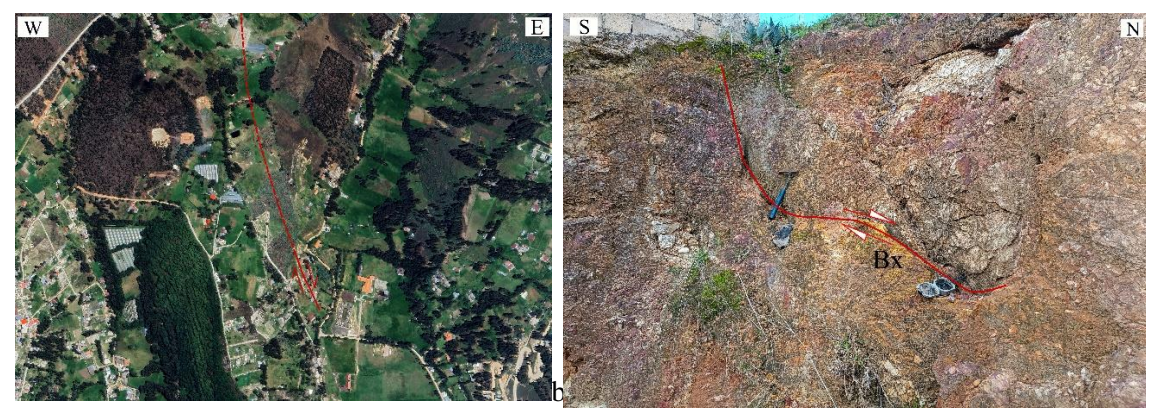


Figura 48. a) Proyección estereográfica de la estación F-12, b) Simbología de la falla F-12. c) Clasificación de fallas.



Fotografía 46. Falla dextral en la Formación Carhuaz, N: 9211824, E:775136 Cota: 2766 m.s.n.m.



Fotografía 47. Vista satelital de la F-12.

Fotografía 48. Brecha en F-12, N: 9211824, E:775136 Cota: 2766 m.s.n.m.

Tabla 46. Datos lineales de los sigmas de la estación F-12

				2 2 8 2 2 2 2 2 2 2 2 2 2 2 2 2 2 2 2 2	
EJE	<i>P. R</i>	TREND	PLUNGE	P. ANDERSON	REGIMEN
σ_1	0.56	208°	12°	Horizontal	
σ_2	0.32	090°	66°	Vertical	Transformante
σ_3	0.12	303°	21°	Horizontal	

Situada en la margen derecha de Rio Sanmbar, en rocas areniscas de Formación Carhuaz. Se identificó una falla con azimut de N195°, buzamiento 54°, rake 155°. Se clasifico como falla de deslizamiento oblicuo (oblique slip) y por lo que la nomenclatura es sinistral-inversa. esfuerzo mayor σ 1, trend N144° y plunge 08°, esfuerzo intermedio σ 2, trend N242° y plunge 46°, esfuerzo menor σ 3, trend N047° y plunge 43°, producto de un

esfuerzo de un compresivo de dirección NW-SE y extensión con orientación NE-SW, actuando un régimen transformante.

Tabla 47. Datos estructurales de la estación F-13.

Estación	Coordenadas UTM. Datum WGS84 Zona 17 S			Datos Estructurales			
	Norte	Este	Cota	Azimut	Buzamiento	Rake	Cinemática
F-13	9211439	775606	2769	N195°	54°NW	155°	SxIx

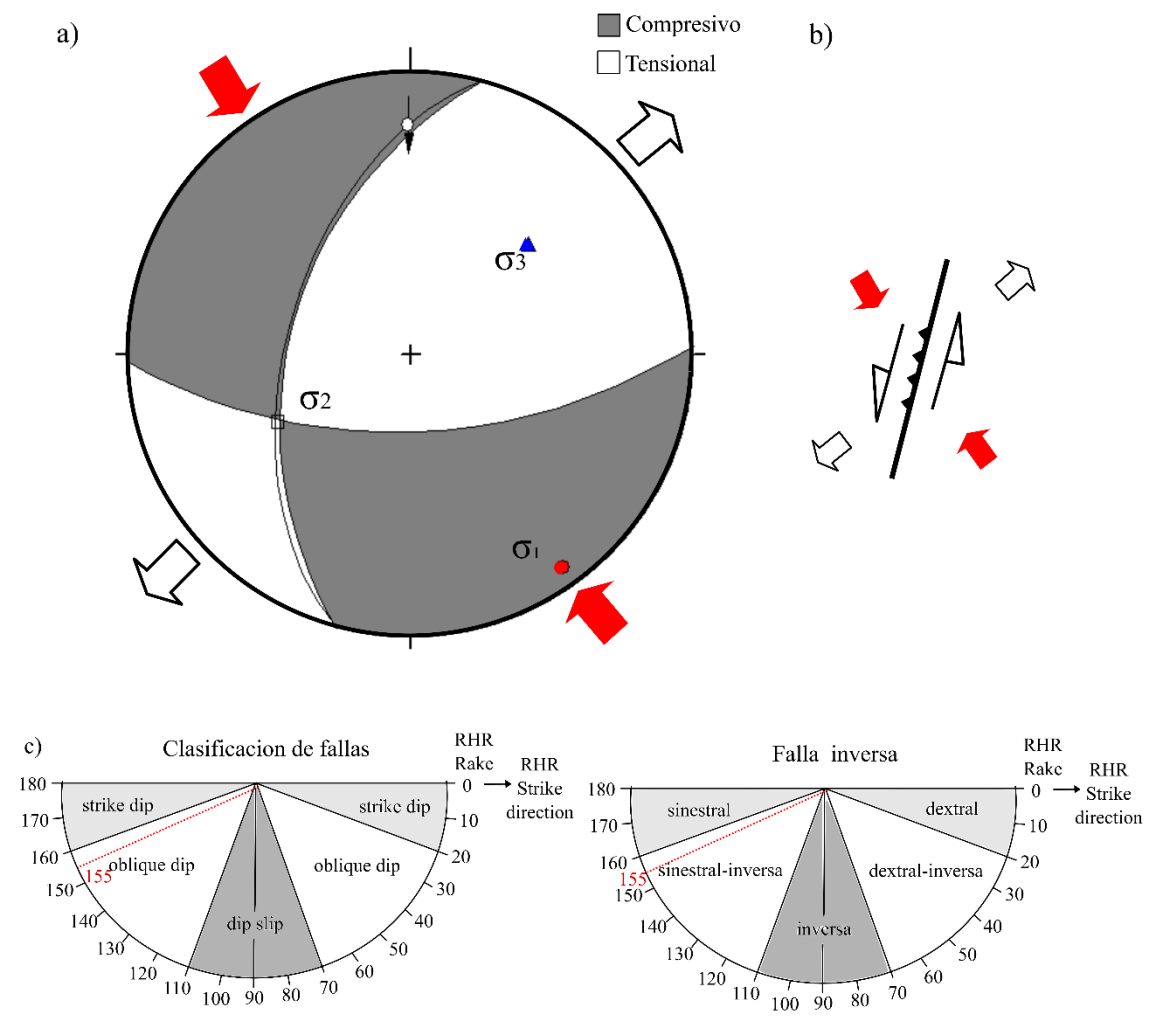


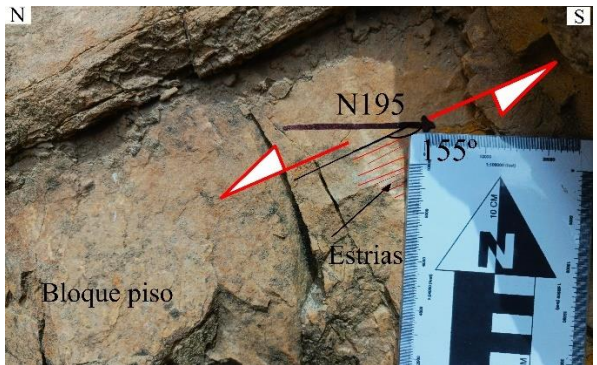
Figura 49. a) Proyección estereográfica de la estación F-13, b) Simbología de la falla F-13. c) Clasificación de fallas.



Fotografía 49. Falla sinestral F-13, N: 9211439, E: 775606, Cota: 2769 m.s.n.m.



Fotografía 50. Vista satelital de F-13.



Fotografía 51. Indicadores cinemáticos de F-13, N: 9211439, E: 775606, Cota: 2769 m.s.n.m.

Tabla 48. Datos lineales de los sigmas de la estación F-13

EJE	<i>P. R</i>	TREND	PLUNGE	P. ANDERSON	REGIMEN
σ_1	0.56	144°	08°	Horizontal	
σ_2	0.31	242°	46°	Vertical	Transformante
σ_3	0.13	47°	43°	Vertical	

Localizada en el caserío Nuevo Perú hacia la margen derecha de Río Mashcon, en rocas areniscas de Formación Farrat. Se identificó una falla con azimut de N191°, buzamiento 57°NW, rake 152°. Se clasifico como falla de deslizamiento oblicuo (oblique slip) y según su nomenclatura es dextral-normal. Con esfuerzo mayor σ1, trend N45° y plunge 36°, esfuerzo intermedio σ2, trend N239° y plunge 54°, esfuerzo menor σ3, trend N140° y plunge 07°, producto de un esfuerzo de un compresivo de dirección NE-SW y extensión con orientación NW-SE, actuando un régimen transformante.

Tabla 49. Datos estructurales de la estación F-14.

Estación	Coordena WGS	das UTM 84 Zona 1		Datos Estructurales				
	Norte	Este	Cota	Azimut	Buzamiento	Rake	Cinemática	
F-14	9212814	773362	2806	N191°	57°NW	152°	DxNx	



Fotografía 52. Vista panorámica de F-14, N: 9211885, E: 772772, Cota: 2911 m.s.n.m.



Fotografía 53. F-14 en la canal de regadío Vizcachas



Fotografía 54. Indicadores cinemáticos de F-14, N: 9212814, E: 773362, Cota: 2806 m.s.n.m.

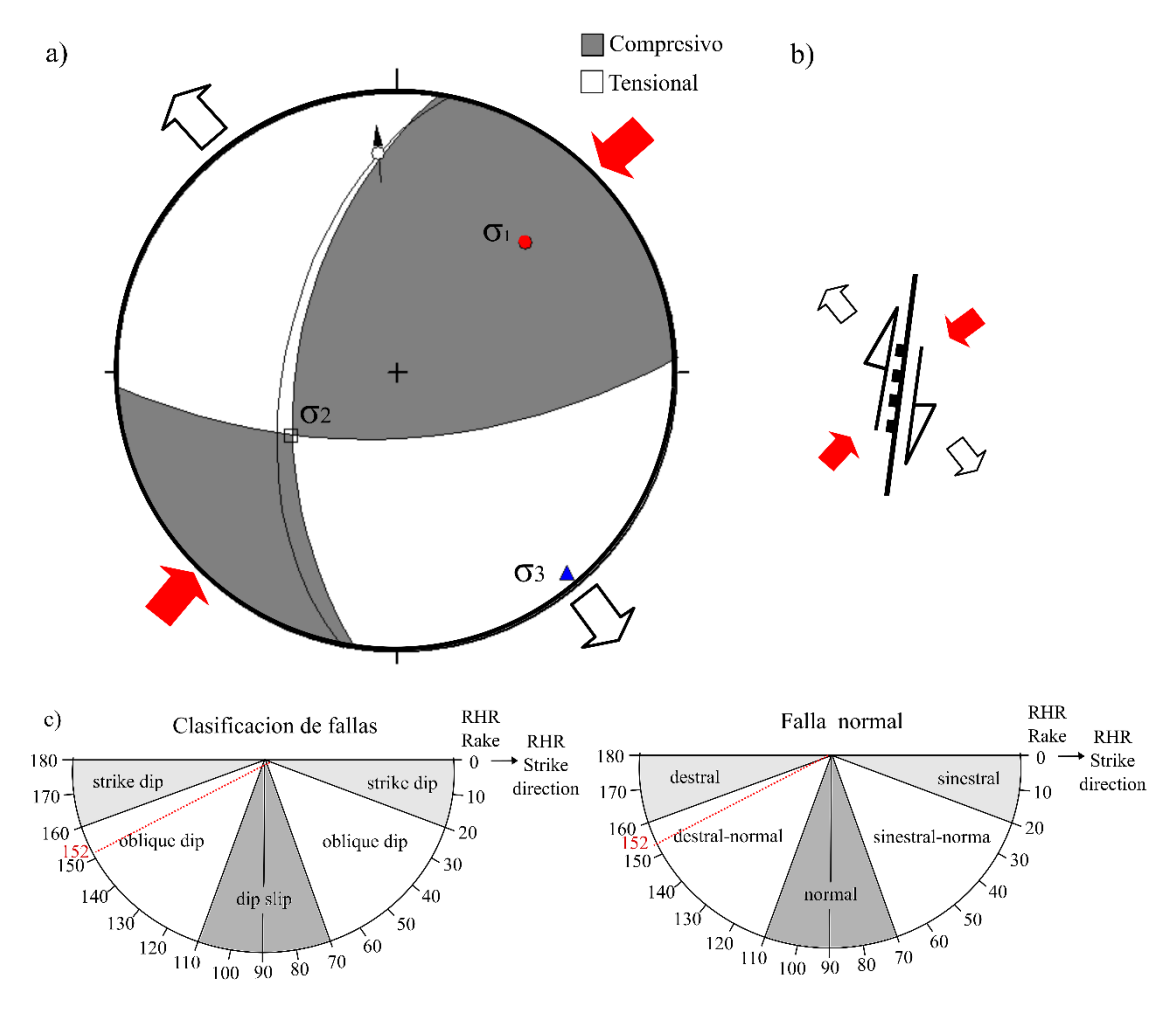


Figura 50. a) Proyección estereográfica de la estación F-14, b) Simbología de la falla F-14. c) Clasificación de fallas.

Tabla 50. Datos lineales de los sigmas de la estación F-14

EJE	<i>P. R</i>	TREND	PLUNGE	P. ANDERSON	REGIMEN
σ_1	0.54	45°	36°	Horizontal	
σ_2	0.34	239°	54°	Vertical	Transformante
σ_3	0.12	140°	07°	Horizontal	

Estación F-15

Ubicada en la quebrada Chushpe, en flanco SW del anticlinal de Huambocancha Baja, en rocas de la Formación Carhuaz y Formación Farrat, Se identificó una falla con los siguentes datos: el primero con azimut de N216, buzamiento 87°NW, rake 139°, el segundo con Azimut N214, buzamiento 75°NW, rake 138°. además de la presencia de óxidos. Se clasifico como falla de deslizamiento oblicuo (oblique slip) y según su nomenclatura es falla siniestral-inversa. Con esfuerzo mayor σ1, trend N342° y plunge

 17° , esfuerzo intermedio σ 2, trend N230° y plunge 50° , esfuerzo menor σ 3, trend N384° y plunge 35° , producto de un esfuerzo de compresión en la dirección NNW-SSE y una distención de dirección E-W, actuando un régimen transformante.

Tabla 51. Datos estructurales de la estación F-15

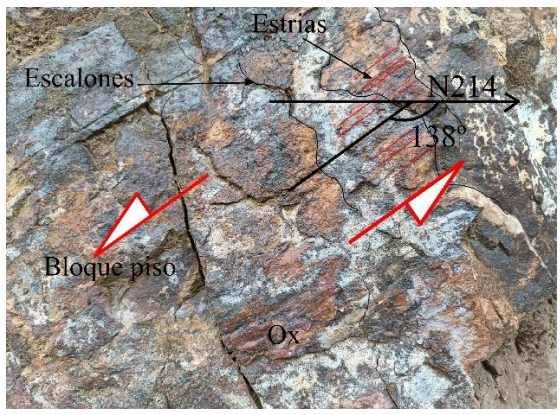
Estación		adas UTM 884 Zona		Datos Estructurales			
	Norte	Este	Cota	Azimut	Buzamiento	Rake	Cinematica
D 15	9213130	772117	2867	N 216°	87°NW	139°	SxIx
F-15				N 214°	75°NW	138°	SxIx



Fotografía 55. Vista panorámica de la F-15, N: 9213471 E: 773724 Cota:2969 m.s.n.m.



Fotografía 56. F-15 en la Formación Carhuaz



Fotografía 57. Indicadores cinemáticos F-15, N: 9213130, E: 772117, Cota:2867 m.s.n.m.

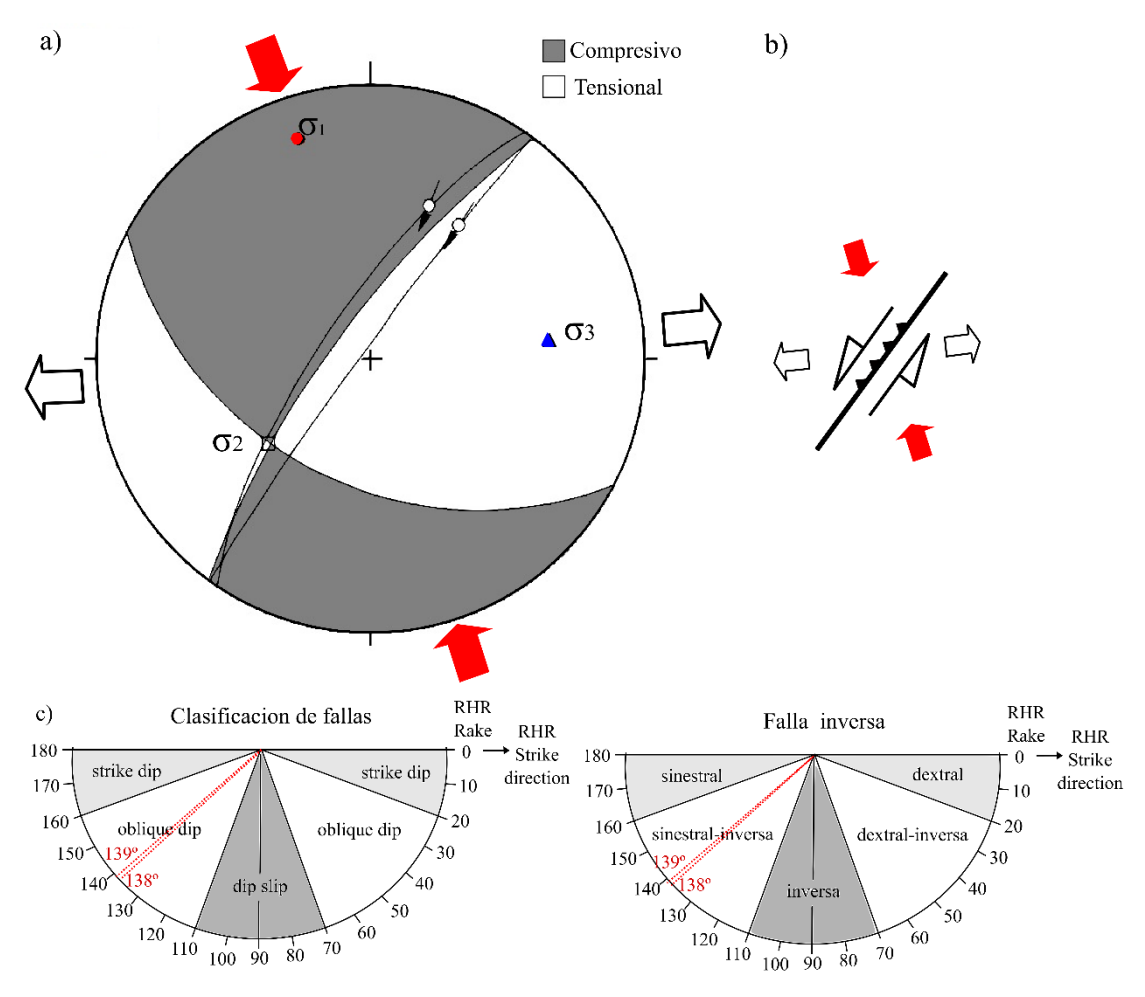


Figura 51. a) Proyección estereográfica de la estación F-15, b) Simbología de la falla F-15. c) Clasificación de fallas.

Tabla 52. Datos lineales de los sigmas de la estación F-15

EJE	<i>P. R</i>	TREND	PLUNGE	P. ANDERSON	REGIMEN
σ_1	0.55	342°	17°	Horizontal	
σ_2	0.32	230°	50°	Vertical	Transformante
σ_3	0.13	84°	35°	Horizontal	

Ubicada en la quebrada Qarqash, en el caserío Huambocancha Baja, se observó una secuencia detrítica de la Formación Carhuaz. Se identificó una la falla con azimut de N257°, buzamiento 47°NW, rake 110°. Se clasifico como falla de deslizamiento vertical (dip slip) y según su nomenclatura es normal. Con esfuerzo mayor σ1, trend N92° y plunge 75°, esfuerzo intermedio σ2, trend N272° y plunge 15°, esfuerzo menor σ3, trend N02° y plunge 00°, generado por un esfuerzo de una extensión de dirección N-S, actuando un régimen distensivo.

Tabla 53. Datos estructurales de la estación F-16

Estación	Coordena WGS	adas UTM 184 Zona 1		Datos Estructurales			
	Norte	Este	Cota	Azimut	Buzamiento	Rake	Cinemática
F-16	9212662	772454	2869	N 257°	47° NW	110°	Nx



Fotografía 58. Vista panorámica de la falla F-16, N: 9213471 E: 773724 Cota:2969 m.s.n.m



Fotografía 59. Falla normal en la Formación Carhuaz N: 9212662, E: 7724542, Cota:2869 m.s.n.m.



Fotografía 60: Indicadores cinemáticos de F-16

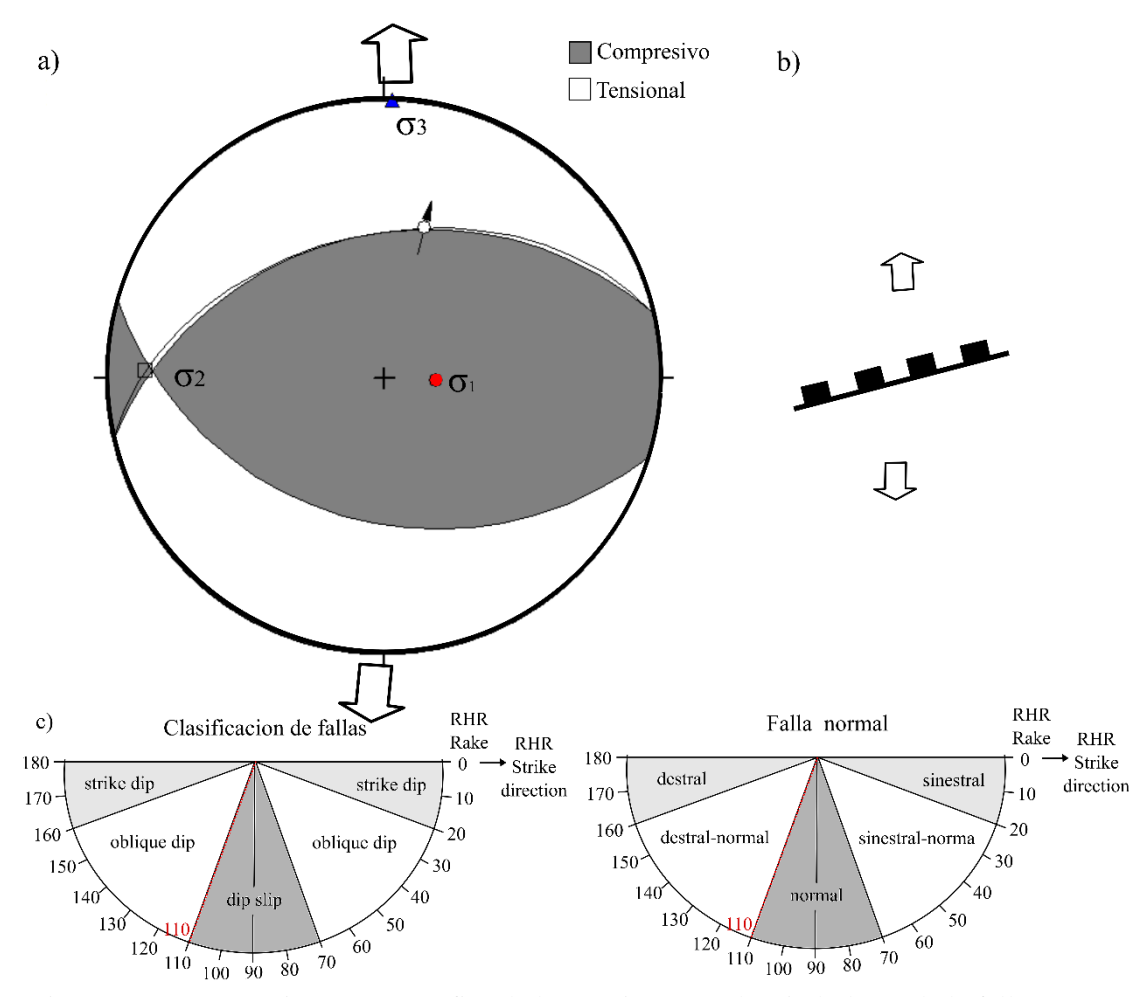


Figura 52. a) Proyección estereográfica de la estación F-16, b) Simbología de la falla F-10. c) Clasificación de fallas.

Tabla 54. Datos lineales de los sigmas de la estación F-16

EJE	<i>P. R</i>	TREND	PLUNGE	P. ANDERSON	REGIMEN
σ_1	0.55	92	75	Vertical	
σ_2	0.34	272	15	Horizontal	Distensivo
σ_3	0.12	2	00	Horizontal	

Situada en el caserío Huambocancha baja en el flanco SW del anticlinal del mismo caserío, en rocas areniscas de Formación Farrat, y la Formación Carhuaz. se reconoció una falla con azimut de N 295°, buzamiento 68° NE, rake 155°, trend 105° y plunge 23°. Se clasifico como falla de deslizamiento oblicuo (oblique slip) y según si nomenclatura es falla dextral-normal. Con esfuerzo mayor σ1, trend N155° y plunge 27°, esfuerzo intermedio σ2, trend N334° y plunge 63°, esfuerzo menor σ3, trend N65° y plunge 01°,

producto de compresión en la dirección NNW-SSE y una distención de dirección E-W, actuando un régimen transformante.

Tabla 55. Datos estructurales de la estación F-17

Estación		adas UTN S84 Zona		Datos Estructurales			
	Norte	Este	Cota	Azimut	Buzamiento	Rake	Cinemática
F-17	9211370	773151	2949	N 295°	68° NE	155°	DxNx

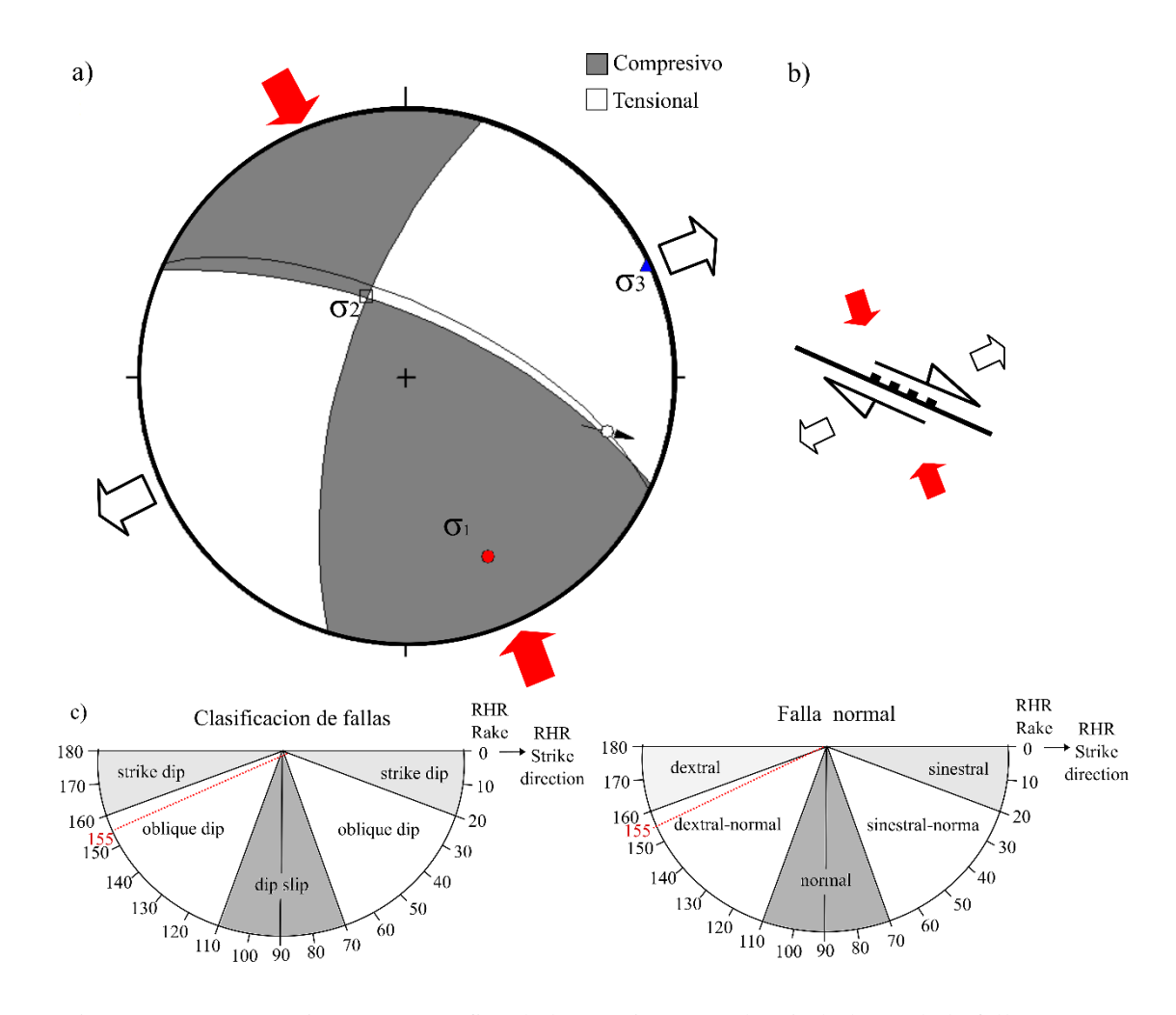


Figura 53. a) Proyección estereográfica de la estación F-17, b) Simbología de la falla F-17. c) Clasificación de fallas.



Fotografía 61. Indicadores cinemáticos de F-17 N: 9211370, E: 773151, Cota: 2949 m.s.n.m.



Fotografía 62. Vista panorámica de la falla F-17, N: 9213471, E: 773724, Cota: 2969 m.s.n.m.

Tabla 56. Datos lineales de los sigmas de la estación F-17

EJE	<i>P. R</i>	TREND	PLUNGE	P. ANDERSON	REGIMEN
σ_1	0.55	155°	27°	Horizontal	
σ_2	0.33	334°	63°	Vertical	Transformante
σ_3	0.12	65°	01°	Horizontal	

Situada en el caserío Huambocancha Baja en el flanco SW del anticlinal del mismo nombre, en el cerro Shicuana, en rocas areniscas de la Formación Farrat, se identificó una falla con azimut de N 171°, buzamiento 62° SW, rake 38°. Se clasifico como falla de deslizamiento oblicuo (oblique slip) y según su nomenclatura es falla dextral inversa. Con esfuerzo mayor σ1, trend N227° y plunge 56°, esfuerzo intermedio σ2, trend N319° y plunge 32°, esfuerzo menor σ3, trend N134° y plunge 13°, producto de un esfuerzo de compresión en la dirección NF-SW y una distención de dirección NW-SE, actuando un régimen transformante.

Tabla 57. Datos estructurales de la estación F-18

Estación		adas UTN S84 Zona	1. Datum 17 S	Datos Estructurales			
	Norte	Este	Cota	Azimut	Buzamiento	Rake	Cinemática
F-18	9211478	773257	2893	N 171°	62°SW	38°	DxIx



Fotografía 63. Indicadores cinemáticos de F-18, N: 9211478, E: 773257, Cota: 2893 m.s.n.m



Fotografía 64. Vista panorámica de la falla F-18, N: 9213471 E: 773724 Cota:2969 m.s.n.m.

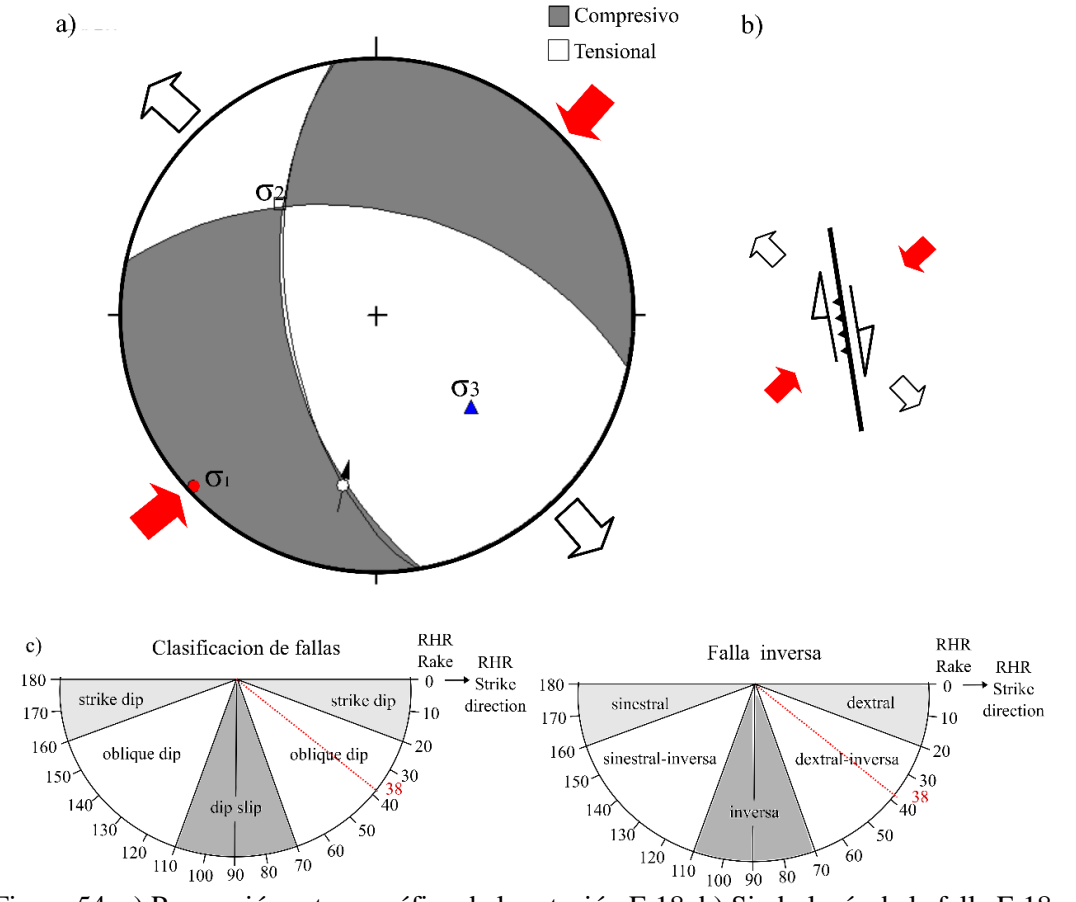


Figura 54. a) Proyección estereográfica de la estación F-18, b) Simbología de la falla F-18. c) Clasificación de fallas.

Tabla 58. Datos lineales de los sigmas de la estación F-18

EJE	<i>P. R</i>	TREND	PLUNGE	P. ANDERSON	REGIMEN	
σ_1	0.56	227°	56°	Vertical		
σ_2	0.32	319°	32°	Vertical	Transformante	
σ_3	0.13	134°	13°	Horizontal		

Situada en el caserío El Molino, aflorando rocas areniscas de Formación Farrat, se reconoció una falla con azimut de N60°, buzamiento 39°SE, rake 115°. Se clasifico como falla de deslizamiento oblicuo (oblique dip) y nomenclatura a manera falla normal dextral. Con esfuerzo mayor σ1, trend N231° y plunge 72°, esfuerzo intermedio σ2, trend N80° y plunge 16°, esfuerzo menor σ3, trend N384° y plunge 8°, generado por un esfuerzo de compresión en la dirección NW-SE y una distención de dirección N-S, actuando un régimen transformante.

Tabla 59. Datos estructurales de la estación F-19

Estación	Coordenadas UTM. Datum WGS84 Zona 17 S			Datos Estructurales				
	Norte	Este	Cota	Azimut	Buzamiento	Rake	Cinemática	
F-19	9211113	773350	2782	N 60°	39°SE	115°	NxDx	

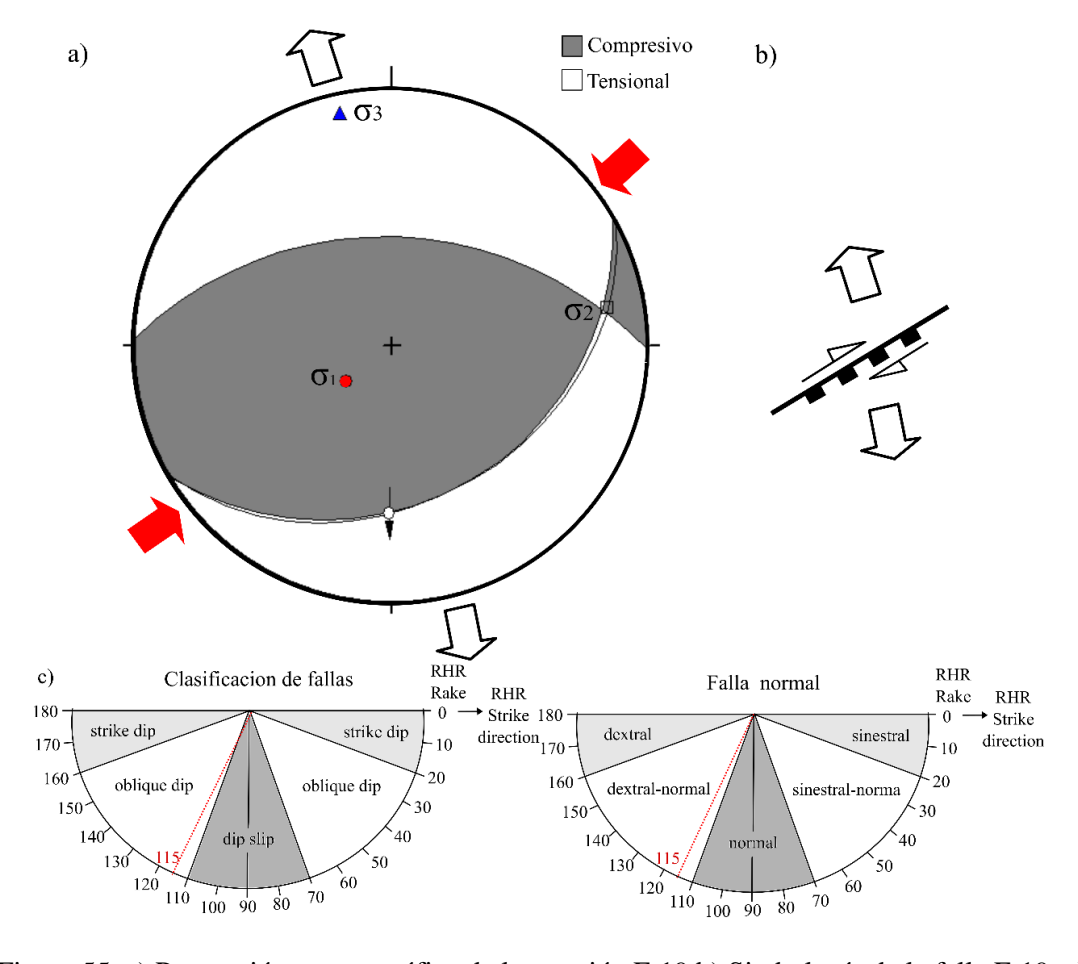
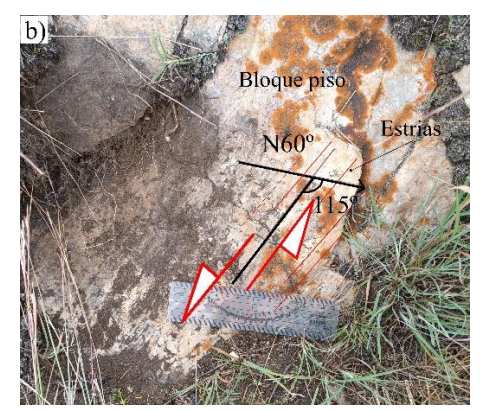


Figura 55. a) Proyección estereográfica de la estación F-19 b) Simbología de la falla F-19. c) Clasificación de fallas.



Fotografía 65. a) Vista panorámica de la F-19, N: 9211370, E: 773151, Cota:2949 m.s.n.m.



Fotografía 66. Indicadores cinemáticos de F-19, N: 9211113 E: 7773350 Cota: 2782 m.s.n.m.

Tabla 60. Datos lineales de los sigmas de la estación F-19

EJE	<i>P. R</i>	TREND	<i>PLUNGE</i>	P. ANDERSON	REGIMEN	
σ_1	0.54	231°	72°	Vertical		
σ_2	0.34	80°	16°	Horizontal	Transformante	
σ_3	0.12	348°	8°	Horizontal		

Situada en el caserío Huambocancha Baja, a la margen izquierda de rio Mashcón, a inmediación del sector el molino. El afloramiento se atribuye a rocas areniscas de Formación Farrat. Se identificó una la falla con azimut de N01°, buzamiento 60°E, rake 168°. Se clasifico como falla de deslizamiento de rumbo (strike slip) y según su nomenclatura es falla dextral. Con esfuerzo mayor σ1, trend N220° y plunge 24°, esfuerzo intermedio σ2, trend N72° y plunge 63°, esfuerzo menor σ3, trend N316° y plunge 13°, producto de esfuerzo de compresión en la dirección SW-NE y una distención de dirección NW-SE, actuando un régimen transformante.

Tabla 61. Datos estructurales de la estación F-20

Estación	Coord Datum W	lenadas U 'GS84 Zoi		Datos Estructurales			
	Norte	Este	Cota	Azimut	Buzamiento	Rake	Cinemática
F-20	9211115	773364	2768	N01°	60°E	168°	Dx

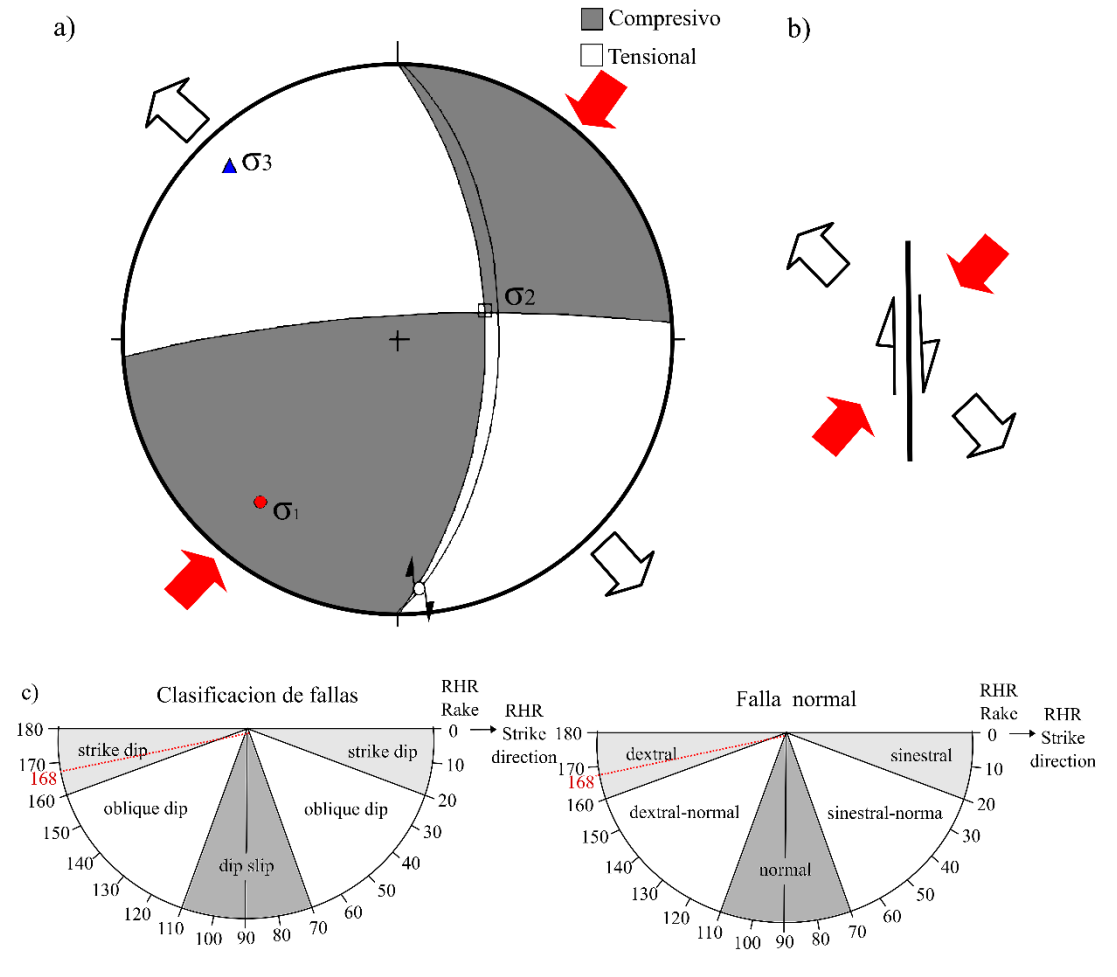
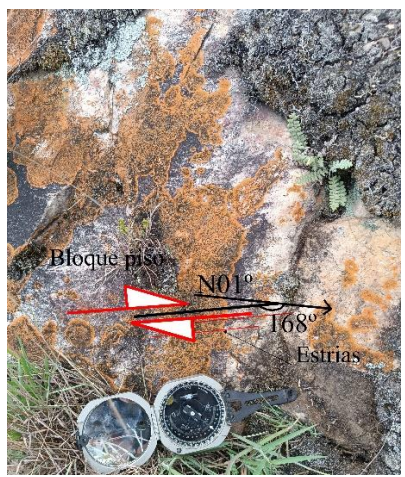


Figura 56. a) Proyección estereográfica de la estación F-12-B, b) Simbología de la falla F-12-B. c) Clasificación de fallas.



Fotografía 67. Vista panorámica de la falla F-20 N: 9211258, E: 773228, Cota:2894 m.s.n.m.



Fotografía 68. Indicadores cinemáticos de F-20, N: 9211115, E: 773364, Cota:2768 m.s.n.m.

Tabla 62. Datos lineales de los sigmas de la estación F-20

EJE	<i>P. R</i>	TREND PLUNG		P. ANDERSON	REGIMEN	
σ_1	0.54	220°	24°	Horizontal		
σ_2	0.33	72°	63°	Vertical	Transformante	
σ_3	0.12	316°	13°	Horizontal		

Estación F-21.

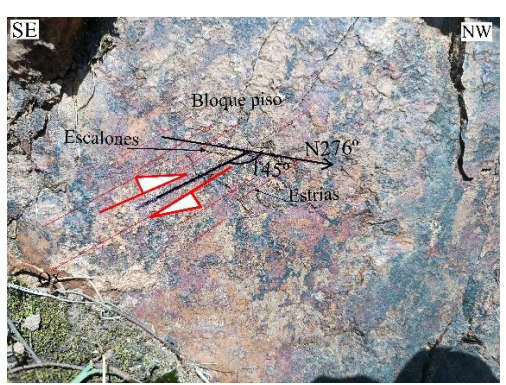
Localiza en la quebrada de Plazaconga, en el caserío Huambocancha baja. Afloran rocas areniscas de Formación Farrat y Formación Carhuaz. Se identificó una falla con los siguientes datos: primero con azimut de N 276°, buzamiento 65°NE, rake 145°, el segundo con azimut de N 270°, buzamiento 54°N, rake 140°. Se clasifica como falla de deslizamiento oblicuo (oblique dip) y según su nomenclatura es falla dextral-normal. Con esfuerzo mayor σ1, trend N128° y plunge 41°, esfuerzo intermedio σ2, trend N308° y plunge 49°, esfuerzo menor σ3, trend N218° y plunge 00°, producto de un esfuerzo de compresión en la dirección NW-SE y una distención de dirección NE-SW, actuando un régimen transformante.

Tabla 63. Datos estructurales de la estación F-21

Estación	Coordenadas UTM. Datum WGS84 Zona 17 S			Datos Estructurales			
	Norte	Este	Cota	Azimut	Buzamiento	Rake	Cinemática
F-21	9211803	772780	2924	N 276°	65° NE	145°	Dx
F-21				N 270°	54°N	140°	Dx



Fotografía 69. Vista panorámica de la falla F-21 N: 9212891, E: 773785, Cota: 2990 m.s.n.m.



Fotografía 70. Indicadores cinemáticos F-21, N: 9211803 E: 772780 Cota: 2924 m.s.n.m.

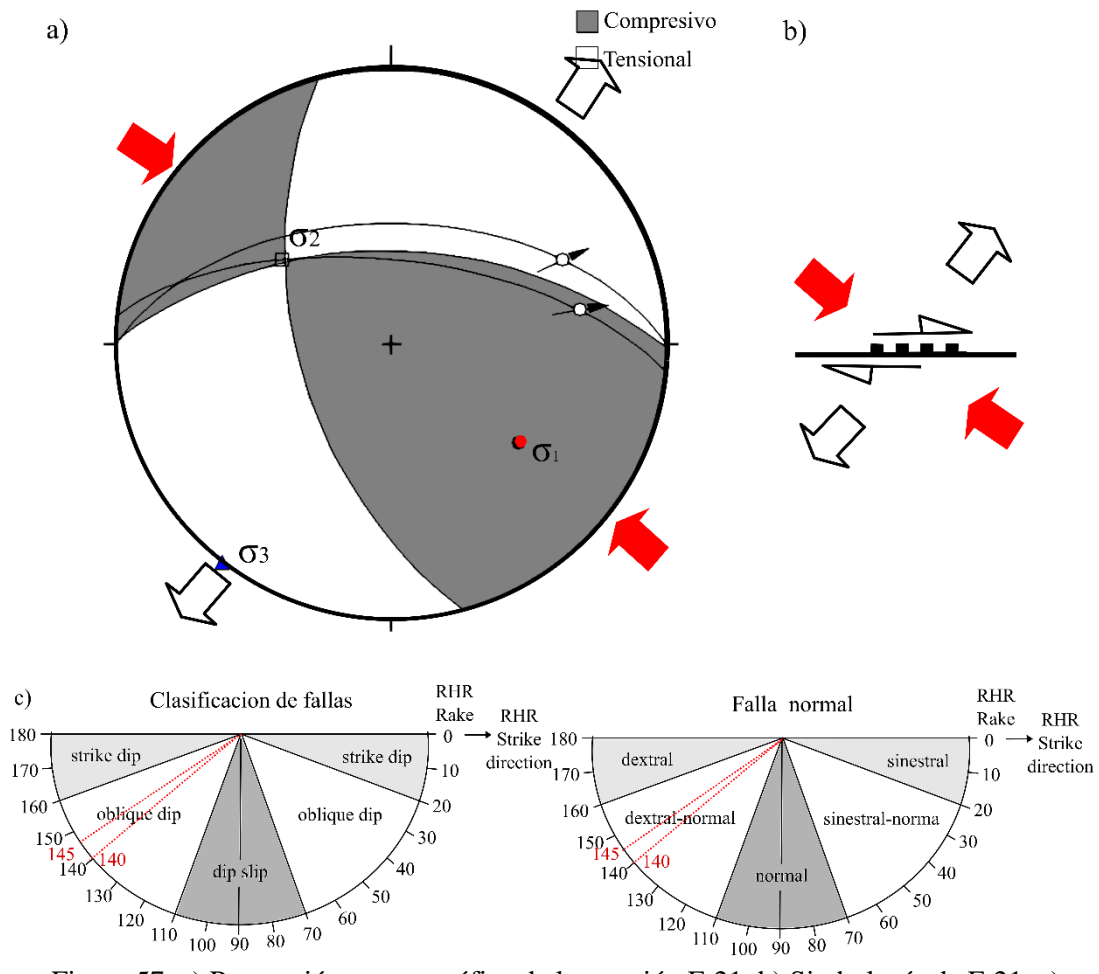


Figura 57. a) Proyección estereográfica de la estación F-21, b) Simbología de F-21. c) Clasificación de fallas.

Tabla 64. Datos lineales de los sigmas de la estación F-21

EJE	<i>P. R</i>	TREND	PLUNGE	P. ANDERSON	REGIMEN	
σ_1	0.53	128°	41°	Vertical		
σ_2	0.34	308°	49°	Vertical	Transformante	
σ_3	0.12	218°	00°	Horizontal		

Situada en la margen derecha de la quebrada Plazaconga, el caserío Huambocancha baja, en donde afloran rocas intrusivas. Se le registro datos como, azimut de N 62°, buzamiento 87°SE, rake 48°. Se clasifico como falla de deslizamiento oblicuo (oblique dip) y según su nomenclatura es falla dextral-normal. Con esfuerzo mayor σ1, trend N009° y plunge 29°, esfuerzo intermedio σ2, trend N244° y plunge 47°, esfuerzo menor σ3, trend N117°

y plunge 30°, producto de un esfuerzo de compresión en la dirección N-S y una distención de dirección WNW-ESE, actuando un régimen transformante.

Tabla 65. Datos estructurales de la estación F-22

Estación	Coord Datum W	lenadas U 'GS84 Zoi		Datos Estructurales			
	Norte	Este	Cota	Azimut	Buzamiento	Rake	Cinemática
F-22	9211807	772776	2929	N 62°	87°SE	48°	SxNx

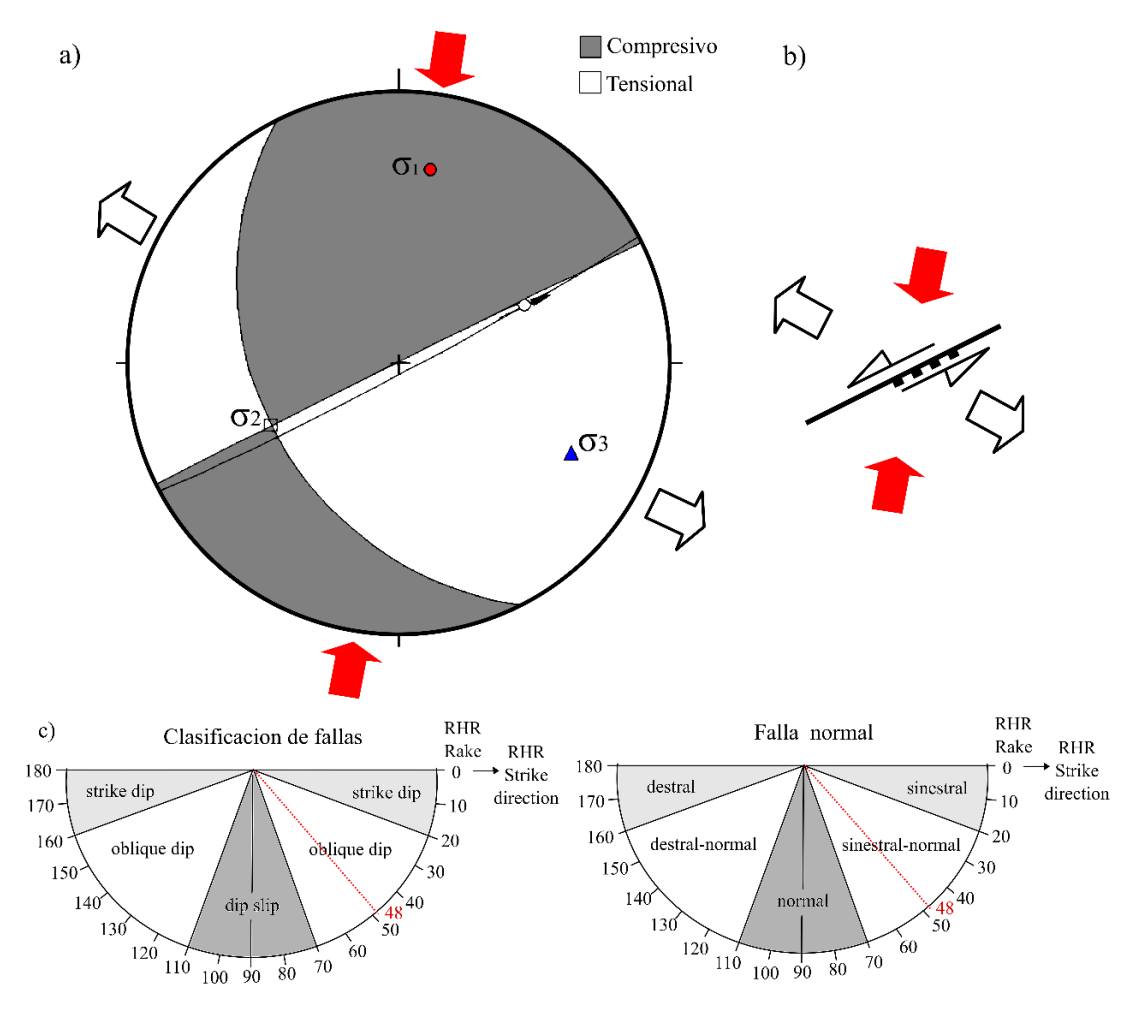
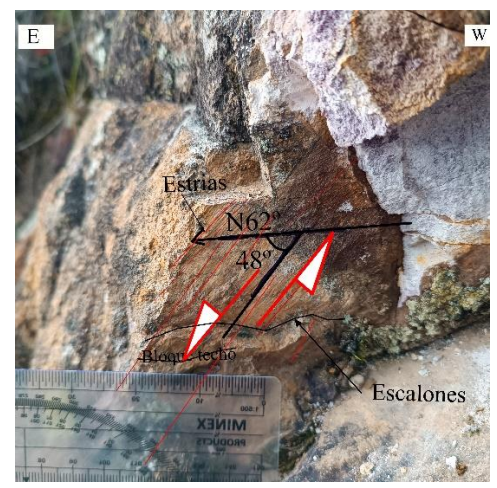


Figura 58. a) Ploteo de estrías de la falla, dirección de los esfuerzos de F-22 b) Simbología de la falla F-22. c) Clasificación de fallas.



Fotografía 71. Vista panorámica de F-22, N: 9212841, E: 773744, Cota: 2955 m.s.n.m.



Fotografía 72. Indicadores cinemáticos de F-22 N: 9211807, E: 772776, Cota: 2929 m.s.n.m.

Tabla 66. Datos lineales de los sigmas de la estación F-22

EJE	<i>P. R</i>	TREND	PLUNGE	P. ANDERSON	REGIMEN
σ_1	0.55	009°	29°	Horizontal	
σ_2	0.33	244°	47°	Vertical	Transformante
σ_3	0.12	117°	30°	Horizontal	

Situada en caserío Huambocancha baja, en la parte media del cerro Shicuana, afectando a rocas intrusivas. Con datos estructurales, primer de azimut de N 320°, buzamiento 40°NE, rake 68° y un segundo con azimut de N 337°, buzamiento 44° NE, rake 70°. Se clasifico como falla de deslizamiento vertical (dip slip) y según su nomenclatura es falla normal. esfuerzo mayor σ 1, trend N334° y plunge 75°, esfuerzo intermedio σ 2, trend N142° y plunge 14°, esfuerzo menor σ 3, trend N233° y plunge 03°, producto de un esfuerzo de distención de dirección NE-SW, actuando un régimen transformante.

Tabla 67. Datos estructurales de la estación F-23

Estación		adas UTM 884 Zona		Datos Estructurales				
	Norte	Este	Cota	Azimut	Buzamiento	Rake	Cinemática	
F-23	9211847	772731	2952	N 320°	40° NE	68°	Nx	
Г-23	9411847			N 337°	44° NE	70°	Nx	

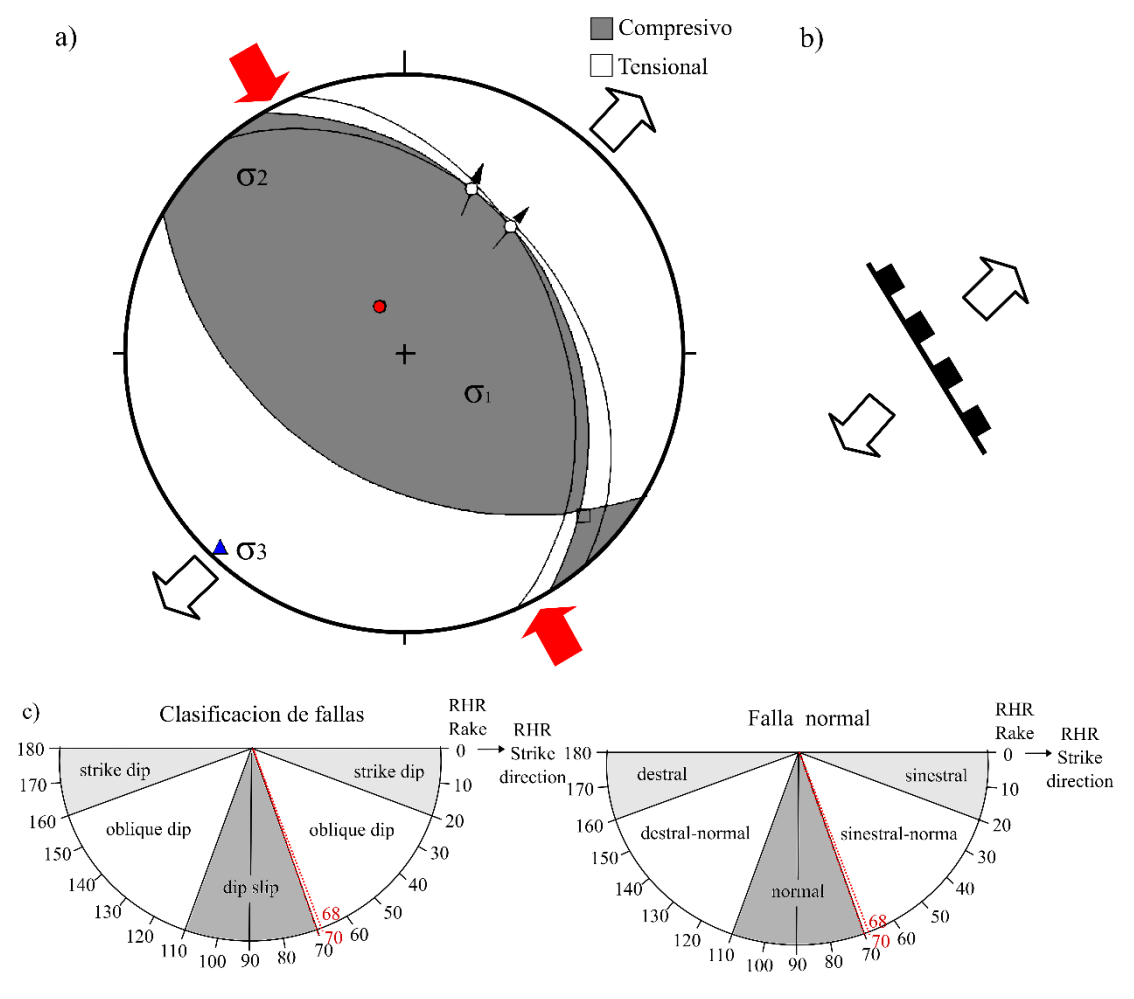
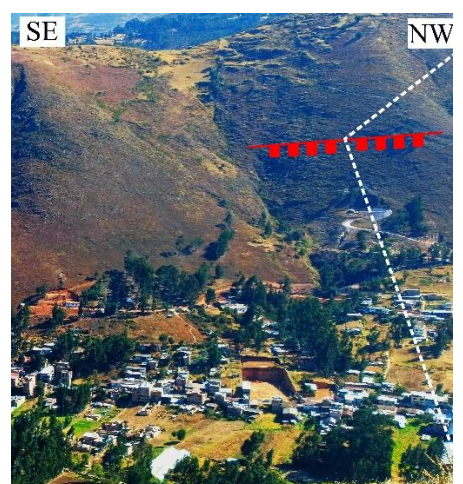


Figura 59. A) Proyección estereográfica de la estación F-23, b) Simbología de F-23. c) Clasificación de fallas.



Fotografía 73. Vista panorámica de F-23, N: 9212841, E: 773744, Cota: 2955 m.s.n.m.



Fotografía 74. Indicadores cinemáticos de F-23 N: 921184, E: 7772731, Cota: 2952 m.s.n.m.

Tabla 68. Datos lineales de los sigmas de la estación F-23

EJE	<i>P. R</i>	TREND	PLUNGE	P. ANDERSON	REGIMEN
σ_1	0.54	334°	75°	Vertical	
σ_2	0.34	142°	14°	Horizontal	Transformante
σ_3	0.12	233°	03°	Horizontal	

Ubicada en la margen izquierda de quebrada del caserío Huambocancha baja, se encuentra desplazado a rocas arenisca de la Formación Farrat, se obtuvo lo siguientes datos: azimut de N358°, buzamiento 81°NE, rake 67°. Con esfuerzo mayor σ1, trend N297° y plunge 45°, esfuerzo intermedio σ2, trend N175° y plunge 28°, esfuerzo menor σ3, trend N67° y plunge 32°, producto de compresión en la dirección WNW-ESE y un distención de dirección ENE-WSW, actuando un régimen transformante.

Tabla 69. Datos estructurales de la estación F-24

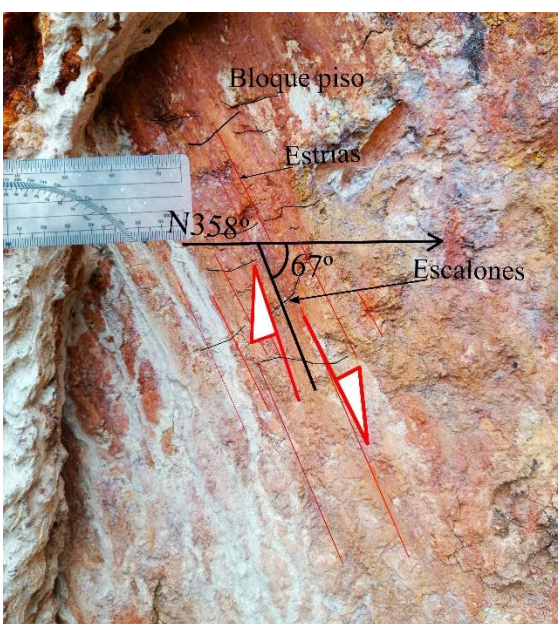
Estación	Coordenadas UTM. Datum WGS84 Zona 17 S			Datos Estructurales				
	Norte	Este	Cota	Azimut	Buzamiento	Rake	Cinemática	
F-24	9212415	772345	2964	N 358°	81°NE	67°	NxSx	



Fotografía 75. Vista panorámica de la falla F-24, N: 9212378, E: 772427, Cota:2933 m.s.n.m.



Fotografía 76. Falla normal en Formación Farrat N: 9212415, E: 7772345, Cota: 2964 m.s.n.m.



Fotografía 77. Indicadores cinemáticos de F-24

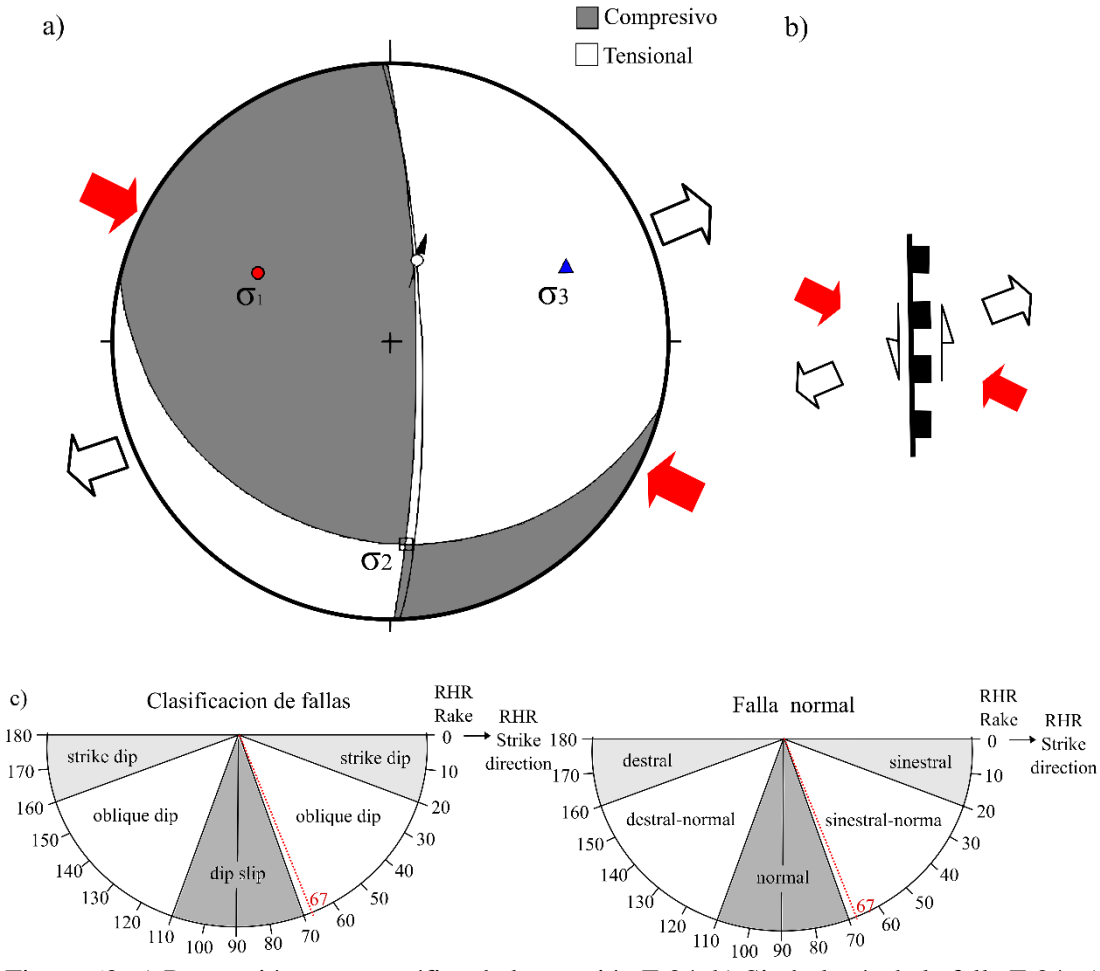


Figura 60. a) Proyección estereográfica de la estación F-24, b) Simbología de la falla F-24. c) Clasificación de fallas.

Tabla 70. Datos lineales de los sigmas de la estación F-24

EJE	<i>P. R</i>	TREND	PLUNGE	P. ANDERSON	REGIMEN	
σ_1	0.54	297°	45°	Vertical		
σ_2	0.34	175°	28°	Horizontal	Transformante	
σ_3	0.12	67°	32°	Horizontal		

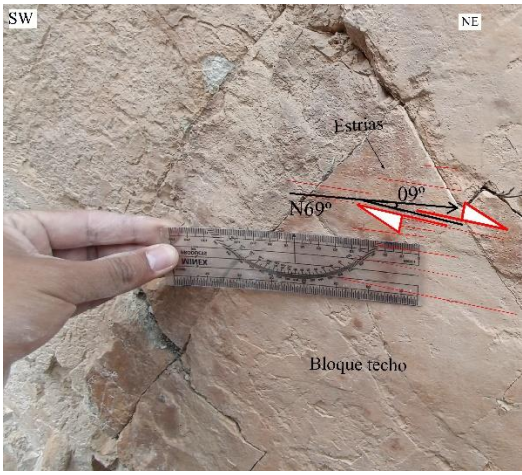
Localizada en la quebrada Tasilla, en el caserío Huambocancha Baja, en rocas de Formación Farrat. Se obtuvieron los siguientes datos: Azimut de N 69°, buzamiento 86° SE, rake 9°. Se clasifico como falla de deslizamiento de rumbo (strike slip) y según su nomenclatura es falla sinestral. Con esfuerzo mayor σ1, trend N24° y plunge 07°, esfuerzo intermedio σ2, trend N230° y plunge 82°, esfuerzo menor σ3, trend N114° y plunge 04°, producto de esfuerzo de compresión en la dirección NNE-SSW y un a distención de dirección WNW-ESE, actuando un régimen transformante.

Tabla 71. Datos estructurales de la estación F-25

Estación	Coordenadas UTM. Datum WGS84 Zona 17 S			Datos Estructurales			
	Norte	Este	Cota	Azimut	Buzamiento	Rake	Cinemática
F-25	9212350	772312	2961	N 69°	86°SE	9°	Sx



Fotografía 78. Vista panorámica de la falla F-25, E:773646, N:9212951, Cota: 2937 m.s.n.m



Fotografía 79. Indicadores cinemáticos de F-25, N: 9212350, E: 772312, Cota: 2961 m.s.n.m.

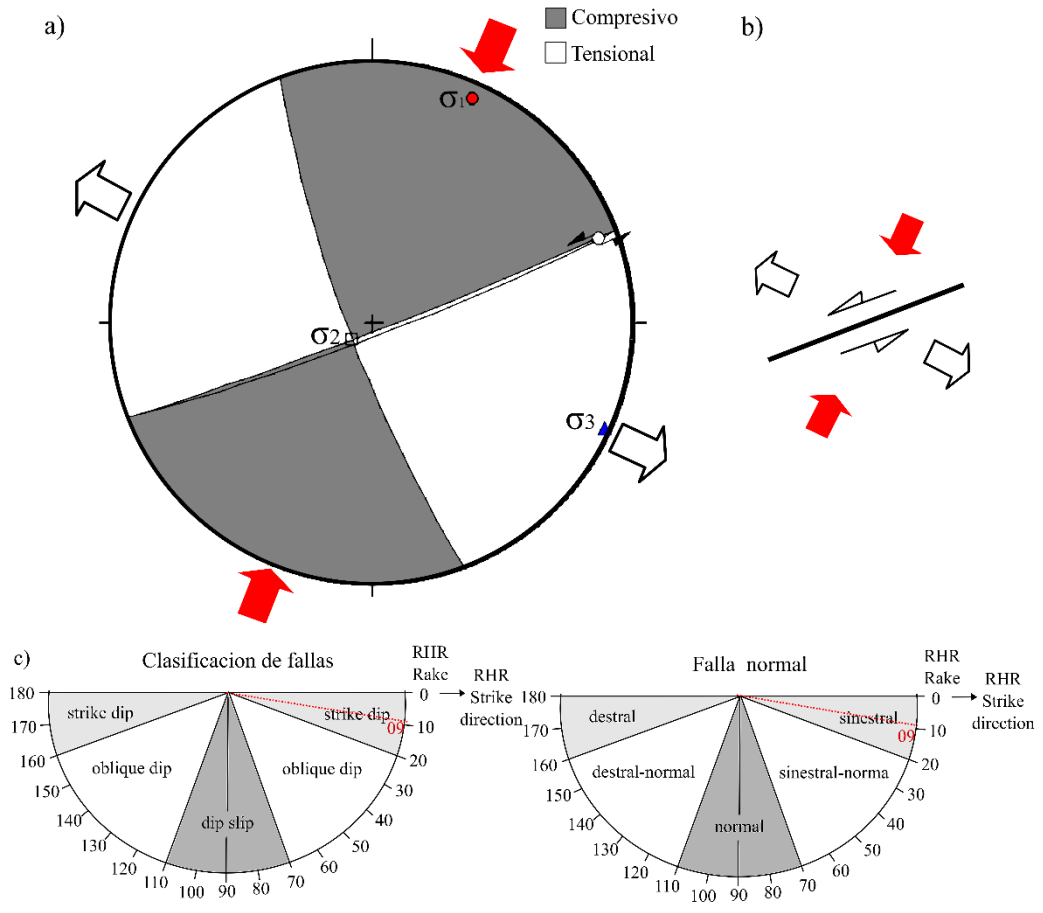


Figura 61. a) Proyección estereográfica de la estación F-25, b) Simbología de la falla F-25. c) Clasificación de fallas.

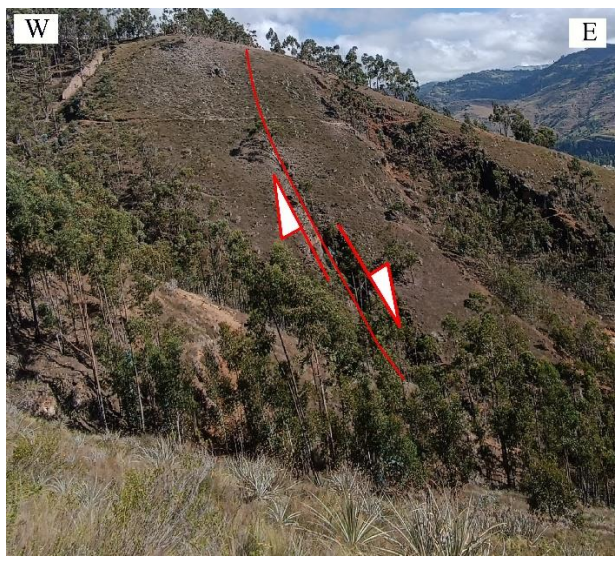
Tabla 72. Datos lineales de los sigmas de la estación F-25

EJE	<i>P. R</i>	TREND	PLUNGE P. ANDERSON		REGIMEN
σ_1	0.56	24°	07°	Horizontal	
σ_2	0.32	230°	82°	Vertical	Transformante
σ_3	0.12	114°	04°	Horizontal	

Situado en rocas areniscas de Formación Farrat y rocas arcillitas de la Formación Carhuaz. Los datos de la falla son: Azimut N 350°, buzamiento 71° NE, rake 119°. Se clasifico como falla de deslizamiento oblicuo (oblique dip) y según su nomenclatura es falla normal-dextral. Con esfuerzo mayor σ1, trend N220° y plunge 51°, esfuerzo intermedio σ2, trend N359° y plunge 31°, esfuerzo menor σ3, trend N102° y plunge 21°, producto de esfuerzo de compresión en la dirección NE-SW y una distención de dirección WNW-ESE, actuando un régimen transformante.

Tabla 73. Datos estructurales de la estación F-26

Estación	Coordenadas UTM. Datum WGS84 Zona 17 S			Datos Estructurales				
	Norte	Este	Cota	Azimut	Buzamiento	Rake	Cinemática	
F-26	9212348	772285	2966	N 350°	71° NE	119°	NxSx	



Fotografía 80. Vista panorámica de la falla F-26, N: 9212224, E: 772400, Cota:3034 m.s.n.m.



Fotografía 81. Indicadores cinemáticos F-26, N: 9212348, E: 772285, Cota: 2966 m.s.n.m.

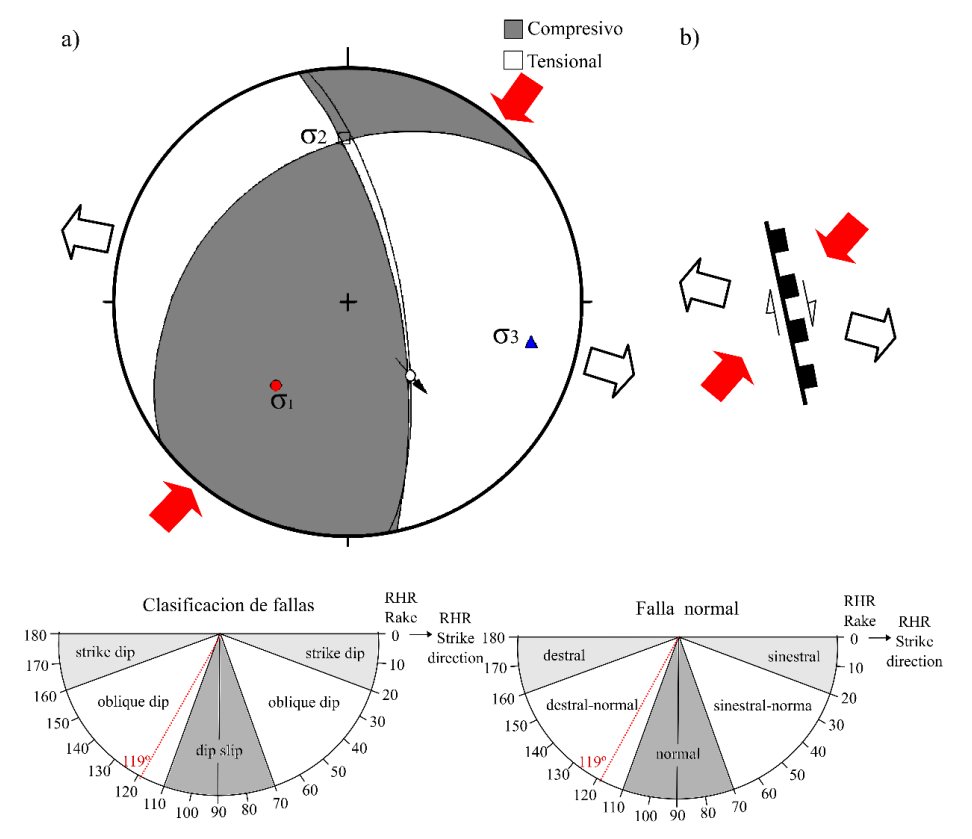


Figura 62. a) Proyección estereográfica de la estación F-26, b) Simbología de la falla F-26. c) Clasificación de fallas.

Tabla 74. Datos lineales de los sigmas de la estación F-26

EJE	<i>P. R</i>	TREND	PLUNGE	P. ANDERSON	REGIMEN
σ_1	0.54	220°	51°	Vertical	
σ_2	0.35	359°	31°	Horizontal	Transformante
σ_3	0.12	102°	21°	Horizontal	

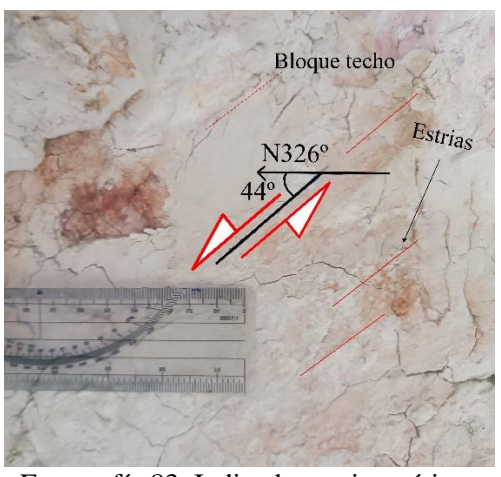
Ubicada en la margen derecha de la quebrada Tasilla, aflora rocas areniscas de Formación Farrat y arcillitas de la Formación Carhuaz. Se obtuvieron los siguientes datos: azimut de N 326°, buzamiento 38°NE, rake 44°. Se clasifica como falla de deslizamiento oblicuo (oblique dip) y según su nomenclatura es falla sinestral-normal. Con esfuerzo mayor σ 1, trend N318° y plunge 56°, esfuerzo intermedio σ 2 trend N106° y plunge 30°, esfuerzo menor σ 3, trend N2205° y plunge 15°, producto de esfuerzo de compresión en la dirección NW-SE y una distención de dirección NNE-SSW, actuando un régimen transformante.

Tabla 75. Datos estructurales de la estación F-27

Estación		adas UTN S84 Zona		Datos Estructurales			
	Norte	Este	Cota	Azimut	Buzamiento	Rake	Cinemática
F-27	9212349	772303	2964	N 326°	38°NE	44°	SxNx



Fotografía 82. Falla sinestral-normal F-27, N: 9212349, E: 772301, Cota: 2964 m.s.n.m.



Fotografía 83. Indicadores cinemáticos de F-27, N: 9212349, E: 772303, Cota: 2964 m.s.n.m

.

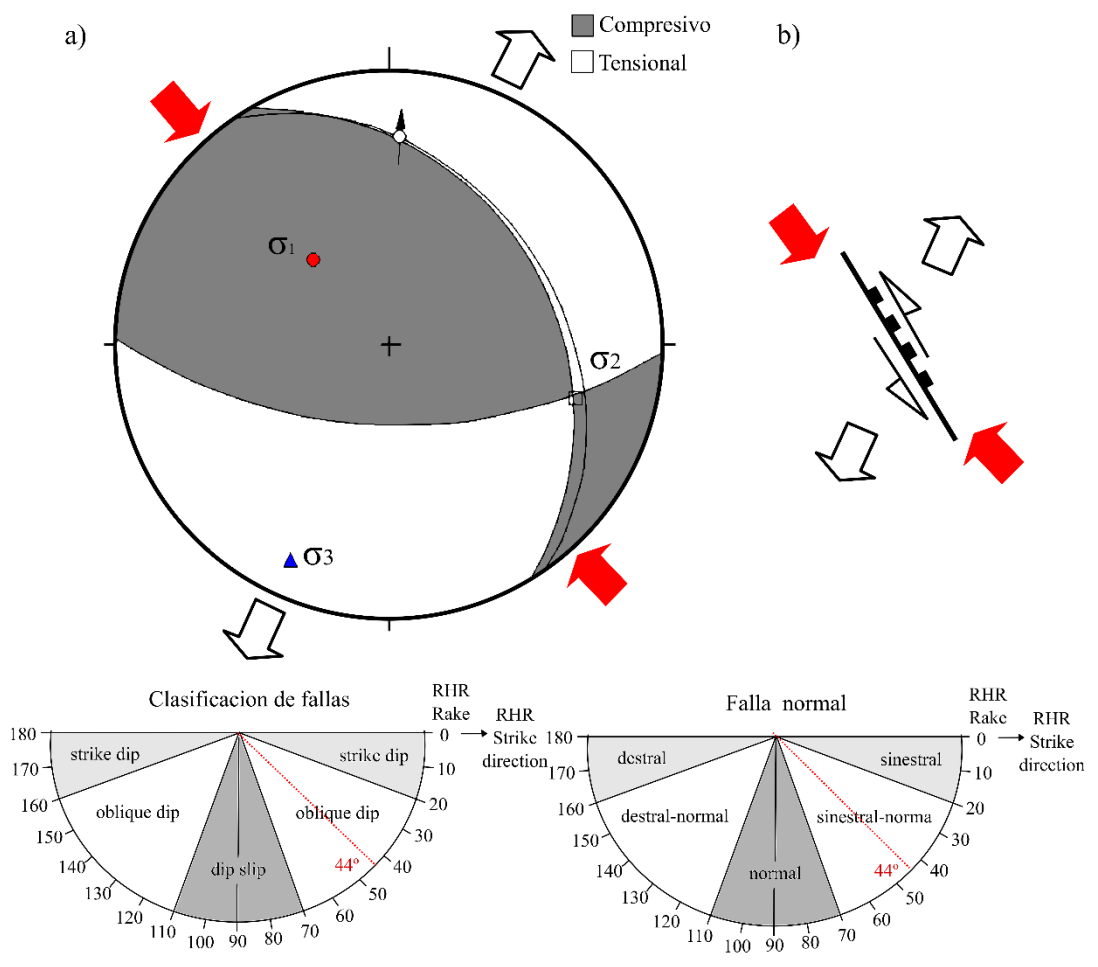


Figura 63. a) Proyección estereográfica de la estación F-27, b) Simbología de la falla F-27. c) Clasificación de fallas.

Tabla 76. Datos lineales de los sigmas de la estación F-27

EJE	<i>P. R</i>	TREND	PLUNGE	P. ANDERSON	REGIMEN
σ_1	0.54	318°	56°	Vertical	
σ_2	0.34	106°	30°	Horizontal	Transformante
σ_3	0.12	205°	15°	Horizontal	

Situada el cerro Shicuana, en rocas areniscas de Formación Farrat y arcillitas de la Formación Carhuaz y se proyecta hacia la quebrada sin nombre. Se tomaron siguentes datos: primero azimut de N 272°, buzamiento 56° NE, rake 106°, segundo azimut de N 272°, buzamiento 54° NE, rake 106°. Se clasifico como falla es de deslizamiento vertical (dip slip) y según su nomenclatura es falla normal. Con esfuerzo mayor σ1, trend N162° y plunge 72°, esfuerzo intermedio σ2, trend N278° y plunge 08°, esfuerzo menor σ3, trend N010° y plunge 16°, producto de una distención de dirección N-S, actuando un régimen Distensivo.

Tabla 77. Datos estructurales de la estación F-28

Estación	Estación	Coord Datum W	lenadas U 'GS84 Zor		Datos Estructurales			
		Norte	Este	Cota	Azimut	Buzamiento	Rake	Cinemática
					N 272°	56° NE	106°	Nx
	F-28	9212378	772473	2926	N 273°	54° NE	106°	Nx
					N 282°	74° NE	84°	Nx

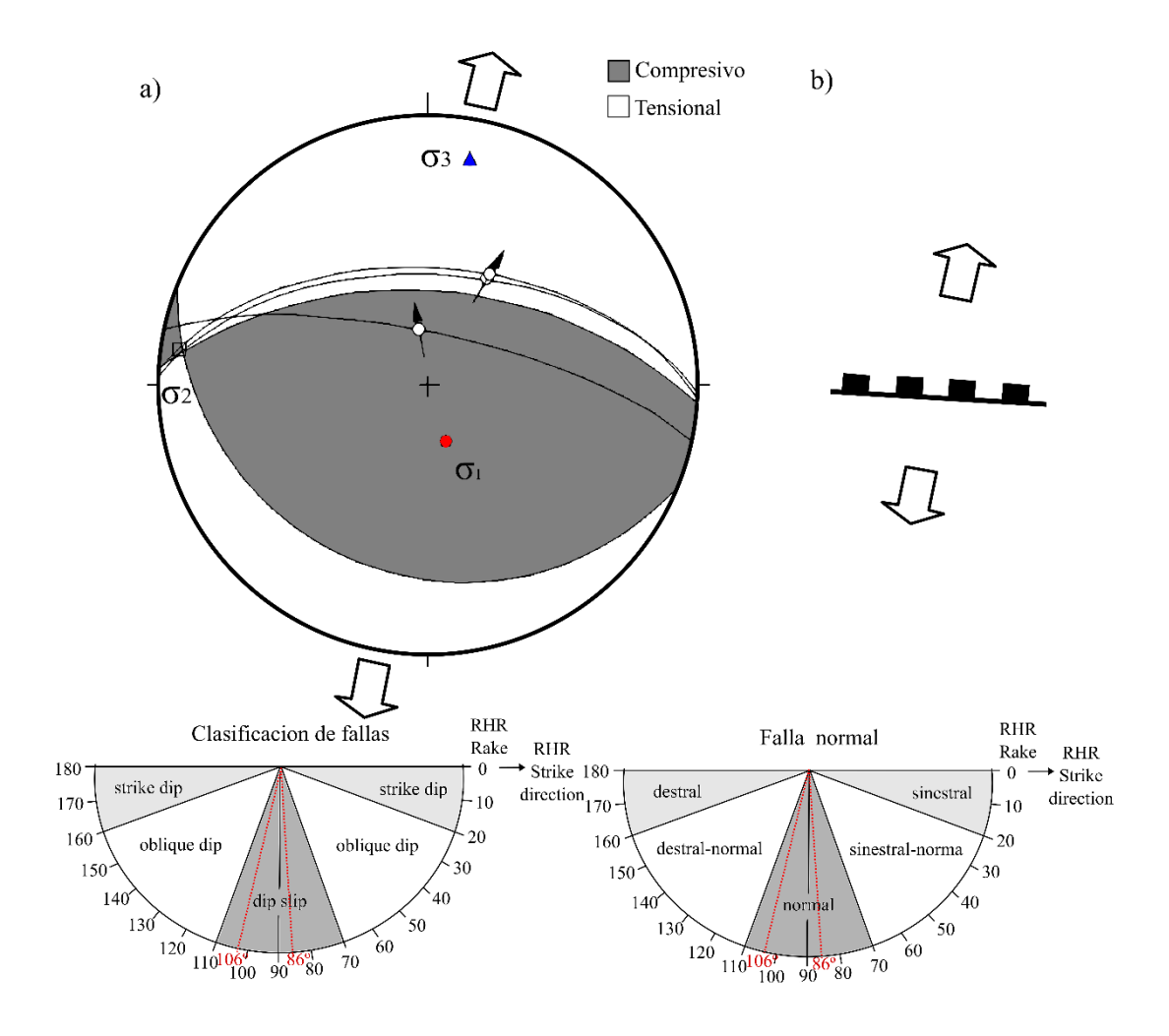
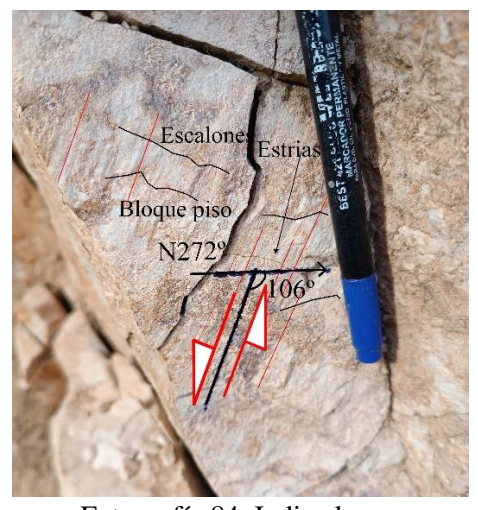


Figura 64. a) Proyección estereográfica de la estación F-28, b) Simbología de la falla F-28. c) Clasificación de fallas.



Fotografía 84. Indicadores cinemáticos de F-28 N: 9212378, E: 772473, Cota: 2926 m.s.n.m



Fotografía 85. Vista panorámica de la falla F-28, N:9212951, E:773646, Cota: 2937 m.s.n.m.

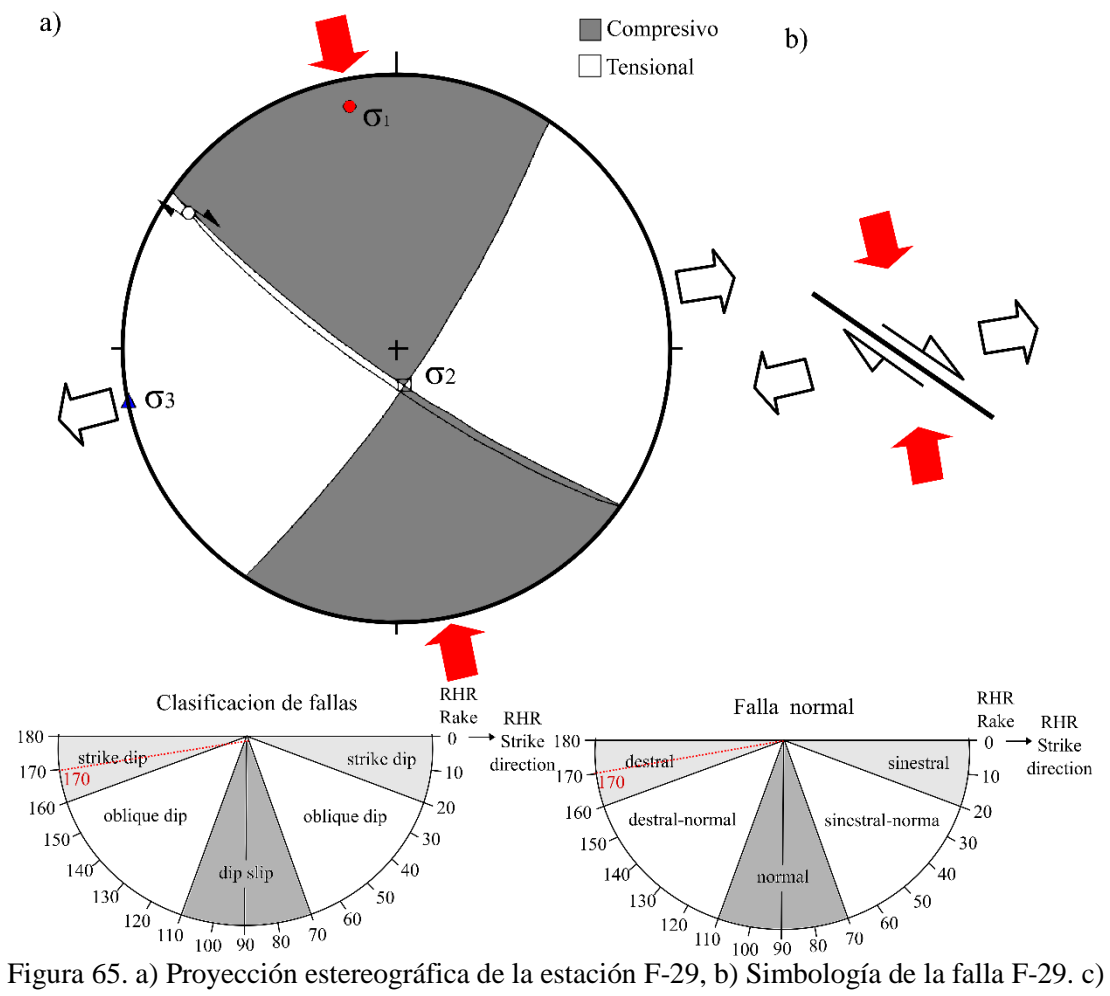
Tabla 78. Datos lineales de los sigmas de la estación F-28

EJE	<i>P. R</i>	TREND	PLUNGE	P. ANDERSON	REGIMEN
σ_1	0.53	162°	72°	Vertical	
σ_2	0.34	278°	08°	Horizontal	Distensivo
σ_3	0.13	010°	16°	Horizontal	

Situada en el cerro Shicuana caserío Huambocancha Baja, rocas arcillitas de la Formación Carhuaz y en areniscas de Formación Farrat. Se obtuvieron datos, azimut de N 125°, buzamiento 80°SW, rake 77°. Se clasifico como falla es de deslizamiento vertical (dip slip) y según su nomenclatura es falla inversa, por lo que estratigráficamente la Formación Carhuaz esta suprayaciendo a la Formación Farrat. Con esfuerzo mayor σ1, trend N202° y plunge 31°, esfuerzo intermedio σ2, trend N301° y plunge 13°, esfuerzo menor σ3, trend N050° y plunge 59°, producto de esfuerzo de compresión en la dirección NNE-SSW, actuando un régimen compresivo.

Tabla 79. Datos estructurales de la estación F-29

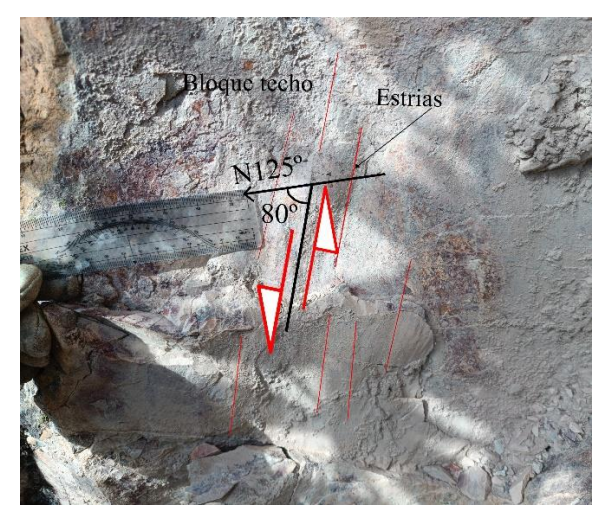
- 4									
	Estación	Coordenadas UTM. Datum WGS84 Zona 17 S			Datos Estructurales				
		Norte	Este	Cota	Azimut	Buzamiento	Rake	Cinemática	
	F-29	9212344	772155	3051	N 125°	80° SW	77°	Ix	



Clasificación de fallas.



Fotografía 86. Vista panorámica de la falla F-29 N: 9212232, E: 772318, Cota:3035 m.s.n.m



Fotografía 87. Indicadores cinemáticos de F-19 en Formación Carhuaz N: 9212344, E: 772155, Cota:3051 m.s.n.m.



Fotografía 88. Proyección de F-29 en la quebrada Rosamayopata N: 9211038, E: 772623, Cota:2979 m.s.n.m

Tabla 80. Datos lineales de los sigmas de la estación F-29

EJE	<i>P. R</i>	TREND	PLUNGE	P. ANDERSON	REGIMEN
σ_1	0.54	202°	31°	Horizontal	
σ_2	0.33	301°	13°	Horizontal	Compresivo
σ_3	0.13	050°	56°	Vertical	

Ubicada en caserío Huambocancha Baja, en rocas arcillitas de la Formación Carhuaz y rocas de Formación Farrat. Con azimut de N125°, buzamiento 80°SW, rake 170°. se le identificó la falla con cinemática dextral. Se clasifico como falla es de deslizamiento de rumbo (strike slip) y según su nomenclatura es falla dextral. Esfuerzo mayor σ1, trend N349° y plunge 11°, esfuerzo intermedio σ2, dirección trend N168° y plunge 79°, esfuerzo menor σ3, trend N259° y plunge 00°, por lo que genera es un esfuerzo de compresión en la dirección NNW-SSE y una distención de dirección WSW-ENE, actuando un régimen transformante.

Tabla 81. Datos estructurales de la estación F-30

Estación	Coordenadas UTM. Datum WGS84 Zona 17 S			Datos Estructurales			
	Norte	Este	Cota	Azimut	Buzamiento	Rake	Cinemática
F-30	9212372	772140	3056	N 125°	80° SW	170°	Dx

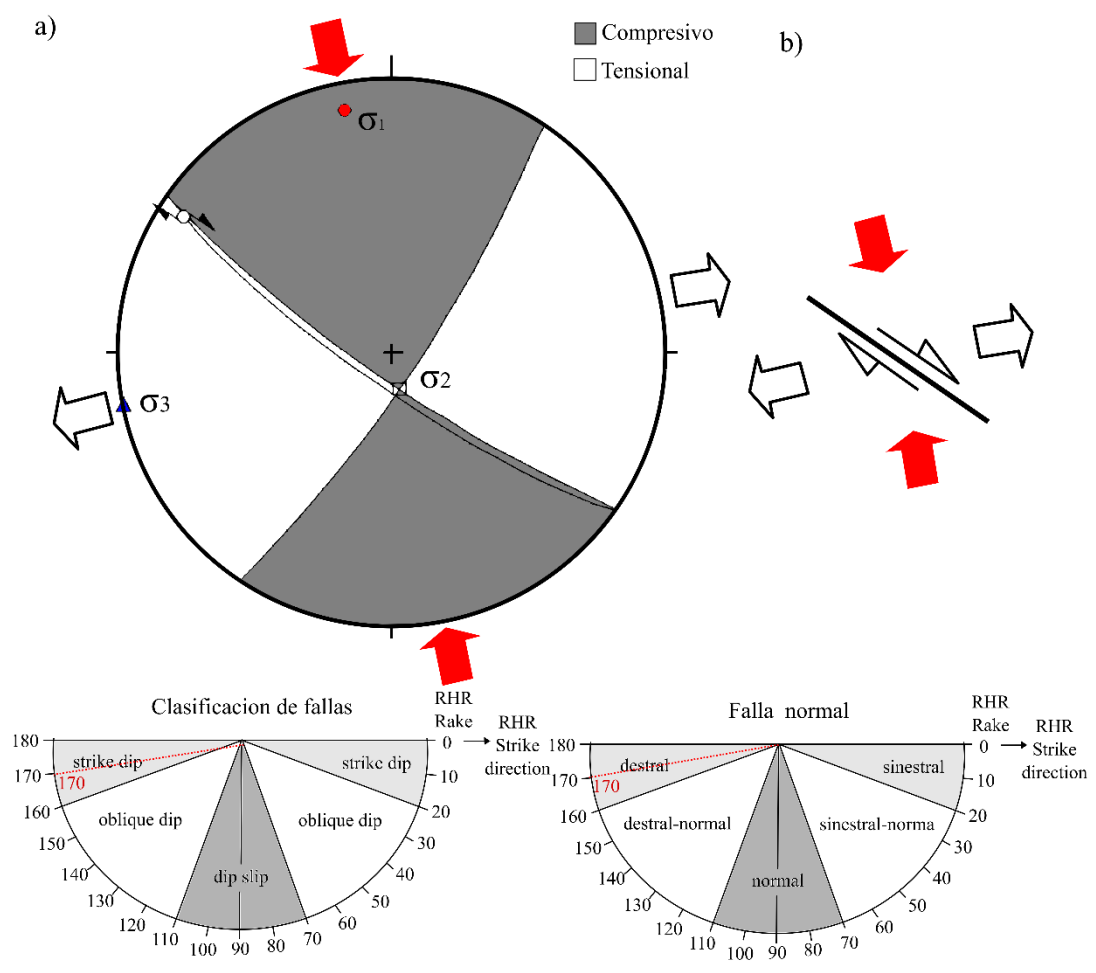
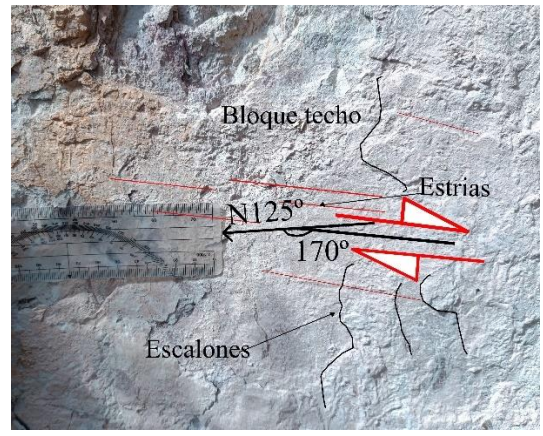


Figura 66. a) Proyección estereográfica de la estación F-30, b) Simbología de la falla F-30. c) Clasificación de fallas.



Fotografía 89. Falla dextral F-30, N: 9212232, E: 772318, Cota: 3035 m.s.n.m.



Fotografía 90. Indicadores cinemáticos F-30, N: 9212372, E: 772140, Cota:3056 m.s.n.m.

Tabla 82. Datos lineales de los sigmas de la estación F-30

EJE	<i>P. R</i>	TREND	PLUNGE	P. ANDERSON	REGIMEN
σ_1	0.55	349°	11°	Horizontal	
σ_2	0.32	168°	79°	Vertical	Transformante
σ_3	0.12	259°	00°	Horizontal	

3.4.3 Fracturas

El análisis estereográfico de fracturas, se llevó a cabo mediante la observación de 184 datos, medidas en campo de azimut y buzamiento de diaclasas. El procesamiento de la data se realízalo mediante el software Dips V7 y consiguiendo los sucesivos resultados:

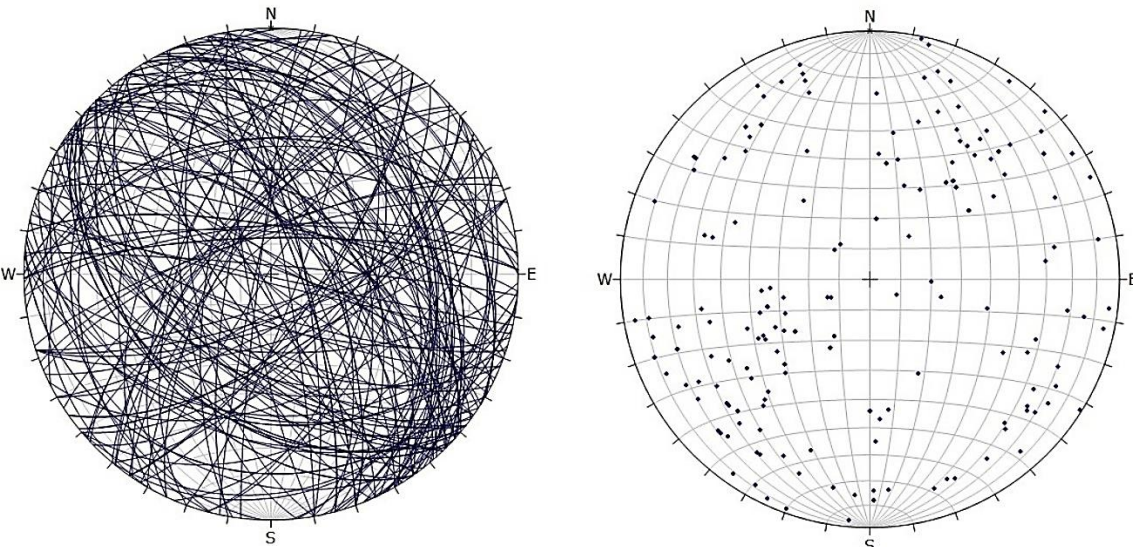


Figura 67. Planos de fracturas en proyección estereográfico.

Figura 68. Polos de fractura

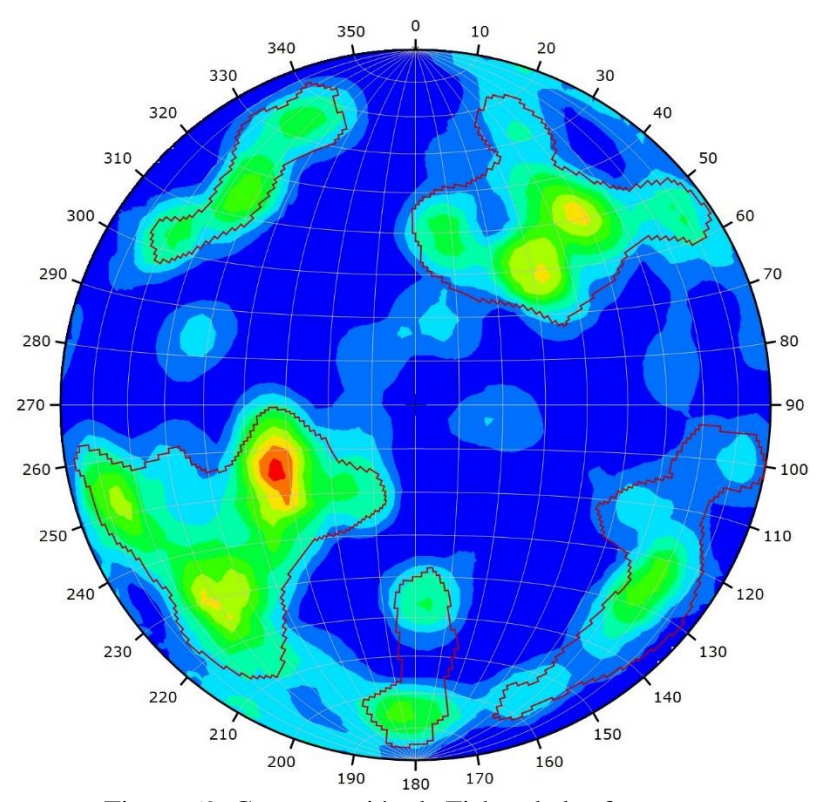


Figura 69. Concentración de Fisher de las fracturas.

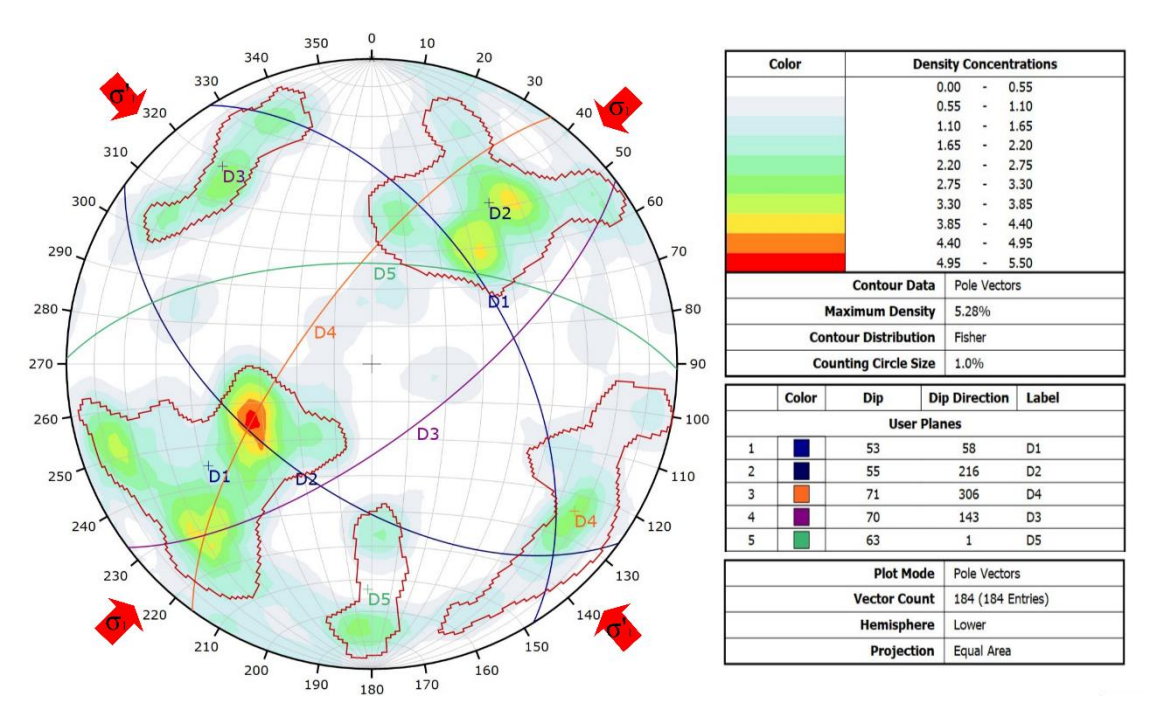


Figura 70. Diagrama de la concentración de Fisher con las principales familias de diaclasas

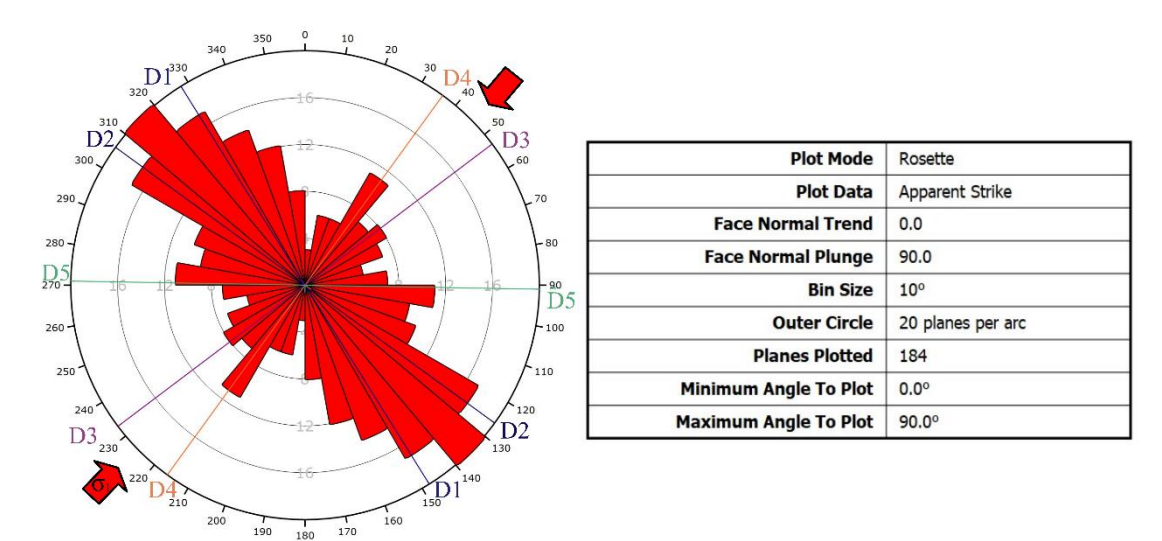


Figura 71. Diagrama de roseta

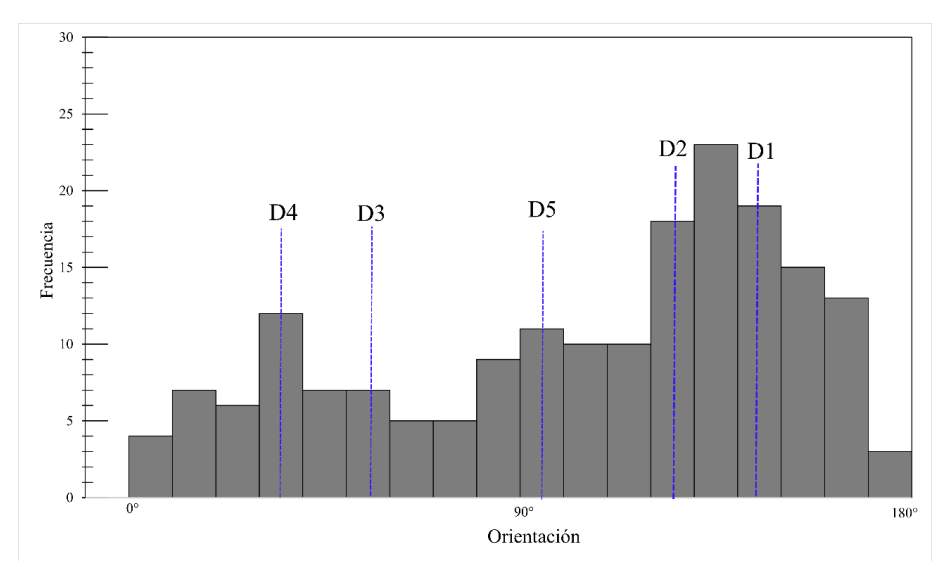


Gráfico 2. Histograma de planos, orientación vs frecuencia.

Atreves del análisis de los estereogramas, histogramas y grafico de rosetas se concluyó que existe un predomino de 5 conjuntos de fracturas. Las fracturas D3 y D4 son fracturas de cizalla conjugadas, son oblicuas al eje del pliegue y suelen formar entre ambos juegos un ángulo agudo, cuya bisectriz corresponde a la dirección NE- SW del máximo esfuerzo σ'1 generado por un régimen compresivo. Las fracturas D1 y D2 con dirección NW-SE, catalogadas como tipo ab, dispuestas paralelas al eje del pliegue y perpendiculares al plano de estratificación, en donde se observa apertura en dichas fracturas. Por ello esfuerzo máximo σ'1 se ubica perpendicular ala las fracturas D1 y D2 y producto de un régimen distensivo. La diaclasa D5 por su posición con respecto al juego E-W, pueden interpretarse como no conjugados.

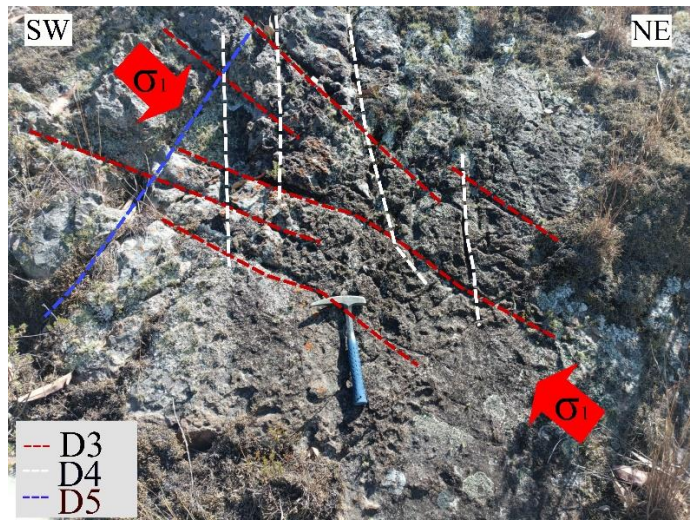


Figura 72. Principales fracturas de cizalla conjugada formados el flanco del NE de anticlinal de Huambocancha N: 9212687, E: 774222, Cota: 3070 m.s.n.m.

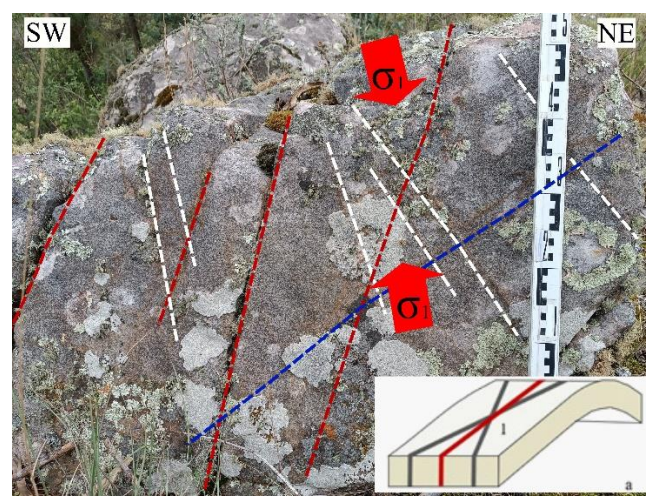


Figura 73. Fracturas en la Formación Farrat. N: 9213087, E: 773793, Cota: 3063 m.s.n.m.

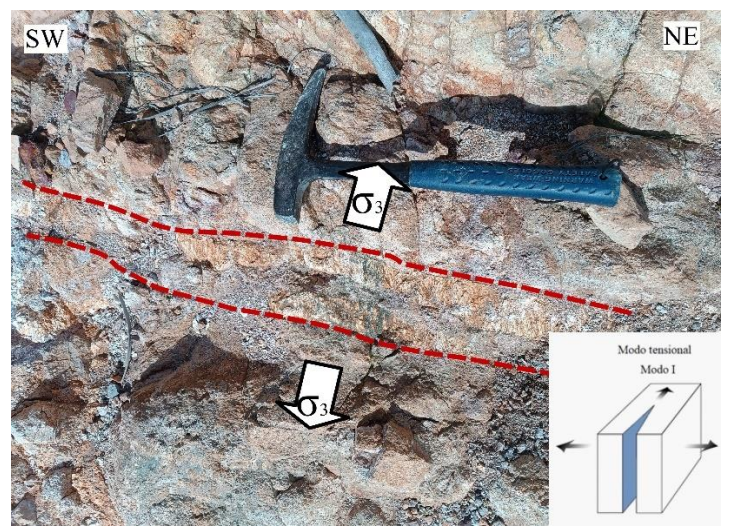


Figura 74. Fracturas de extensión en la Formación Carhuaz con relleno mineral N: 9212687, E: 774222, Cota: 3070 m.s.n.m



Figura 75. Fracturas en la rocas subvolcánicas, N: 9212590, E: 772406, Cota: 2918 m.s.n.m.

CAPÍTULO IV ANALISIS Y DISCUSION DE RESULTADOS

4.1 Análisis Cinemático

4.1.1 Análisis de pliegues

En la zona de investigación se identificó una variación de pliegues entre anticlinales y sinclinal, La clasificación: según el buzamiento del plano axial, en donde P1 y P2 son pliegues recto verticales y P3 es un pliegue fuertemente inclinado. Por su inmersión línea de chanela del pliegue, P1 es Pliegue no buzante, P2 y P3 son pliegue buzando suavemente. Además de sus medidas de ángulo Inter flanco en los cuales P1 y P3 son pliegues abiertos y P2 es pliegue cerrado. Dichos pliegues se catalogan como cilíndricos debido a la distribución de polos que presentan. La dirección de los ejes axiales va de NW-SE, lo que evidencia que la deformación fue generada por un evento compresión de dirección de NE-SW, la que se ajusta con la deformación andina.

4.1.2 Análisis de fallas

El centro poblado de Huambocancha baja, se encuentra dominada por fallas de orientación NW-SE (orientación típica Andina), fallas de dirección NE-SW, E-O, este sistema obedece a un complejo de compatibilidad geométrica cuyos regímenes de esfuerzos son compresivos de rumbo, y fallas dirección WNW-ESE las cuales están asociadas un régimen distensivo.

Se evaluó a 30 estaciones, de los cuales se obtuvo los datos esfuerzos máximo minino y medio de cada estación, acompañado del régimen dominante de acuerdo a la clasificación de Anderson, (1951). Se realizó la compatibilidad geométrica por medio del círculo de Mohr muestra una reacción de fallas preexistentes, formadas inicialmente con el ciclo andino.

Tabla 83. Resumen de estación, esfuerzos y régimen

				Cottacion	, csiucizos y	Teginien		
Estación	Norte	Este	Cota	σ_{I}	σ_2	σ_3	Régimen	
F-01	9213809	773843	2867	40	306	208	Compresivo	
F-02	9213785	773875	2873	1	112	251	Transformante	
F-03	9213754	773927	2885	197	306	47	Distiensivo	
F-04	9213729	773552	2820	84	325	179	Transformante	
F-05	9213605	773512	2844	149	244	336	Distensivo	
F-06	9213489	773350	2818	305	109	200	Distensivo	
F-07	9213546	773465	2830	285	115	25	Distensivo	
F-08	9212684	773736	2885	160	303	69	Transformante	
F-09	9212255	774551	2894	140	237	46	Transformante	
F-10	9212088	774355	2878	46	137	228	Distensivo	
F-11	9211577	773899	2768	229	135	42	Distensivo	
F-12	9211838	775143	2765	208	90	303	Transformante	
F-13	9211439	775606	2769	144	242	47	Transformante	
F-14	9212814	773362	2806	45	239	140	Transformante	
F-15	9213130	772117	2867	342	230	84	Transformante	
F-16	9212662	772454	2869	92	272	2	Distensivo	
F-17	9211370	773151	2949	155	334	65	Transformante	
F-18	9211478	773257	2893	227	319	134	Transformante	
F-19	9211113	773350	2882	231	80	348	Transformante	
F-20	9211115	773364	2768	220	72	316	Transformante	
F-21	9211803	772780	2924	128	308	218	Transformante	
F-22	9211807	772776	2929	9	244	117	Transformante	
F-23	9211847	772731	2952	334	142	233	Transformante	
F-24	9212415	772345	2964	297	175	67	Transformante	
F-25	9212350	772312	2961	24	230	114	Transformante	
F-26	9212348	772285	2966	220	359	102	Transformante	
F-27	9212349	772303	2964	318	106	205	Transformante	
F-28	9212378	772473	2926	162	278	10	Distensivo	
F-29	9212344	772155	3051	202	301	50	Compresivo	
F-30	9212372	772140	3056	349	168	259	Transformante	

4.1.3 Análisis de fracturas

Las fracturas dispuestas en áreas, fueron dada: producto de la compresión NE- SW que dio lugar a deformación de los pliegues, los que a su vez dan como resulte por dos familias diaclasa D3 y D4, conjugadas entre si. Twis y Moores 2007, las cataloga como fractura ab. en donde el plano de fractura que contiene (a) es paralelo al buzamiento en la estratificación y b (paralelo al rumbo del estrato) y según la clasificaron de (Ruiz, 2017). se etiquetan como fracturas: hk0 con ángulo agudo al eje a. Además, se las fracturas D1 y D2 se encasillas dentro del Modo I, las cuales son fracturas de tensión, abren muy levemente en la dirección perpendicular a la superficie de la fractura, las cuales se evidencia por el relleno mineralizado dispuesto en dichas fracturas, así mismo se forman paralelos al plano principal de tensión que es perpendicular a la dirección σ_3 . (Van der Pluijm y Marshak. 2004). Por ultimo se identifico una familia D5 la cual afectado a rocas andesiticas y tobas.

4.2 Evolución de Deformación

El área de investigación muestra diversas características estructurales, evidenciado en diferente evento tectónicos, las cuales han configurado la geomorfología actual. Y estas se describen a continuación.

4.2.1 Primer evento: Esfuerzo de compresión NE-SW

Este esfuerzo fue determinado a partir de las estructuras de pliegues P-01, P-02, P03 y fracturas D3 y D4. Las cuales muestran un esfuerzo compresivo (σ_1) con dirección NE-SW. El cual posterior a la deposición, deforma el prisma sedimentario (Reyes, 1980). La compresión se acentúa en el Paleoceno y guarda relación con la fase tectónica Inca I Benavides (1999)., que es caracterizada por un intenso plegamiento con dirección NW – SE en las rocas del Cretácicas, (Benavides, 1999)

Tabla 84. Resumen de datos estructurales del primer evento.

Estación	Flanco	Datos Estru	ecturales
Estacion	rianco	Azimut	Buzamiento
D 01	Noreste	N 324°	42°
P-01	Suroeste	N 129°	41°
P-02	Noreste	N 309°	72°
P-02	Suroeste	N 114°	62°
P-03	Noreste	N 118°	42°
P-03	Suroeste	N 316°	67°
D3	-	N 53°	71°
D4	-	N 216°	70°

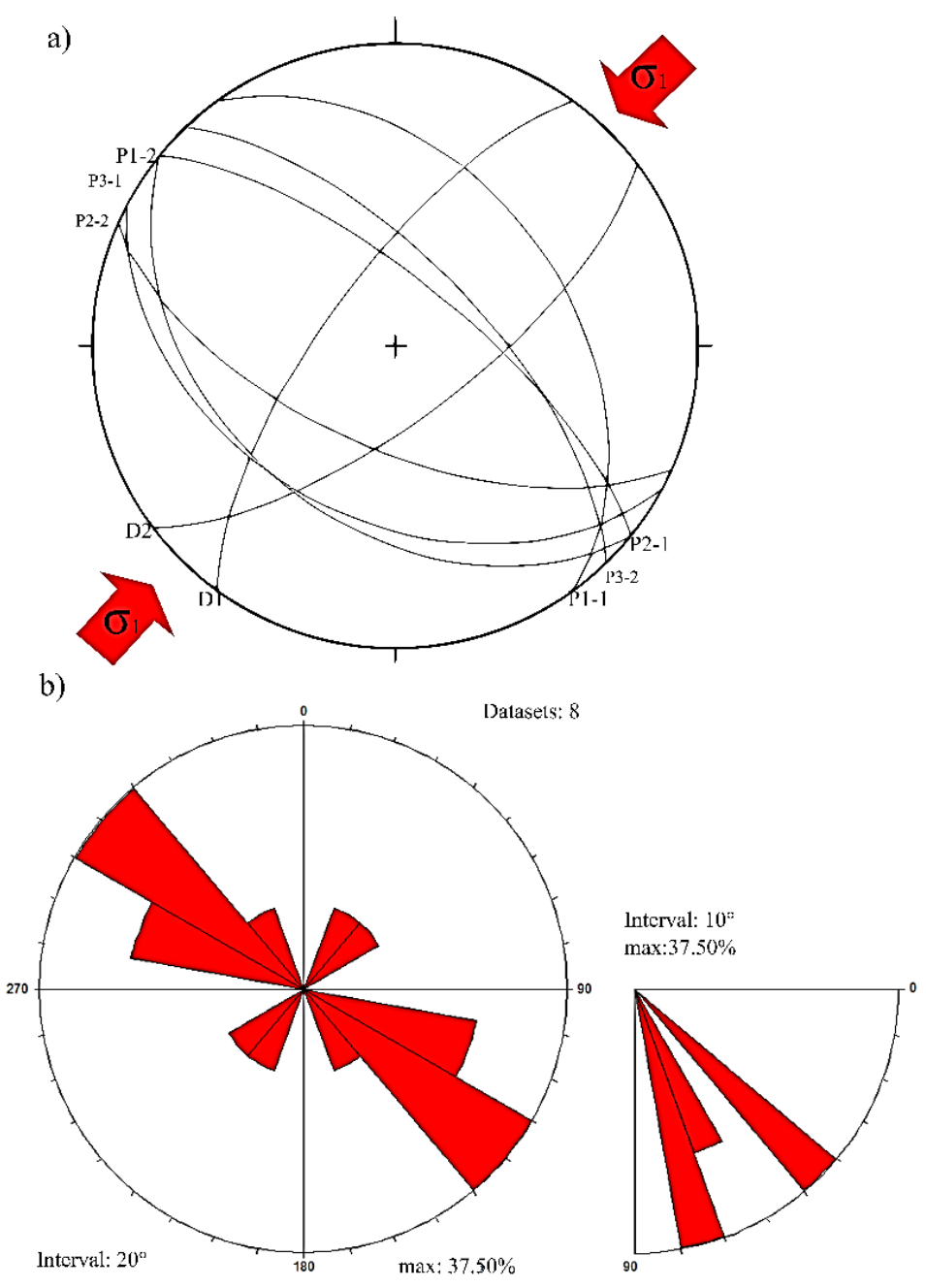


Figura 76. a). Asociación de estaciones P-01, P-02, P-03, D3y D4 acompañada de dirección máxima de compresión (σ₁). b) Diagrama de rosetas, con orientación predominante NW- SE (máximo 37%) y otra tendencia NE- SW.

4.2.2 Segundo evento: Esfuerzo de compresión NE-SW

Este evento engloba a las estaciones F-01, F-12, F-14, F-18, F-20, F-22, F-25 y F-29, las cuales indican esfuerzo compresivo (σ_1) de dirección NE-SW. Por medio del Circulo de Mohr resalta las fallas de dirección NW-SE, como fallas neoformadas y correspondiente

a las fallas inversas regiones: Tres molinos FTM mencionada por Lagos, et al (2012), y la falla denomina Vizcachas. La presencia de las dichas fallas da registro de acortamiento de los andes y un periodo de fuerte velocidad de convergencia en el Eocene inferior y medio, es decir correspondería a una subducción plana según Carloto y Cardenas (2006). Por tal razón se correlaciona con Fase tectónica Inca II descrita por Benavides (1999). Dichas fallas son parte del fallamiento en bloques estudiado por Bazan y Lagos (2018), en el cual menciona que existe un desacople cortical a nivel de las lutitas de la Formación Chicama, la zona es parte para el bloque Yanacocha limitado por la Falla tres molinos que es la proyección de la Falla Cajamarca y La Transformante Hualgayoc. Además, existe dos predominios de estructuras: uno de estructuras N-S se clasifico como son fallas de tipo R, y otras estructuras ENE-WSW, de tipo R₁ según el modelo de Riedel.

Tabla 85. Resumen de datos estructurales del segundo evento.

N°	Azimut	Buzamiento	Rake	Cinematica	Estación
1	N 304°	82°	95°	Ix	F-01
2	N 344°	64°	5°	Dx	F-12
3	N 191°	57°	152°	Dx	F-14
4	N 171°	62°	38°	DxIx	F-18
5	N 1°	60°	168°	Dx	F-20
6	N 62°	87°	48°	SxNx	F-22
7	N 69°	86°	9°	Sx	F-25
8	N 125°	80°	77°	Ix	F-29

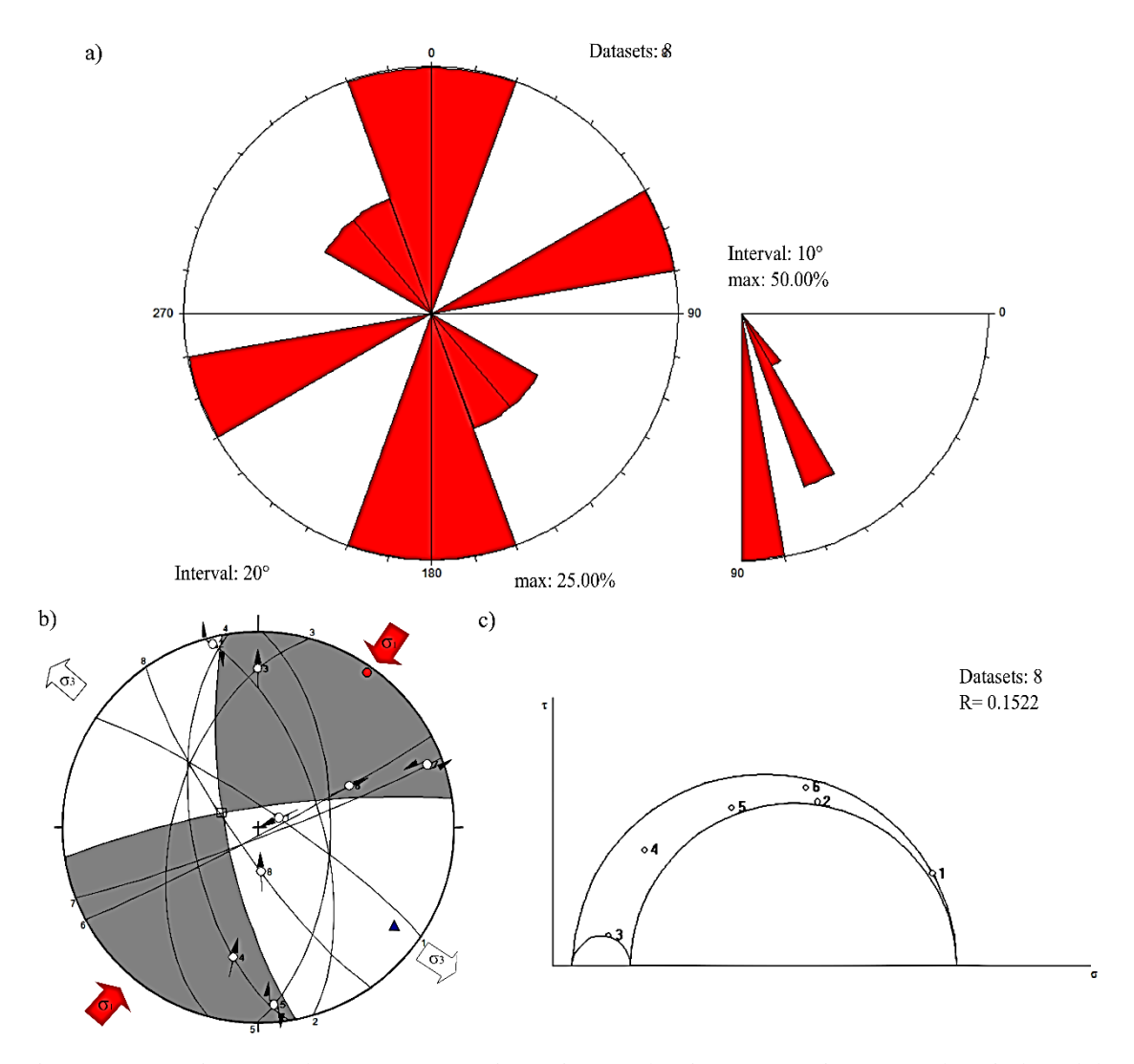


Figura 77. a). Diagrama de rosetas, con orientación predominante (máximo 50%) b) Diedros del segundo evento acompañada de dirección máxima de compresión (σ_1) . c) Diagrama de círculo de Mohr

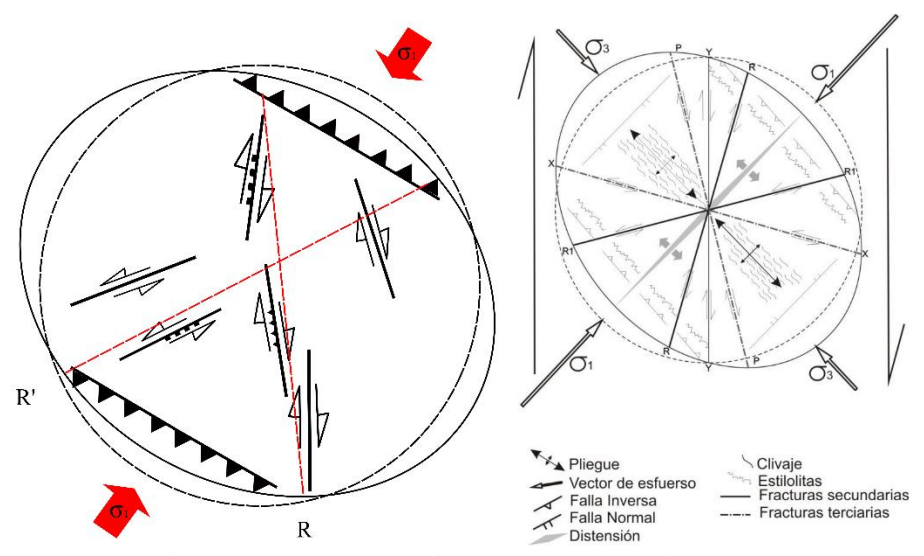


Figura 78. Modelo de Riedel para el segundo evento

Tabla 86. Datos de esfuerzo del segundo evento.

EJE	<i>P. R</i>	DIRECCIÓN	CABECEO	P. ANDERSON	REGIMEN
σ_1	0.49	035°	04°	Horizontal	
σ_2	0.31	292°	74°	Vertical	Transformante
σ_3	0.20	126°	16°	Horizontal	

4.2.3 Tercer evento: Esfuerzo de transtensión NE-SW

Este evento está conformado por a las estaciones F-02, F-08, F-09, F-13, F-09, F-15, F-17, F-21, F-24, F-27 y F-30. Las que muestra un esfuerzo compresivo (σ₁) de dirección NW-SE, y distintivo NE-SW. Las estructuras preexistentes del segundo evento han sido reactivadas. Lagos, et al (2009) cataloga que la Falla Tres Molinos que se reactivó en el Paleógeno como falla direccional y forman parte de la estructura dilatacional. Las que dieron cabida para magamatismo en la zona. Dicho evento se vincula a la Fase Tecnonica Inca IV, Benavides, (1999). Según Bazán, (2018) manifiesta que esta fase se caractertiza por un compresion con componente cizalllante, lo que ratifica lo mencionado. Asimismo se identifico la neoformación de fallas (fallas ploteadas dentro del círculo de Mohr) producto del tercer evento. El diagrama de rosetas muestras una orientación predominante NNE- SSW (máximo 40%). Otra tendencia NE- SW de menor importancia conjugada, otra de dirección E- W.

Tabla 87. Resumen de datos estructurales del tercer evento.

N°	Azimut	Buz,	Rake	Cinematica	Estación
1	N 304°	82°	42°	DxIx	F-02
2	N 205°	77°	2°	Sx	F-08
3	N 207°	85°	2°	Sx	F-08
4	N 206°	86°	3°	Sx	F-08
5	N 199°	75°	2°	Sx	F-08
6	N 190°	60°	157°	Sx	F-09
7	N 195°	54°	155°	SxIx	F-13
8	N 216°	87°	139°	SxIx	F-15
9	N 214°	75°	138°	SxIx	F-15
10	N 295°	68°	155°	DxNx	F-17
11	N 276°	65°	145°	Dx	F-21
12	N 270°	54°	140°	Dx	F-21
13	N 358°	81°	67°	NxSx	F-24
14	N 326°	38°	44°	SxNx	F-27
15	N 125°	80°	170°	Dx	F-30

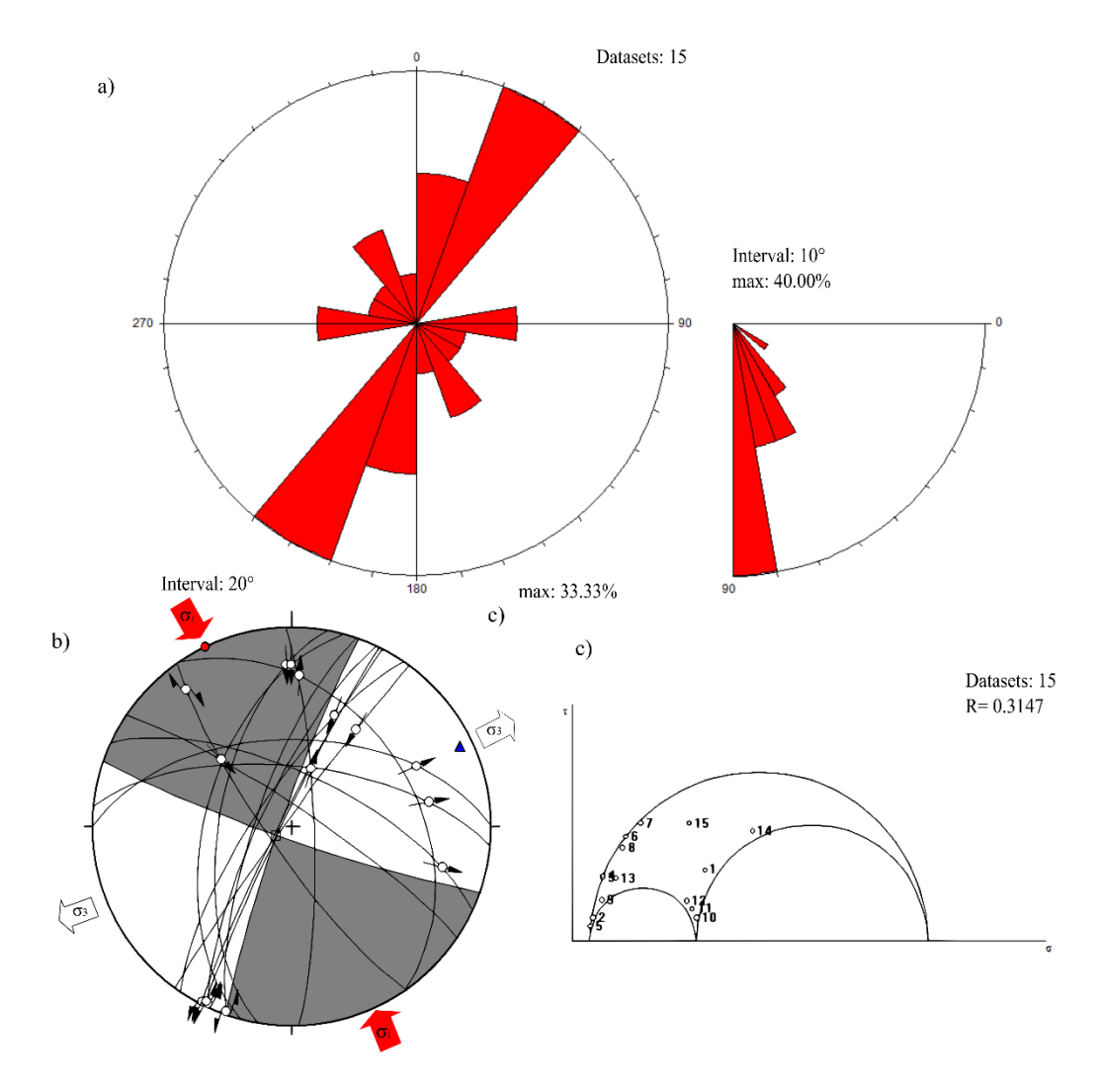


Figura 79. a). Diagrama de rosetas, con orientación predominante (máximo 40%) b) Diedros del tercer evento acompañada de dirección máxima de compresión (σ_1) . c) Diagrama de círculo de Mohr

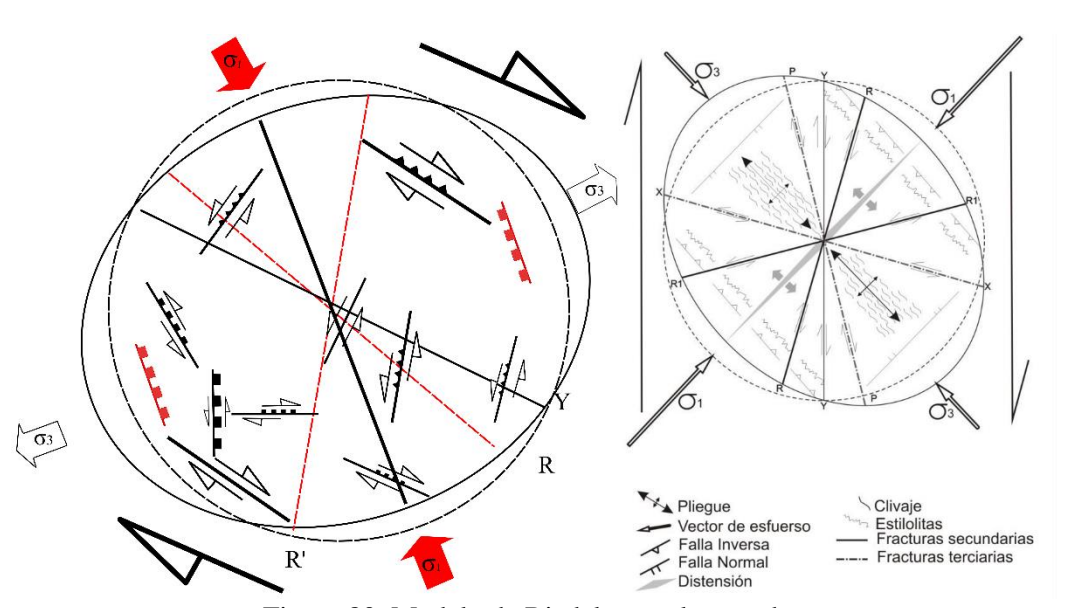


Figura 80. Modelo de Riedel para el segundo evento

Tabla 88. Datos de esfuerzo del tercer evento.

EJE	<i>P. R</i>	DIRECCIÓN	CABECEO	P. ANDERSON	REGIMEN
σ_1	0.48	334°	00°	Horizontal	
σ_2	0.33	241°	84°	Vertical	Transformante
σ_3	0.19	064°	07°	Horizontal	

4.2.4 Cuarto evento: Esfuerzo de distensivo N-S

Las estaciones F-04, F-05, F-16, F-19 y F-28, son la que conforman el cuarto evento en su mayoría son fallas normales, muestra una distensión N-S. Requelme (2021), registra un evento similar de fallamiento normal en la que se exhiben un componte dextral, El diagrama en rosetas, muestra una orientación predominante WSW- ENE (máximo 28.57%). La distribución de las fallas en el círculo de Mohr muestra una dispersión de los puntos mostrando fallas reactivadas de las etapas previas. Asimismo, este dejo como resultado un Horts paralelo a la dirección la extensión N-S generando control estructural para la depositacion de la secuencia volcánica Tual-Puruay. Además, que se produjo una erosión que antecede la deposición de las tobas de la Secuencia Volcánica San José (Volcánico Huambos) Navarro, (2012) reporta una edad Ar-Ar de 11.45 ± 0.12 Ma. Por lo que el evento se correlaciona con la fase tectónica Quechua I (Benavides, 1999).

Tabla 89. Resumen de datos estructurales del cuarto evento.

N°	Azimut	Buzamiento	Rake	Cinematica	Estación
1	N 220°	64°	5°	Dx	F-04
2	N 243°	74°	93°	Nx	F-05
3	N 257°	47°	110°	Nx	F-16
4	N 60°	39°	115°	NxDx	F-19
5	N 272°	56°	106°	Nx	F-28
6	N 273°	54°	106°	Nx	F-28
7	N 282°	74°	84°	Nx	F-28

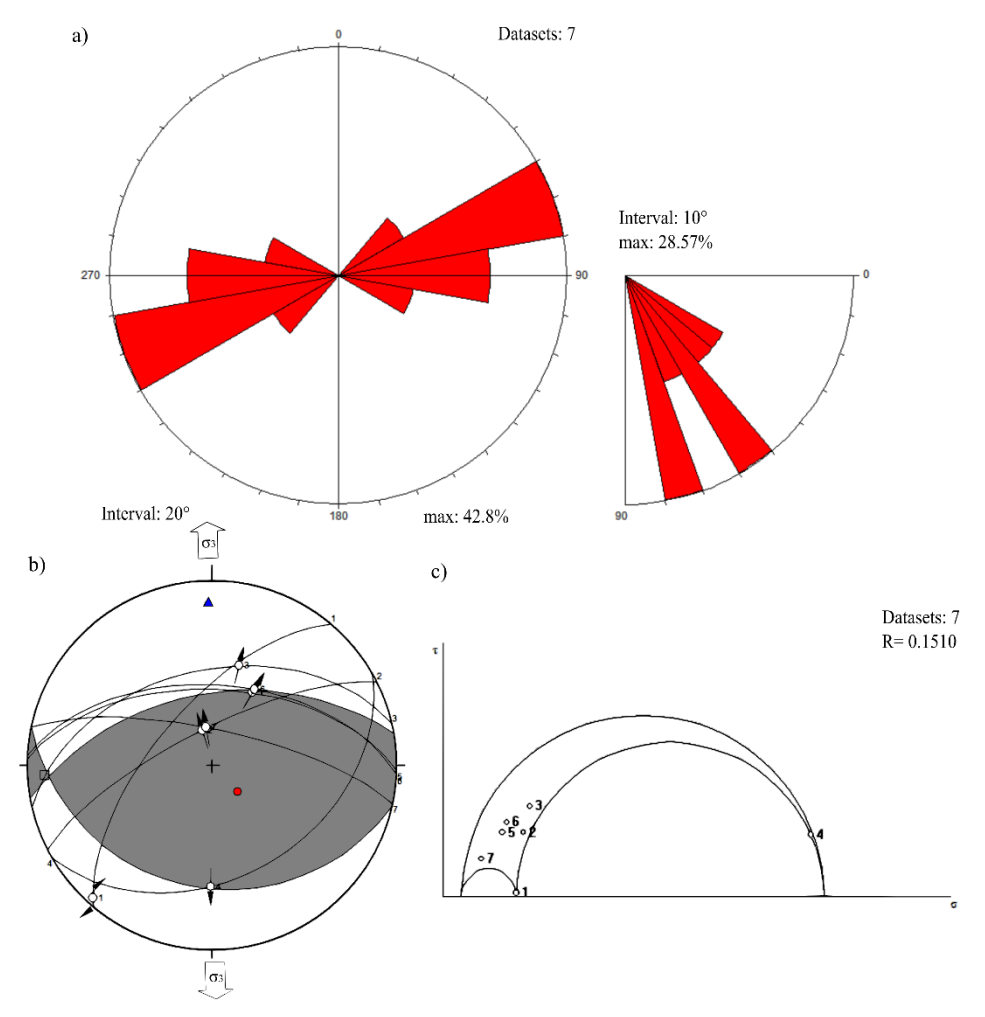


Figura 81. a). Diagrama de rosetas, con orientación predominante (máximo 28.57%) b) Diedros del cuarto evento acompañada de dirección de extensión (σ_3). c) Diagrama de círculo de Mohr

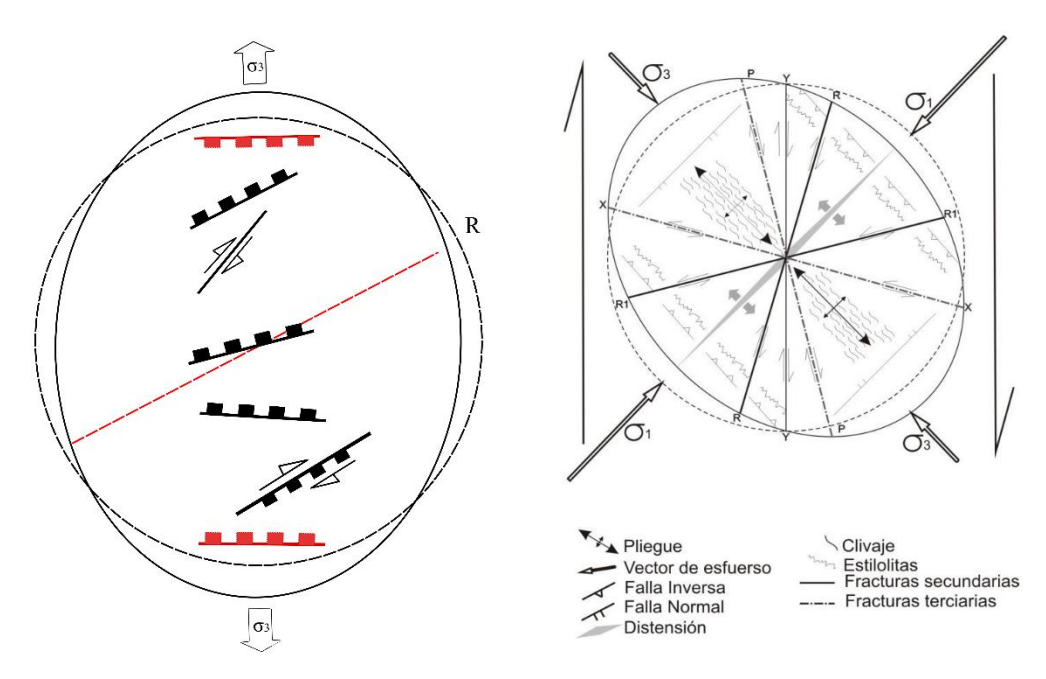


Figura 82. Modelo de Riedel para el cuarto evento

Tabla 90. Datos de esfuerzo del cuarto evento.

EJE	<i>P. R</i>	DIRECCIÓN	CABECEO	P. ANDERSON	REGIMEN
σ_1	0.49	137°	74°	Vertical	
σ_2	0.36	266°	10°	Horizontal	Distensivo
σ_3	0.15	359°	12°	Horizontal	

4.2.5 Quinto evento: Esfuerzo de distensivo NE-SW

Este evento está establecido por a las estaciones F-03, F-06, F-07, F-10, F-11, F-23, F-26. Las que muestra un esfuerzo distintivo (σ_3) con orientación NE-SW. y asimismo se observó que son fallas reactivadas (fallas ploteadas dentro del círculo de Mohr) producto de evento anteriores. El diagrama de rosetas muestras una orientación predominante NW-SE (máximo 50%). Otra tendencia menor ENE- WSW. Las fallas normales de dicho evento, actuaron como graben, erosionando la charnela del pliegue de Huambocancha, y siendo parte de la cuenca intramotañosa de Cajamarca (sector norte). La cual se formó aproximadamente a los 7.2 Ma en la Fase Tectonica Quechua II (Benavides, 1999). Por lo argumentados anteriormente este evento se correlaciona dicha fase.

Tabla 91. Resumen de datos estructurales del Quinto evento.

N°	Azimut	Buzamiento	Rake	Cx	Estación
1	N 304°	82°	102°	Nx	F-03
2	N 303°	43°	72°	Nx	F-06
3	N 105°	43°	104°	Nx	F-07
4	N 137°	86°	92°	Nx	F-10
5	N 315°	87°	88°	Nx	F-11
6	N 320°	40°	68°	Nx	F-23
7	N 337°	44°	70°	Nx	F-23
8	N 350°	71°	119°	NxSx	F-26

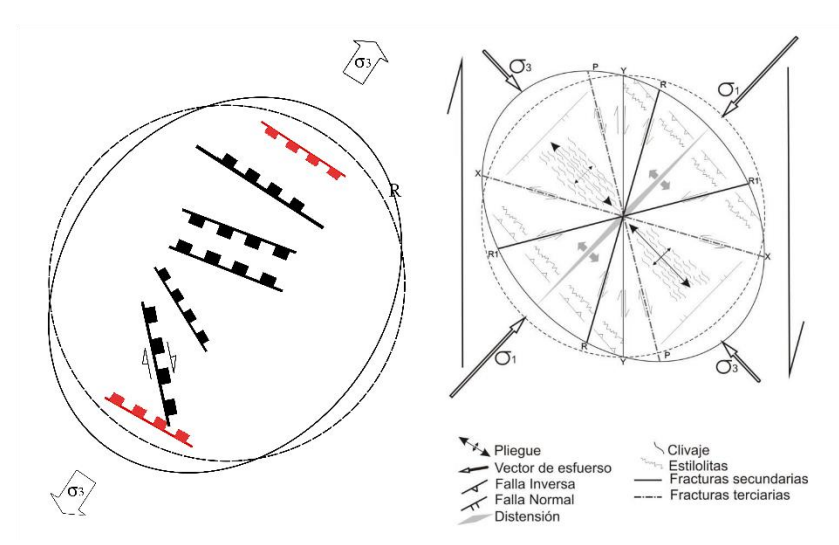


Figura 83. Modelo de Riedel para el quinto evento

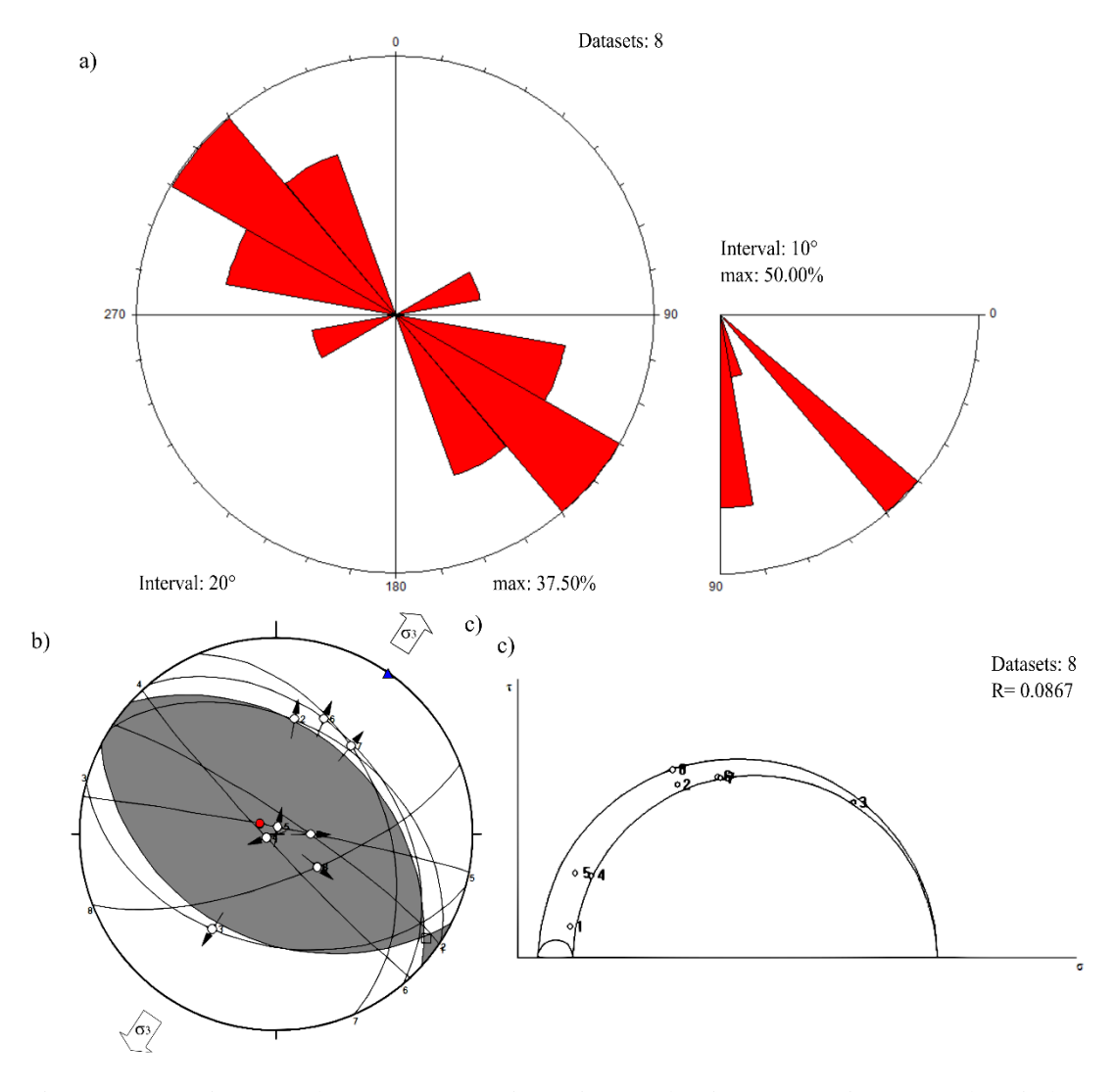


Figura 84. a). Diagrama de rosetas, con orientación predominante (máximo 50%) b) Diedros del quinto evento acompañada de dirección de extensión (σ_3). c) Diagrama de círculo de Mohr

Tabla 92. Datos de esfuerzo del quinto evento.

EJE	<i>P. R</i>	DIRECCIÓN	CABECEO	P. ANDERSON	REGIMEN
σI	0.46	303	82	Vertical	
$\sigma 2$	0.32	125	08	Horizontal	Distensivo
$\sigma 3$	0.22	035	00	Horizontal	

4.2.6 Evolución de régimen

A partir de las magnitudes de los esfuerzos (σ 1, σ 2 y σ 3), ayudo a pronosticar los regímenes, por medio del análisis del valor R (Ratio de esfuerzo principales) que varian con el acontecer de lo diversos eventos descritos anteriormente. Inicialmente R₁=0.1522 que corresponde al segundo evento, está inmerso en un régimen compresivo producto de compresión uniaxial. Segundo ratio R₂=0.3147 que corresponde al tercer evento, está sumergido en un régimen transformante producto de compresión y extensión uniaxial. Para el tercer R₃=0.1510 y cuarto ratio R₄=0.0867 se catalogan como de régimen extensional con una extensión radial.

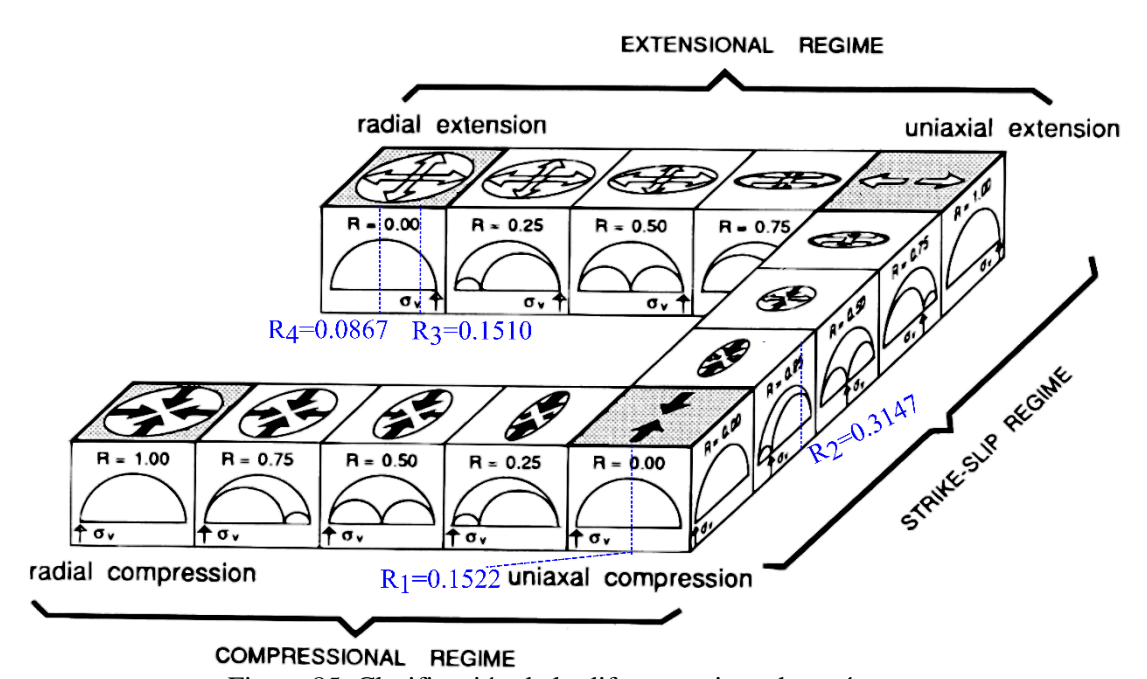


Figura 85. Clasificación de lo diferentes tipos de regímenes

4.3 Contrastación de la Hipótesis

Se pudo aseverar el comportamiento estructural en el centro poblado de Huambocancha Baja, presentan indicadores cinemáticos que muestran a las estructuras geológicas influenciadas por los paleoesfuerzos que siguieron la dirección SW-NE en el primer y segundo evento compresivos formando diaclasas, fallas y pliegues, Además, que se evidencio eventos de régimen transformantes haciendo un acomodo de las fallas existentes, por último, un régimen extensiones, todo ello propio de las orogenia andina, la que concuerda con la subducción de la placa de nazca debajo de la sudamericana.

CAPÍTULO V

CONCLUSIONES Y RECOMENDACIONES

5.1 Conclusiones

Se identificaron 34 estaciones y se clasificaron en las siguientes estructuras: 3 pliegues, 30 fallas, y fracturas.

Los pliegues por su forma son denominados como: El anticlinal Huambocancha (P-01), anticlinal Llushcapampa (P-02) y Sinclinal Llagamarca (P-03); asimismo de acuerdo al buzamiento del plano axial, P-01 y P-02 son pliegues recto verticales y P-03 es un pliegue fuertemente inclinado. Además, por la inmersión de la línea de chanela, P-01 es Pliegue no buzante, P-02 y P-03 son pliegue buzando suavemente. Finalmente, de acuerdo al ángulo inter flanco los P-01 y P-03 son pliegues abiertos y P-02 es pliegue cerrado.

Las fallas inversas NW-SE generaron fallas de rumbo tipo riedel y antiriedel, asociadas a un acortamiento horizontal. Se reactivaron las fallas en direccionales dextrales con orientación NNE-SSW. Las fallas normales con orientación E-W formaron un horst, y las de dirección NW-SE creó un graben que originó el sector norte de la cuenca intramontañosa de Cajamarca

En las fracturas se identificaron: planos de estratificación, paralelo al buzamiento y conjugadas. Las fracturas muestran una cizalla conjugadas de orientación NE-SW y extensionales NW-SE.

El comportamiento estructural muestra 5 eventos de deformación: Primer evento: compresión NE-SW, responsable del plegamiento de la secuencia cretácica, relacionada a la Fase Tectónica Inca I. Segundo evento: compresión NE-SW, asociada a la Fase Tectónica Inca II. Tercer evento: transtensión NE-SW, asociada a la Fase Tectónica Inca IV. Cuarto evento: distensión N-S, asociado Fase Tectónica Quechua I. Por último, un quinto evento: distensión NE-SW, se asocia a la Fase Tectónica quechua II.

La clasificación de regímenes, fueron dados por valor R (Ratio de esfuerzo principales) son: R_1 =0.1522 que corresponde al segundo evento, está inmerso en un régimen compresivo producto de compresión uniaxial. R_2 =0.3147 forma un régimen transformante producto de compresión y extensión uniaxial. R_3 =0.1510 y R_4 =0.0867 son de régimen extensional con una extensión radial.

5.2 Recomendaciones

Se recomienda a los estudiantes de la Escuela Profesional de Ingeniería Geológica (EPIG), realizar un análisis microestructural en secciones delgadas. Para tener un mejor panorama del comportamiento de las estructuras aledañas a la zona de estudio.

Se recomienda a los investigadores realizar un estudio geofísico (sísmico) en el valle de Huambocancha, y así entender la evolución de cuenca intramontañosa de Cajamarca en el sector norte.

REFERENCIAS BIBLIOGRÁFICAS

- Alaya, L. 2021. Influencia de la tectónica cenozoica del antearco peruano en el mecanismo de deformación del Morro Solar mediante el análisis estructural. Tesis para optar el Grado Académico de Magíster en Geología con Mención en Tectónica y Geología Regional. Lima, Perú, Universidad Nacional Mayor de San Marcos.
- Arellano, J; De la Llata, R; Carreón, M; Villarreal, J; Morales, W. 2002. Ejercicios de geología estructural. Ciudad de Mexico, Mexico, Facultad de Ingeniería, UNAM. 89, 90p.
- Bazan, O.; Lagos, A. 2018. Fallamiento en bloques y desacople cortical en la deflexión de Cajamarca durante la tectónica andina. Lima: Sociedad Geologica del Perú
- Bazan, O. 2013. Tectónica andina y su componente cizallante Alusivo al norte del Perú. Cajamarca, Peru.
- Becerra, I. 2017. Caracterización Estructural De La Cuenca Mesozoica Arequipa En Pachía (36v) Y Palca (36x) Mediante Análisis Microtectónico E Integración Con Información Sísmica Del Subsuelo. Tesis de grado para optar el título de Ingeniero Geólogo. Cajamarca, Perú, Universidad Nacional de Cajamarca.
- Benavente, C.; Delgado, F. 2012. Falla Amaru: Tectónica activa y paleoesfuerzos en el altiplano sur peruano. Lima: INGEMMET.
- Benavides, V. 1956. Cretaceous system in northern Peru. New York: American Museum of natural History Bulletin.
- Benavides, V. 1999. Orogenic Evolution of the Peruvian Andes: The Andean Cycle. Lima: Society of Economic Geologists.
- Burg, J. 2020. Script to Structural Geology. Zúrich, Alemania, ETH Zurich. 97, 106p.
- Casas, A; Gil, I; Simón, J. 1990. Los metodos de analisis de paleoesfuerzos a partir de poblaciones de fallas: sistematica y tecnicas de aplicación. Zaragoza, España, Editorial CSIC. 386, 387p.
- Carlotto, V, Cárdenas, J. 2006. ¿El evento tectónico compresivo del Eoceno en el Perú: resultado de un proceso de subducción plana?. Lima, Sociedad Geológica del Perú.
- Cerdan, J. 2018. Modelamiento geoestructural del sinclinal Otuzco basado en análisis tenso deformacional de rocas calcáreas del cretáceo superior. Tesis de grado para optar el título de Ingeniero Geólogo. Cajamarca, Perú, Universidad Nacional de Cajamarca.

- Dávila, J. 2011. Diccionario Geológico. Lima: INGEMMET.
- De Vicente, G; Muñoz, A. 2010. Análisis de esfuerzos Tectónicos. Madrid, España, Reduca (Geología). 54-57, 65.
- Echeverry, S; Cárdenas, A; Ordóñez, O; Muñoz, O. 2009. Aspectos Estructurales Y Relaciones De Algunos Sistemas Vetiformes Del Distrito Minero Segovia-Remedios. Medellin: Researchgate.
- Espaza, E.; Maryorga, J. 2022. Estratigrafía y petrografía de la secuencia volcánica Tual—Puruay Traverse Puruay—Lluscapampa (sur de Yanacocha) Cajamarca Perú. Lima: Rev. Inst. investig. Fac. minas metal. cienc. geogr. vol 25 n° 49.
- Fernández, C; Díaz, M; Díaz, J. 2013. Las zonas de cizalla dúctil como recurso didáctico para entender la deformación de las rocas. El ejemplo de la zona de cizalla Sudibérica (Macizo Ibérico suroccidental). Madrid, España, Enseñanza de las Ciencias de la Tierra, 16-26. 20p.
- Fleuty, M. 1964. The Description of Folds. London, Inglaterra, Proc. Geolog. Assoc. 470p.
- Forero-Ortega A; Velandia, F; Barragán-Coy, E. 2020. Estilos estructurales y tensores de esfuerzos hacia el suroriente del Macizo de Santander (Colombia). Santander, Colombia, Boletín de Geología.
- Fossen, H. 2010. Stuctural geology. Cambridge, Inglaterra, Cambridge University Press. 232, 233.
- Fossen, H. 2016. Structural Geology. Cambridge, Inglaterra, Cambridge University Press. 18,19.
- Frías-Saba, R; Sánchez, N; Turienzo, M; Lebinson, F. 2021. Análisis geométrico y cinemático del anticlinal Chos Malal, provincia del Neuquén. Bahía Blanca, Argentina, Revista de la Asociación Geológica Argentina 78, 594-612.
- Garcia , H; Jimenéz, G. 2015. Análisis estructural del Anticlinal de Zipaquirá. Bucaramanga, Colombia, Boletin de ciencia de la tierra.
- Garcia, M. 2012. Geología estructural. Esfuerzos y deformaciones de las rocas. Madrid, España, ResearchGate.7p
- Gonzáles, L. 2002. Ingeniería Geológica. Madrid, España, Pearson Educación. 142, 178.
- Google Maps . (2023). Ruta de Google Maps de Plaza de armas, Cajamarca, a Huambocancacha Baja, Cajamarca.Consultado 24 feb. 2023. Disponible en https://www.google.com/maps/dir/Plaza+de+Armas+de+Cajamarca,+RFVJ%2B5X

- W,+Del+Bat%C3%A1n,+Cajamarca+06001/-7.1123989,-78.5319733/@-7.134865 4,78.5325693,14z/data=!4m15!4m14!1m10!1m1!1s0x91b25af91f263ceb:0xd69ad 6c71bdf9075!2m2!1d-78.517553!2d-7.157005!3m4!1
- Gumiel, P; Monteserín, V; Ferrero, A; Bellido, F; Baltuille, J; Vivar, V. 2006. Aplicación del análisis geométrico de fracturas a la determinación de bloques en las canteras de granito de o Porriño, Pontevedra (no España). Madrid, España, Revista de la Sociedad Geológica de España. 8p.
- Hatcher, R; Bailey, C. 2020. Structural Geology Principles, Concepts, and Problems. New York, EEUU, Oxford University Press. 115, 359p
- Hoyos, F. 2012. Geotecnia diccionario básico. Medellín, Colombia, Universidad Nacional de Colombia. 115p
- Lagos, A. 2012. Caracterización litológica y estructural de la secuencia cretácea en la zona de Urubamba. Cajamarca- Perú. Lima.
- Lagos, A; Quispe, Z; Rodas, J. 2009. Modelamiento Estructural De Las Areas De Cajamarca, San Marcos Y Bolivar. Lima: PERUMIN.
- Lagos, A; Quispe, Z; Jacay, J; Rodriguez, R. 2012. Análisis poblacional de fallas. zona dilatante Chetilla-Chamis y Colpayoc. Cajamarca Perú. Cajamarca: INGEMMET.
- Lillo, J; Oyarzun, R. 2013. Geología Estructural Aplicada a la Minería y Exploración Minera. Madrid, España, Ediciones GEMM Aula2puntonet. 19, 27,28p
- Lin, A; Yamashita, K. 2013. Spatial variations in damage zone width along strike-slip faults: An example from active faults in southwest Japan. Kyoto, Japan, Journal of Structural Geology, 1-15. 2p.
- Lisle, R; Leyshon, P. 2004. Stereographic Projection Techniques for Geologists and Civil Engineers. Cambridge: Cambridge. 50,58,59p.
- Longo, A. 2005. Evolution of Volcanism and Hydrothermal Activity in the Yanacocha Mining District, Northern Perú . Oregon.
- Martínez, J. 2003. Geología Estructural Y Dinámica Global. Salamanca, España, Universidad de Salamanca. 2p.
- Mc Laughlin, D. 1925. Notas sobre la geología y fisiografía de los Andes Peruanos en los departamentos de Lima y Junín (Trad. G.D. Zevallos). Inf. Mem. Soc. Ing. Peru,.
- McClay, K. 1987. The Mapping of Geological Structures. Londres, Ingalterra, Geological Society of London Handbook. 84p.

- Muñoz, A; De Vicente, G. 2006. Análisis del estado de esfuerzos activos en la corteza. Madrid, España, E-prints complutense. 17p.
- Nabavi, S; Fossen, H. 2021. Fold geometry and folding a review. Bergen, Noruega, Earth-Science Reviews. 1-18. 2, 10, 13, 28p.
- Narravo, P. 2007. Mapa del cuadrangulo de cajamarca (15-f) hoja 15-f-I. Lima: INGEMMET.
- Navarro, P. 2012. Nuevas dataciones en el segmento sur de Cajamarca. Lima: INGEMMET.
- Nelson, E. 2011. Application of Structural Geology in Mineral Exploration and Production. Lima, Perú, Colorado School of Mines. 16,17p.
- Niemeyer, H. 1999. Apuntes De Geologia Estructural. Antofagasta, Chile. 129p
- Padilla, R. 2021. Geología Estructural Métodos Modernos. Ciudad de Mexico, Mexico: UNAM. 93p.
- Pardo-Casas, F.; Molnar, P. 1987. Relative motion of the Nazca (farallon) and South American plates since late Cretaceous time. Cambridge: TECTONICS.
- Pisconte, M. 2014. Facies sedimentarias de la Formación Inca en relación al eustatismo Albiano en la cuenca de Cajamarca. Tesis de grado para optar el título de Ingeniero Geólogo. Cajamarca, Perú, Universidad Nacional de Cajamarca.
- Requelme, J. 2021. Caracterización estructural del sinclinal de Llullapuquio y su relación en la intrusión del Pórfido Colpayoc, Cajamarca. Tesis de grado para optar el título de Ingeniero Geólogo. Cajamarca, Perú, Universidad Nacional de Cajamarca.
- Reyes, L. 1980. Geologia de los cuadrangulos de Cajamarca, San Marcos y Cajabamba. Lima: INGEMMET.
- Rodríguez, R. 2016. Método de investigación geológico-geotécnico para el análisis de inestabilidad de laderas por deslizamientos zona Ronquillo-Corisorgona Cajamarca Perú. Tesis para optar el grado academico de magister en geología mención geotecnia. Lima, Peru, Universidad Nacional Mayor De San Marcos. 72p.
- Ruiz, S. 2017. Análisis geométrico y cinemático de pliegues relacionados a fallas que representan análogos de trampas de hidrocarburos en el golfo de México. Tesis para obtener el grado de maestría en ciencias geológicas. Nuevo León, Mexico, Universidad Autónoma De Nuevo León. 21, 25p.

- SENAMHI (Servicio Nacional de Meteorología e Hidrología del Perú). 2023. Consultado 23 feb. 2023. Disponible en https://www.senamhi.gob.pe/?p=pronostico-detalle&dp=06&localidad=0011
- Sousa, L. 2016. Caracterización litológica y estructural de los Volcánicos Huambos en las localidades de Lluscapampa y Los Alisos-Cajamarca. Cajamarca. Tesis de grado para optar el título de Ingeniero Geólogo. Cajamarca, Perú, Universidad Nacional de Cajamarca.
- Stappenbeck, R. 1929. Geologie des Chicamatales in Nordperú und seiner Anthrazitlagerstatten. Geol.Paleont.
- Supo, J. 2014. Seminario de Investigacion Cientifica. Arequipa, Perú: Bioestadístico EIRL.
- Tafur, I. 1950. Nota Preliminar de la Geología de Cajamarca. Lima: Tesis Doctoral. Universidad Mayor de San Marcos. .
- Tremlett, W. 1976. The definition of isoclinal folds. Amsterdam, Paises bajos, Tectonopkysics 32. 1,2p.
- Twis, R; Moores, E. 2007. Structural Geology. New York. EEUU, W. H. Freeman. 57, 58p.
- Van der Pluijm, B; Marshak, S. 2004. Earth Structure Introduction to Structural Geology and Tectonics. New York, EEUU, Norton & Company. 122, 169, 170p.
- Van Gent, H; Back, S; Urai, J; Kukla, P; Reicherter, K. 2008. Paleostresses of the Groningen area, the Netherlands—Results of a seismic based structural reconstruction. Aachen, Germany, Tectonophysics. 1p.
- Woodcock, N; Mort, K. 2008. Classification of fault breccias and related fault rocks. Cambridge, Inglaterra, Geol. Mag. 435–440. 435, 437, 438p
- Woodcock, N; Omma, J; Dickson, J. 2006. Chaotic breccia along the Dent Fault, NW England: implosion or collapse of a fault void?. Cambridge, Inglatera, Journal of the Geological Society, 431–446.

ANEXOS

Anexo N°1. Datos estructurales

Anexo N°2. Planos

- ✓ Plano de ubicación (P-1)
- ✓ Plano modelo digital de elevaciones- topográfico (P-2)
- ✓ Plano de geomorfológico (P-3)
- ✓ Mapa geológico (P-4)
- ✓ Mapa estructural (P-5)

Anexos N°3. Secciones geológicas

- ✓ Sección geológico A-A' (P-A)
- ✓ Sección geológico B-B' (P-B)
- ✓ Sección geológico C-C' (P-C)

Anexo N°4. Modelo de evolución tectónica (L-01)



					DATOS	DE LAS ES	TRUCTU	RAS									
PUNTOS DE	COORDI	ENADAS		TIMID 1 D				F	RACTU	<i>JRAS</i>				1	FALLAS		
CONTROL	UTM V	VGS84	COTA	UNIDAD GEOLOGICA	ESTI	RATO	D1		D	2	D.	3	PLA	NO	DAKE	G	Estación
	NORTE	ESTE	1	GEOLOGICA	Az	Bz	Az	Bz	Az	Bz	Az	Bz	Az	Bz	RAKE	Cx	
1	9213809	773843	2867	Ki-fa/Ki-sa									304	82	95	Ix	F-01
2	9213785	773875	2873	Ki-fa									304	82	42	DxIx	F-02
3	9213754	773927	2885	Ki-fa									304	82	102	NX	F-03
4	9213700	773535	2821	Ki-fa	314	75	306	72									
5	9213729	773552	2820	Ki-fa	324	51							220	64	5	Dx	F-04
6	9213760	773565	2816	Ki-fa	315	75	136	79									
6	9213795	773595	2826	Ki-fa			312	63									1
7	9213751	773722	2886	Ki-fa	303	72	80	85									1
8	9213785	773759	2875	Ki-fa			302	85									1
٥	9213783	113139	2873	KI-1a			290	85									
9	9213779	773736	2874	Ki-fa			70	50									
10	9213816	773749	2861	Ki-fa	306	64	224	40									
11	9213762	773910	2856	Ki-ca	311	54	25	84									
12	9213738	774042	2877	Ki-in			298	86]
13	9211465	773512	2759	Ki-ca	132	19	319	65									
14	9213605	773512	2844	Ki-fa	94	42							243	74	93	Nx	F-05
15	9213646	773538	2814	Ki-fa			314	74									
16	9213379	773293	2822	Ki-fa	312	42	315	60									
17	9213489	773350	2818	Ki-fa	312	67							303	43	72	Nx	F-06
18	9213496	773359	2818	Ki-fa			64	48									
19	9213526	773448	2828	Ki-fa	305	85	340	61									
19	9213320	113446	2020			63	132	83									
20	9213546	773465	2830	Ki-fa	94	42							105	43	104	Nx	F-07
21	9212164	772451	3008	Subvolcanico			350	85									
					25	37	270	79	107	87	340	86					
22	9213252	772842	2792	Nm-tp	40	35	269	87									
							295	63									
23	9213127	773192	2791	Nm-tp	40	65	318	65	92	64	227	68					
				The second second	46	61	329	69	112	62	214	68					
24	9213133	773212	2793	Nm-tp			350	58									
25	9213281	773260	2824	Ki-ca	335	79	72	68									
26	9212481	773598	2801	Ki-ca	348	29	155	87	220	71	117	67					
		,,,,,,					156	70	219	74	105	73		!			
27	9212601	773685	2829	Ki-ca	320	52	66	76	120	59	209	51					
20	0212602	772694	2020	D:	220		72	76	135	58	205	59					
28	9212603	773684	2829	Dique	329	33	104	97	22	72		-		1			
29	9212658	773726	2858	Ki-fa	355	33	104	87	32	72			<u> </u>				

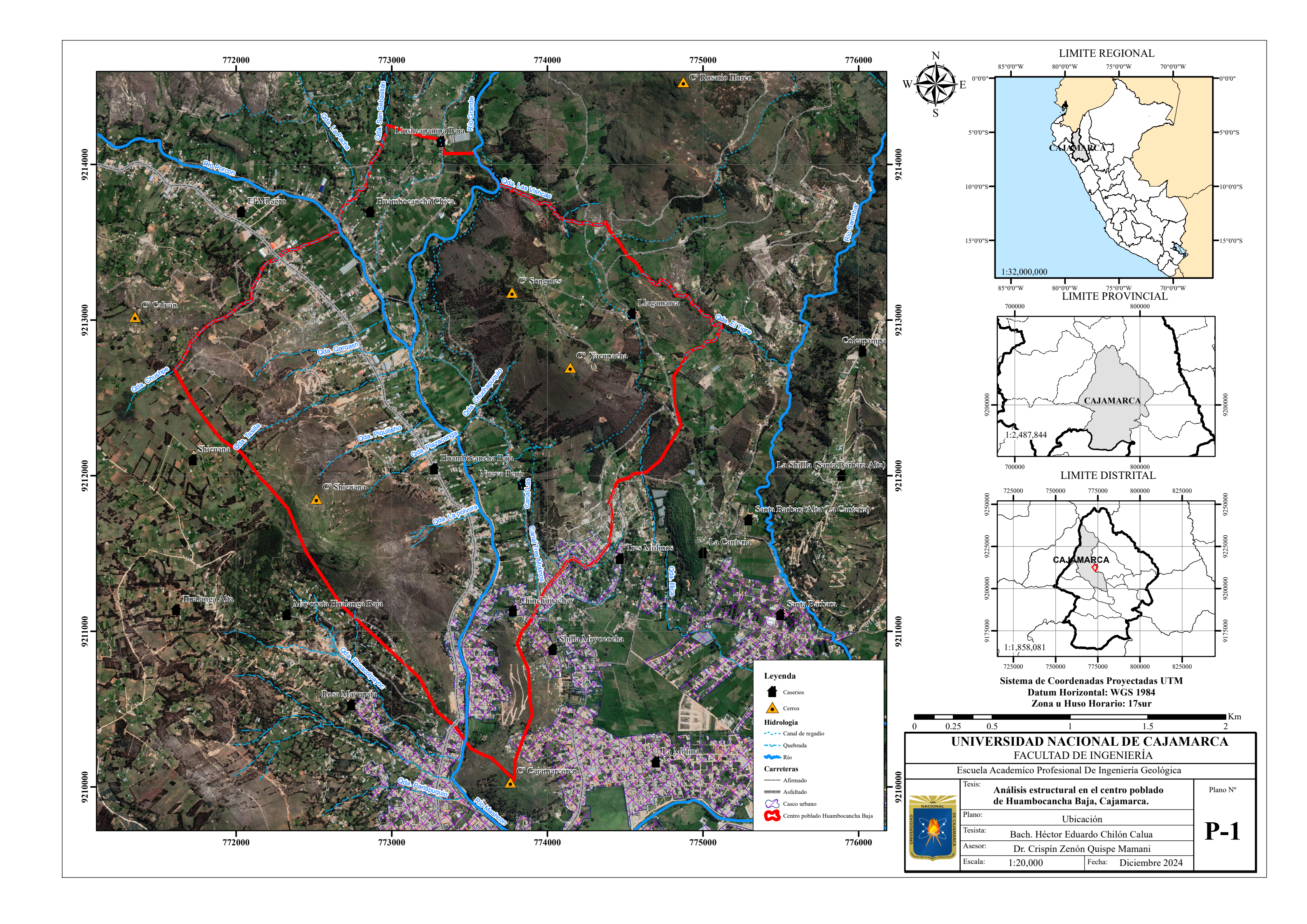
		I											205	77	2	C	
													205	77	2	Sx	
30	9212684	773736	2885	Ki-fa	345	35							207	85	3	Sx	F-08
													206	86	3	Sx	
													199	75	2	Sx	
31	9212680	773755	2886	Ki-fa	354	36	228	70	136	67							
	7212000	,,,,,,,,	2000				219	70	108	77							
32	9212555	773828	2890	Ki-fa			93	81									
							99	67									
33	9212255	774551	2894	Ki-fa									190	60	157	SxIx	F-09
34	9214051	773404	2824	Ki-fa	296	68											
							198	67	22	36	396	57					
35	9214067	773418	2820	Ki-fa	290	72	195	71									
							197	62									
36	9214020	773460	2819	Ki-fa	249	75	50	64	5	47	300	65					
37	9212088	774355	2878	Nm-Vh									137	86	92	Nx	F-10
							275	87									
38	9211798	774331	2832	Nm-Vh			290	88									
							295	87									
39	9211577	773899	2768	Nm-Vh									315	87	88	Nx	F-11
							136	87	212	89	187	86					
40	9211539	773894	2766	Nm-Vh			102	89	237	75	192	85					
	,	,,,,,,		- 1022 1 22			139	78									
41	9213923	773561	2818	Ki-fa	299	84	200	60	15	55							
42	9213959	773588	2808	Ki-fa	125	87	243	35	23	49							
43	9213361	773667	2998	Ki-fa	15	58				.,							
44	9213191	772114	2859	Ki-ca	315	40	184	84									
45	9212910	772216	2910	Ki-fa	50	34	104	0.7									
46	9212755	772208	2921	Ki-fa	30	37	332	64									
47	9212888	771932	2977	Ki-ca	40	15	332	0.1									
48	9212880	771885	2977	Ki-fa	70	13	305	81									
49	9214071	773405	2844	Ki-fa Ki-fa			229	81	13	21							
50	9213868	773734	2841	Ki-fa Ki-fa			330	74	13	21							
51	9213821	773800	2862	Ki-fa Ki-fa			211	65									
31	9213621	773800	2002	KI-1a			212	72									
							202	72									
	+				1		195	43	122	79	243	87					
50	0212900	772042	2077	V:	212	7.4	205	87	122	79	243	0/					
52	9213809	773843	2867	Ki-ca	312	74											
	+				222	40	205	87	00	-50							
53	9212730	774217	3074	Ki-fa	332	42	194	40	99	50							
	0010101		2077		330	40	• • •		100	L							
54	9212694	774225	3075	Ki-fa	332	40	269	74	130	55	72	73					

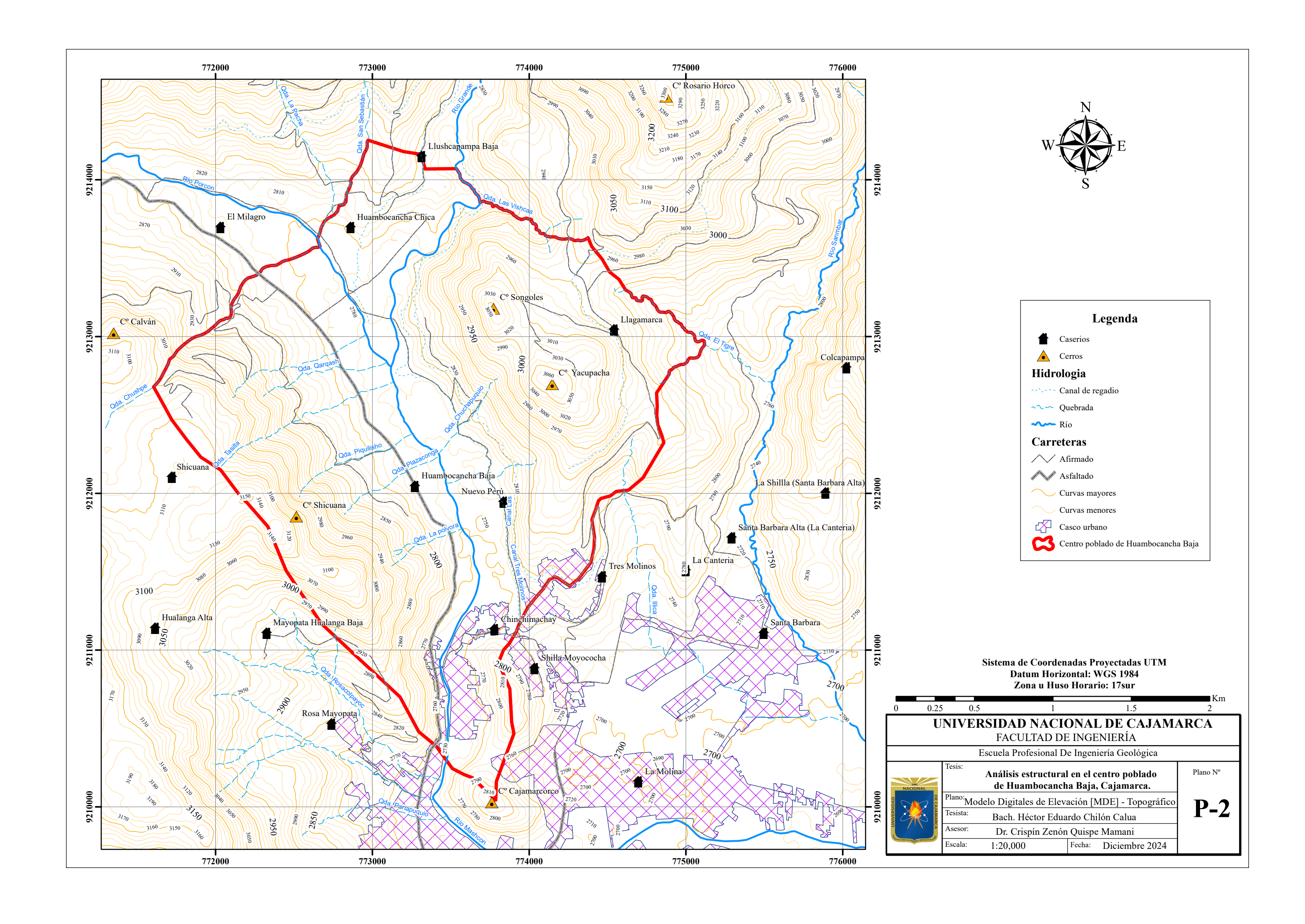
							265	74	107	56	210	75		1			
							253	77	112	75	210	73					
							170	64	126	56							
55	9212618	774094	3074	Ki-fa	333	35	174	60	120	50							
							240	76	190	40							
56	9212653	774064	3064	Ki-fa			240	70	190	40							
57	9212662	774025	3063	Ki-fa	335	14											
58	9212650	774023	3051	Ki-fa Ki-fa	337	14	103	41									
59	9211838	775143	2765	Ki-ta Ki-ca	345	56	103	41					344	64	5	Dx	F-12
60	9211824	775136	2768	Ki-ca Ki-ca	325	64	231	44					344	04	3	DX	Γ-12
61	9212264	775348	2770	Ki-ta Ki-fa	343	38	231	44									
62	9212204	775353	2771	Ki-fa	325	73											
63	9212436	775442	2777	Ki-fa Ki-fa	123	56											
64	9212484	775448	2786	Ki-fa Ki-fa	334	60											
65	9212485	775447	2786	Ki-fa Ki-fa	110	33	291	86									
66	9212483	774433	2966	Ki-in	315	64	291	80									
67	9213048	774440	2969	Ki-in/Ki-chu	315	64	60	79									
68	9212896	774440	2939	Ki-chu	310	56	00	19									
69	9212266	774555	2883	Ki-chu Ki-fa	322	39											
70	9212200	774501	2888	Ki-fa Ki-fa	338	44											
70	9212203	775606	2769	Ki-ca	338	30							195	54	155	Sx	F-13
72	9212814	773362	2806	Ki-ca Ki-fa	336	30							191	57	152	DxNx	F-14
73	9212801	773374	2808	Ki-fa Ki-fa	325	30	128	84	191	57	160	85	171	31	132	DANA	1'-14
73	9212601	113314	2000	KI-1a	323	30	120	04	191	31	100	65	214	75	138	SxIx	
74	9213130	772117	2867	Ki-fa	312	51							214	87	139	SxIx	F-15
75	9213001	772153	2902	Ki-fa	50	15							210	0/	139	SXIX	
13	9213001	112133	2902	KI-1a	30	13	133	42	274	76	340	71					
76	9212436	772413	2856	Subvolcanico			145	40	269	78	340	/1					
70	9212430	112413	2030	Subvoicanico			143	40	280	74							
77	9212662	772454	2668	Ki-ca	96	20			200	/4			257	47	110	Nx	F-16
78	9212624	772533	3872	Ki-ca	90	20	269	38					231	4/	110	INX	Г-10
79	9212624	772535	2868	Subvolcanico			272	85	138	48							
19		112333	2000				340	81	300	26	10	77					
80	9212466	772493	2872	Ki-fa			345	79	302	22	10	11					
							144	75	51	68							
90	9212436	772618	2873	Ki-fa			144	85	55	65							
91	9211370	773151	2946	Ki-fa	98	39	140	0.5	33	0.5			295	68	155	DxNx	F-17
92	9211478	773131	2893	Ki-fa Ki-fa	130	43							171	62	38	DxIx	F-18
93	9211230	773214	2919	Ki-fa Ki-fa	128	41							1/1	02	30	DAIA	1-10
94	9211281	773214	2881	Ki-fa Ki-fa	128	65	270	44	35	74		 					
95	9211113	773350	2782	Ki-fa Ki-fa	135	62	270	77	33	, 4			60	39	115	NxDx	F-19
75	7411113	113330	2102	IXI-1a	133	UZ							UU	ンプ	113	TADA	1-19

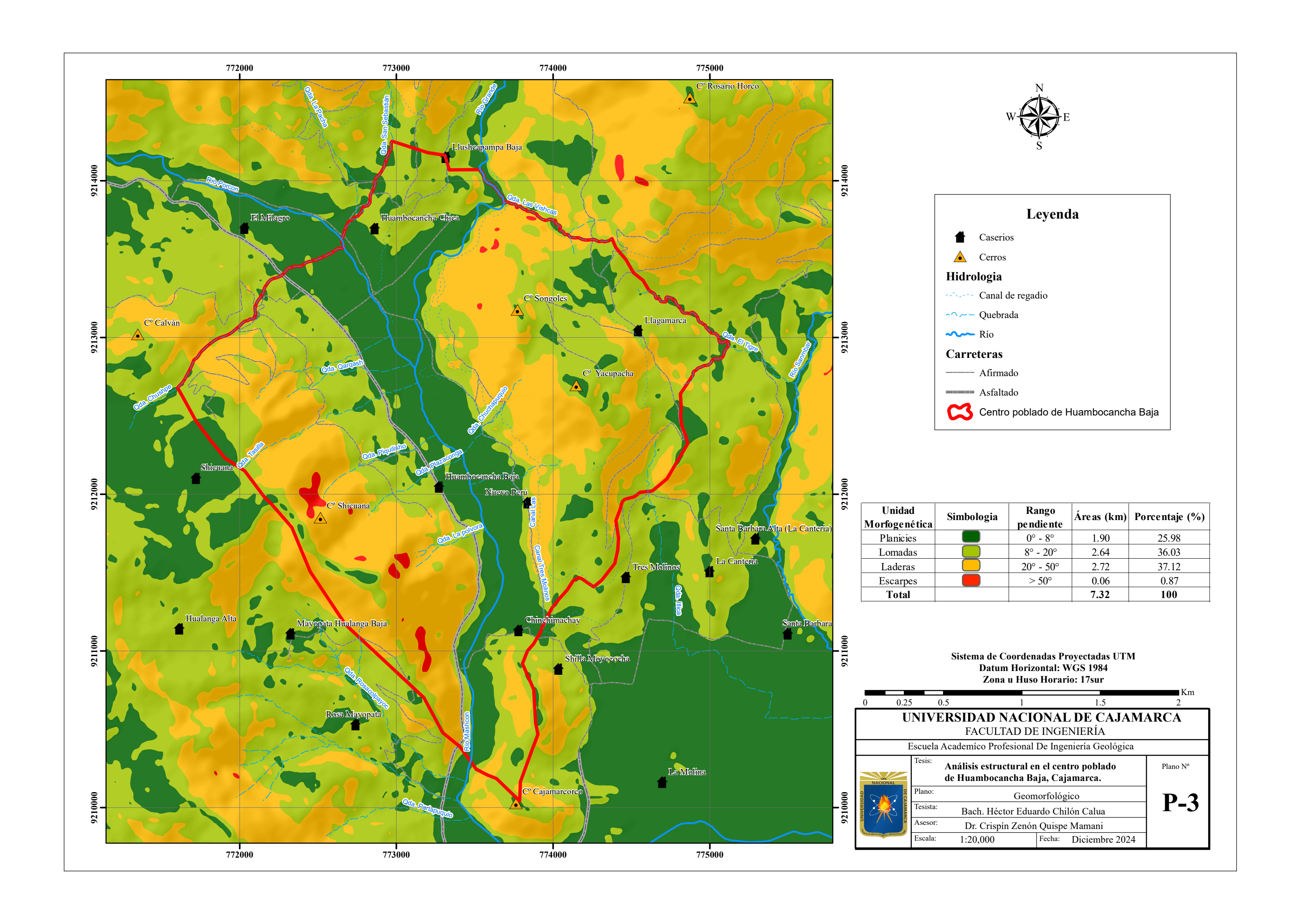
96	9211115	773364	2768	Ki-fa									1	60	168	Dx	F-20
97	9212813	772515	2815	Ki-ca	325	30	191	57									
00	0212040	770045	2050	0.1.1.			276	65	142	58							
98	9212049	772845	2859	Subvolcanico			270	54									
99 9211803	0211002	772700	2024	6.1.1.									276	65	145	Dx	E 01
	3 772780	2924	Subvolcanico									270	54	140	Dx	F-21	
100 9211772	9211772	72 772882	2951	Ki-ca			170	82	35	75	300	80					
100	9211772	112002	2931	Ki-ca							290	35					
101	9211807	772776	2929	Subvolcanico									242	87	132	SxNx	F-22
102	9211830	772785	2900				337	44									
102	103 9212631 7725	770515	2873	Ki-ca	268	55											
103		112313	2013		289	62											
			2952	Subvolcanico			119	34	190	76	60	74		40	68	Nx	
104	9211847	772731							205	72	20	81	320				F-23
104									189	69			320				
									215	76							
105	9212598	772393	2883	Ki-ca			262	44	330	55							
106	9212596	772403	2925	Ki-ca			195	41	166	65							
100							195	41									
107	9212529	772404	2934	Ki-ca	146	50											
108	9212415	772345	2964	Ki-fa									358	81	67	NxSx	F-24
109	9212350	772312	2961	Ki-fa									69	86	9	Sx	F-25
110	9212343	772291	2966	Ki-fa			69	86									
111	9212348	772285	2966	Ki-fa									350	71	119	Nx	F-26
112	9212349	772303	2964	Ki-fa/Ki-ca									326	38	136	Nx	F-27
113	9212316	772218	3022	Ki-ca			100	62									
114	9212628	772522	2885	Ki-ca	266	47	120	79									
							120	56									
115	9212565	772449	2905	Ki-ca	210	10	346	68									
116	9212592	772404	2916	Subvolcanico			350	79									
_				Subvolcanico			72	80									
117	9212554	772411	29299	Ki-ca/Ki.fa			309	84									
118	9212380	772571	2927	Ki-ca	182	20	26	32									
119	9212378	772473	2926	Ki-fa	194	24							272	56	106	Nx	
													273	54	106	Nx	F-28
													282	74	84	Nx	
120	9212344	772155	3051	Ki-ca									125	80	77	Ix	F-29
121	9212372	772140	3056	KI-ca			NI NI						125	80	170	Dx	F-30

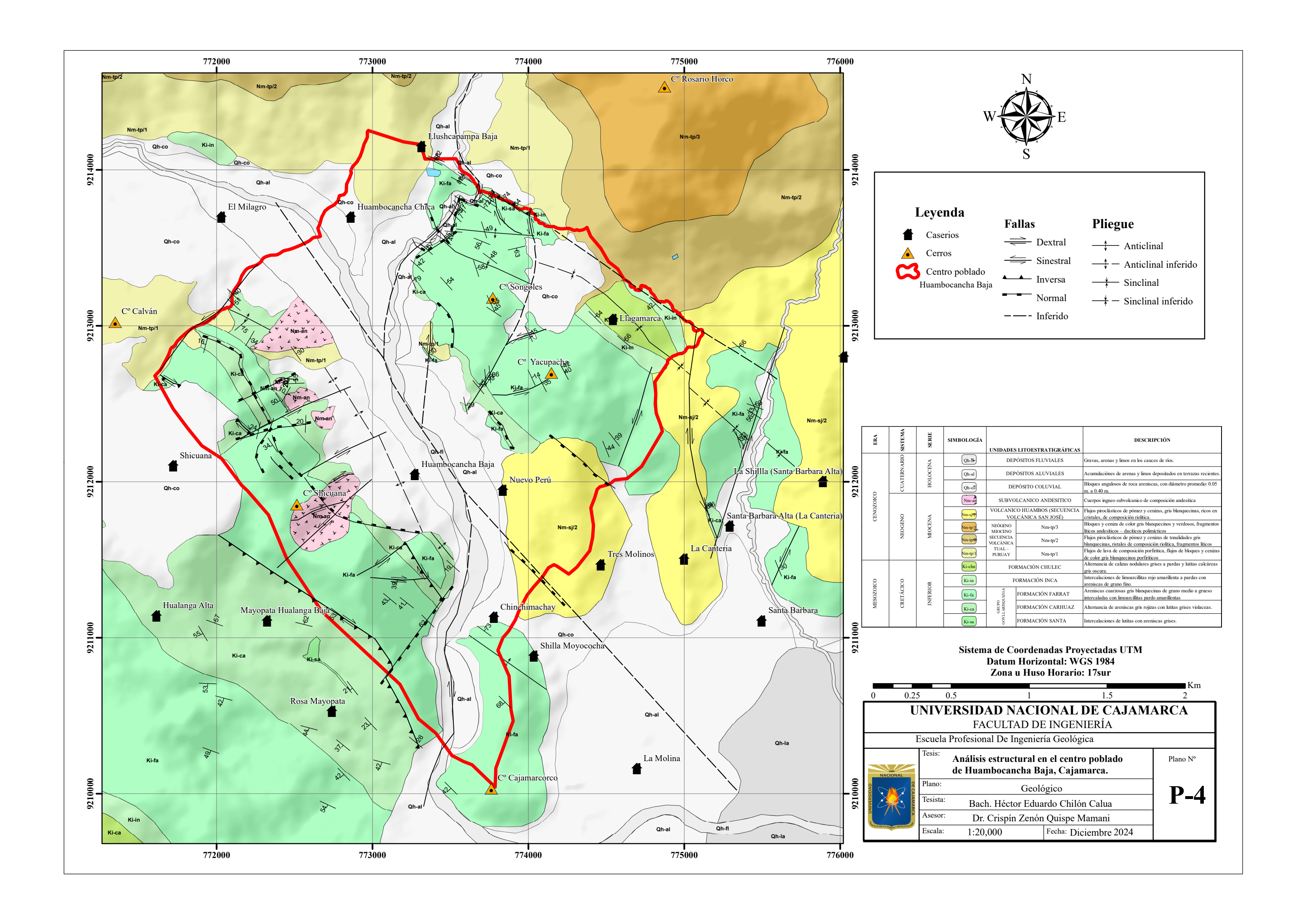
Abreviaturas: Az: Azimut, Bz: Buzamiento, D: Diaclasa, Cx: Cinematica, Nx: Normal, Ix: Inversa, Dx: Dextral, Sx: Sinestral Datos utilizados para la interpretación cinemática de fallas.

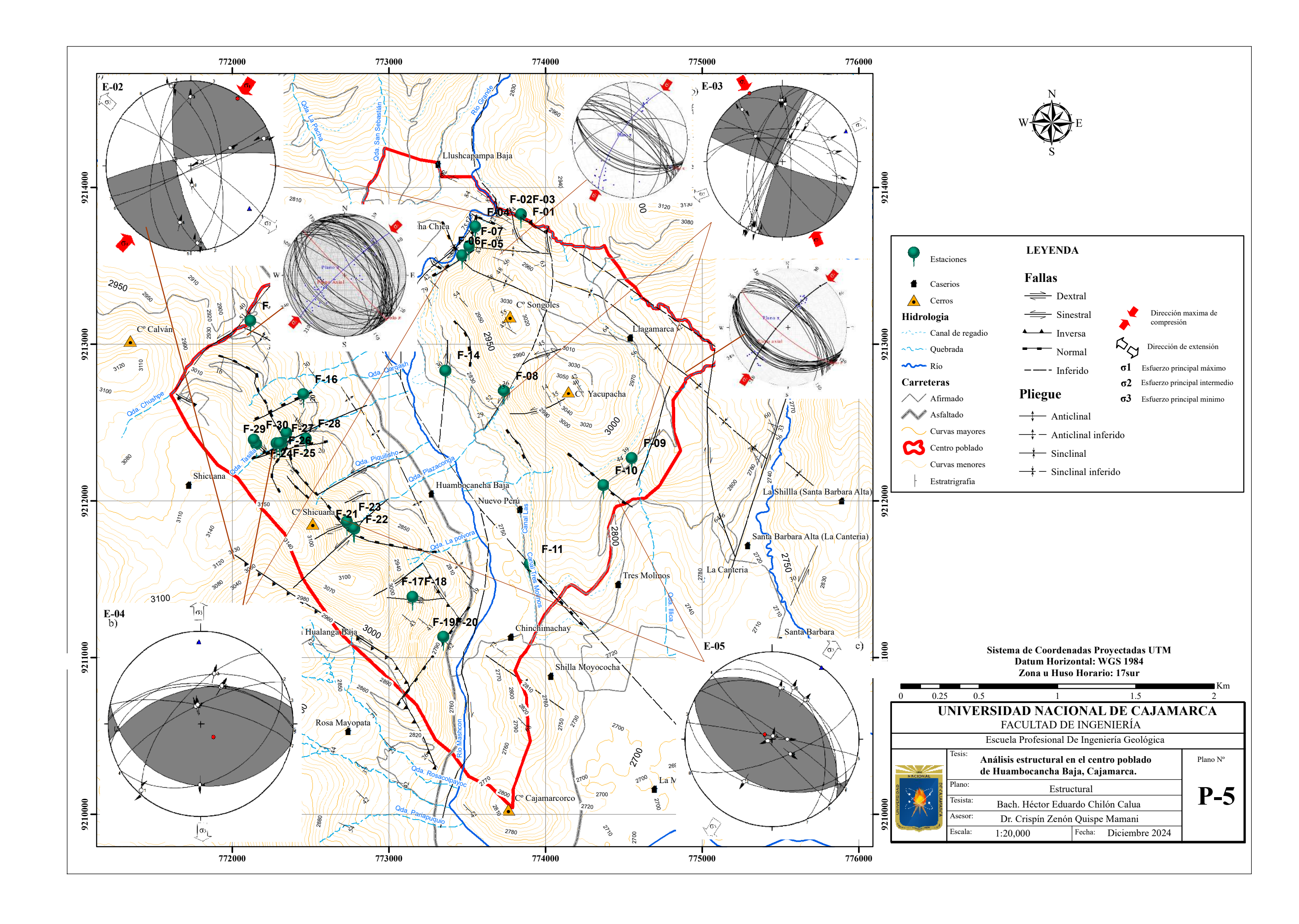




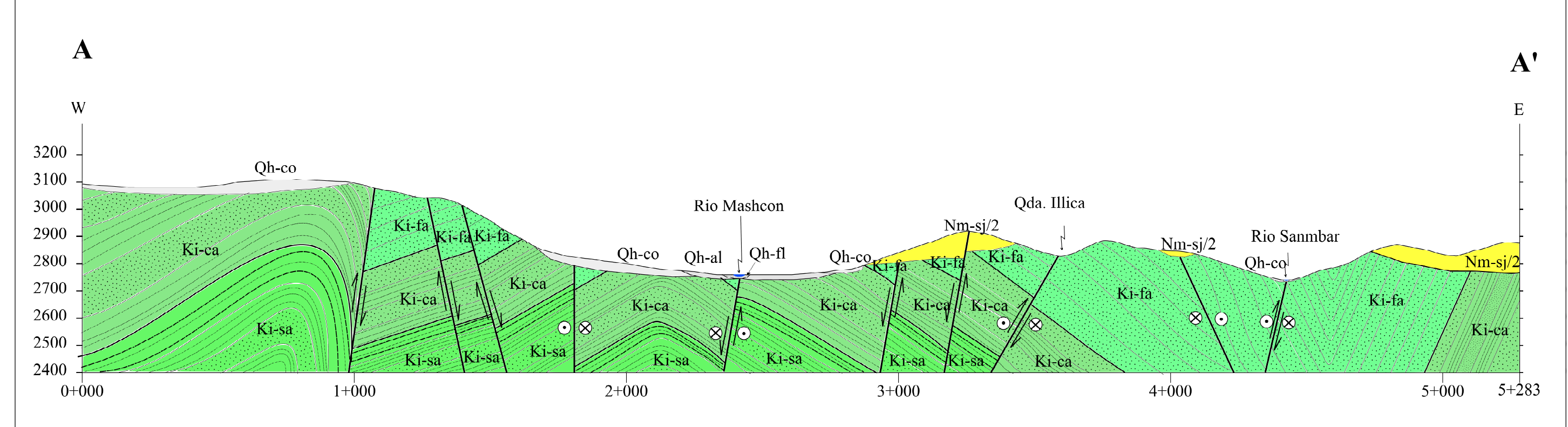


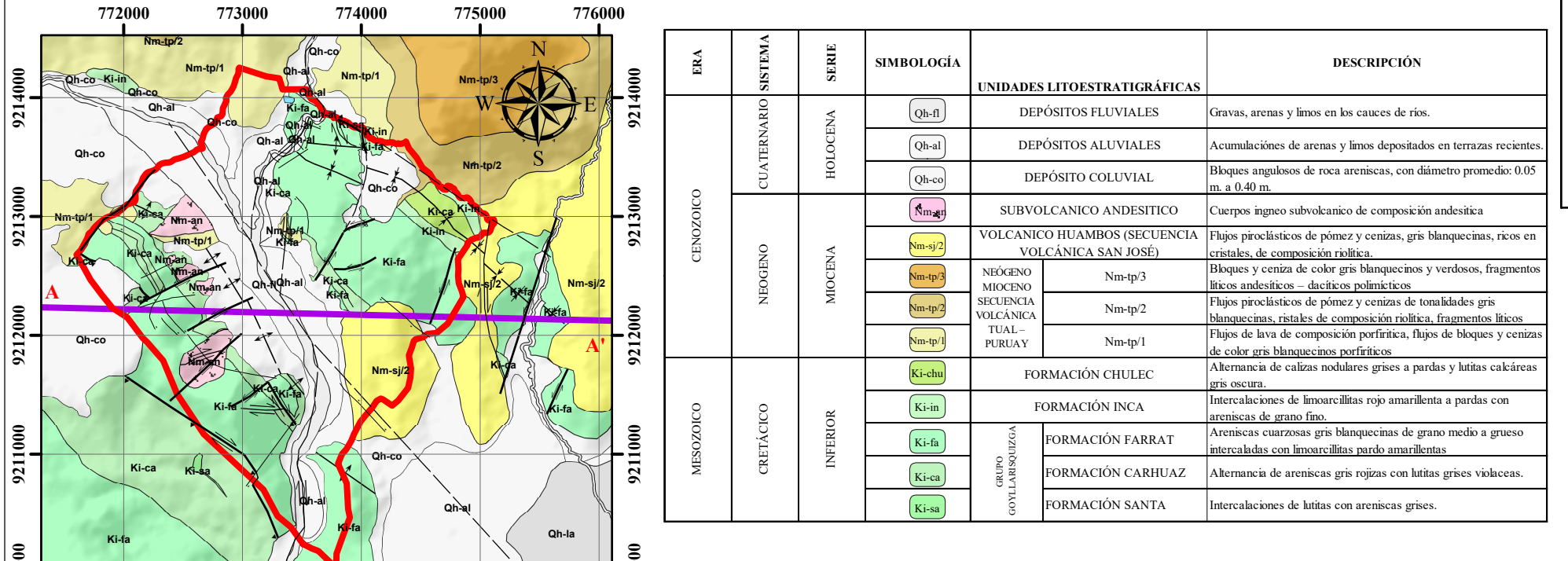












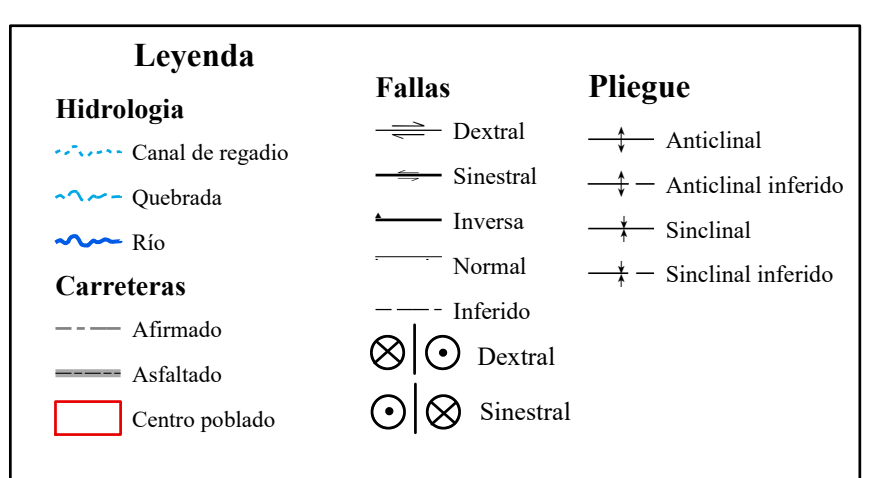
775000

772000

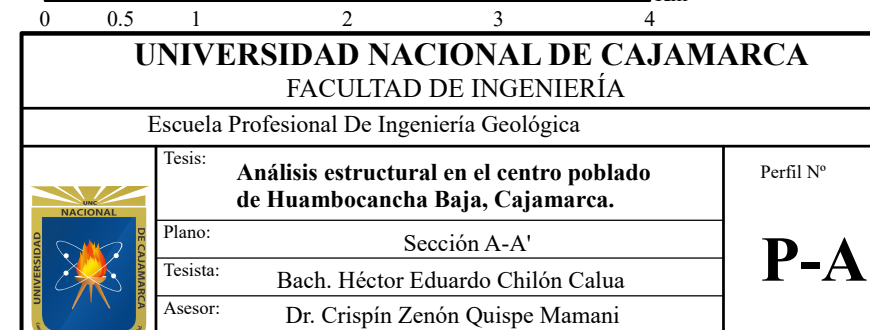
773000

1:50,000

776000



Sistema de Coordenadas Proyectadas UTM Datum Horizontal: WGS 1984 Zona u Huso Horario: 17sur

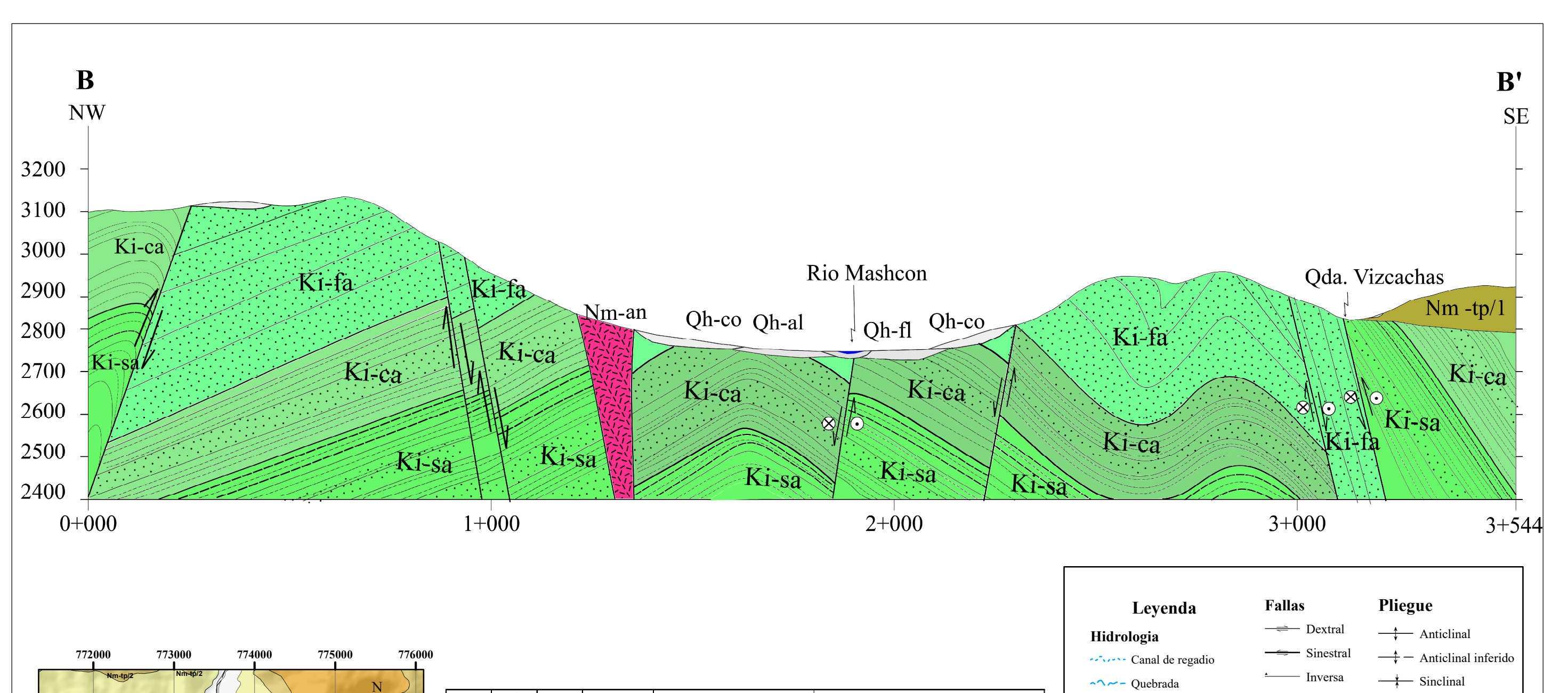


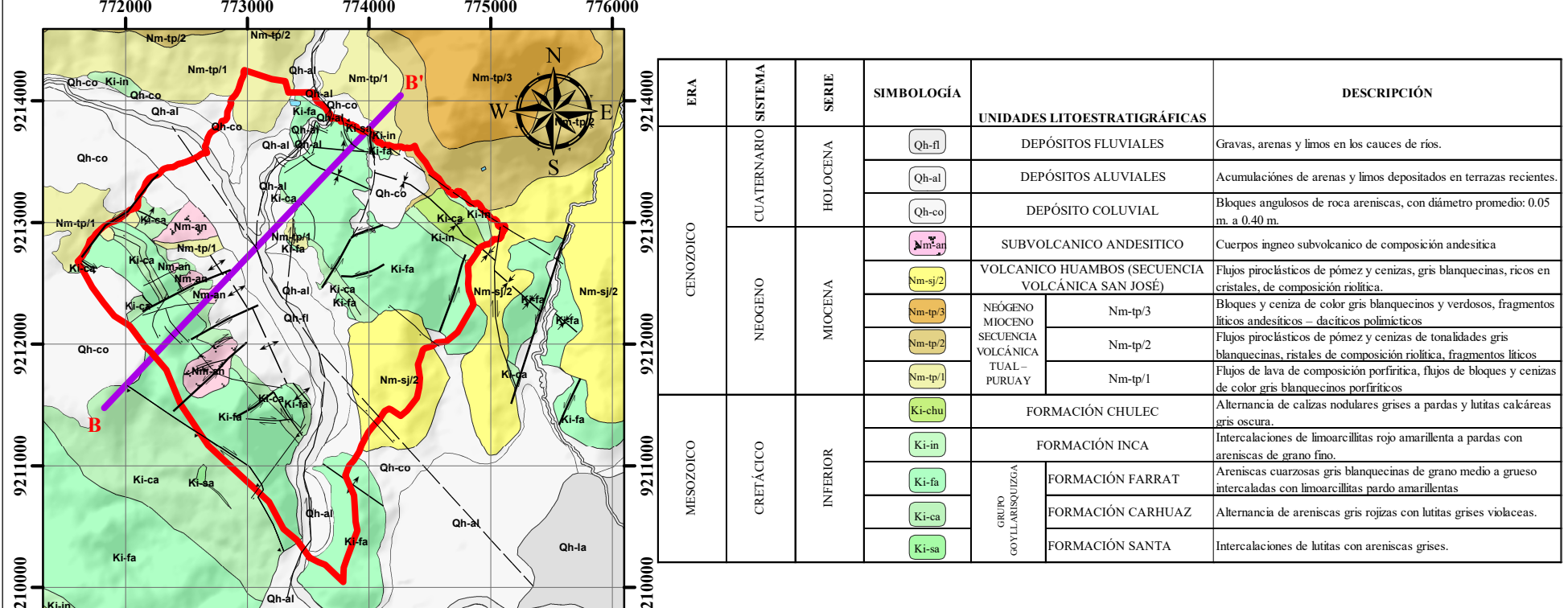
Fecha:

Diciembre 2024

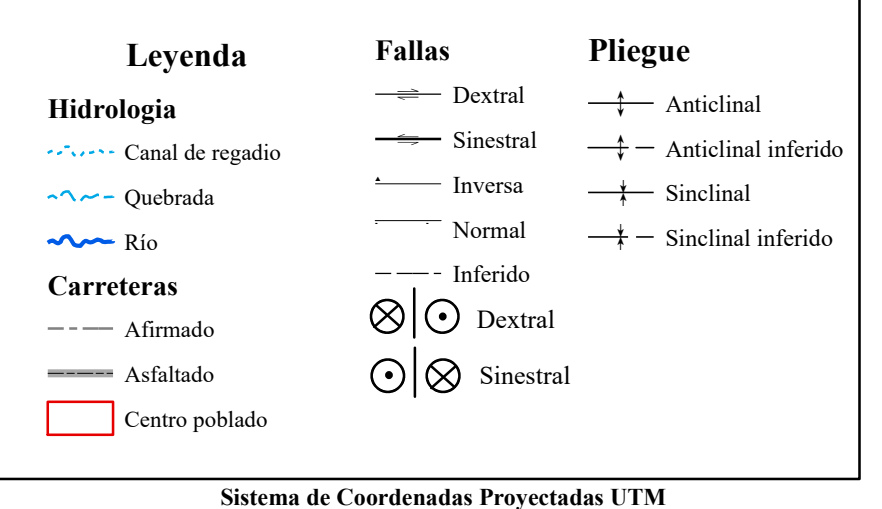
Escala:

1:15,000





3000 77**4000** 77**4000**



Datum Horizontal: WGS 1984 Zona u Huso Horario: 17sur

